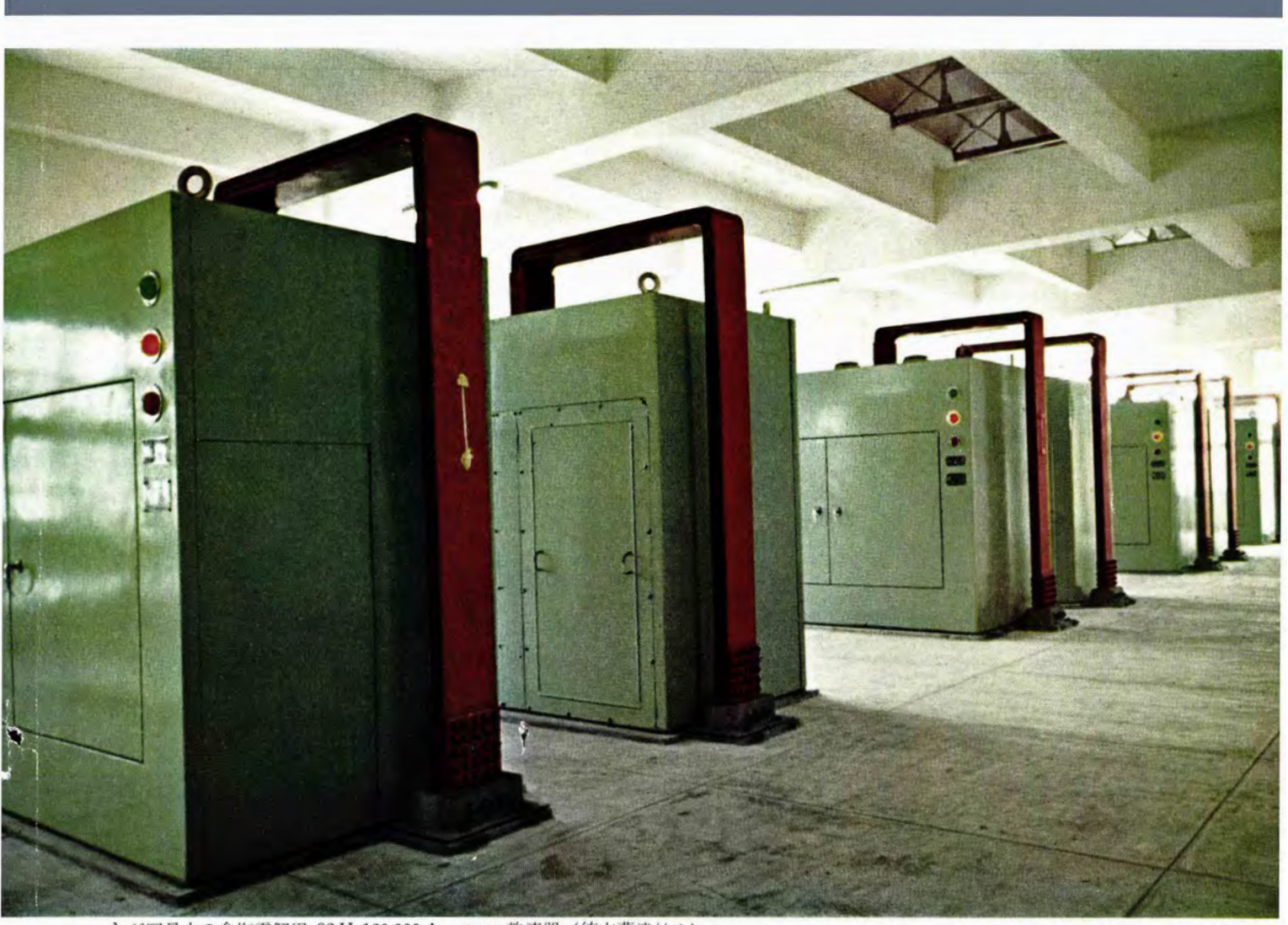
MITSUBISHI DENKI

三炭電機

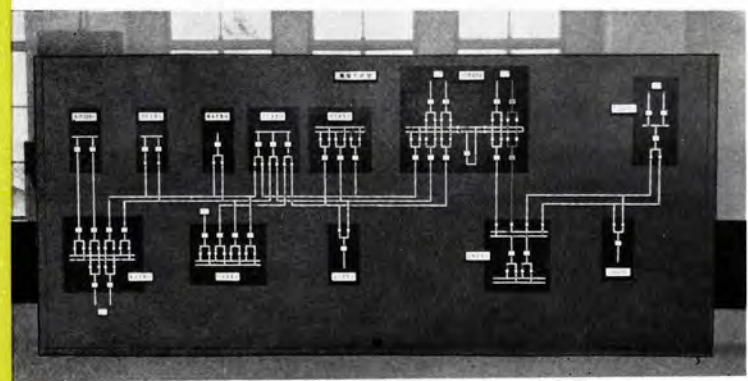


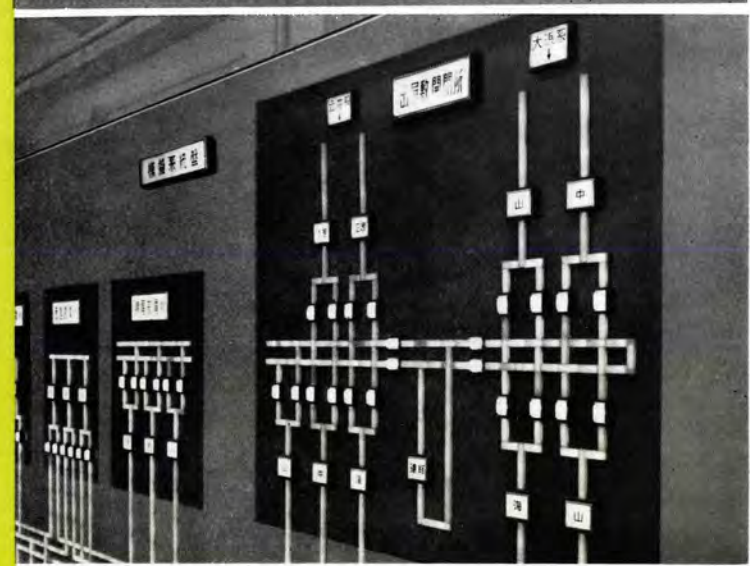
わが国最大の食塩電解用 82 V 120,000 A シリコン 整流器 (徳山曹達納め)

2 VOL 34 1960

光式模 い照

照光式模擬系統盤



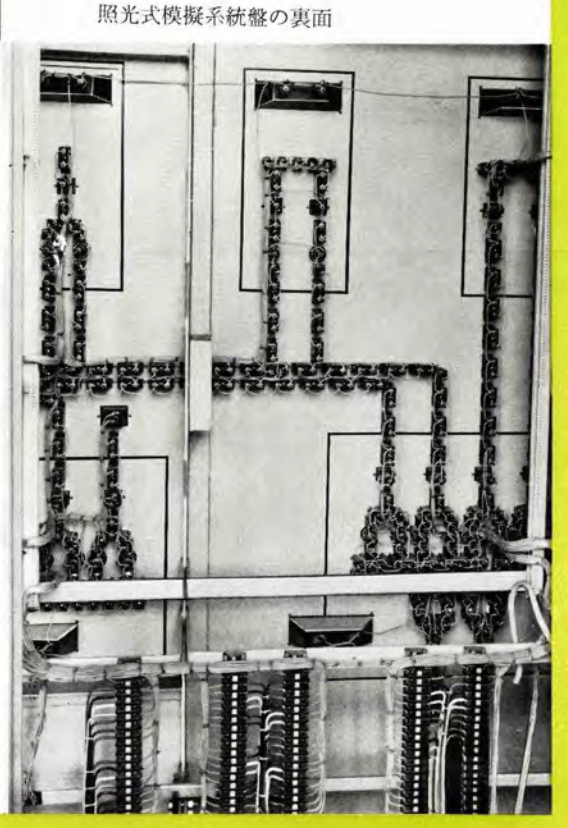


拡大したところ

特長

- 1. 従来の点々式照光に対して 1 本の連続した 模擬母線として照光を示す.
- 2. 盤面より照光母線が突出しているので立体 照光である.
- 3. 電球の取換えは配電盤の表からでも, 裏面か らでも自在に,かつ特別の用具を用いず着
- 4. 電球も同じ効率のもので盤表面から見た輝 度が一様になるよう照光板の設計に考慮を はらっている.
- 5. 故障シャ断に際しては、その故障部分とその 影響範囲を明示する.
- 6. 機器の異状が起ればただちに表示する.

新しい照光模擬母線を阪神電 鉄, 出屋敷変電所に納入した. この照光式模擬盤は系統に状 態変化がおこり, また人為的 に変化させようとするときに は、それに相当する部分を自 動的に点滅あるいはフリッカ させると複雑な操作も誤りな く適切に行ないうるだけでな く, とくに故障時に効果があ 3.







表紙説明

徳山曹達納め食塩電解用風冷式 シリコン 整流器は 8 面の キューピクル から構成され、電流容量ではわが国はもちろんのこと、現在世界最大級の120,000 A 定格を有する画期的製品である。現地試験は昨年 11 月から行なわれ優秀な成績で120,000 A を通電し、連続運転にはいっている。この間、整流素子その他無事故を誇っており、信賴度の高い整流装置として将来性を期待されている。

三炭電機

昭和 35 年 第 34 巻 第 2 号

目 次

近畿日本鉄道名阪特急"新 ビスタ・カー"用主電動機および制御装置・・・・・・・・・・・・・・・・・・・・・・・・・・・・・・・・・・・・	2
高速大容量直流電動機 (1,500 kW 1,800 rpm および 500 kW 3,600 rpm)	
萬谷 廣・神浦秀太郎・有働星―…	10
住友銀行大手町 ビル 向け クリネヤ武藤 哲・酒井正侃…	18
米穀低温倉庫用 KU-81 形 ユニテヤ・・・・・・・河合照男・・・	27
精密交流記録磁束計 野口英男・土屋英司…	31
ァナログディジタル 変換器・・・・・・・・・・・・・・・・・・・・・・・・・・・・・・・・・・・・	39
高速度電磁接点岡 久雄…	45
DL 形陽極 シ+ 断器 ・・・・・岩垂邦昭・・・	57
トランジスタ 搬送電話端局装置北垣成一・室田 慎…篠原 博…	63
水銀整流器の等価試験阿部久康・山口峯男・池田和郎・塚本昭二…	68
《技 術 解 説》	
自 動 制 御 (2)	
《原子力情報》	-
JRR-2 原子炉(1)	104
《W 社 文 献 抄 訳》	
トランジスタ を応用した同期電動機制御装置・多数組合わせの減速機構・ホール 増幅器の原理とこれが設計上の 考慮・シリコンスイッチ	110
《ニュース フラッシュ》	
医学用 テレメータ 実験に成功・中部電力株式会社川口発電所向け 32.000 kVA 水車発電機完成・半導体整流 器保護用 FL 形低圧速動 ヒューズ FT 形低圧表示 ヒューズ 生産開始・避雷器現場試験器・中山製鋼向け 40t	
(最大 50 t) アーク 炉および山陽特殊製鋼向け 30 t アーク 炉受注・三菱銀行向け 900 Mc 帯 パンカービジョン 受注・関西電力交流計算盤第 2 期増設工事受注・電通研向け中性子 デフラクトメータ 受注	112
《特許と新案》	
(特) 自動減菌装置・(特) 弁形避雷器円盤素体・(特) 冷蔵庫の箱体 30,	115

近畿日本鉄道名阪特急"新ビスタ・カー"用 主電動機および制御装置

伊丹製作所 浅 越 泰 男* • 相 田 茂 夫*

Traction Motors and Control Equipment of New Vista Cars for Kinki Nippon Railway

Itami Works Yasuo ASAGOE · Shigeo AIDA

On Osaka-Nagoya line of Kinki Nippon Railway new broad gauge express Vista Cars were started to run with the completion of turning the track to broad gauge all the way. The goal of this project is to connect these two cities in two hours at a schedule speed of 90 km per hour. With high speed performance, safety is assured by combining electric and air brake equipment. To deliver speed of about 100 km per hour running on the line of 33 % grade, output per unit weight of the new Vista Car is the largest in this country. In building the new cars experience gained from the trial manufacture of Vista Car in 1958 played vital part, thus Mitsubishi traction motors, control equipment and brake equipment contributing to interurban traffic.

1. まえがき

大阪一名古屋間を結ぶ近畿日本鉄道は従来同路線が大阪一中川間(大阪線)が広軌(1,435 mm)、中川一名古屋間(名古屋線)が狭軌(1,067 mm)であるため、直通運転が不可能で途中乗換えを余儀なくされ、旅客 サービスの面においても表定速度向上のためにも大きな ハンディキャップとなっていたが、このたび同鉄道永年の宿願であった名古屋線広軌化の大工事が完成の運びとなり、新形式のデラックス電動列車"新モスタ・カー"による直通運転が開始され面目を一新するにいたった。

この "新 ビスタ・カー" MTM 12 編成の主電動機, 制 御装置, 空気 ブレーチ 装置などの主要電機品は当社の製作

になるもので、昭和 33 年夏 1 編成製作された"ビスタ・カー"の経験を生かし将来大阪一名古屋間 2 時間運転(表定速度 90 km/h)を目標に高速化をはかるため 3 車体 4 台車連節方式による全軸駆動とし、高速性能向上とともに安全性を確保するために大きな電空併用 ブレーキ 力を得られるものとしている。33 % の急 コウ配路線を約 100 km/h の高速で走破するために、この"新 ビスタ・カー"の単位重量あたりの出力はわが国最大のものとなっている。

2. 要目および特長

2.1 要 日

"新 ヒ̄スタ・カ-"の概略要目は 表 2.1 に示しその性

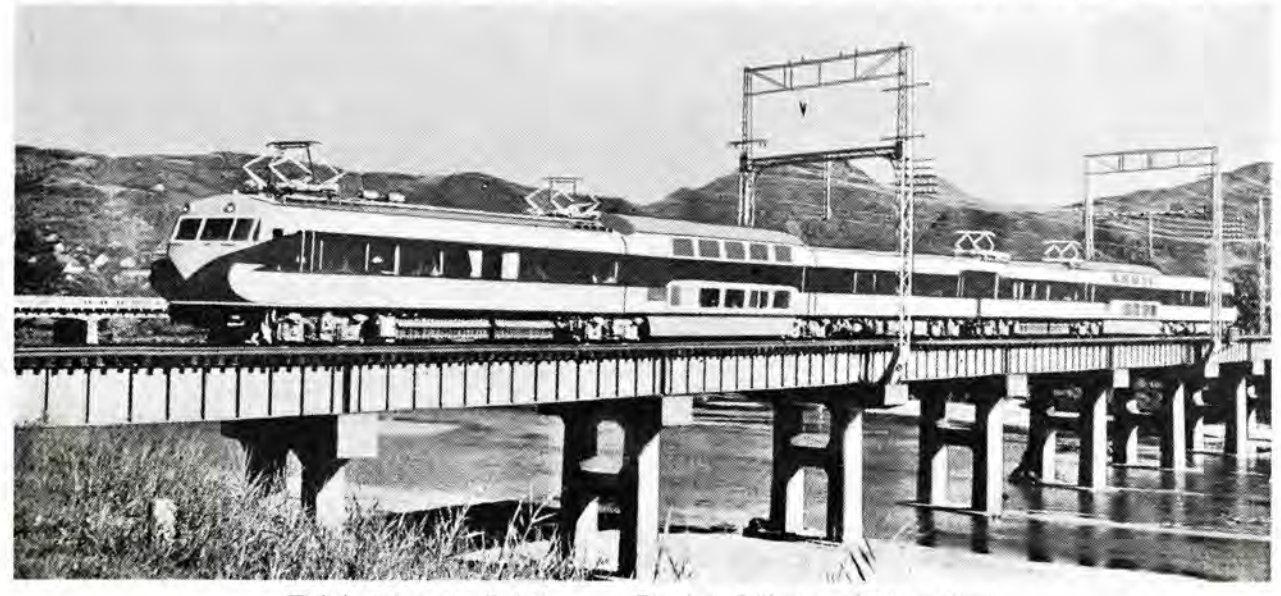


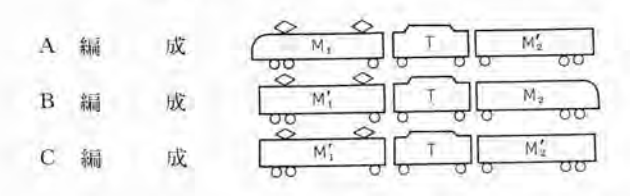
図 1,1 "ビスタ・カー"全景

Fig. 1.1 Full view of "Vista Car."

表 2.1 "新 ビスタ・カー" 要目表

項目	M1, M1' 40	T車(2階式)	Mz, Mz' 4
随間 (mm)	1,435	同左	间左
尼気方式	DC 1,500 V	同左	固定
自派 (t)	36.85	19.15	34.8
定員(名)	68	52	68
最大寸法(長さ)(mm)	(M ₁) 17,760 (M ₁) 17,300	14,100	(M ₂) 17,760 (M ₂ ') 17,300
" (幅) (mm)	2,800	2,800	2,800
# (高さ)(mm)	4,150	4.060	3,600
作輪径 (mm)	860		860
上電動機形式	4 × MB-3020-D		4×MB-3020-D
" HAJI	125 kW 340 V	_	125 kW 340 V
" 海車比	77/20=3.85		77/20=3,85
固御裝置形式	ABFM-178-15MDH		ABFM-178-15MDH
空気ブレーキ装置形式	HSCD	HSCD	HSCD

(注) 1. M₂、M₂ 車は夏季冷房用水 1t を積載する.2. 編成形式



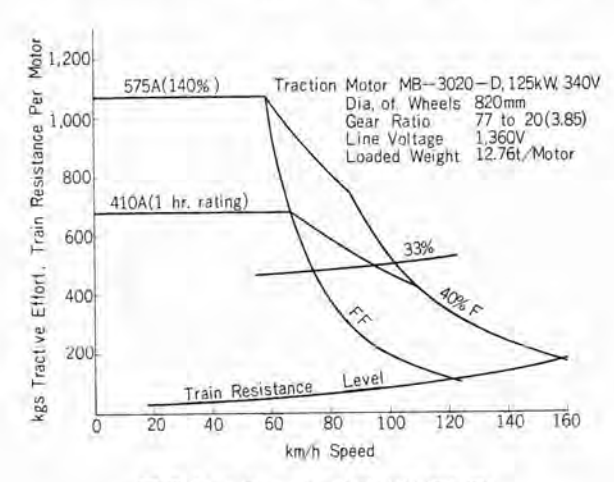


図 2.1 "ビスタ・カー"出力性能曲線 Fig. 2.1 Output performance curve.

能曲線は図 2.1 に示す.

編成 3 車体 4 台車連節 M₁TM₂′ 4 編成 M₁'TM₂′ 4 編成 M₁'TM₂′ 4 編成 計 12 編成

(M 端面流線形, M' 端面丸形貫通式)

出力 1,000 kW 1,360 V (1,100 kW 1,500 V)

列車長 49 m 自重 90.8 t 定員 188 名

定員時重量 102.1 t (冷房用水 1t を含む)

最大運転速度 135 km/h 最大許容速度 172 km/h 加速度 2.6 km/h/s (定員平たん線) 最大減速度 常用 4 km/h/s (")

非常 4.5 km/h/s (

2.2 特 長

- (1) この列車は通常 MTM 3 両または MTMMTM 6 両編成で運転されるが、125 kW 主電動機による全軸 駆動であるので単位重量あたりの出力は 1,360 V において 11 kW/t. 1,500 V において 12.1 kW/t というきわめて強力なものとなり、その優秀な走行性能はデラックス な外観、車内設備にふさわしいものである。
- (2) "旧 ビスタ・カー" と同一定格の主電動機を使用しているが、km/t の増大とともに歯車比も小さくしたのでその高速性能はいちじるしく向上し、平たん線つりあい速度は 150 kW/h 以上、33 % 急 コウ 配のつりあい速度は 100 km/h に達している.
- (3) 最大運転速度 135 km/h から全界磁全力電気 ブレーキ が可能であり、ブレーキ 距離短縮の上に大なる効果をもたらし、運転上の保安を確保している.
 - (4) 総容量 1,100 kW (125 kW 主電動機 8 台制御)



図 3,1 MB-3020-D 形 主電動機

Fig. 3.1 Type MB-3020-D traction motor.

の抑速電気 ブレーキ 付制御 装置はきわめて コンパクト に 設計製作され、大容量の主 抵抗器とともに M₁ 車の床 下に全部装備されている。 なお M₂ 車には空制装置、 M-G、冷房装置などが装備 されている。

(5) 速度検出継電器を 使用し最高速度自動制御を

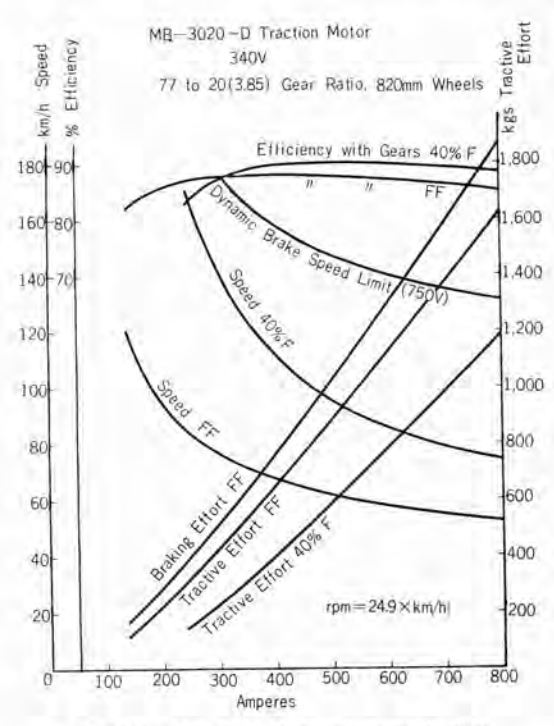


図 3.2 MB-3020-D 形主電動機特性曲線 Fig. 3.2 Traction motor characteristic curves.

3. 主電動機およ び駆動装置

3.1 主電動機

主電動機は WNド ライブ式 MB-3020-D 形で 1 時間定格 出力 125 kW, 340 V (138 kW, 375 V)で ある. 急コウ配路線 用として過負荷に耐 えうるよう温度上昇 には十分余裕をとっ ており、熱的には150 kW 級 (375 V) の 実力を有している. 内部構造としては "旧ビスタ・カー"の 主電動機と類似であ るので詳述を省く が, その使用実績か ら種々の改良を施し ている. すなわち弱 界磁率をあげるため に補極を設計変更す るとともに, ブラシ保 持器の構造を変更し て保守を容易にして いる. また通風方式 も改善を加えてい る. 主電動機の諸元 はつぎのとおりであ 3.

形名 MB-3020-D 形 方式 直流直巻, 台車装架, 丸形 ワク, 半密閉自己 通風式

1 時間定格 125 kW 340V

105 -3631654 OLD ≠098 93 AA 0 0 1 340 (E MB 0 二中 9944年三 439 - 082

Fig. 3.3 Traction motor and drive equipment outline,

図 3.3 主電動機駆動装置外脳図

410A 1,800rpm (138kW 375V) 80% 弱界磁 連続定格 112kW 340V 370A 1,900rpm 80% 弱界磁

最弱界磁率 40%

最大回転数 4,500 rpm

最大許容端子電圧 750 V

重量 780 kg

3.2 駆動装置

駆動装置は高速電車用として信頼性すこぶる高く広範囲な実績を有している WNドライブ を使用している。今回のものは高速性能をあげるため歯車比を小さくしている。 ギャュニットは高速運転に適するよう ギャケース構造の一部改良を計っており、カップリッグ は保守を容易にするために従来のオイルシールを廃止して、ラビリッス 式油止め構造に変更している。 諸元は次のとおりである。

ギヤユニット 諸元

形名 WN-50-C4 形

形式 全密閉一体鋳鋼 ギャケース 付

一段減速 ヘリカルギヤユニット

歯車比 77:20=3.85:1

モジュール 7 ねじれ角 21 度

材質 大歯車……炭素鋼

小歯車·····Ni-Cr-M。 修炭緇

重量 430 kg

ギャカップリング 諸元





図 3.6 WN-550-A4 形 ギヤカップング Fig. 3.6 Type WN-550-A4 gear coupling.

形名 WN-550-A4 形

形式 ダブルインタナルエキスタナルギヤ 形

両軸許容偏位 偏心 ±19 mm

左右 ±12 mm

重量 50 kg

4. 制 御 装 置

特急車用として使用する制御装置は、とくに軽量簡単化を目標としなければならないことは当然である。この制御装置は、33年7月以来好評のうちに快走を続けている"旧ビスタ・カー"用の制御装置をさらに簡単化し、しかも性能にいっそうの向上を加えたもので、8個電動機を単一制御し、総容量1,100kW,1,500Vという、"旧ビスタ・カー"と同様、電車としてはわが国最大容量を有するものである。

4.1 制御装置諸元

形名 ABFM-178-15MDH

架線電圧 DC 1,500 V

主電動機 340 V 410 A 125 kW×8 最大弱界磁

率 40%

制御電圧 DC 100 V

制御空気圧 5 kg/cm²

制御方式 電動 カム 軸 スイッチ 式

制御段数 力行 22 段(抵抗制御 18 段,界磁制

御4段)

電気 ブレーキ 19 段 (全界磁抵抗制御)

シナ断方式 力行 常時減流 シャ 断, 非常時高速

度減流シャ断

電気 ブレーキ 界磁短絡後 シャ 断

加速度 2.6 km/h/s (MTM 編成定員乗車時)

減速度 4.0 km/h/s (同上常用)

4.2 おもな特長

(1) 回路および器具の簡単化

"旧 ビスタ・カー"でも同様であったが、特急車専用としてできるだけ回路を簡単にするため、主回路は、4個直列にした2群の主電動機を永久並列に接続して、直並列渡りを廃止した。

また主抵抗器は各主電動機群ごとに1群ずつ挿入し、電気 ブレーキ 回路は中央回路の Bスイッチ だけで形成する 簡単なものとした.

またこの制御装置では、電気 ブレーキ時、初段から全界 磁ブレーキが可能なことと、カム 軸スイッチ製作の高度の技術 や高性能の限流継電器の使用によって 22 段という多く の ステップ を カム 軸の 1 回転で取ることができたことと により、4 段の弱界磁用 スイッチ を抵抗 スイッチ と同軸に 配し、一方逆転器と直並列切換用 スイッチおよび界磁短絡

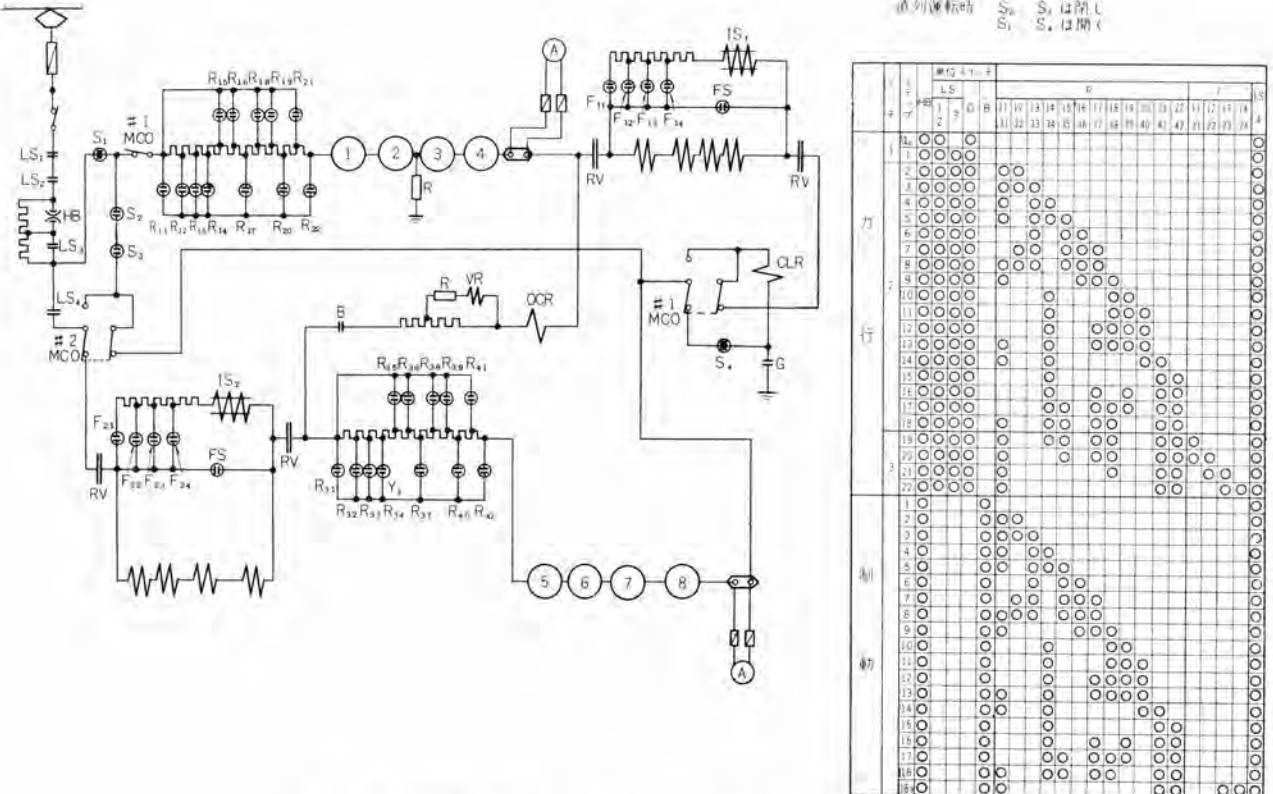


図 4.1 主回路 ッナギ Fig. 4.1 Connection of main circuit.

用スイッチを他の一軸のカムスイッチ群として、それぞれ1個 ずつの かん 電動機で駆動するようにした.

このため "川 ビスタ・カー" のように界磁弱め スイッチ を逆転器と同一軸に配した場合に比べ、制御回路も、器 具自身も相当に簡単化された.

(2) 直並列運転が可能である.

逆転器兼用の直並列切換カムスイッチにより、主幹制御器 逆転ハンドルの操作によって 8 個電動機全部の直列運転が できるようにしたため、いわゆる永久並列接続でありな から広範囲の速度選択ができる.

(3) 最高速度自動制御装置の採用

この列車はつりあい速度が高く、平たんでは150km/h にも及ぶので、100~120 km/h での連続運転を容易にす るため、弱界磁ステップでの自動ステップもとし装置を設け te.

これは専用の速度検出継電器の作用により、弱界磁運 転中速度が一定値まで上昇すれば自動的に全界磁へ ステ nj もどしを行ない、速度が一定値まで下降すればふた たび自動的に弱界磁ステップに進めるものである.

また主幹制御器を 3 ノッチ から 2 ノッチ にもどすこと により、手動的にも弱界磁から全界磁にもどすことがで きる.

(4) 抑速ブレーキ方式の簡単化

この電車は長区間にわたり 33% の コウ配を運転する ので、停車用の電空併用 ブレーキ のほかに、コウ配下降用 の抑速 ブレーキ装置を備え、33 % のコウ配を 95 km/h 以 トの各速度で降下できる.

この抑速 ブレーキ 装置は上幹制御器に、「進め」および 「保ち」の2 かまを設け、まず「進め」ノッチによって 所要のステップで抑速ブレーキを作用させるもっとも簡単な 方式で、コウ 配の度合や荷重に関係なく、求める速度を 容易に得られるものである.

4.3 主 回 路

図 4.1 に示すようにきわめて簡単である。 図中 L₁ス イ・チ は逆転器不転換のまま 反対方向に 動かされたとき の異常電流を防止するものである。

4.4 主要器具

(1) 断流器箱

図 4.2 に外観を示す。 箱内には LS₁~LS₄ およびB、 G スイッチ, さらに高速度減流器 HB を納めている。

単位 スイッチは"旧ドスタ・カー"に使用されて以来そ



Fig. 4.2 Line switch box.

三菱電機 · Vol. 34 · No. 2



図 4.3 主制御器箱 Fig. 4.3 Main controller box.

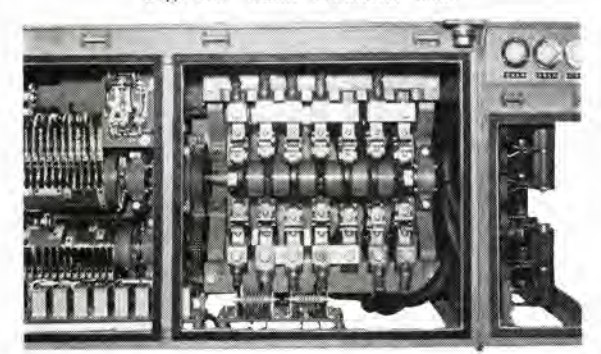


図 4.4 逆転器,直並列切換器,界磁短絡器 Fig. 4.4 Reverser, S-P changing switch, field coil circuit shorting switch.

の性能を高く評価されている UP96 形で、シャ 断能力は スイッチ 単独で、1,500 V、20 mH で 3,000 A、高速度減 流器と組合わせれば、1,500 V、20 mH で 10,000 A に も及ぶものである・

(2) 主制御器箱

図 4.3 は内部正面から見た写真, 図 4.4 は逆転器, 直並列切換器兼界磁短絡器部分を拡大した写真である.

箱内左手側板には限流継電器および 4 個の短絡継電器,正面左手には 24 個の抵抗制御用 カムスイッチ および それと同軸に配した8個の界磁制御用カムスイッチ群,正面右手には、やはり同軸に配した逆転器,直並列切換器および界磁短絡器用の 14 個の カムスイッチ 群,正面中央にはそれぞれを駆動する 2 個の カム 電動機およびそれぞれ



図 4.6 主幹制御器 Fig. 4.6 Master controller.

図 4.7 速度検出継 電器箱 Fig. 4.7 Speed detection relay box.



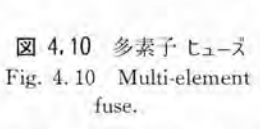
図 4.5 カムスイッチ Fig. 4.5 Cam contactor.







図 4.9 誘導分 流器 Fig. 4.9 Inductive field shunt.





の制御 F5ム, さらには補助継電器類, 右手側板には主電動機開放器を納めている.

このようにこの1箱内にはほとんどすべての制御装置 器具が整然と納められ、重量や スペース が合理的に軽減 されている。

使用した $b\Delta x T = 1,500 \text{ V}$, 500 A という大容量 のものであるが、合理的な設計による接触部の損傷の少なさは、"旧 b = 1,500 V の使用実績によって証明ずみのものである。 20.5 C その写真を示す。

(3) 主幹制御器

主 ハッドルはデッドマッ装置をそなえ、力行 3 ノッチと ブレーキ「進め」、「保ち」および「断」の 6 位置がある。

主ハンドルおよび逆転ハンドル部分は専門 デザイナ によって斬新な デザイン がほどこされ、図 4.6 に示す写真のように美しく スマート なものになっている.

(4) 速度検出継電器

いわゆる メーターリレー と 3 個の補助継電器の組合わせで、1 箱に納めて運転室に取付けてあり、前述のように高速での ステップもどしを行なうものである.

3 個の補助継電器のうち2個は tuo 整流器によって 時限を持たせ、動作の安定をはかっている. 図4.7に写 真を示す。

この動作については後述する.

(5) その他の器具

図 4.8 に主抵抗器, 図 4.9 に誘導分流器, 図 4.10 に多素子ヒェールを示す。

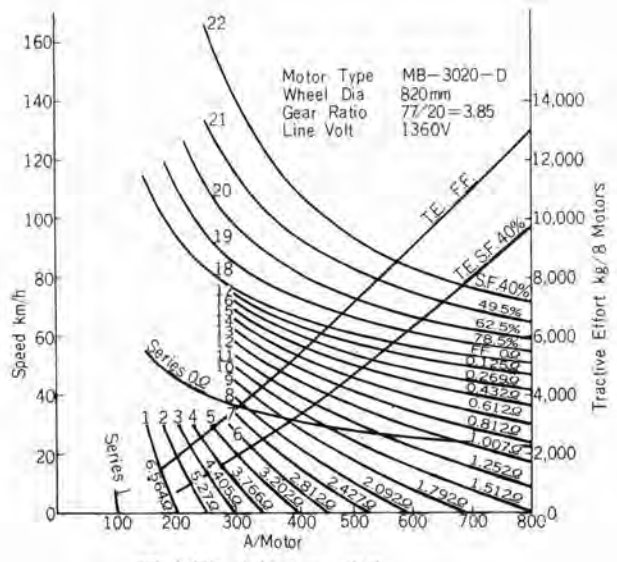


図 4.11 力行 ノッチ 曲線

Fig. 4.11 Power running notching curves.

主抵抗器は、特急車であるから起動や ブレーキ のひん 度が少ないことと、33 %の コウ配で抑速制動をかなり 長区間にわたって行なうことを考慮して、熱容量の大きな鋳鉄製のブリッド抵抗器を用いた。

誘導分流器には 界磁制御用の 抵抗器を 取付け、33 %の パランス 運転に対して十分な容量を持たせてある.

多素子 ヒューズ は 1,500 V, 1,000 A のもので、屋根上 に装備している。

4.5 動作の概要

(1) 力 行

起動は全界磁起動であるが、減流1段にさらに十分な 捨 ステップ をとってあるので、起動初期はきわめて スムー ス である。

図 4.11 に力行 ノッチ 曲線を示す.

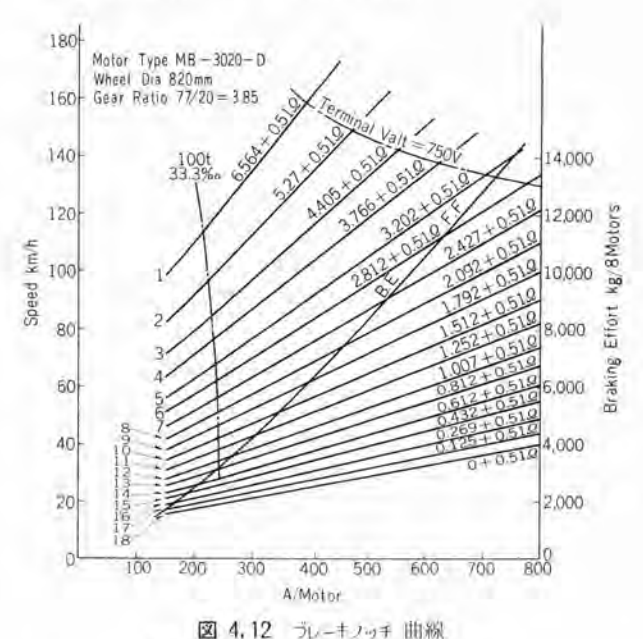


Fig. 4. 12 Brake notching curves.

ノッチオフ 時は減流 シャ 断を行なう.

(2) ラレーキ

HSCD 方式による電空併用 ラレーキ で、 アクチェータ の 作用により ラレーキ 弁 ハンドル 角度に応じた 電気 ラレーキカ が得られる。

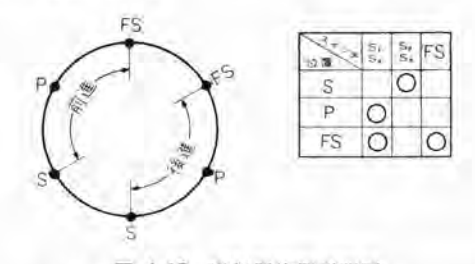
また車両の軽量化によって積空の重量比がわりに大きいので、 高速でスキッド 限界いっぱい の電気 ブレーキカが 得られるように、空気 パネの内圧から検出する可変荷重機構を設け、限流値を荷重に応じて自動的に変更している。

またこの車では前述のように、高速での電気 ブレーキ 力を 確保するため 135 km/h の最高速から 全界磁で 電気 ブレーキ を 作用させているが、 ブレーキ かけ始めの ショック を 少なくするため、 抵抗値の大きな ブレーキステップ を 十分に とってある。 図 4.12 に ブレーキノッチ 曲線を示す。

ブレーキ 最終 ステップ に達すれば、弱界磁して減流する とともに締切電磁弁を消磁して空気 ブレーキ を付加する・ ブレーキ 途中 ステップ でのゆるめ操作では、主電動機 の界磁を短絡して減流した後、B、LS、によって回路を シャ断する・

(3) 逆転器, 直並列切換器兼界磁短絡器の動作

前述のようにこれらは同一軸に配したカムスイッチ群であるが、図 4.13 に示すようにこの軸には前進および後進に対してそれぞれ S, P, FS の 3 位置をもっており、それぞれの位置における各 カムスイッチ の開閉模様もまた同図に示されている.



, 図 4.13 逆転器位置説明図

Fig. 4.13 Diagram showing reverser positions.

すなわちS位置は8個電動機が全部直列に接続される 低速運転位置であり、P位置は平常の高速運転位置、FS は主電動機の界磁を短絡する位置で、電気ブレーキを途中 ステップでゆるめたとき、または電気ブレーキ中過電流継電 器が動作したときにこの位置をとった後、回路をシャ断 するようになっている。

なおどの位置にあっても、 ラレーキ 弁ゆるめ、主幹制御 器断の状態となれば、P位置にもどるようになっており、 平常運転の際の デッドタイム をなくしている。

(4) 速度検出継電器の動作

4.2 (3) および 4.4 (4) で述べた高速での自動ステップ

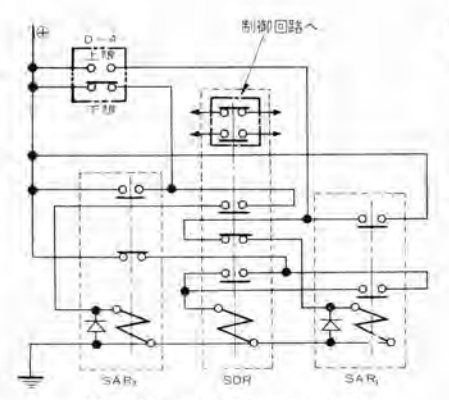


図 4.14 速度検出継電器回路

Fig. 4.14 Speed detecting relay circuit.

もどしのための速度検出装置は、図 4.14 に示すような回路になっている。図中 D-4 が速度計発電機の出力を受けて動作する速度計継電器の接点を示すもので、下限以下の速度では接点は図示のとおり下方に接触し、上限以上の速度では上方に接触する。

SDR は速度検出継電器と名づけるもので、図に示す上方の a, b 2 接点が制御回路に組み込まれ、SDR が吸引すれば弱界磁から全界磁へとステップをもどし、落下すればふたたび弱界磁へステップを進める。

SAR₁ と SAR。は補助継電器で、速度が上限に 達して SDR がいったん吸引すれば、つぎに速度が 下降して下限に達する瞬間まではその状態を保持 し、速度が下限に達してふたたび SDR が落下すれ ばたとえ速度がふたたび上昇しても上限に達する瞬 間まではその状態を保持する作用を営むものであって、 この保持作用を確実にするため、落下時に限時性を持た せてある。

またこの回路は接点容量の小さな速度計継電器 D-4 に、電流を シャ 断させないように工夫されている.

4.6 保護装置

器具簡単化の線に沿って、保護装置もきわめて簡単になっている。すなわち、力行回路は高速度シャ断器と多素子ヒューズにすべての任務を負わせ、別に過負荷継電器を設けていない。ブレーキ回路には過電流継電器だけ設け過電圧継電器は設けていない。図 4.12 のブレーキノッチ曲線で明らかなように、その必要性がまったくないからである。

そのほか、低圧電源用としては ノーヒューズブレーカ を備え、最少限の器具をもって十分の保護を行なっている.

4.7 現車試験

現車試験は 34 年 8 月,最初の 1 編成によって行なわれたが、今回は従来の電磁 オシログラフ 方式によらず、 高性能の直流変流器と ペンオシロ を使用した。

また ブレーキ 時には、各部の空気圧も電気的出力に変換して、電気回路の電圧電流などと同時にペッオシロで記

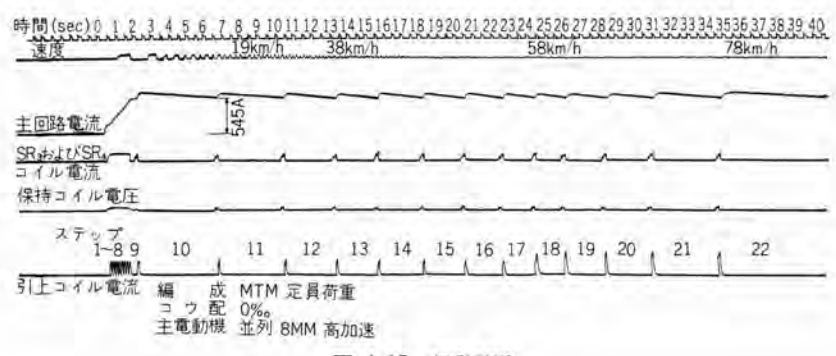


図 4.15 起動試験

Fig. 4.15 Starting test.

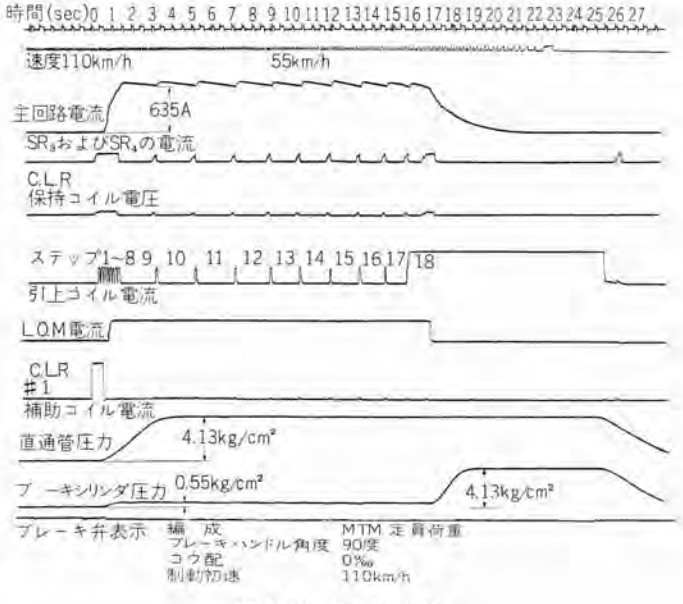


図 4.16 ブレーキ 試験 Fig. 4.16 Braking test.

録したので、電空併用づレー+の性能を容易に測定することができた。

図 4.15 および 図 4.16 にそれぞれ起動および電空併 用プレー‡の代表的記録を示す。

現車試験結果から、この車の制御装置が所期の性能を 十分に満足するものであることが確認された。

5. む す び

近畿日本鉄道においてはこの"ビスタ・カー"の製作途中伊勢湾台風により名古屋近傍の路線が甚大な被害をうけ、われわれとしても心からご同情申し上げたのであるが、幸い関係者のご努力により2カ月を要した復旧工事と時を同じくして広軌化の工事が完成し、予定より早く"ビスタ・カー"による快適な直通特急運転が開始されたことは望外の喜びであった。願わくばこの"ビスタ・カー"が所期以上の性能を発揮して不通であった2カ月間のブランクを補って余りある活躍を期待するものである。

終りにあたりこの電機品の設計,製作,試験に際しい ろいろとご指導,ご協力いただいた近畿日本鉄道の各位 ならびに当社伊丹製作所の関係者の方々に深く謝意を表 する次第である.

高速大容量直流電動機 (1,500 kW 1,800 rpm および 500 kW 3,600 rpm)

長崎製作所 萬 谷 廣*·神浦秀太郎**·有 働 星 一**

High Speed Large Capacity DC Motors

(1,500 kW 1,800 rpm and 500 kW 3,600 rpm)

Nagasaki Works Hiroshi MANTANI · Hidetarō KONOURA · Seiichi UDO

Two high speed large capacity DC motors have been built for use in Nagasaki Works. One is rated at 1,500 kW 600 V 1,800 rpm continuous, being a record product at this speed in this country. This is to be used chiefly for the test of 208,696 kVA inner cooled turbine generator and 750~1,000 kVA four pole main generators of marine use. The other is 500 kW 500 V 3,600 rpm continuously rated machine assigned for the testing of turbine generators below 10,000 kVA to be used for non-utility generation and two pole induction motors. This unit is also intended for the study of directly coupled exciters of 125,000 kW class turbine generators. Completion of these machines called for high grade technique, but the result was very successful due to painstaking effort on various technical considerations, covering multiplicity of armature windings, their AC resistance, commutation, cooling, rigidity of shaft and adaptability of reverse operation. Of various features, outstanding is the writers' contrivance in the improvement of commutation which has done away with the difficulty in the commutation even in the event that the reactance voltage calculated by Lammi's formula exceeded 10 volts in the design of 1,500 kW machine.

1, まえがき

当社長崎製作所の設備用として、高速大容量直流機を、2機製作した。その1機は、1,500kW 600 V 1,800 rpm 連続定格で、この回転数でのわが国の記録品であり、主として 208,696 kVA 内部冷却 タービン 発電機および 750~1,000 kVA 四極船用主発電機などの試験に使用されるものである。他の1機は 500 kW 500 V 3,600 rpm 連続定格のもので、10,000 kVA 以下の自家発 タービン 発電機および二極誘導電動機などの試験用であるが、この機械はまた、125,000 kW 級 タービン 発電機用直結励磁機の研究をも、その使命の一つとして製作された。これらの機械はかなり製作が困難で、高度の技術を必要とするものであるが、いずれもきわめて満足すべき結果をえた。

以下に、まず、これら直流機の概要を報告し、ついで、これら高速大容量直流機製作に関する 2、3 の技術的の問題点を論じ、ご参考に供することとする.

2. 1,500 kW 直流電動機の概要

2.1 定 格

1,500 kW 600 V 1,800 rpm 連続定格 他励複巻 (励 磁電圧 220 V) 閉鎖形 B 種絶縁

なお、軸は両軸端で 3,000 kW 1,800 rpm に耐えるを

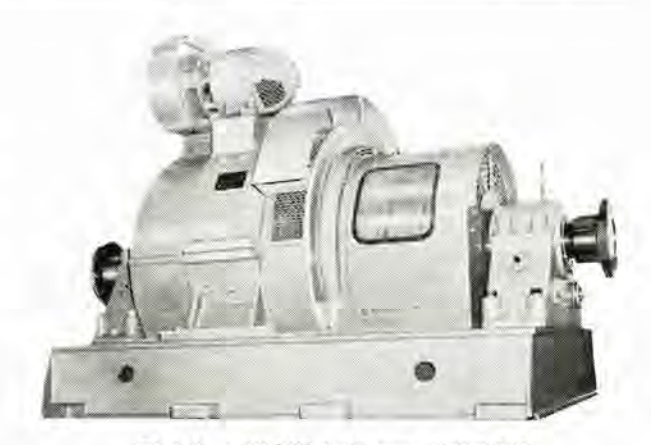


図 2.1 1,500 kW 1,800 rpm 直流電動機 Fig. 2.1 1,500 kW 1,800 rpm DC motor

要する.

2.2 構 造

単電機子・ペデスタル 形・補償巻線付・強制潤滑で、他 力通風と自己通風の併用である。図 2.1、2.2 は外観お よび構造を示す。

(1) 電機子

鉄心は外径を小とし、市販 ケイ素鋼板より丸抜きの一体ものでとった。鉄心外径を小としたので軸方向長は大となり、ために整流電圧は上昇し、温度上昇の抑制も困難となるなどの不利を伴ったが、それらの不利にもかかわらず丸抜き一体鉄心を採用し、機械的強度の安全を期した。また、セクタ 鉄心とし ダヴテール 式または ピンタイプ

10 (252) * 技術部直流機設計課長 ** 技術部

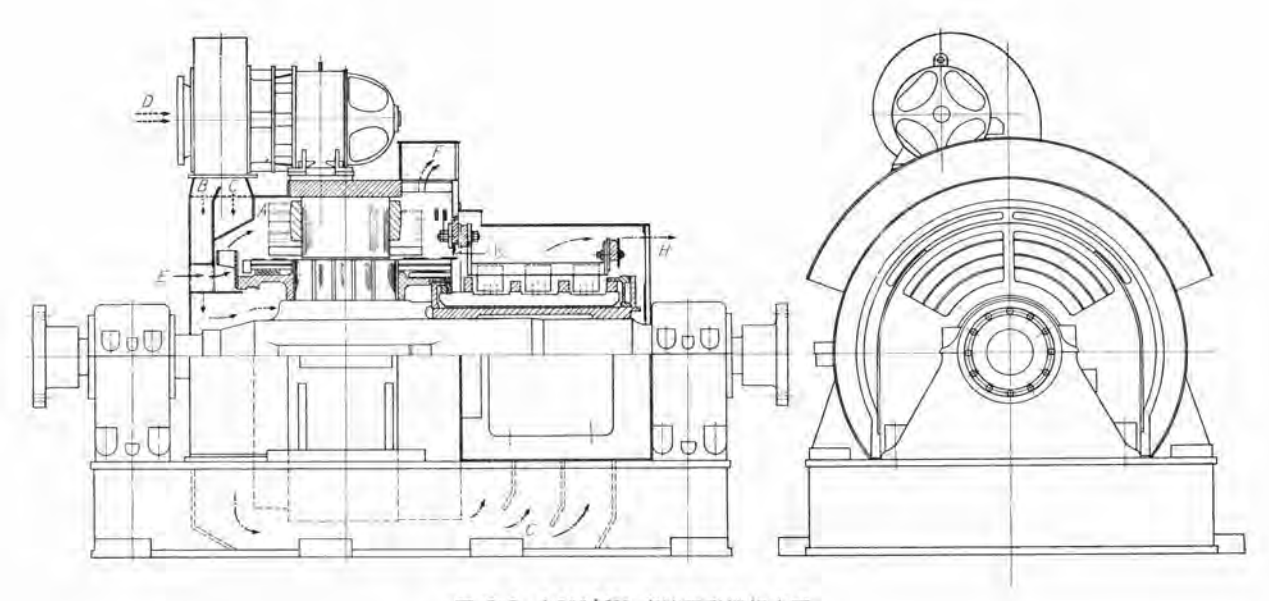


図 2.2 1,500 kW 直流電動機組立図 Fig. 2.2 Assembly of 1,500 kW DC motor.

式としたとき発生する工作上の困難を排除し、工費を低減した。コイルは電気的・機械的に優秀な低圧 ダイヤレジャ 絶縁であり、ミブクサビは フェノールレジャ 処理 ガラス 繊維積層板の強力 クサビ である。電機子 クラッパ には強力銅合金を、バイッド線には非磁性鋼線を使用し整流電圧を低下した。軸は剛性軸とし、振動に対する安全性を高めた。

(2) 整流子

高速大容量機では、整流子の製作はもっとも技術を要するものの一つである。フルフロート シュリンク 形 (Fullfloat shrink ring type) を採用し、整流子の熱変形による整流への悪影響を極力回避した。この整流子はこの形式のものとしてはきわめて大形のものに属し、当所の記録品である。整流子片は銀入硬銅、シュリンクリング は特殊強力 鋼であり、整流子片片間 マイカ の厚さは 1.2 mm である。

(3) 通風

他力通風と自己通風の併用で、他力扇駆動用電動機は16kWである。自己通風を併用することにより他力通風扇の容量が軽減し、また、負荷が1,000kW以下のときは整流子カバーを取はずせば、自己通風だけでも運転できるようにした。他力扇による風量のうちB部を通る風は電機子鉄心を、C部を通る風は整流子を冷却する(図2.2参照)。これら両部への風量の配分はB・C間の間隔片の位置できまる。その位置は試験により、電機子鉄心および整流子の温度上昇の調和をとり、最終的に決定する構造とした。電機子鉄心ダクトは比較的多く、他力扇と和動に作用する。整流子冷却後の炭 ジャを含む空気を、ただもに機外に排除し炭 ジャにより機を汚損しないよう考慮した。

(4) ブラシ 保持器取付腕および ブラシ 配列 (**図2.3**) ブラシ の保守が容易なよう, ブラシ 保持器取付腕および

> ブラシ の配列に考慮を払った. また, ブラシ の周方向 スタガ の 量および スタガ した ブラシ の 形式および材質を吟味し, 整 流性能の 向上を 計った (5.2 (2)(a)参照).

(5) 台 板

溶接鋼板製で、整流子冷却空気の通路の一部を形成している。この機械は移動設備なので、貧弱な基礎定盤上での使用に耐えるよう、台板を十分剛性のものとした。

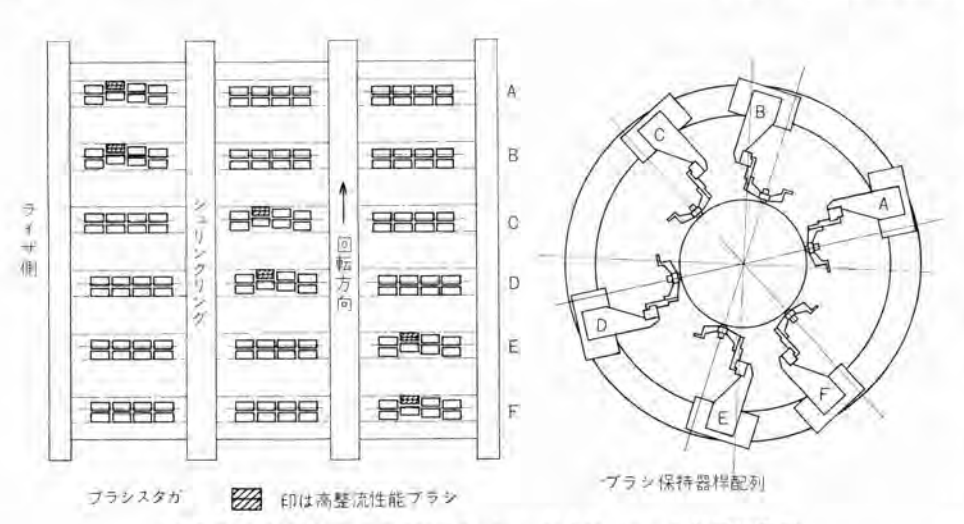


図 2.3 1,500 kW 直流電動機の ブラシ および ブラシ 保持器桿配列 Fig. 2.3 Brush and brush holder rod arrangement of 1,500 kW DC motor.

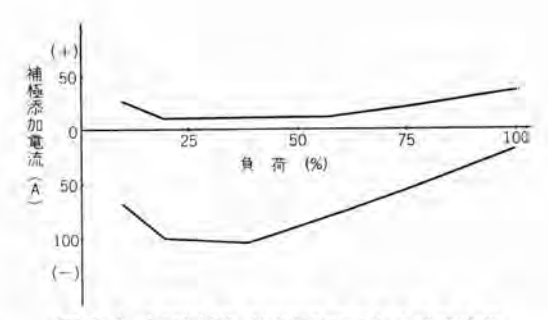


図 2.4 1,500 kW 直流電動機の無火花整流帯

Fig. 2.4 Sparkless commutating zone of 1,500 kW DC motor.

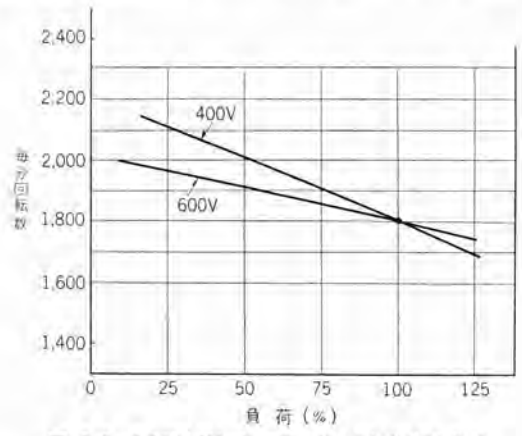


図 2.5 1,500 kW 直流電動機の速度特性曲線

Fig. 2.5 Speed characteristic curves of 1,500 kW DC motor

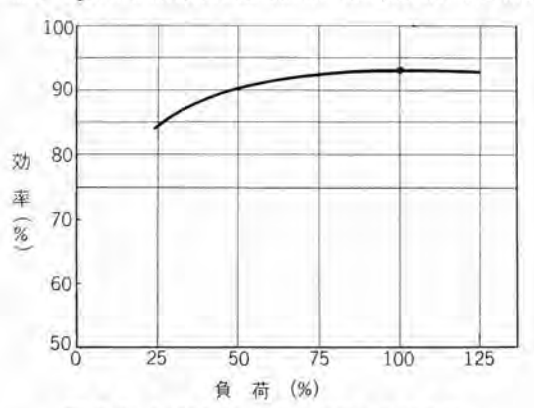


図 2.6 1,500 kW 直流電動機の効率曲線

Fig. 2.6 Efficiency curve of 1,500 kW DC motor. 表 2.1 1,500 kW 直流電動機の振動

(D)	(5)	
(G) (3)		
	(d) 200-1- %	300-
	1,650	2,700

振動測定図

測定条件 1. 上図基礎定盤上で 4. 測定器 2. ファンモータ 停止 振動 ロイトリンガ (全幅に接算) 3. 無負荷状態

			1,800 rpr	n Kan	る各部の	振動 (1/1	.00 mm)		
測定場所 振動方向		軸 受 台		. 3	•	⑤ 整流子	. 0	7	
		业 整流于侧	負荷側	継鉄	台板	整流子	負荷側カバー	サート/	
*		平	1.8	1.3	3.2	1.0	1,8	3,6	5.6
垂		etic.	0.2	0.4	1.6	0.6	0.4	-	-
翰	方	[ń]	0.5	0.4	1.0	0.4	0.6	2.0	1

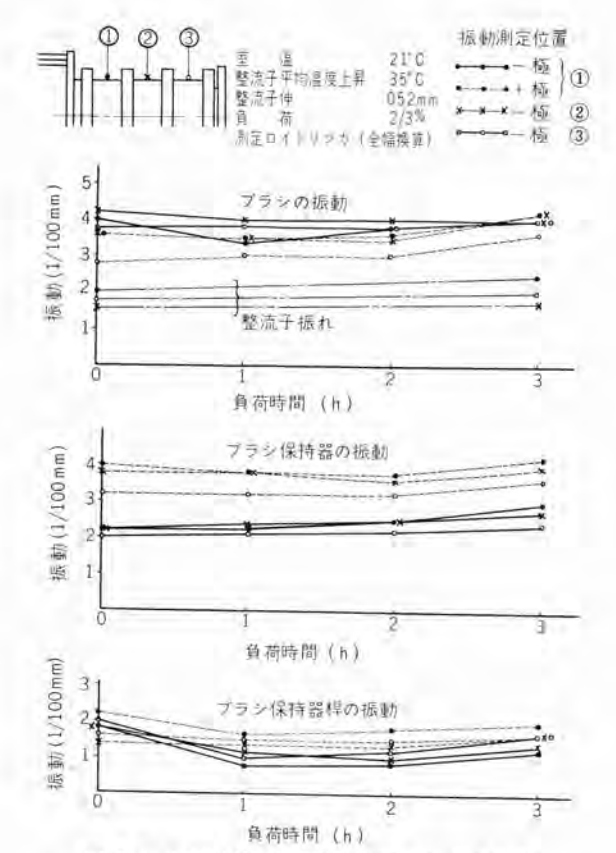


図 2.7 1,500 kW 直流電動機のブラシ 部の振動 および整流子のフレ

Fig. 2.7 Vibration of brush parts and roughness of commutator of 1,500 kW DC motor.

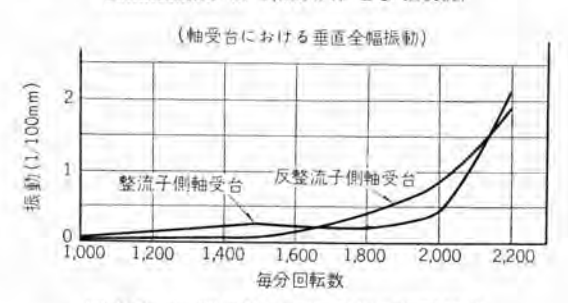


図 2.8 1.500 kW 直流電動機の振動特性

Fig. 2.8 Vibration characteristics of 1,500 kW DC motor.

2.3 試験結果

この機械は容量が大きく、速度はこの容量に対しては きわめて高いので製作の困難なものであるが、十分満足 すべき結果をえた。試験結果のうち、2,3 の事項につき 簡単に報告する。

(1) 整流

リアクタンス 電圧(Reactance voltage)は、Lammi の式(1)で計算し、約 $10\,\mathrm{V}$ である。リアクタンス 電圧は、整流の難易判定の一主要要素である。上式による値は普通の機械では $2{\sim}3\,\mathrm{V}$ 以下であり、 $5\,\mathrm{V}$ 以上のものは整流困難な機械として、特別の考慮を必要とする。この機械の リアクタンス 電圧は、きわめて高いにかかわらず、後記($5.2\,\mathrm{参照}$)などのような、整流改善対策により、定格負荷以上まで、無火花となしえた。 $\mathbf{Z}\,2.4\,\mathrm{L}$ 、この機

械の無火花整流帯である.

(2) 速度特性

図2.5 は速度特性を示す. 速度変動率は約 11% で, 試験設備用として好ましい特性である.

(3) 温度上昇および効率

温度上昇は整流子 57°C, 電機子巻線 46°C, 鉄心 44°C などで、余裕があり、整流の良好なこととあいまって、十分過負荷に耐える能力を有する。効率は約 93% である。図 2.6 は効率曲線である。

(4) 振動および臨界速度

表 2.1, 図 2.7 は,定格速度での各部の振動および フレ を示す.良好な整流の確保には,平静な運転が必須条件であり,とくに高速機では重要である.整流子の フレ および ブラシ の振動は,それぞれ $1.8/100 \,\mathrm{mm}$, $4/100 \,\mathrm{mm}$ で良好である.

図2.8は速度振動特性を示す。試験用設備機では、臨 界速度が使用最高速度以上にあることが好ましい。この 機械の臨界速度は約 2,200 rpm である。

3. 500 kW 直流電動機の概要

3.1 定格

500 kW 500 V 3,600 rpm 連続定格 他励複卷 (励磁 電圧 220 V) 開放形 B 種絶縁

なお、この機械を、励磁機として使用するときの定格 はつぎのとおりである。

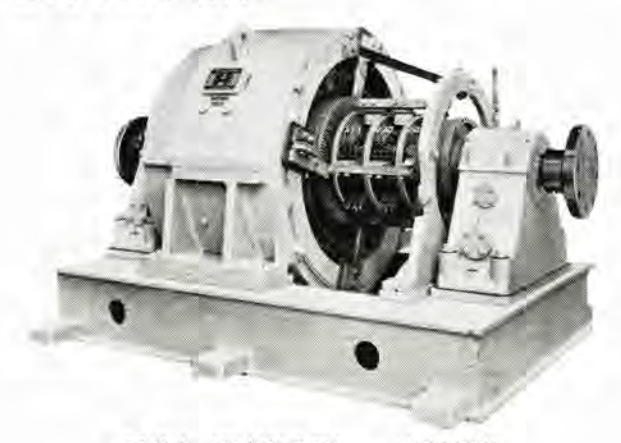


図 3.1 500 kW 3.600 rpm 直流電動機 Fig. 3.1 500 kW 3,600 rpm DC motor.

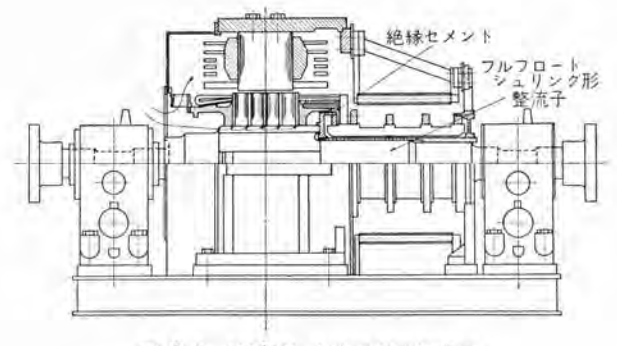


図 3.2 500 kW 直流電動機組立図 Fig. 3.2 Assembly of 500kW DC motor.

400 kW 375 V 3,600 rpm 連続定格 B 種絶縁 3,2 構 造

四極・ペデスタル 形・補償巻線付・強制潤滑で、自己通風である。図3.1,3.2は外観および構造を示す。

(1) 電機子

4,500 rpm の過速度試験に耐えうるものとするため、強度上の安全などを期し、鉄心外径をできうる限り小とした。最高速度での周速は約 130 m/sec である。巻線絶縁・軸・電機子 クランパ・バインド 線などについては 1,500 kW 機とほぼ同様につき割愛する。

(2) 整流子

長期連続運転する励磁機では、ブラシの摩耗は保守の面より、軽視しえない問題である。ブラシの摩耗は、周速が大なるほど多いので、整流子径を状況の許す限り小にした。また、整流子のライザ側外側は保守が困難であり、ここにブラシ粉 ジンなどが堆積し、ややもすると絶縁抵抗が低下し事故を発生する。この機械ではその部分をとくに厳重に防耐 ジン構造とし、かかる事故に対処した。(図3.2参照)

(3) 通風

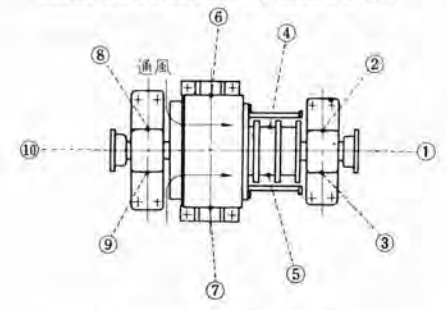
押込通風構造とし、 ブラシ 粉 ジン による機械の汚損を 防いだ、また、通風扇の大きさおよび翼の形状を吟味し、 騒音の減少に留意した。

なお、 ブラシ 保持器取付腕および ブラシ の配列は、1,500 kW 機と同一方式である。

3.3 試験結果

1,500 kW 直流機と同様、満足すべき結果であった・ 整流は 120% 負荷まで無火花であり、速度特性も良好 であった・温度上昇は整流子 51° C、電機子鉄心および 巻線約 40° C、効率は約 91% である。整流子の フレ お よび ブラシ の振動は、それぞれ 2/100、4.5/100 mm で、

500kW直流電動機の上から見た騒音測定位置



測定位置と騒音の大きさ

/	測定	位置		騎	音 7	1. 5	(M	用音	83.5	市》	1		個。	雅
回転	方向	~	1	2	3	4	5	6	7	8	9	10	m3/1	min
榯	:II+	沈	103	104	104	106	106	102	102	105	104	104	38	32
反日	時前	2:	109	108	108.5	110	109.5	107	107	109	109	108	15	66

注 規定回転方向は時計式回転であり、ファンは後向き傾斜羽根、 測定位置は軸心高さの位置で、電動機の各点より 1 m の距離。

図 3.3 500 kW 直流電動機の騒音 Fig. 3.3 Noise of 500 kW DC motor.

きわめて平静であり、また臨界速度は約 4,500 rpm で 定格速度より十分離れており、1/2 調波の臨界速度でも 強力な振動は発生しなかった。騒音は図3.3 のとおりで ある。通風扇の設計などに十分留意したが、高速機なので騒音は約 105 ホッで、かなり高い。

この機械を 400 kW 375 V 3,600 rpm の励磁機としたときの性能も、良好であった。 励磁電圧 250 V での公称速応比は 1.7 で十分高く、運転中の ブラシ の取換えは ブラシ および ブラシ 保持器取付腕の配列の吟味、適切な構造の ブラシ 保持器の採用などによりきわめて容易なので、長期連続運転の場合運転者の負担を軽減できる。

4. 直流機の限界出力

4.1 直流機の kW・rpm 値 (N·n 値)

直流機の製作可能限度は主として整流に関する諸問題からの制ちゅうをうけ、交流機に比していち じる しく小さい。直流機の限界出力は、一般に出力と速度の積、 $N\cdot n$ 値で表わされる。ここに $N=E\cdot I\times 10^{-3}$ (E: 端子電圧 (V)、I: 電機子電流 (A))、n は rpm である。

いま、電機子巻線を 1 ターンコイル (大容量直流機では 一般に 1 ターンコイル となる) とすれば、

$$N \cdot n = 3 \cdot \frac{a}{P} \cdot e_s \cdot (AC) \cdot v \cdot \cdots \cdot (4.1)$$

$$=3\cdot\frac{1}{\zeta}\cdot\frac{E}{E_i}(B\cdot\gamma)\cdot E_{\tau}\cdot v \cdots \cdots (4.2)$$

a 電機子卷線並列回路数

P 主極数

(AC) 電気的装荷 (AC/cm)

v 電機子周辺速度 (m/sec)

ζ Hobert の インダクタンス の係数

(lines/cm)

$$\zeta = 0.6 \frac{t}{b} + \frac{l_c}{l_e} + \frac{2.5 \times 10^5}{(AC) \cdot l_e \cdot v} = 4 \sim 5$$

t ミラの深さ

b ミグの幅

 l_c コイル 端接続長 (cm) $=(l_a-l_e)$

La: コイル 半 ターン 長

le 電機子鉄心長(ダクトを除く)(cm)

 E_i 誘起電圧 (V

B 主極空げき磁束密度 (lines/cm²)

y 主極極弧比 y≒0.6~0.7

 E_r 整流電圧 (V)

 $E_r = 2 \cdot l_e \cdot v \cdot (AC) \cdot \zeta \cdot 10^{-4}$ (4.3) となる. (以下本項での E_r は、式 (4.3) による値を示す). また、式 (4.1)、(4.2) より、

$$(AC) = (B \cdot \gamma) \cdot \frac{E_r}{c_s} \cdot \frac{1}{\zeta} \cdot \frac{E}{Ei} \cdot \frac{1}{\frac{a}{P}} \qquad (4.4)$$

 $e_s\cdot(AC)\cdot v\cdot(B\cdot y)\cdot E_r$ などの諸量の、採りうる最高値に限度があり、したがって $N\cdot n$ 値の最高値も制限される。 e_s は t_{2} 絡(Flash-over)の危険より、v は電機子の強度より、 E_r は整流上より制限される。(AC) は電機子の温度上昇から制限されるが、また、式(4.4)より関係諸量の制限値からおのずと制限される。いま、これら諸量の最高値 $^{(2)}$ として、

 c_s =20、 $B\cdot\gamma$ =5,000、 E_r =10 とすれば、(AC)=500 (ξ =5、E=Ei、a/P=1 として)となり、v の許容値をv=60 (大容量直流機では、構造上あまり高くとれない。 交流機に比して低くなる)とすれば、一重重巻(a=P) では、

$$N \cdot n = 1.8 \times 10^6$$

となる。近年まで一般に採られてきた値(3)である。

いま、二重重巻 (a=2P) とすれば、同一の e_s 、(AC)、v に対し、 $N \cdot n$ は、2 倍となる。しかし e_s 、(AC)、v を一重重巻のときと同一とすることは、鉄心長を2 倍とすることを意味する。したがって E_r もまた 2 倍となり整流が困難となる。 $N \cdot n$ 値を増大しようとするとき、一重重巻では整流が困難になる以前にややもすると他の諸量が、実際上採用しえない値に達するが、二重重巻ではむしろ E_r が問題となり、他の諸量に対する制約は緩和される。しかるに二重重巻では必然的に整流帯(Commutating zone)を広くするを要し、このことは(式(4.3)の簡略式では明らかでないが)整流電圧の低下を招来し、また整流改善その他についての最近の進歩などにより現在では、

$$N \cdot n = 3 \times 10^6$$

が採られるに至った(4).

4.2 1,500 kW 機の主要要目値

E=600, I=2,690, n=1,800 である. よって,

 $N \cdot n = 600 \times 2,690 \times 1,800 = 2.9 \times 10^6$

となり、限界出力と称されている値にきわめて近い値を 有する。この機械よりの経験によれば $N \cdot n = 4.0 \times 10^8$ kW·rpm までは、定格によっては十分の確信をもって 製作しうる見込みである。

この機械は、一重重巻で e_s =20、(AC)=500、v=85で、いずれも高い値であるが、とくに整流電圧は高く、

 $E_r = 17.5$ ($\zeta = 5$ として) である.

5. 高速大容量直流機製作上の 2,3 の問題

5.1 電機子巻線の多重度 (Multiplicity)

限界出力に近い値を有する機械では、その電機子巻線を一重巻線にするか、二重巻線にするかは慎重な考慮を要する。電機子各回路電流値 (I/a)、 e_s ・(AC)・ $(B\cdot\gamma)$ ・ E_r ・v などの限界値に対する割合、ミグの占積率、整流子片幅、シングルクリアランス などを総合的に勘案し、決定するを要する。

5.2 整 流

もっとも慎重な考慮を要することの一つである.

(1) 機械的事項

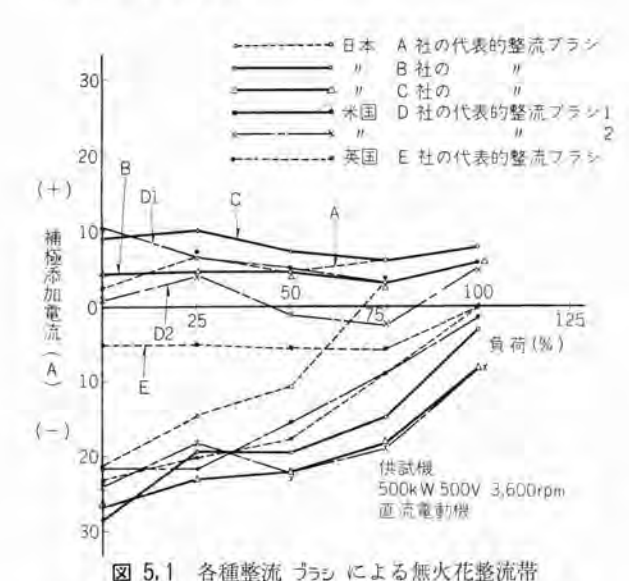


Fig. 5.1 Sparkless commutating zones for some commutation brushes.

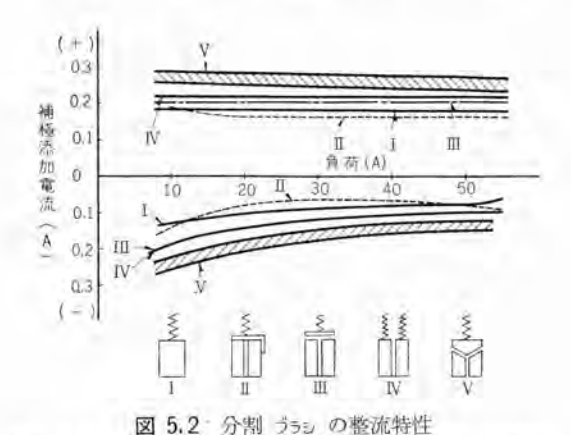


Fig. 5.2 Commutation characteristics of split brushes 高速大容量直流電動機・萬谷・神浦・有働

高速機では整流子の偏心、ハイバ、熱応力による変形などはきわめて微量でも整流に顕著に影響するので、整流子の製作はとくに入念なるを要する。整流子 周速が40 m/sec 以上のような高速機では整流子のついは2/100 mm 以下が望ましく、つい1/100 mm の増加により火化番号1~2 号悪化する。振動も整流を害すること大である。 ブラシ の振動は5/100 mm 以下が好ましい。機械の平衡、ブラシ 保持器の構造などにも細心の考慮が必要である。

(2) 整流電圧

高速大容量機では必然的に整流電圧は高くなり、整流が困難となる。現在のところ制限電圧は式(4.3)で15 Vと称されているが、1.500kW機ではその値が17.5 Vできわめて高く、良好な整流の確保は困難であったが、下記などの方法により定格負荷以上まで無大花となしえた。

a. ブラシ を周方向に スタガ し、終末 スタガブラシ の整流 性能をとくに強化する法

図2.3のようにすることにより、整流その他の性能がいちじるしく改善された。 ブラシ を適当に スタガ すれば整 流帯が広くなって整流電圧は低下し、アンダカットミブ による一列全 ブラシ の同時振動の可能性が排除され、また、一列 ブラシ は全体として後端切欠きの台形 ブラシ の効果をもち、整流が改善される。 スタガ した終末 ブラシ の品質および形式を十分高整流性能のものとすれば、整流はさらに良好となる(5).

図5.1、5.2^(a) は、各種 ブラシ 品質および ブラシ 形式の 相違により、整流性能が相違することをあらわす一例で あるが、高整流性能のものほど一般に寿命が短く、保守 が困難で高価である。高速機のブラシ選定にあたっては、 整流性能とともに、寿命が長く、取扱いの容易なことな ども看過しえなく、諸特性を総合的に考え決定するを要 する。整流がきわめて困難なため、十分高整流性能のも のを必要とするが、摩耗ならびに取扱い上の考慮より全 面的にそれを採用できないときでも、大部分の ブラシ に は寿命その他の特性に重点をおいたものを採用し、少数 の終末 ブラシ だけに十分高整流性能のものを採用するこ とは実用上なんらさしつかえなく、その結果全体として 整流がよく、寿命その他の諸特性も良好になしうる。

また、ブラシスタガ および ブラシ 保持器取付腕の配置を、図2.3のようにすることにより、より保守を必要とする終末 ブラシ の取扱いを容易にすることができるとともに、たとえ火花が発生しても一般に終末 ブラシ だけに発生するので、終末 ブラシ が周方向に重なる度合の少ないこの方式の配置では、火花により整流子が荒される度合が普

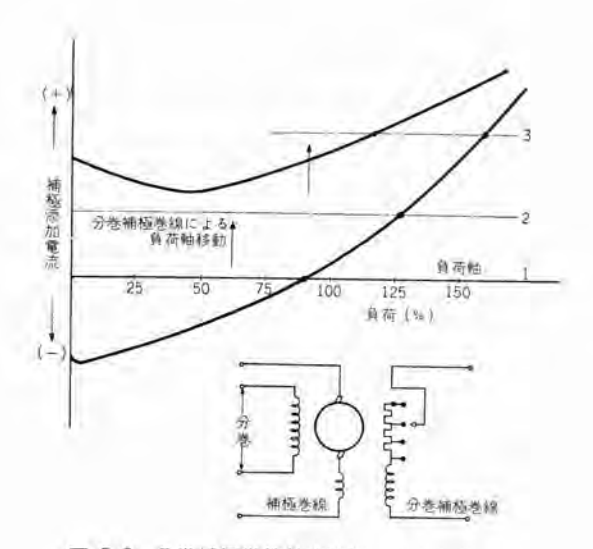


図 5.3 分巻補極巻線付直流機の無火花整流帯

Fig. 5.3 Sparkless commutating zone of DC machine with shunt interpole coil.

通の ブラシ の配置に比し、軽微である利点を有する.

b. 分巻補極巻線により、補極起磁力に バイテス をかける法

本法の採用により、無火花整流帯の有効な利用がきわ めて容易となった. 一般に安定な整流の確保にはまず、 広い無火花整流帯が必要である. 無火花整流帯は補極鉄 心片の形状・補極空げき長・シングルクリアランス・主極鉄心 片の形状・主極空げき起磁力・磁路の飽和などの諸要因 に関係し、それら諸要因がある値であるとき、もっとも 広い無火花整流帯をうる.いま、機械を調整し、もっと も広い無火花整流帯が得られたとするも、負荷軸がその 整流帯内の適当な位置にないときは、補極起磁力、また は補極空げきの調整などにより、負荷軸の移動を要す る. しかるに補極電流の分流は変動負荷時の整流を悪化 するので、好ましくない、また、補極空げきの調整はも っとも広い無火花整流帯をえたときの補極空げき長とそ の他の要因、とくに補極片との最善の関係を変更する こととなり、ややもするとさきにえられた広い整流帯が 狭くなり、再調整に時間と労力を必要とし、状況によっ ては所望の無火花整流帯をうることが困難なことすらあ る. しかるに分巻補極巻線を設置し、補極起磁力に バイ アス をかけることにより、補極空げき長を所望長に保ち ながらきわめて容易に負荷軸を, 無火花整流帯内の所望 の位置に移動しうるので、広い無火花整流帯の確保およ び確保された無火花整流帯のもっとも有効な利用が、き わめて容易にできる (図 5.3 参照). また、バイアス量の 変更、たとえば負荷軸2より3への変更により、所望の 過負荷での良好な整流も容易に確保できる利点を有す 3.

5.3 電機子巻線の交流抵抗

高速機の電機子巻線電流の周波数は、一般にきわめて高い. 3,600 rpm 機では、4 極・6 極のときは、120・180 サイクル となり、1,800 rpm 機で、6 極・8 極であれば 90・120 サイクル となる. さらに大容量のときは、電機子巻線導体が大なので、直流抵抗とともに交流抵抗についても十分な考慮が必要となる.

Drylus 12 1 tut (7)

Rac 交流抵抗

k 抵抗係数

Rac 直流抵抗

h 導体片高さ (cm)

m ミジ 内導体層数

H mh (cm)

f 周波数 (サイクル/砂)

a 導体片幅

b ミジ幅

L 正味鉄心長

la 電機子 コイル 半 ターン 長

t1 39 ピッチ (cm)

br' 電機子表面に換算した ブラシ 幅 (cm)

β, 電機子表面に換算した子片 ピッチ (cm)

v 電機子周速 (m/sec)

式(5.1)より明らかなように、交流による付加損失は、 ミプの全導体高さの2乗以上の率をもって増加する。し かるに直流抵抗は全導体高さに逆比例して減少するの

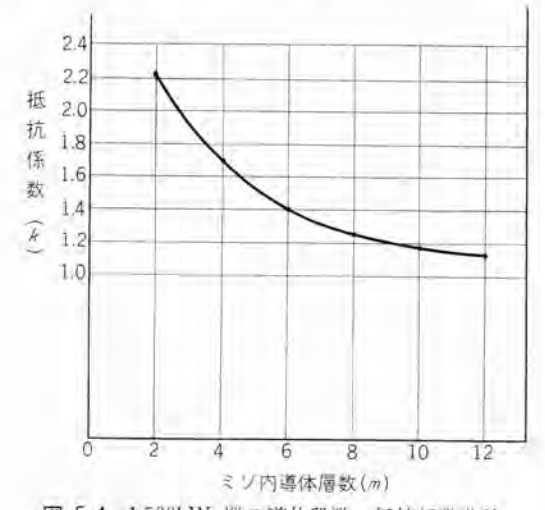


図 5.4 1,500kW 機の導体段数・抵抗係数曲線 Fig. 5.4 Armature coil conductor layer no. vs resistance coefficient curve for 1,500kW DC motor.

で、ある導体高さで導体の面積を増加しても、かえって導体の全損失が増加するに至る。その臨界導体高さ (Kritische Stabhöhe) として、Dryfus は次式を与えた。

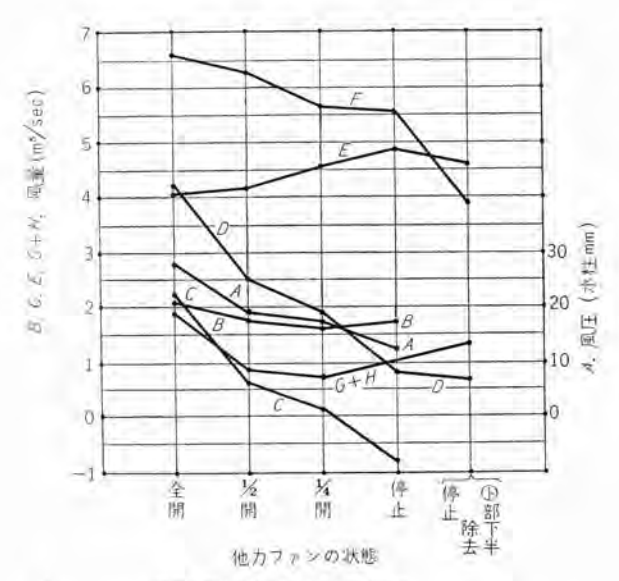
$$h_{k} = \frac{1.2 \sim 1.3}{a} \sqrt[3]{\frac{I_{a}}{l}} \cdot \sqrt[6]{2fT_{ng}} \quad \text{(cm)} \cdot \dots \cdot (5.2)$$
$$T_{ng} = \frac{t_{1} + b_{r}' - \beta_{r}}{100v}$$

 $1,500 \,\mathrm{kW}$ 機では同一直流抵抗のとき、ミグ の全導体層数 m と抵抗係数 k の関係は図 5.4 のとおりであり、臨界導体高さ $h_k = 1.18 \sim 1.28 \,\mathrm{cm}$ である。この機械では $m = 10, \ k = 1.175$ である。

ミラ の全導体数は、抵抗係数および コイル 製作の難易などを考慮して決定するを要する.

5.4 軸の剛性

臨界速度が、定格速度の上、定格速度の 25% 以上離れる剛性軸が望ましい。軸の剛性が大なときは不平衡力の影響が少なく、また、起動に際して臨界速度を通ることなしに定格速度に到達できる利点を有する。また、試験機のように広い範囲の速度で使用するものでは、とくに臨界速度が定格速度の上にあるを要する。



A -----電動機反整飛子側機内A部の節風圧

B · · · · · · · 他力フェンとダクトにより電機子鉄心部を通る風量

C………他力ファンにより修流子部にはいる風量

F-----電機子鉄心および界磁部にはいる風量

図 5.5 1,500 kW 直流電動機の冷却風量 Fig. 5.5 Cooling air of 1,500 kW DC motor.

高速大容量機では整流子周速が大となり、 プラシ 摩耗 の増大は保守の面より看過しえない。この不利を克服す るには整流子外径を小とするを要するが、小整流子径を 採用すれば必然的にこの部の軸径が小となり、軸の剛性 が下がり、臨界速度は低下する.

高速大容量機では、整流子周速を低下させなから、いかにして軸の剛性を大にするかは、計画に際し考慮を要する問題の一つである。

5.5 通 風

高速機では、電機子 ダクト の作用は顕著であるが、電機子外周を軸方向に通る冷却風は、ダクト の発生する強風で継鉄側に圧迫され、電機子の冷却に対しさほど有効でない、電機子鉄心の冷却に対する ダクト の作用に、十分な考慮を必要とする。図 5.5 は 1,500 kW 機の風量調査の結果を示すもので、ダクト の作用の一端を知り5る.

5.6 可逆運転

高速大容量機で可逆運転が必要なときは、他力通風が 好ましく、自己通風のものでの可逆運転は、騒音・効率 などの点より一般に好ましくない。

自己通風の高速大容量機では、通風扇翼の形状を吟味し、後退翼として騒音を減少し、効率を高めるのを常とする。いま、その機械を逆回転すれば前進翼となるので、いちじるしく風量は減少し通風扇損失および発生騒音が増大する。500 kW 3,600 rpm 機(後退翼付)での測定結果によれば、正回転で風量 382 m³/min のものが、逆回転で 156 m³/min に減少し、逆回転での連続運転は温度上昇の点より困難となった。また、発生音は正回転で約 105 ホンより、逆回転で約 109 ホンに増大した。

6. む す ぴ

以上で、1,500 kW 1,800 rpm および 500 kW 3,600 rpm 両直流電動機の概要を報告し、あわせてかかる高速直流機製作に関する 2、3 の問題点に言及した。筆者らの思い至らないことも多いことと思う。大方のご叱正を賜われば幸甚である。なお、両機の円滑なる製作は、当時の工作部長(現当社福岡工場長)森下清己氏の絶大なご教示、ご尽力に負うところが大である。記して謝意を表する。

参考文献

- (1) 服部一治: 直流機、112 (昭 15).
- (2) 執行岩根: 電気機械設計論 1, 176 (昭 25)
- (3) 執行岩根: 電気機械設計論 1, 178 (昭 25).
- (4) 鳥井光太郎: 直流機限界出力の拡張について,「富士時報」27,220(昭29).
- (5) 林邦雄: 直流機整流曲線の解析,「炭素」7,2 (昭33).
- (6) 武政隆一: 電気 ブラシ の性能と使用法, 161 (昭 33).
- (7) Arnold-La Cour: Die Gleich Strommachine 1, 598 (1919).

住友銀行大手町ビル向けクリネヤ

神戸製作所 武 藤 哲*·酒 井 正 侃*

Cleanaires Installed in the Sumitomo Bank

Kobe Works Tetsu MUTO · Masatada SAKAI

Not much attention has been paid heretofore to the purification of air though the air conditioning is taken up in modern buildings as an indispensable factor. The principal function of the equipment is to cool or warm the space and air filters or air purifiers are rather regarded as devices of secondary importance. In drawing in outside air or circulating it mechanical type air purifying devices are provided, but they are only effective to the collection of dust in a size about 10μ , but hard to collect such small particles as $10 \sim 0.1 \mu$. To overcome the difficulty a static type air purifier, cleanair, has been introduced by Mitsubishi with wonderful results. The writers have made a report on the one installed in the Sumitomo Bank recently as one of the successful example of the kind.

1. まえがき

昨今までは ビルの air conditioning といえば暖房と 冷房を重要視し、清浄化についてはあまり関心が用いら れなかった. もちろん従来の空気調和施設においてもあ る程度の清浄化は考えられ空気ロ過装置あるいは空気清 浄装置などがあり、一応吸込外気および再循環空気中の 浮遊ジンアイを除去するようになっているが、機械式の空 気清浄装置は一般に肉眼で識別しうる 10 μ 程度の ジンア イに対しては、かなりの集 ジン 効率があるが 10 µ 以下 0.1μ 程度のごく小さな ジンアイにたいしては、あまり効 果がなく衛生学上および品質管理上もっとも関心のある 10 μ 以下の ジンアイ (その空気中の浮遊量は全体の 85 % を占める)の除去については、電気集 ジン装置として古 くからある コットレル 装置に微小 ジャアイの高効率除去と 換気への適用という二つの面からの研究改良を加えた二 段荷電形静電気式空気清浄装置(以下単に クリネヤ と呼 ぶ)が従来の機械式空気清浄装置に代って採用されはじ



図 2.1 住友銀行大手町 ビル 全景 Fig. 2.1 A general view of Sumitomo Bank.

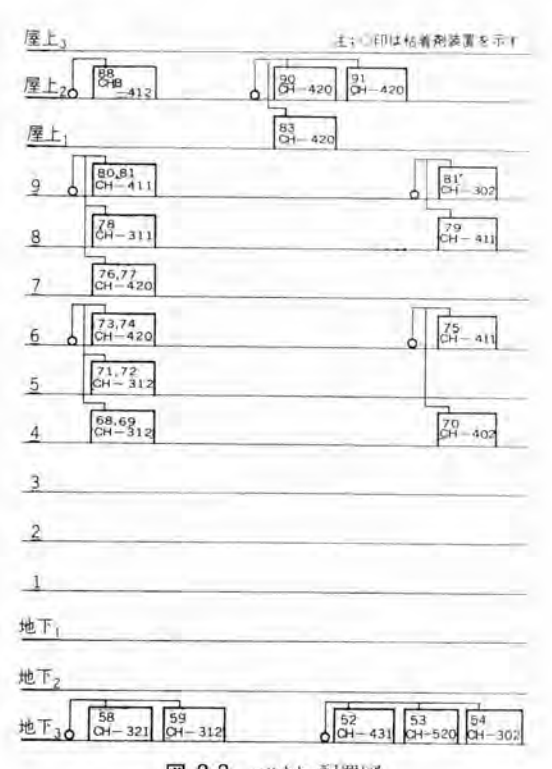


図 2.2 クリネヤ 配置図 Fig. 2.2 Disposition of cleanaire.

めている. 以下とくに東京大手町住友銀行 ビル に設置した洗浄管走行形 クリネヤ CH-S (現在では高濃度 ジッアイおよび繊維質 ジッアイ用)と CHB (一般用) につき述べて見たいと思う.

2. クリネヤの設置状況

図 2.1 は全館 air conditioning を施し換気清浄用として クリネヤ を設置した東京大手町住友銀行 ビル の全景を. 図 2.2 は クリネヤ 配置図を示す。全処理風量約 8,000 m⁴/min (集 ジュ 効率 90 % として), 台数 19, 当社分担処

理風量約 $6.200 \,\mathrm{m}^3/\mathrm{min}$ (集 50 効率 90% として), 台数 14, その内訳は図2.2において 58, 59, 83, 90, 91系統の5台を除く $52\sim54$, $68\sim81$, 81'系統の13台は従来の洗浄管走行形 0リネヤ $\mathrm{CH-S}^{(1)}$ を 88系統の1台は高速,高能率の一般用として研究開発完成した洗浄管走行形 0リネヤ CHB が設置されている.

3. 構造と機能

3.1 外被ワク

クリネヤ を通過すべき汚染空気が集 ジャュニット 以外の個所から クリネヤ の流出清浄空気中に混入したり、高電圧の印加されている集 ジャュニット に接触して感電したりすることを防ぐために、外被ワクで集 ジャュニット 列を被覆する必要がある。そしてこの外被ワク内には保守点検に支障のない程度に、集 ジャュニット 列の空気流出入側にそ

示す.

3.2 集ジンユニット列

(1) 電離部

電離部は通過気流中に浮遊する ジッアイ粒子に電荷を 与える部分であり、細い放電線とそれに対向する表面積 の比較的大きな接地極の 1 群からなる。放電線は 図 3.4 に示すように気流に対して直角に張ったものと平行に張ったものとがあるが、ジッアイ粒子の荷電は 0.01 秒程度の ごく短時間に行なわれること、放電線の張換えが容易な ことおよび付着 ジッアイの洗浄が簡単なことのために CH -S、CHB 形 クリネヤ ともいずれも気流に対して直角に 張っている。 図 3.4 (a) において放電線の上下支持部分 は、いわゆる Shadow effect により電離作用が不活発 になり、非電離空気の バイパス を形成して集 ジッ 効率低 下の原因になる部分である。したがって クリネヤ ではこ



図 3.1 外被 ワク 外観 Fig. 3.1 Exterior of casing.



図 3.2 CH-S 形 クリネヤ 側面 Fig. 3.2 Exterior of type CH-S cleanaire.



図 3.3 CHB形 クリネヤ 側面 (空気流入側) Fig. 3.3 Exterior of type CHB cleanaire (air flowing inside).

れぞれ最小限の空間を設けなければならない. 外被 ワクの空気流入面には穴明鉄板製の シャ 風板を, また流出面には黄銅製の フィルタ をそれぞれ取付け, 側面には洗浄制御盤, 噴射管走行用減速電動機, 主開閉器, 高圧受電部その他扉には保守要員の安全を期するため開ければ高圧部に蓄積された残留電荷が消滅する上高圧回路が切れまた誤って閉じても内部で高圧回路が切れるような安全開閉器が取付けられている. CH-S 形 クリネヤ の外被 ワクは形番に応じ溶接構造で固有のものを作製していたが, CHB 形 クリネヤ では図3.1 に示すように狭小なる空間においてたやすく組立てられるように, 各部品を ポルトによる結合構造とした. 図3.2 は CH-S 形 クリネヤの側面を, 図3.3 は CHB 形 クリネヤ の斜側面 (流入側)を

の部分の バイパス をふさぐために図示のような シャ 風板を設けている。また図 3,4(a) における接地極の断面形状として凸曲面、平面および凹曲面さらに変形曲面が考えられるが、Penney 博士は ジッテイ粒子の荷電作用に対して凸曲面がもっとも すぐれていることを 指滴している。 クリネヤ は洗浄効果を考慮して CH-S 形 クリネヤ では凸曲面 (円筒)、CHB 形 クリネヤ では平面を採用している。

(2) 集ジッ部

集 5つ 部は電離部の直後に置かれ、多数の高電位極板と接地極板とを交互に狭小間隔に気流と平行に並べたもので、高電位極板は正極性にして隣接の接地極板との間に強力なる平等電界を形成させる。電離部で正に荷雷さ

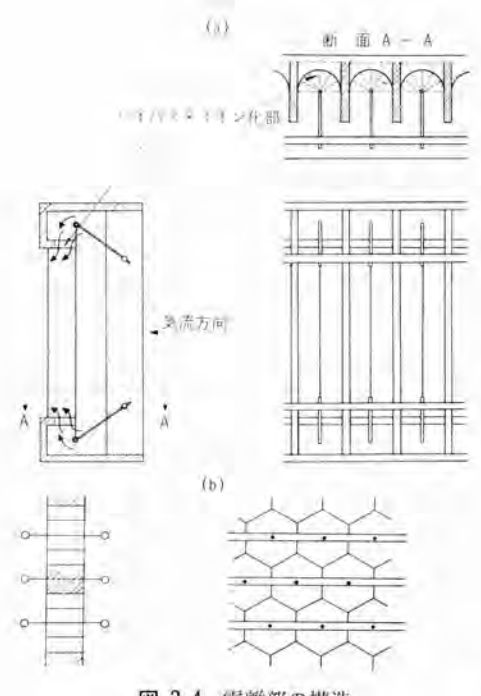


図 3.4 電離部の構造 Fig. 3.4 Structure of ionizer.

れた ジッアイ 粒子がここに進入してくると、クーロッの法則に基づく電気力によって接地極板に向かって推進され、これに付着して電荷を失う、集ジッ部の構造には電離部ほどの変化はなく、平板を使用してH-S 形用では約 300 mm 角のものを CHB 形用では 125 mm×約 500 mmの ク形のものを使用している。

(3) 集 ジンユニット 列

クリネヤでは上記の電離部と集 ジン 部が二つの部分よりなり 1 個の ワク におさめられたものと、両者が一体として ワク 組形成されているものとがある。前者は A 形集 ジンユニット後者は B 形集 ジンユニットを呼ばれている。図 3.5 は A 形集 ジンユニットを示す。これは集 ジン 部が別個に 2 個取出しができその上極板 ピッチ が比較的大きく、外形寸法(高さ×幅×気流方向長さ)は 600 mm×900 mm×600 mmで、保証集 ジン 効率 90 % 時の最大処理風量は 56.6 m³/min である。また印加電圧は電離部が DC 12,500 V、集 ジン部が

DC 5,500 V で従来はこれが クリネナ の標準 ユニット としてもっぱら使用され、CH-S 形にもこれが用いられているが B 形集 ジャ ユニット が開発された結果、ジャアイ 濃度の高い場合や繊維質 ジャアイ の多い場合のよう な特殊用途にだけ用いられるようになった。 図3.6 は B 形集 ジャ

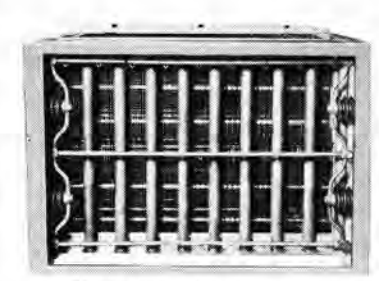


図 3.5 A 形集 ジン ユニット

Fig. 3.5 Dust collecting unit, type A



図 3.6 B 形集 ジン ユニット Fig. 3.6 Dust collecting cell, type B.

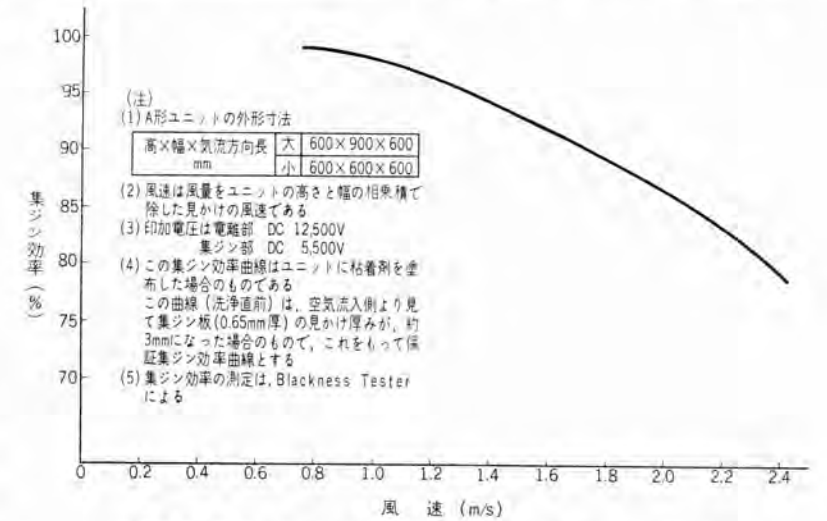
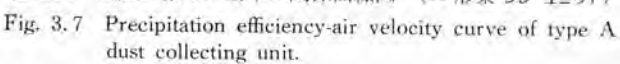


図 3.7 風速と集 ジン 効率の関係曲線図 (A 形集 ジン ユニット)



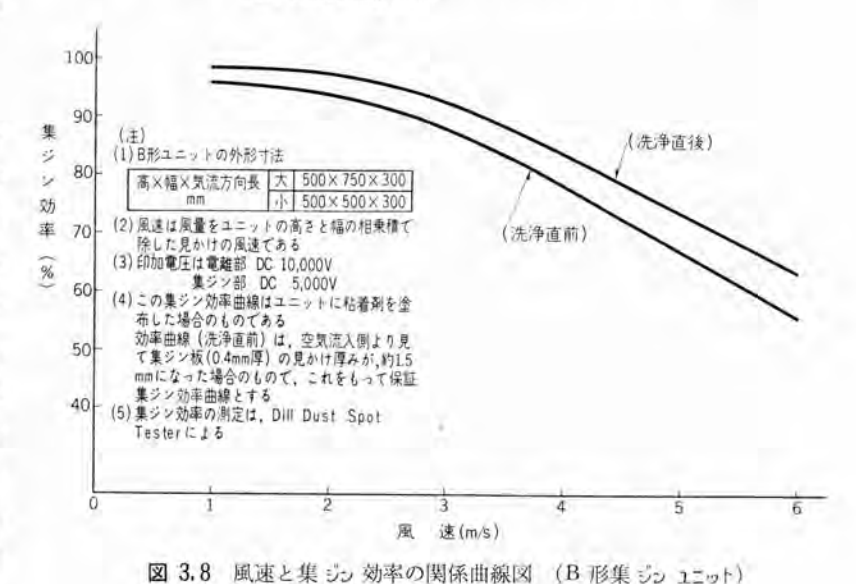


Fig 3.8 Precipitation efficiency-air velocity curve of type B dust collecting unit.

ユニットを示す。これは電離部、集 ジャ 部が一体として ワク 組構成され集 ジャ 部極板 ピッチは、アルミ 薄板の 入念な ヒズミ 取作業および精密工作により、従来の A 形集 ジャ ユニット の約 1/2 に縮めることに成功したため印加電圧は電離部 DC 10,000 V, 集 ジャ 部は DC 5,000 V に

低減され、 気流方向の長さの縮少を計ることができた. 外形寸法 (高さ×幅×気流方向長さ) は 500 mm×750 mm×300 mm で、保証集 ジッ 効率 90% 時の最大処 理風量は 62 m³/min となり従来の A 形集 ジャュニット に 比べて重量は約1/3,通風面積は約70%,通過風速は約 150% となり スペース は約35% に縮少され、一般用の 集 ジャュニットとして使用され国内製品ではまだこのB 形集 ジャュニット に匹敵するものはなく、CHB 形にはこ れが用いられている。 図3.7 は A 形集 ジャュニット, 図 3.8 は B 形集 ジャ ユニット の風速一集 ジャ 効率の関係を 示す. 集 ジャ ユニット 列はこれらの集 ジャユニット を処理風 量に応じて適当数を積重ね構成する. CH-S 形の場合は 図3.9のように上下左右隣接 ユニット 同志を ポルト で連 結し、CHB 形の場合は 図3.10 のように上下左右各集 ジャ ユニット 接触部のすみを締付棒を通し前後面より締付 圧着している。電源部より高圧電源の接続は CH-S 形 では図3.11 に示すように、最上部で接続帯に連絡し上 から下へは接続線により左右は連結線により接続され る. CHB 形では図3.12 に示すように、外被 ワク 側面内 部に取付けてある ブスバー へ左右から順次集 ジャ ユニット を挿入すれば、集 ジン ユニット 自体に取付けてある接触片 により自動的に結線が完了するようになっている.

3.3 噴射管走行機構

クリネヤでは集 ジャ 部の接地極板に一定限度以上のジャアイが堆積してくると、極板間の内部 セッ 絡のひん度が増加して高圧側の電圧変動が激しくなり、また堆積ジャアイの気流によるはく離も生じやすくなるので、いきおい集ジャ 効率が低下してくる。したがってこれを防止してクリネヤにつねに高い集ジャ効率を維持させるためには、周期的に捕集ジャアイを除去排出してやることが必要になる。現今ではノズルによる洗浄水の撒布方式が採用され、固定式のものと移動式のものとがあるが、移動式は洗浄効果



図 3.9 CH-S 形外被 つク 内面(空気流入側) Fig. 3.9 Interior of type CH-S cleanaire (air flowing inside),



図 3.10 CHB 形外被 ワク 内面 (空気流入側) Fig. 3.10 Interior of type CHB cleanaire (air flowing inside).

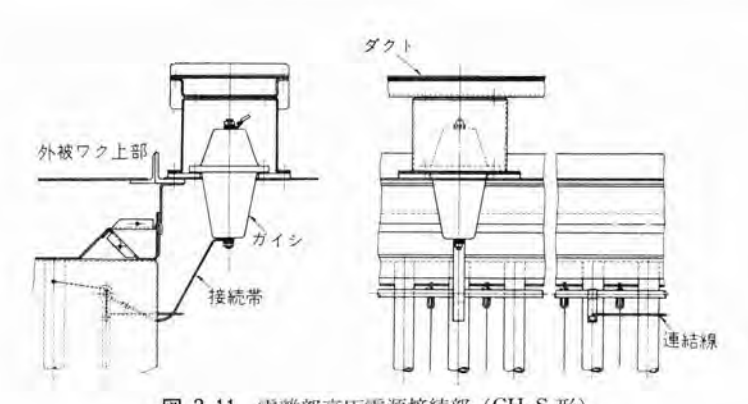


図 3.11 電離部高圧電源接続部 (CH-S 形)

Fig. 3.11 Connection of high voltage line for ionizer (type CH-S cleanaire).

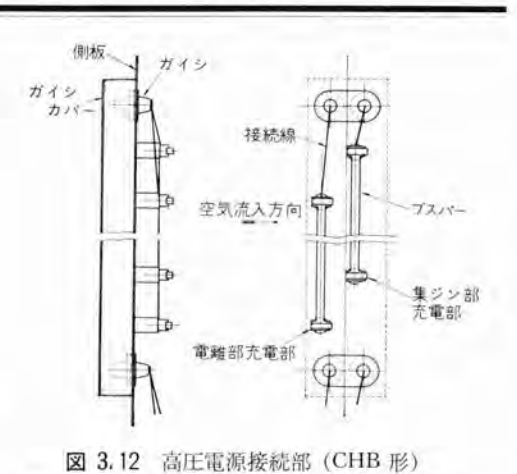


Fig. 3.12 Connection of high voltage line (type CHB cleanaire).

が大きくかつ経済的である。また電極面に付着堆積したジンアイが気流によってはく離飛散するのを防止し、洗浄水の撒布によって洗い落しやすくするために、電極面には洗浄後水溶性の粘着剤を吹付けておくのが普通である。CH-S 形、CHB 形いずれも洗浄水および粘着剤の吹付を容易にするために、集ジンユニット列の空気流入側には1組の太い管と細い管を一体としたものを直立させ、これらにそれぞれ適当数のノズルを取付けてある。この直立管の上下にはそれぞれローラが取付けてあり、これが上下2本の水平案内レールによって支持され、図3.13 に示すようなロープ 伝導機構を介して外被ワク 側板外部に取付け

られた減速 モータによって駆動され、集 ジャユニット列の前面に沿って左右に走行するようになっており、その走行速度は CH-S 形では 50 c/s の場合約 3 m/min, CHB 形では 50 c/s の場合約 2.1 m/min である。そして太い管のノズル からは洗浄水を、細い管の ノズル からは粘着剤をいずれも垂直扁平状に噴射させ、電離部および狭小間隔に並んだ集 ジャ 部極板の両面に噴射液が有効に吹付けられ、洗浄効果および粘着剤の撒布を一段と高めるようになっている。なお上部案内 レール の両端には制限 スイッチが取付けてあり、洗浄制御盤の スイッチ 操作とあいまってこの位置で減速 モータ を停止させたり逆転させたりする作用をする。集 ジャユニット列の流出側には手動洗浄具を具備し、後部フィルタおよび集 ジャ 部の一部の洗浄に用うるようになっている。

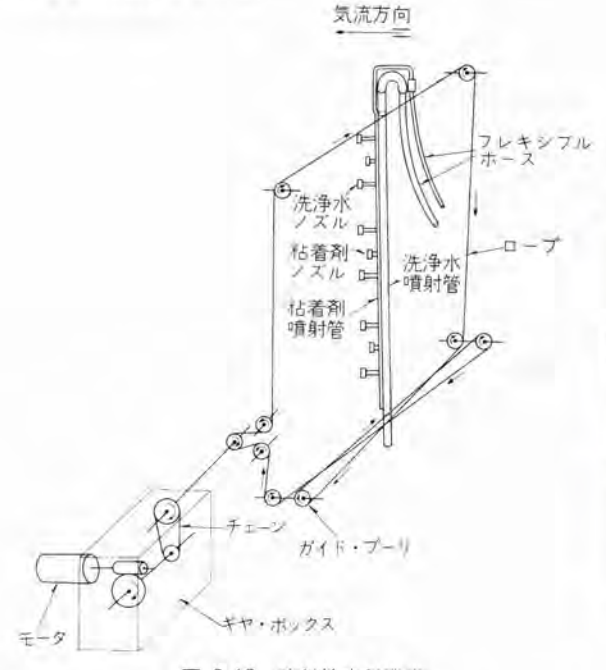


図 3.13 噴射管走行機構 Fig. 3.13 General illustration of moving nozzle washer.

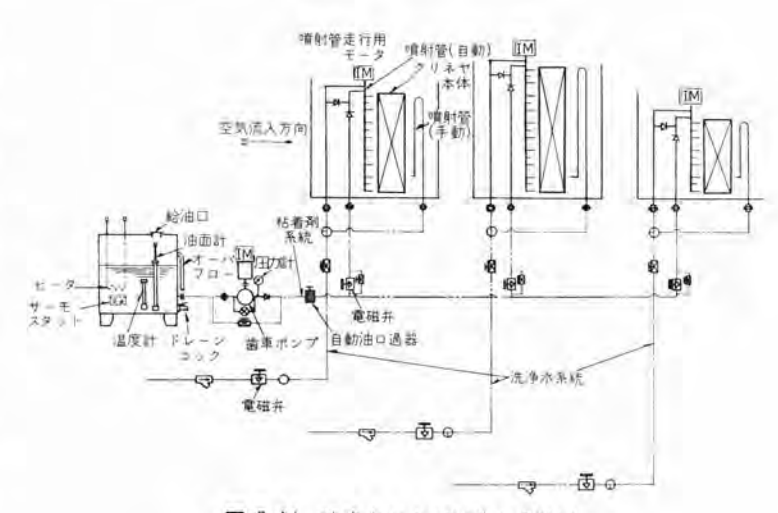


図 3.14 洗浄水および粘着剤系統図 Fig. 3.14 Piping diagram of hot water and adhesive.

3.4 洗浄水および粘着剤供給装置

洗浄水は 3 kg/cm² の水圧で約 60°C の清浄な温水を必要とするが、クリネヤ本体の近くまで配水されているため、洗浄時には電磁弁の操作により洗浄水用噴射管に供給することができる。粘着剤は粘度が高いため40~50°Cに加熱し、5 kg/cm² の油圧で粘着剤用噴射管に供給する。そのためにタンク、ヒータ、油温度調整装置、自動油ロ過器および歯車ポンプを必要とし、1 セットで各台共用としているために電磁弁により切換えを行なっている。なお粘着剤としては最近までは温水洗浄性シェル製 T675を用いていたが、現在では冷水洗浄性 ADEX-Bを開発したので以後のこの装置には洗浄水加熱装置が不用となったことを付け加えておく。図3.14 は洗浄水および粘着剤の配管系統図を示す。

3.5 電源部

電源部は電離部および集 シン部に必要な高圧を供給する高圧電源部と、クリネヤが正常運転を行なっているかどうかを表示または警報するための警報装置とを一体にし

たもので、外観を 図 3.15 に示す、高圧電源部は変圧器、整流管、コッデッサ などよりなり、単相 200/220 V、50/60 c/s の電源から電力の供給をうけ、これを倍電圧整流方式により A形に対しては DC 5,500±500 V、B形に対しては DC 5,000±500 Vをそれぞれ集 ジッ部に、また A形に対し DC 12,500±500 V、B 形に対し DC 10,000±500 V、C をそれぞれ電離部に供給している。この電源部 1 個で 900 mm



図 3.15 電源部 Fig. 3.15 Power pack.

幅の A 形標準集 5シュニット または 750 mm 幅 B 形標準 集 5シュニット それぞれ 10 個に必要な電力を供給することができ、その場合の入力は A、B 形とも約 300 VA である。

高圧電源部の構造は従来の洗浄管走行形 クリネヤ 用電源部(いと同一で、警報装置が高圧電源部の上部に取付けられたものである。警報装置は変流器、磁気増幅器、セレン整流器、リレーおよび調整抵抗器などよりなり、鉄板ケースに収納したものを高圧部と完全にシャ断し高圧電源部の上部に取付けられ、上部より扉を開き点検できるようになっている。従来の電源部警報装置が高圧回路短絡故障および正常運転だけを表示灯によって行なっていたのに対し、住友じい向けクリネヤでは遠方に設けられた中央監視盤で他の装置などと同時に運転監視する必要があるため、故障信号を変流器および高感度磁気増幅器で検出してリレーを動作させ、リレー接点の開閉により中央監視盤の正常または故障表示灯を点滅する方式を採用している。

この種高圧電源の故障は一般に高圧回路より検出されているが、この場合には検出装置の設置、配線などに特別の考慮をはらうか、または危険防止を施した特殊な装置を用いなければならない。

この装置は故障によって変化する高圧変圧器の一次電流を変流器で検出するとともに、高圧変圧器の一次側に直列に接続された可飽和 リアクトル SR の電圧降下を電圧リレーで検出し、両検出回路の リレー接点の組合わせによ

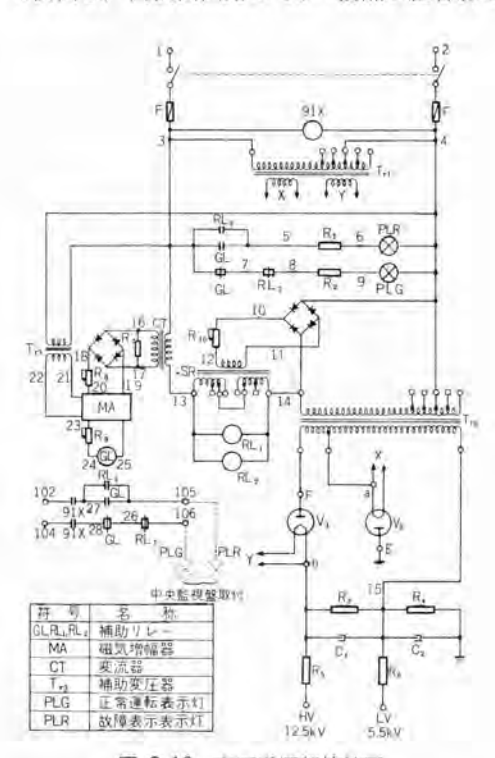


図 3.16 高圧電源部接続図 Fig. 3.16 Connection diagram of power pack

って警報または表示灯回路を開閉し、あらゆる電源部故障状態を判別しているため信号回路はすべて低圧回路に属し、表示または警報装置をいかなる場所に取付けてもまったく危険をともなわないのが特長である。図3.16は警報装置検出回路をふくれ電源部接続図であ

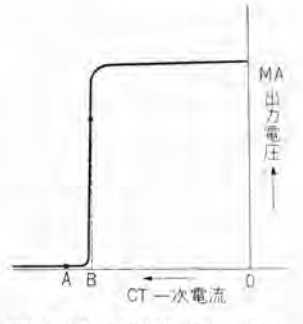


図 3.17 検出装置特性曲線 Fig. 3.17 Characteristic curve of current detector.

る. 変流器と高感度磁気増幅器を組合わせた高圧変圧器 ・次電流検出装置の特性を図3.17 に示す. 特性曲線に おいて、正常運転時の CT 一次電流は A 点であり、故 障時は B 点まで減少する. 磁気増幅器 MA の出力電圧 は A 点ではほとんど零であり リレー GL は動作しない。 故障により B 点まで減少すると MA の出力電圧は急激 に増加し リレー が動作し、表示灯回路を閉じ故障表示灯 が点灯し同時に正常運転表示灯が消える。

また 図 3.16 における SR は高圧変圧器 Tr。の一次 側に接続された直流励磁式可飽和リアクトルで、電源部の 保護として設けられるとともにその動作を利用して故障 表示用 リレー RL」および RL。を動作させる検出器の役 割を兼ねている。正常運転時は変圧器一次側には正規の 電圧が印加されているためその両端電圧により供給され る SR の直流励磁 コイル電流は大きくしたがって可飽和 リアクトルとしてのインピーダンスは小さくほとんど電圧降下 がない、しかし、もし変圧器一次または高圧回路に短絡 故障を発生すると変圧器一次 コイル に印加される電圧が 急激に降下し、同時に SR の直流励磁コイル電流も急減す る. そのため SR の インピーダンス が急激に増加し、その 両端電圧降下が増加し電源電圧の大部分がここに吸収さ れ,電源部の過電流による焼損を防止することができる. このように正常運転または故障時に SR の両端電圧が大 幅に変化するため、SR の特性をそこなわない程度の高 抵抗を有する リレー RL, および RL。の コイル をこれに 並列接続し、正常または故障に応じてその接点 RLi. RL。を開閉し表示灯回路を開閉することができる.

図3.16 においてそれぞれ2個の正常運転表示灯 PLG および故障表示灯 PLR のうち各1個は電源部扉に、他の各1個はそれぞれ中央監視盤に取付けられており、電源部取付場所ならびに中央監視室のそうほうで運転状態を監視することができる。

以上述べたそれぞれの検出回路によって動作するリレー GL, RL, RL。の総合動作をまとめると次のようになる.

- (1) 正常運転中は SR の 両端電圧降下少なく、リレー RL₁, RL₂ は付勢されない、 また MA の出力電圧はほと んど零でリレー GL も付勢さ れない。したがってリレーの 各接点 RL₁, RL₂ および GL は接続図中に示すとおりの状 態にあり、正常運転表示灯 PLG (緑色) が点灯し、故障 表示灯 PLR (赤色) は消え ている。
 - (2) 高圧回路が短絡すれ ば SR の両端間電圧降下が増 大し RL₁, RL₂ が同時に動作 し PLR が点灯し, PLG が 消える・
 - (3) 高圧回路が断線または高圧整流管 V_1 , V_2 の一方またはそうほうの エミッション 不良あるいは フィラメント が断線した場合は MA の出力が増加し リレー GL が付勢 され PLR が点灯し、PLG が消える.
 - (4) 電源電圧が極端に低下すると集 5つ 効率が悪くなるため、一定値以下になると (3) 項と同様に MA の出力が増加し GL が付勢され PLR が点灯し PLG が消える。
 - (5) 洗浄の場合または電源部点検などの場合,手動で電源部を開けば 91X または後で述べる洗浄制御盤内の補助 リレー 90X が消勢し、表示灯回路はいずれも開かれ、すべての表示は行なわれない。

3.6 洗浄制御盤

洗浄制御盤は電磁接触器、限時 リレー、補助 リレー、セレン 整流器、切換スイッチ、表示灯および抵抗器などを 1 個の ケース に納めたもので、集 ジンと洗浄の切換えおよ



図 3.18 制 御 盤 Fig. 3.18 Control box.

び洗浄操作のすべてが ここで行なわれる. 制 御盤の電源は三相 200 /220 V, 50/60 c/s で, 制御盤の近くに取付け られた主開閉器を経て 接続され, 噴射管 モータ 粘着剤ポンプモータ, 洗浄 水電磁弁への接続は, 制御盤側面にあけられ た導線穴より配管を通 して行なわれる。

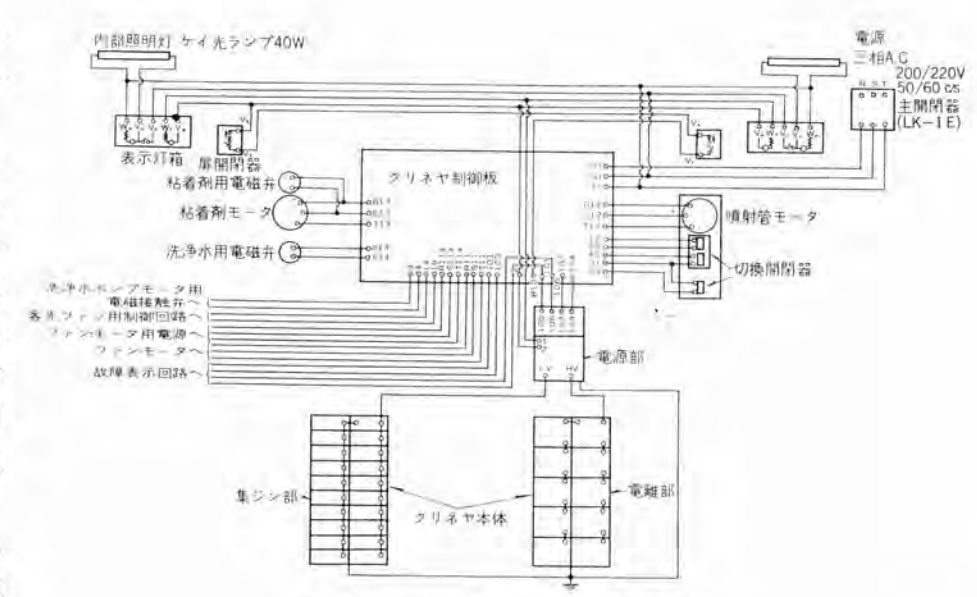


図 3.19 クリネヤ 総合結線図 (CH-S 形)

Fig. 3.19 Connection diagram of type CH-S cleanaire.

図3.18は制御艦の外観写真である.

洗浄制御の概要は従来の CH 形 クリネヤ 制御盤(1) とほとんど同一であるが、洗浄操作の細かな点が異なっている。すなわち、

- (1) 集 ジャ の際高圧電源部と ファン は1個の操作 ハ ンドル で同時に付勢することができる.
- (2) 噴射管は切換 ハンドル の一操作によって起動し、 ハンドル を切換えるまで連続的に走行を繰り返す。
- (3) 噴射管は走行中任意の位置で停止させ、かつ停止位置を中心に左右に微動させることができる.
- (4) 操作 ハンドル の切換えによって進行する集 ジン、 洗浄、粘着剤吹付け、乾燥などの洗浄工程はすべて表示 灯によって表示される。
- (5) 洗浄工程は一工程ごとに切換スイッチの操作で 行ない洗浄工程に必要な切換スイッチはすべて洗浄制御 盤に取付けられている。

などがあげられる. **図3.19**は CH-S 形 クリネヤ の総合結線図の一例を示す.

4. 洗净操作

クリネトの洗浄周期は設置場所に浮遊する ホコリの量の 大小によって異なるが、大体1ヵ月に 1,2 回の割合で 洗浄するのが適当である。洗浄操作はすべて制御盤の ハ ッドル操作によって行なうことができ、図 4.1 に制御盤の 接続図を示す。図によって制御盤の ハッドル 操作による 各部動作ならびに洗浄操作の順序を説明する。

(1) SW を閉じると制御盤電源が付勢され電源表示 灯 PL₇ が点灯すると同時に補助 リレー 90X が付勢され、 正常および故障表示灯回路に直列に接続されている接点

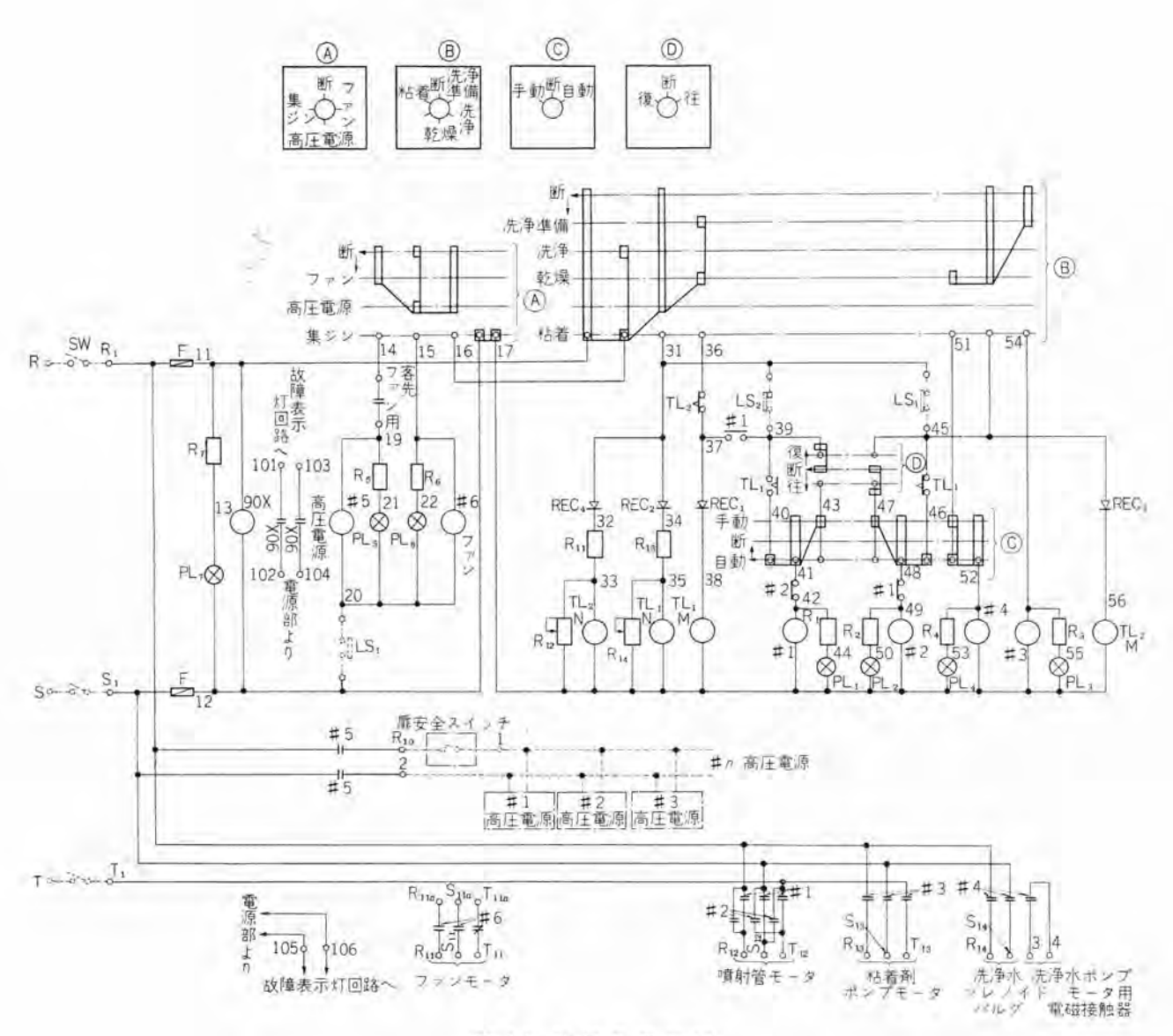


図 4.1 制御盤接続図

Fig. 4.1 Connection diagram of control box.

90X が閉じる.

- (2) 電源切換 スイッチ ① および洗浄工程切換 スイッチ ③のそうほうとも断の位置にあれば集 ジャも洗浄も行な われず制御ならびに高圧電源回路はすべて開かれている.
- (3) ® スイッチ を断にしたまま ② スイッチ を集 ジャ に 切換えると、高圧電源および ファン が同時に付勢され集 ジャ 運転となる. しかしこの場合噴射管が停止位置にあって制限開閉器 LS₁ が閉じていなければ動作しない.
- (4) ® スイッチを断にしたまま ® スイッチを ファン に 切換えると ファン だけ運転し、高圧電源に切換えると ファン は停止し高圧電源だけ付勢される。 この場合も (3) と同様に LS₁ が閉じていなければならない。 上記 (3), (4) 項よりわかるように ® スイッチを断にしておけば高圧電源あるいは ファン だけを単独に運転することができ 点検を行なうに便である。また上記動作は ® スイッチが 断または乾燥位置にあるときだけ行なうことができ、他

- の位置にあれば ② スイッチをいかなる位置に回しても動作せず,洗浄操作を行なう場合に誤動作する心配がない。 洗浄は次の順序によって行なう。
- (5) 洗浄を行なう場合はまず ⓐ スイッチ を断にした 後 ® スイッチ を洗浄準備に回す. 高圧電源および ファン 回路が開かれ、高圧電源表示灯 PL。および表示灯 PL。 が消える.
- (6) ファン が完全に停止した後(約30秒後), ® スイッチ を洗浄に回せば噴射管が移動を開始し洗浄水が噴射される。 ® スイッチ が洗浄位置にある間中噴射管は往復動作を繰り返し洗浄が継続される。 表示灯 PL, PL。は噴射管の往復に応じて点滅する。 すなわち往行中は PL, が点灯し、復行中は PL。が点灯する。 洗浄表示灯 PL4 は洗浄水の噴射されている間点灯する。
- (7) 一定時間 (噴射管が 5~6 回往復) 洗浄を行なった後 ® スイッチ を乾燥に回す。噴射管が往復途中に ®

スイッチ を切換えても洗浄水はただちに停止するが、 噴射 管は移動を続け出発位置に復帰して始めて停止する.

- (8) つぎに ② スイッチを ファン に回し集 ジン 部に送風し乾燥を促進する. 約 20 分乾燥した後 ③ スイッチを高圧電源に回し、集 ジン 部に高圧を加え乾燥状態を点検する. 乾燥が不十分の場合は集 ジン 部で パチッ, パチッ という音を発して内部 セン絡を発生する. この場合は乾燥不十分であるからふたたび ④ スイッチを ファン に回し乾燥を継続する. ⑤ スイッチ は洗浄工程の誤動作を防止するため時計方向にしか回らず, 反時計方向には回すことができないような切換 スイッチ となっているため, 乾燥状態が良好であることを確認してから次の ハンドル 操作にうつるよう注意しなければならない.
- (9) 十分乾燥したことを確かめた後 ② スイッチを断にし ® スイッチを粘着に回す.洗浄水噴射の場合と同様に噴射管が移動し始め粘着剤が噴射される.粘着剤吹付けは噴射管の一往復で行なわれ出発位置に復帰して自動的に停止する. 粘着剤の噴射も同時に停止する. 乾燥より粘着剤吹付けにうつる際の ® スイッチの操作は2段切換操作になっている. これは噴射管を一往復で停止させるための回路を構成させるためのものである.

なお (a) スイッチ が断にない限りすべての洗浄制御は行なわれないように考慮し、ハンドルの誤操作による危険または誤動作を防止している.

(10) (5)~(9) 項による操作で洗浄工程が完了するが、洗浄水噴射工程を終った後乾燥工程にはいる前に集 5つ 部の洗浄状態を点検することが望ましい。点検を行なう場合は ® スイッチを洗浄位置においたまま噴射管自動一手動切換 スイッチ ® 物にして点検する。© スイッチを断にすると噴射管はただちに停止し、洗浄水噴射も止まる。点検の結果局部的に再洗浄する必要を認めた場合は ® スイッチを手動に回せばよい。噴射管は停止したまま洗浄水が噴射され局部洗浄を行なうことができる。局部洗浄の際噴射管をわずかに移動したいときは ® スイッチを手動においたまま噴射管微動切換スイッチ ® を右ま

たは左に回せば、噴射管は最初停止していた位置より右または左に移動する.

© スイッチは スプリングリターン 式になっているため ハンドルより手をはなせば自動的に断位置に復帰し噴射管は停止し洗浄水だけが噴射し続ける。必要な時間局部洗浄を行なったならば © スイッチをふたたび自動に切換える。 噴射管は停止位置より出発位置に向かって移動し、出発位置に達して自動的に停止する。この場合 ® スイッチを洗浄位置においたままにするとふたたび自動洗浄を繰り返すから、その必要がなければ © スイッチを自動に切換える前に ®スイッチを乾燥に切換えておけばよい。 噴射管が出発位置に達して停止すれば噴射管復行表示灯 PL_2 が消えるから ® スイッチを乾燥においたまま A スイッチをファン に回し乾燥を促進する。なお局部洗浄の際噴射管を停止する位置は集 ジュ部に取付けられているのそき窓よりみることができる。

乾燥状態の点検、粘着剤の吹付要領は前に述べたとおりである。粘着剤吹付けが終れば表示灯 PL₁、PL₂、PL₃ PL₄ が全部消え全洗浄工程を完了する。

(11) ® スイッチを断にし ® スイッチを集 ジン に切換えれば高圧電源が付勢されると同時に ファン が運転し、 ふたたび集 ジン 運転にはいることができる.

5. む す び

以上住友銀行大手町 じルに設置した洗浄管走行形 クリネヤ CH-S および CHB の構造と機能について述べてきたが、クリネヤによる ビルの換気清浄化に伴い、結核罹患率の減少、疲労感の減退、事務能率の増進、衣服調度の汚損減少、清浄費の低減など幾多の好結果が報告されている。これらの点より クリネヤ は全館の air conditioning を行なう近代ビルの換気清浄用としては今後ますます普及していくものと考えられる。

参考文献

(1) 斉藤·武藤·『三菱電機』 32, No. 9 (昭 33).

米 穀 低 温 倉 庫 用 KU-81 形 ユ ニ テ ヤ

静岡工場 河 合 照 男*

Type KU-81 Unitaire for Low Temperature Granary

Shizuoka Factory

Teruo KAWAI

To preserve rice in a low temperature granary has been tested by the Food Storage Association for a long time and has proved quite successful. Storing rice in this arrangement is an epochal means in which the breathing of rice is restrained by keeping relative humidity at about 80% so as to prolong the life of rice otherwise deteriorating in one summer. Just to keep rice at low temperature may be accomplished with ease by the use of the refrigerator, but to keep it at relative humidity around 80% calls for special humidifying devices in addition to air cooling apparatus. Type KU-81 Unitaire developed by Mitsubishi is an answer to the problem and supplied to the Food Storage Association. The marked success promises bright future in this application.

1, まえがき

食糧庁および食糧保管協会では、米を長期間保存する 方法として米の低温貯蔵について長らく研究した結果相 当な成果が得られたので最近米の低温貯蔵は各方面から 注目されている。

米の低温貯蔵とは、米を温度摂氏 10 度相対湿度 80% 程度に保持することによって、米の呼吸作用を抑制して 普通一夏で終る米の生命を長期間に伸ばすことができる という画期的な貯蔵法で、これによって米はいつまでも 新米と変らない状態に保たれるので、味が良く虫害の発 生、カビ の発生を押え、乾燥による目減りなどがなくな るなど多くの利点が得られる。米の低温貯蔵法は、1 年 に1度しか収穫できない米を常食とするわが国の食糧保 管問題に明るい話題を提供している。

米を低温度に維持することは、冷凍機を使用すれば簡単であるが、米の低温貯蔵法は高い相対湿度 75~80% も維持する必要があるので、空気の冷却装置とともに特 殊な給温装置を併用する必要がある.

当社では早くからこの低温貯蔵法に注目して、パッケージ形の空気調和機を使用して倉庫を冷却する方法を研究していたが、そのテストケースとして昨年秋に、清水市鈴与倉庫に納入した低温倉庫用ュニテヤが1年間使用された結果、所期の成果を収めたのでその技術を基として、今回米穀倉庫用の KU-81形 1ニテヤを開発した。図1.1は KU-81形 1ニテヤの外観、図1.2は、内部である。

2. KU-81 形ユニテヤの特長

低温倉庫用としての冷却装置には大別して次の2方式 がある。

(1) ユニット 方式

一つの ‡+ビネット の中へ空気の冷却に必要ないっさいの機器を合理的にまとめたパッケージ 形空気調和機を倉庫内にすえ付けて冷却する方式であって、KU-81 形 ユニテナはその典型である.

(2) セットラル 方式

冷却装置を別の部屋に設置して冷却した空気を 491 によって循環する方式である.

KU-81 形 ユニテヤ は低温倉庫用として次のような特長を持っている。

- (1) 倉庫内がいくつにも別れていたり、いくつもの倉庫を冷却したりする場合そのうちの一部屋、あるいは数部屋だけを冷却することができ、 幾段階にも容量制御のできないセントラル方式に比べ経費の面より有利である。
- (2) 独立した機械室が不用で倉庫の通路にすえ付けられる.
- (3) ダクト 工事が不用 または 非常に短くてすむので施設費が節減でき既設の倉庫に簡単にすえ



図 1.1 KU-81 形 ユニテヤ 外観 Fig. 1.1 Outside view of type KU-81 unitaire.



図 1.2 KU-81 形 ユニテヤ 内部 Fig. 1.2 Interior of type KU-81 unitaire.

付けられる.

(4) 設計が一般倉庫に合わせて標準化されているの でいちいち熱量計算する必要がなく、すえ付けも標準化 された仕様に従って簡単に施工できる。

3. 仕 様

この ユニテヤ は低温倉庫用としての機能だけを持つ専用機であって、遠心式加湿器と併用して低温度高湿度を保持する。設計の標準化と在来倉庫の広さを勘案して 1

表 3.1 KU-81 形 1二元 仕様

吸	人空気多	5件	温度 10°C 湿度 80%	温度 15°C 湿度 75%
看	冰 能	1)	12,000 kcal/h	15,000 kcal/h
4	形寸	法	高さ 1,780×幅 1,228×奥行 7	789
Œ	縮	极	形名: CS68 K 形 形式: 半1200 V 4 P	密閉式 電動機: 5.5kW 三相
凝	襉	NA NA	形式:シェルアンドチューブ3	大 希却木量: 1,800 l/h 26.7°C
冷	却	22	形式:直接膨張式ケロスフイン	冷却器
送	風	機	形式: 多質送風機 送風量 156 電動機: SB-A 2.2 kW 三	
給	湿	28	形式; 遠心式給濯器 電動機:	・単相 200 V または 100 V
201	御 装	W	直接制御方式、遠隔指示方式、 行ないうる	遠隔指示制御方式いずれでも
冷		媒	R-12	
老	95	他	冷却水量調節弁、木圧保護開閉 文により付属させることができ	

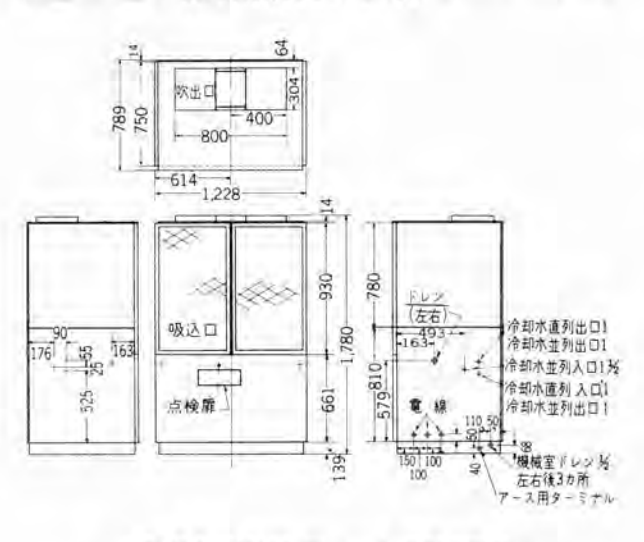


図 3.1 KU-81 形 ユニテヤ 外形寸法図

Fig. 3.1 Outline dimensions of type KU-81 unitaire.

台の KU-81 形 1ニテトは適当な熱絶縁をした高さ $5.4\,\mathrm{m}$ 広さ $165\,\mathrm{m}^{\mathrm{s}}$ の倉庫に使用できるように設計してある.

熱絶縁は壁面 50 mm 以上天井 75 mm 以上施工し良質の熱絶縁材料を用いる.

制御方式は直接式,遠隔式いずれでも需要に応じられるよう設計されているが多くの倉庫を少人数で管理する場合などには遠隔式が望ましい. 表 3.1 に本機の要目を示す. 図 3.1 は本機の外形寸法図である.

4. KU-81形ユニテヤの原理

秋に収穫された米はそのまま倉庫内に納められて冬を 過す.この間は外気温度が自然に下がるのでとくに倉庫 28 (270)

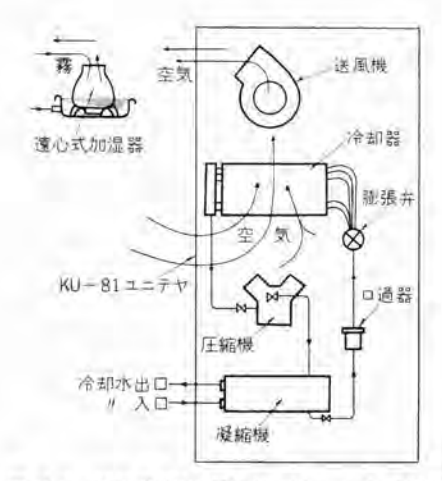


図 4.1 低温倉庫用 KU-81 形 ユニテヤ 系統図 Fig. 4.1 System diagram of type KU-81 unitaire.

内を冷却する必要はない、春になって外気温度が上昇を始めたとき KU-81 形 ユニテナの運転を開始する。図4.1 は本機の系統図を示す。圧縮機で圧縮された冷媒 ガス (R-12) は凝縮器で冷却水に熱を取られ液化する。液化冷媒は膨張弁を経て冷却器に至り急に圧力より開放されて蒸発をする。その際空気より熱を取り、空気を冷却脱湿する。一方送風機により倉庫内の空気は冷却器を通過して循環しているので庫内の空気は低温に冷却される。冷却器で蒸発してガスになった冷媒はふたたび圧縮機に吸込まれて圧縮され同じ冷凍サイクルを繰り返す。

また遠心式加湿器は ユニテヤ の冷風吹出口の近くにす え付けて遠心力によって微細な霧になった水滴を気流に 乗せ倉庫内に行きわたらせる。霧になった水滴は空気よ り熱を吸収して蒸発し空気を冷やす働きと庫内を適当な 湿度に保つ働きをする。

5. 鈴与倉庫における実績

鈴与倉庫では、高級な遠隔指示操作方式を採用した. 図 5.1 は倉庫の配置図、図 5.2 は配線図、図 5.3 はすえ付写真、図 5.4 は中央操作盤の写真 である. 図 5.5、5.6 はこの倉庫で実測した 4 月、7 月の庫内温湿度の記

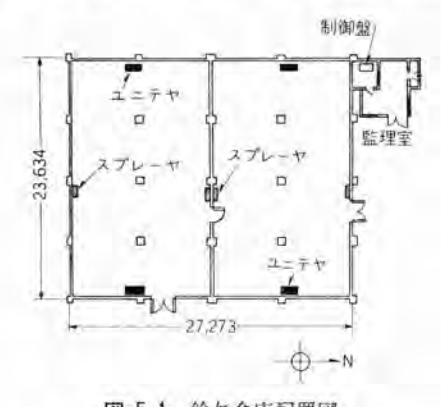
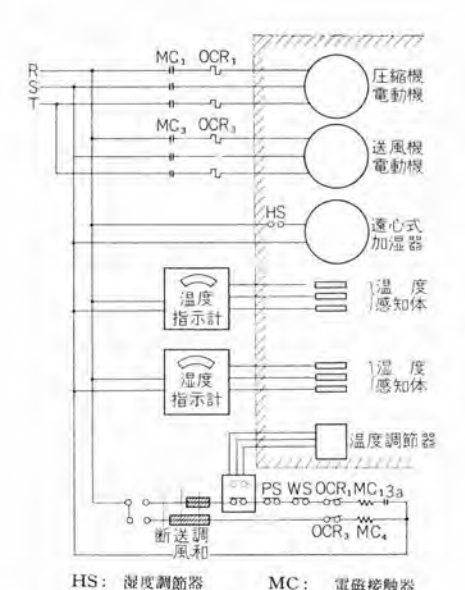


図 5.1 鈴与倉庫配置図 Fig. 5.1 Arrangement of the granary.



HS: 湿度調節器 MC: 電磁接触器 PS: 高低圧開閉器 OCR: 過電液維電器 WS: 木圧保護開閉器 3a: 補助接点 斜線で囲まれた範囲は倉庫内を表わしている 鈴与倉庫では外部機器はすべて中央操作盤にまとめてある

図 5.2 鈴与倉庫配線図 Fig. 5.2 Wiring of the garnery.



図 5.3 鈴与倉庫におけるすえ付写真 Fig. 5.3 Installation of the device in the granary.



図 5.4 鈴与倉庫の中央操作盤 Fig. 5.4 Central operation panel.

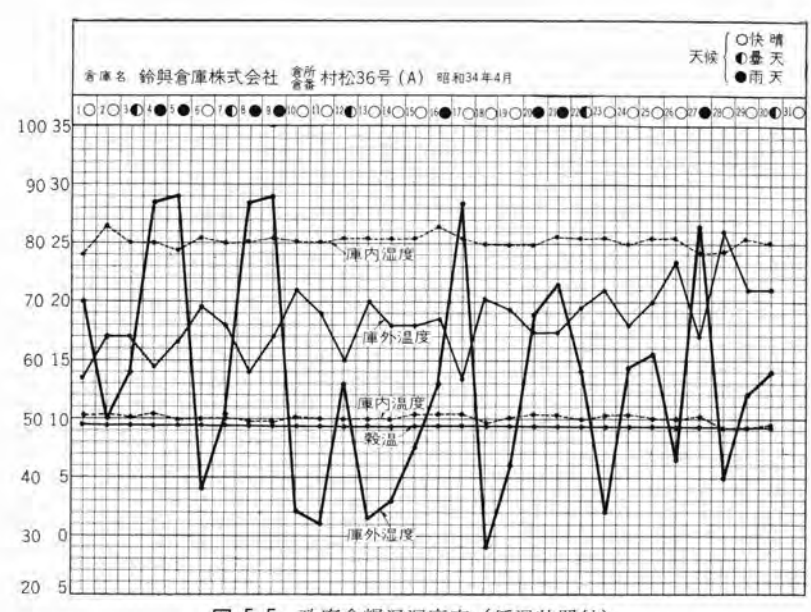


図 5.5 政府食糧温湿度表(低温装置付) Fig. 5.5 Temperature and humidity chart.

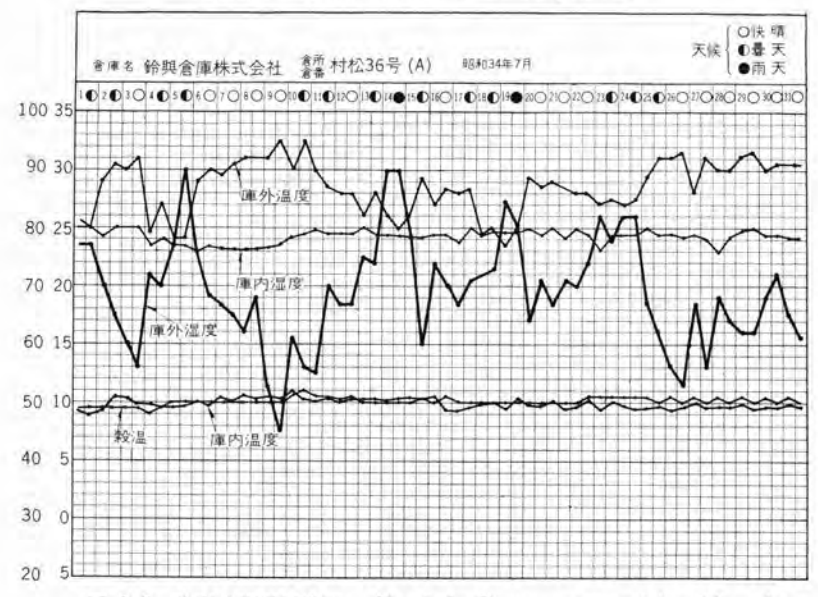


図 5.6 政府食糧温湿度表 Fig. 5.6 Temperature and humidity chart.

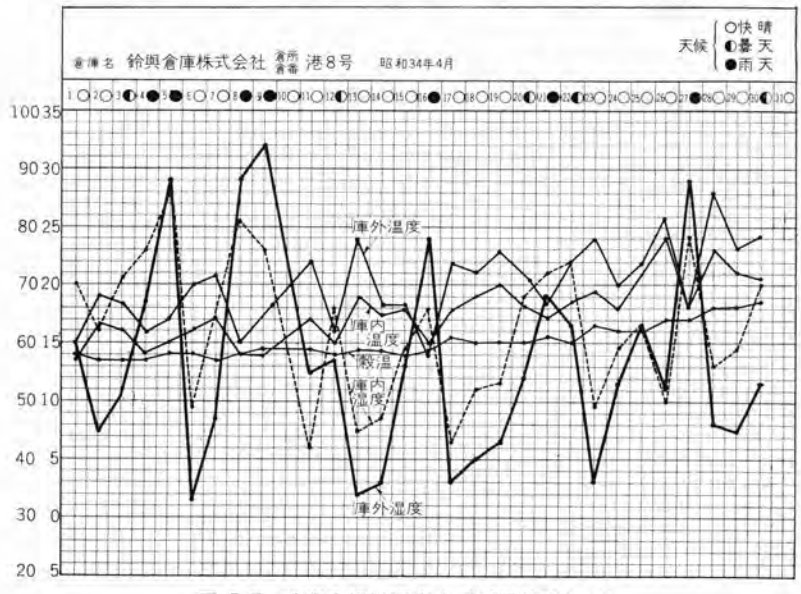


図 5.7 政府食糧温湿度表 (低温装置なし) Fig. 5.7 Temperature and humidity chart.

録である.

同じ場所にある普通倉庫の4月における温湿度記録を 図5.7に示す.

6. 低温貯蔵米と常温貯蔵米との比較

食糧庁静岡食糧事務所の行なった1ヵ年間の低温貯蔵 米と常温貯蔵米の各種の比較試験のうち、含有水分・発 芽率・搗精試験の結果を表6.1に示す。すなわち低温貯 蔵米は常温貯蔵米に比して品質的に非常にすぐれている ことを表わしている。とくに搗精米における所要電力量 の少ないことは大きな特長と考えられる。また同所の主 催で34年10月9日新米、低温米、常温米の比較試食 会が行なわれたのでその結果を報告する。

これは、新米、低温米、常温米を、A、B、Cの略号で称し試食参加者にはその区別を知らせないようにしておいて、味、香り、ねばりなど各自の好みに応じて総合した判定を1位より3位まで記入させる方法であった。表6.2 はその集計表である。

その結果は、新米を1位とするもの 28 名中 12 名で あったのが、低温米を1位に推す者は 28 名中 14 名を 占めて食味のすぐれていることを示した。

なお、この試食会は、農林省静岡食糧事務所、出納課 長、池田博生氏の主催で行なわれたものである。

表 6.1 低温,常温貯蔵米比較試験成績

(a) 含有水分, 発芽率

目距鏡鵟	含有水	分 (%)	発 芽 率 (%)		
試験実施月日	低 温	常温	低 温	常 湖	
入犀時 (1 月下旬)	16.3	16.8	96	94	
3 月下旬	16.3	15.3	96	93	
5.月下旬	15.6	14.7	95	92	
6月下旬	15.4	14.6	93	81	
7月下旬	15.3	14.0	82	0	
8 月下旬	15.9	14.4	89	()	
9月下旬	16.2	14.8	93	0	

(b) 搗精試験

	正味重量	揚精歩留 (點)	11 % (%)	捣精時間 (min)	電力量 (kW/h)	電流 (A)	捣 朝回 数
低温米	303.6 kg 5 使	91.93 (275.8 kg)	0,3	30	.5	22~17	8
常温米	297.5 kg 5 使	89.7 (269 kg)	0.3	33	10	26~20	8

- ○低温米も常温米も正確に 300 kg に修正して試験した。
- 掲精により完全精米の2等品にする。
- □供成米

昭和 33 年産 福島 3 等米

一時機期間

昭和 34 年 1 月 22 日から 10 月 9 日まで

A 196

低温 鈴与倉庫 村松 36 号倉庫 常温 鈴与倉庫 港 8 号倉庫

表 6.2 試食会調査表の集計結果

	1 似とするもの	2 位とするもの	3 位とするもの
A (常温米)	4/28	5/28	20/28
B (低温米)	14/28	14/28	0
C (新 米)	12/28	9/28	8/28

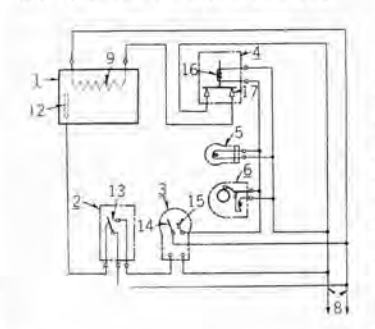
たとえば 14/28 とは 28 名のうち 14 名が1 似に推したことを表わす。

特許と新案

自 動 滅 菌 装 置

発明者 石川嘉孝

医療器具などの滅菌には所定値以上の温度において所定時間の加熱を必要とする。この発明は、滅菌タンク内の温度が所定値以上にある時間を積算しこの積算時間が所定値に達すると自動的に滅菌タンクの加熱を停止するようにして、不完全な滅菌あるいは必要以上の加熱を併うことなく合理的な滅菌作業を行なうようにしたものである。



その一例を図について説明すると、密閉した滅菌タンク(1)には接点(17)を介して電源(8)に接続された電熱器(9)が配置され、滅菌タンク(1)内の医療器具は加熱滅菌される。

この滅菌ョンク(1) 内の温度は感温器(12) により検出され、それが所定値以上にある場合には温度継電器(2)の接点(13) を閉合し積算継電器(3)を付勢してその可動接点(14)を固定接点(15)に向かい移動する。滅菌ョンク(1)内の温度が何かの原因により所定値から低下すると、接点(13)は開放し積算継電器(3)は消勢され可動接点(14)をその位置に停止する。このように積算継電器(3)は滅菌ョンク(1)内の温度の所定値以上の上昇あるいはそれ以下の下降に応じて可動接点(14)の移動あるいは停止を繰り返し、所定温度をこえる時間の積算値が所定値に達すると可動接点(14)を固定接点(15)に関合する。接点(14)(15)の関合により励磁コイル(16)は付勢され接点(17)は開放されて電熱器(9)の通電が断たれ減菌ンク(1)の加熱が停止されるとともに、ランブ(5)およびベル(6)は付勢され減菌完了を表示する。(特許第245839号)(何中記)

精密交流記録磁束計

研究所 野口英男*·土屋英司*

Precision AC Recording Fluxmeters

Research Laboratory

Hideo NOGUCHI · Hideshi TSUCHIYA

A precision AC recording fluxmeter developed by the Mitsubishi Research Laboratory makes possible precise automatic recording of dynamic characteristics of magnetic materials on the X-Y recorder. In the measurement an AC wave tracer is used to obtain an instantaneous value of waveform at an arbitrary phase and it is transformed to a direct current value. Overall precision of 1% is available for operating frequencies in the range from 50 to 1,000 cycles. The equipment is adaptable not only for the study of dynamic characteristics of magnetic materials referred to but also for the measurement of the characteristics of other non-linear elements such as rectifiers, transistors and ferro-electric materials.

1. まえがき

磁気材料の交流磁気特性を測定する装置として従来か ら磁束電圧計によって Point by Point 法で測定を行な うものと、 ブラウン 管を用いた磁気特性直視装置によるも のとが多く用いられているが、これらはいずれも自動記 録には不適な方法であった、近年になって測定器の自動 化が広範囲に行なわれるようになり、とくに X-Y 記録 計によって Y=f(X) として表わされる量の自動記録が 簡単に行なえるようになって以来、磁気測定の自動化に 関する研究も活発に行なわれ、ここ数年の間に数種の論 文が発表されている. これらの論文を概観すると、被測 定波形の任意の位相における瞬時値を取出す開閉器とし て、機械的開閉器を用いたものと電気的開閉器を用いた ものとに大別できる。これらのうち、機械的開閉器はべ クトルメッサ・フェロメータ などの商品名で知られている測定 器に用いられているか、きわめて高精度の機械工作を必 要とし、同期電動機で接点の駆動を行なうために、その 測定可能周波数はほぼ 100 c/s 程度が限度と考えられる これに対して電気的開閉器としては真空管・トランシスタ・ プルマニウムダイオードなどの非直線素子を用いたものがあり, 機械的開閉器のような工作上の精度を必要としない上に それぞれの素子の選択が簡単で、しかも相当高精度の測 定に用いることができる.

以上のような理由から、今後交流磁気特性の測定には 電気的開閉器によるものが多く用いられるようになると 考えられるが、そのうち E. Kittl⁽¹⁾ が発表した真空管 ゲートによるものは種々の点ですぐれているので、われわれの研究室においても磁気材料の研究用として、彼の測 定原理を応用した装置を試作し、種々実験・検討を行な って改良を加え、1,000 c/s までの動磁気特性を高精度で 自動記録しうる精密交流記録磁束計を製作した。

この装置は交流磁化特性、対称 ヒステリシスループ が測定できるほかに、被測定波形中に偶数次高調波を含んだ非対称 ヒステリシスループ をも測定できるので、磁気増幅器用鉄心の各種磁気特性を知ることができる。また装置の一部を改造することによって、整流器・トランジスタ や強誘電材料のような非直線特性をもったものの動特性を測定することも可能である。

2. 測定原理

直流の X-Y 記録計に交流波形を記録するのであるから、波形中の任意の位相における瞬時値を直流化する必要がある。図 2.1 に示したように、波形中の任意の位相 θ から $\theta+2\theta$ の間だけ接点を閉じてこの間の電圧を取出したとき、その平均値は次式で示される。

$$e_n = \frac{1}{T} \int_{\theta}^{\theta + \beta \theta} e \, dt \quad \cdots \quad (2, 1)$$

このとき、 $\Delta\theta$ の値が小さければ、これは次のように近似できる。

$$e_u = \frac{\Delta \theta}{360}, e_{\theta + \Delta \theta}$$
(2, 2)

この式(2.2) は**図 2.1** からわかるように、 $(e_{\theta+d\theta}-e_{\theta})/e_{\theta}$ がほぼ零となるように $\Delta\theta$ の値を十分に小さくとれば正確に成り立つ。しかしながら $\Delta\theta$ を小さくとれば必然的に感度が小さくなり、また式中 $\Delta\theta$ が定数として存在しているために、接点開閉時間にごくわずかの変動があっても大きな誤差を生ずることになる。

機械的接点開閉によるものは正確な時間間隔をつねに 維持することが困難なために上述のような測定原理を実 現することができないが、 電気的接点開閉によるもの は、温度変化などによって 各素子の特性が変らない限 り、つねに正確な時間間隔 が作り出せるので、こうし た測定法に適している.

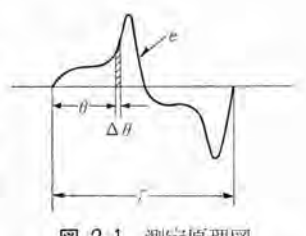


図 2.1 測定原理図 Fig. 2.1 Basic principle of tracing method.

こうして瞬時値に比例し

た平均値電圧が得られるので、これを磁化力波形(一次電流波形)および磁束波形(二次電圧波形を積分したもの)の両者に適用し、瞬時値を取出す位相を360度変化させれば、1 周期全体にわたる波形の トレース ができ、これをそれぞれ記録計の X, Y 軸に接続すれば ヒステリシスループが描かれる。またこれとまったく同じ原理で、位相をある特定点(両波形の最大点)に合わせ、試料の一次電圧を変化すれば交流磁化特性曲線が自動記録できる。

このように波形を細分して トレース するという測定原 理によっているため、周期的に繰り返しのある波形であ りさえすれば、波形 ヒズミ がどのような回路にも適用す ることができる.

3. 測定回路の構成

図3.1 に測定回路の系統図を図3.2 に各部を組上げた写真を示した。まず試料の一次側に接続した無誘導抵抗(R)から磁化力に比例した電圧を取出し、これを波形トレーサに必要な値まで増幅したのち"H"波形トレーサを通じて記録計の X 軸に供給する。一方試料の二次側に誘起した電圧を増幅・積分したのちに、H側と同じく"B"増幅器に入れその出力を"B"波形トレーサを通じて記録計の Y 軸に供給する。そしてこの両波形トレーサのゲート部を動作させるトリガーパルスの位相を変化させれば記録計に セステリシスループ が描ける。またこの移相器には幅が位相に比例した一定振幅のっ形波電圧が得られるようになっているので、これを時間軸として用いれば、各種波形を自記することができる。

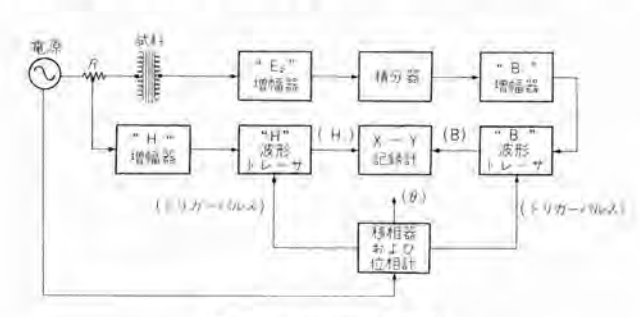
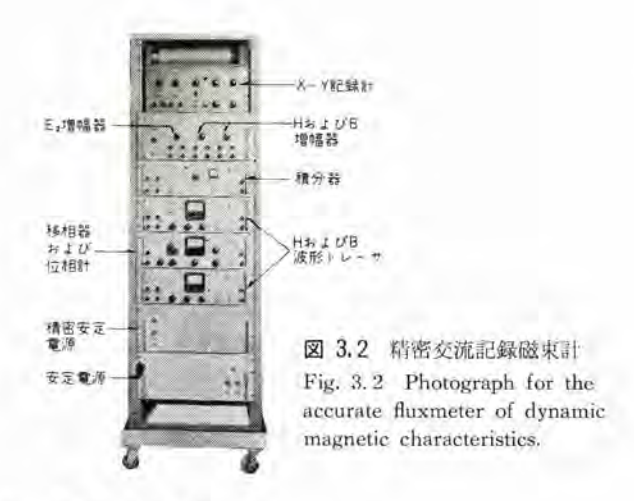


図 3.1 測定回路の構成

Fig. 3.1 Block diagram for the dynamic characteristic tester of magnetic materials.



4. 各構成回路

4.1 E。增幅器

磁気特性試験器の増幅回路に要求される特性は、振幅 誤差および相位誤差ができるかぎり小さいことである。 実際に用いた回路を図4.1 に示した。初段には低雑音管 の12AY7を用い、一方の格子に直流定電圧を入れて出 力側の直流 レベル を対地電位に等しくできるようにする とともに、電源電圧の変動があっても安定に働くように した。この回路構成上注意すべき点をあげれば、

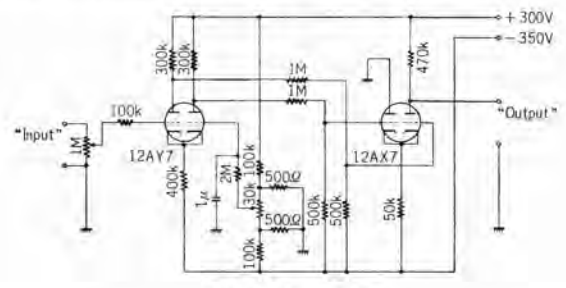


図 4.1 E₂ 增幅器

Fig. 4.1 Detailed circuit diagram of the E2 amplifier unit.

- a. 真空管は枯化したものを用いる.
- b. 各抵抗器には温度係数の小さいものを用いる.
- c. 周囲温度の急変を避ける.
- d. 各抵抗器の定格の 1/4~1/8 の容量で用いる. などがあげられる. 図 4.1 の回路で最大入力が 100 mV までは十分直線性があり、利得は約 55 db である.

4.2 積 分 器

この回路は試料の二次電圧を磁束に比例した電圧に変換するために入れるものである。いま試料の二次電圧を e_2 ポルト、試料内の磁束を ϕ マクスウェル とすれば、

$$\Phi = -\int e_2 dt \times 10^8 \quad \cdots \quad (4.1)$$

として表わされ、二次電圧を積分すれば磁束が得られる。 Kittl⁽¹⁾ は積分器に電子管式 アナコム に使用するのと同様 な回路を用いており、われわれも最初その回路によって

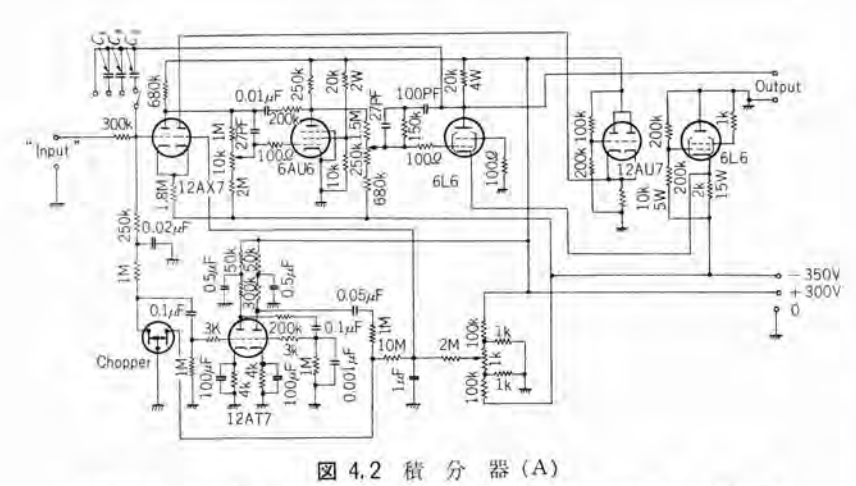


Fig. 4.2 Detailed circuit diagram of the integrator amplifier (A) unit.

実験を行なった。これを図4.2に示した。

図4.3に示した積分網の伝達関数は次式で示される。

$$\frac{E_0}{E_i} = \frac{1}{\tau} \left(\frac{1}{p} \right) \dots (4, 2)$$
ここで $\frac{1}{\tau} =$ 比例常数
 $p = j\omega$

しかしこれは実際には式(4.3)で近似できるだけである。

$$\frac{E_0}{E_i} = \frac{1}{\tau} \left(\frac{1}{p + \frac{1}{\tau}} \right) \quad \cdots \quad \cdots \quad (4.3)$$

式(4.3)から明らかなように、 すが増大すれば近似度が改善されるが、比例常数が減少して出力電圧が小さくなる。 図4.3 の ミラー 積分器では伝達関数は次のようになる.

$$\frac{E_0}{E_t} = -A \left\{ \frac{\frac{1}{(1+A)RC}}{p + \frac{1}{(1+A)RC}} \right\} \cdots \cdots (4.4)$$



図 4.3 積分四端子網 Fig. 4.3 Integral fourpole network.

ここで積分の目的であるauの値は(1+A)RCであり、 比例常数はAが非常に大きいときには、

$$\frac{-A}{(1+A)RC} \approx -\frac{1}{RC} \qquad (4.5)$$

となり、通常の RC 積分器に比べると、同じ誤差に対しては A 倍の出力を持つことになる。このときの E_i と E_o 間には、理論上 90 度の位相角が存在しなければならないが、実際にはいくぶんかの誤差が存在する。この誤差率を Ψ とすると、

$$\psi = \frac{\varphi \times 100}{90} = \frac{\frac{180}{\pi} \times \tan \varphi}{90} \times 100 = \frac{200}{\pi} \times \tan \varphi \quad (\%)$$

ここで、 $\varphi = E_i$ と E_0 間の位相角 \mathbf{Z} 4.3 の ϵ 5 一 積分器ではこの誤 差率が次のようになる.

$$\Psi = \frac{200}{\pi} \times \frac{1}{\omega RCA} \quad (\%) \dots (4.7)$$

これらの式から計算された振幅および位相特性の一例を図4.4 および図4.5 に示した.

普通, 商用高周波における磁気特性の測定は 400 c/s および 1,000 c/s をよく用い, 他の周波数での測定は それほど多くないので, 60c/s, 400c/s

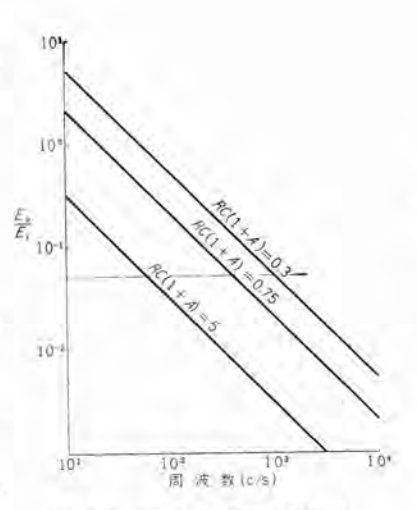


図 4.4 出力振幅の周波数特性 Fig. 4.4 Output amplitude plotted as function of frequency.

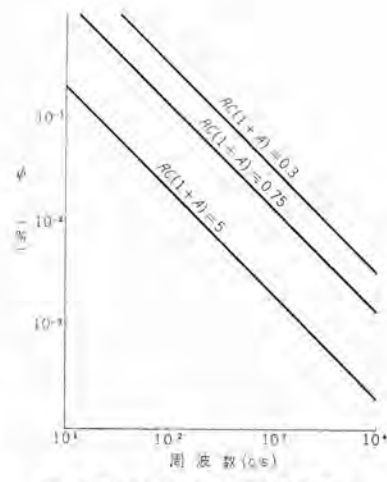


図 4.5 位相誤差の周波数特性 Fig. 4.5 Output phase error plotted as function of frequency.

および 1,000 c/s における出力が等しくなるように RC $\times (1+A)$ の積を選べば、同じ位相誤差で、しかも測定時の較正が簡単になって便利である。そこで \mathbf{Z} $\mathbf{$

こうした積分器でしばしば等閑視されるのは利得平たん部がどれくらい必要かということに対する注意である。 鉄心を試験する際にその試料巻線の インピーダンス が電源 インピーダンス に比べて小さいときには二次電圧がかなりひ ずみ(2)、波高率が 50 程度になることがある。こうした ときには、第 33 番目の高調波の振幅がなお基本波の 10 %にも及ぶものである。そこでこうした鋭い波形を積分 する増幅器の高域は相当高いところまで平たんに延びて いる必要がある。いまかりに前記の二次電圧波形を忠実 に伝えるには、基本周波数の約 300 倍が -3 db 点とな るようにする必要があり、他方低域側は、 \mathbf{o} 。において 1/4 度の位相誤差をもった R-C結合一段増幅器の-3 db 点は大体 \mathbf{o} 0/230 といわれており、位相誤差を小さくす

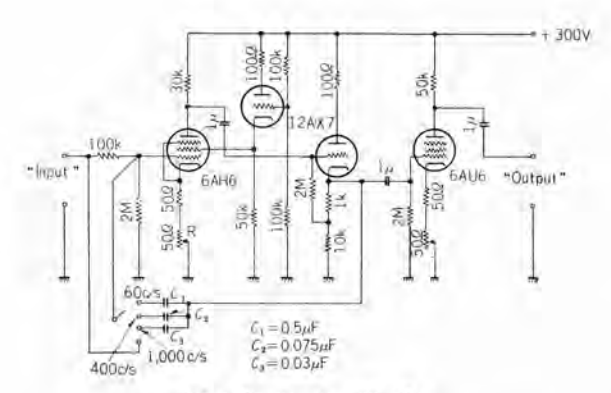


図 4.6 積 分器(B)

Fig. 4.6 Detailed circuit diagram of the integrator amplifier (B) unit.

るには十分低域まで利得が平たんでなければならない. これらを適用すれば、 $60\sim1,000\,\mathrm{c/s}$ の試験器では $0.26\,\mathrm{c/s}$ $\sim300\,\mathrm{kc/s}$ の帯域幅が必要である.

図4.2の積分器は開ループ利得が約70dbで安定度もかなり良好であるが、なお高域の特性が十分でないので高域部の特性を改良した図4.6の回路を実際に用いた.

4.3 H および B 増幅器

この回路は後述の波形 トレーサ に被測定波形を入れる場合、信号回路の インピーダンス が高いと、その部分において電圧降下を生じ正の誤差を生む原因となるので、それを防止するために設けたものである。また電源電圧の急変やその他のじょう乱があって波形 トレーサ の正規の機能が乱されたときに、この波形 トレーサ の前段にある回路の出力 インピーダンス が小さいと、じょう乱をすみやかに回復する。この増幅器の回路を図4.7に示した。

(1) Η 增幅器

試料を磁化する際に、試料巻線の インピーダンス に比べて磁化電源の インピーダンス が大きいときには二次電圧波形が正弦波からはずれるので、磁化力を取出すために入れる無誘導抵抗はできるだけ小さなものが望ましい。 こうしたことから、磁化力として取出す電圧はおおむね相当小さいので、それを増幅するために入れるものである.

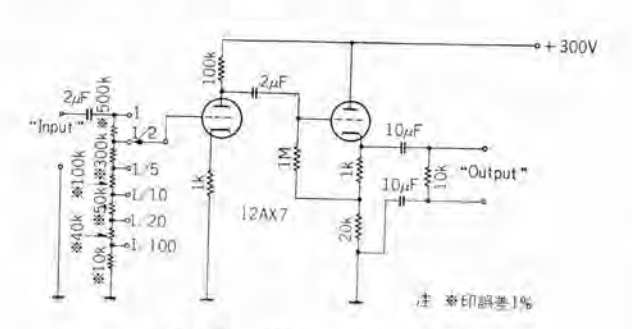


図 4.7 "H"と"B"増幅器

Fig. 4.7 Detailed circuit diagram of the "H" and "B" amplifier unit.

(2) B 增幅器

試料の断面積が非常に小さい場合には波形 トレーサ に 十分な入力を与えることができないので、ある程度の利 得を得るために入れた。また入力が過大となる場合には、 この段階で感度調整をして適当な大きさの入力を波形ト レーサ に与えるようにする.

4.4 波形トレーサ

この部分は測定器のうちでもっとも重要なところであって、2章の測定原理に述べた働きをするものであるが、これを詳細に述べれば次の二つの部分にわけられる.

(1) ゲート部

図4.8 に示したように被測定電圧を五極管の陽極に与え、制御格子にはトリガ用の幅が約2μsのク形波を与える。この制御格子には十分に高い負電位を与えて常態においては十分にカットオフの状態に保たれているが、格子にトリガ用のク形波がはいった瞬間だけ通電する。こうして被測定電圧のある瞬時値が通電すれば、これはパ

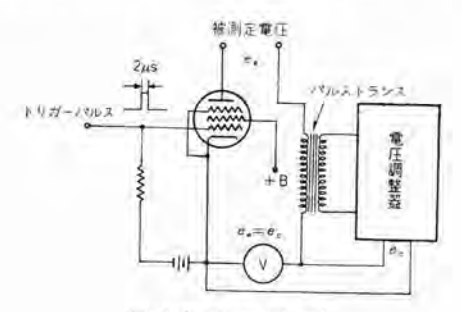


図 4.8 ゲート回路 Fig. 4.8 Gate circuit

ルストランス によって検出され、自動電圧調整部で増幅・整流した後に直流電圧 e_c として全帰還され、 e_c の値が瞬時値 e_θ に等しくなるまで自己調整作用が続く。そこでこの パルス の位相を被測定電圧に対して 360 度変化させれば、波形の 1 周期が トレース できる.

ゲート 回路に要求される一般的事項は数多くあるが、 そのうちとくに重要なことは、

- a. 波形を正しく伝えること.
- b. ゲート 信号が出力に混じらないこと.
- c. ゲートにおける減衰がないこと.
- d. 入力 インピーダンス が大きいこと.
- e. 入・出力が共通の ァース 端子を有すること. があげられる.

図4.8に示した ゲート 回路では、バルストランス として適当に設計されたものを用いれば a. か満足され、b.~d. の条件も満足できる。とくに入力 インピーダンス は平衡状態においてはほぼ無限大とみなされ、零位法の状態で測定が可能である。ただし最後の e. の条件だけは満たすこ

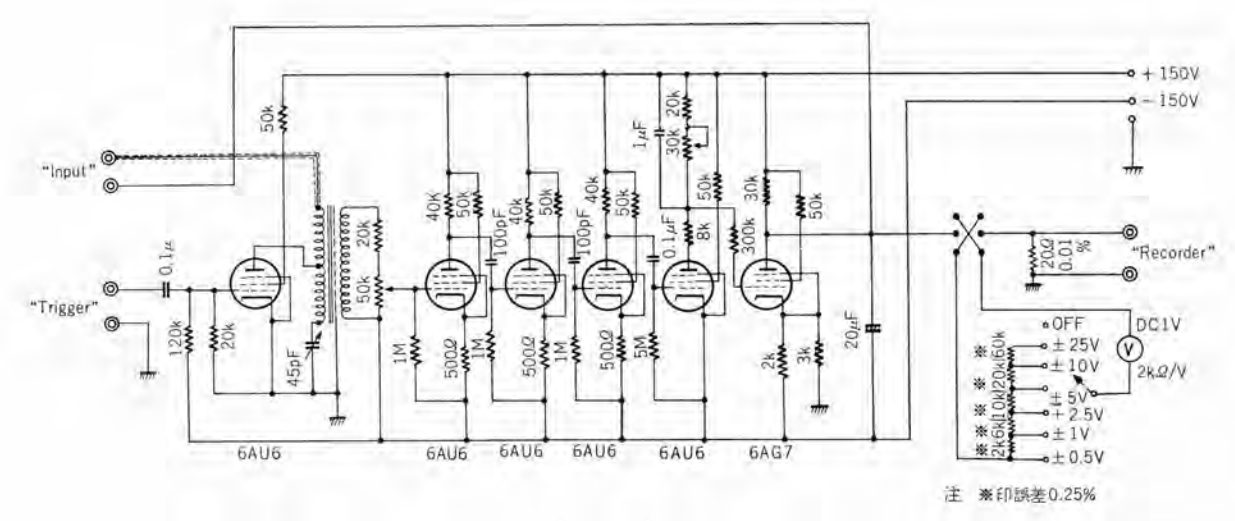


図 4.9 波 形 トレーサ

Fig. 4.9 Detailed circuit diagram of the AC-voltage tracer unit.

とができず、記録計を用いる場合に不安定性を生じる最 大の原因になっている。

(2) 自動電圧調整部

これは図4.9の パルストランス よりあとの部分である. 前述の ゲート 部をとおってきた幅が約 2μ s の被測定波形の瞬時値は6AU6 で三段 パルス 増幅した後に四段目の格子側において波高値整流される. この波高値整流器としての特性は格子回路の時定数を大きくとれば達せられるが、これがあまりにも大きいと安定度を悪くするので、最低測定周波数を50cs と考え、格子回路の時定数 $T=10T_{50}$ 程度に選んだ. こうして四段目の6AU6 の陽極側には、入力の波高値に比例した直流電圧が得られ、これを適当な値に調整するために最終段に6AG7 を用いて直流増幅を行なった.

この自動電圧調整部の働きを理解するために最終段の 直流出力電圧が、被測定電圧の瞬時値よりも大きいもの と仮定する。このとき、ゲート部の 6AU6 の陽極電圧は 正になり、正の陽極電流が流れるので、パルストランスの二 次側に電圧が誘起し以下の交流増幅部で増幅される。そ してこの電圧によって四段目の格子側蓄電器が充電され。 格子電位は負になる。その結果この球の陽極はさらに正 になり最終段の陽極側出力を下げるように働き、自動的 に平衡動作が続くのである。

この直流出力電圧を ゲート 部へ全帰還すると同時に、 電圧計および記録計に与えて被測定波形の任意の位相に おける瞬時値を指示させる.

4.5 移相器および位相計

(1) 移相器

C-R 形の移相器を用いた。 図 4,10 に示したように C-R によって位相が 0,90,180,270度 の各点を作り 出し、その間をこの C-R に比べて十分に インピーダンス

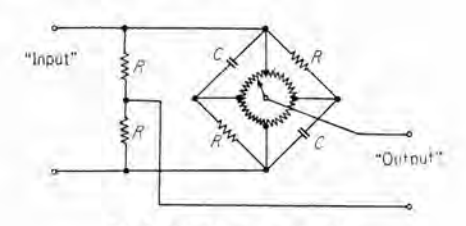


図 4.10 移 相 回 路

Fig. 4.10 Circuit diagram of the phase shifter.

(2) 位相計

図4.11 に位相計の系統図およびそれぞれの部分における波形を示した。位相が固定および可変の両信号はそれぞれの クリッパ 増幅器でク 形波に変換しこれを微分して パルス を作る。この パルス の負の部分を適当に消去して フリップフロップ 回路に入れれば両波形の位相差に比例した ク 矩形波が得られ、これを増幅して整流すれば、位相差に比例した直流電圧が得られる。この電圧を計器に与えて位相差を直接読取ると同時に、その一部を X-Y 記

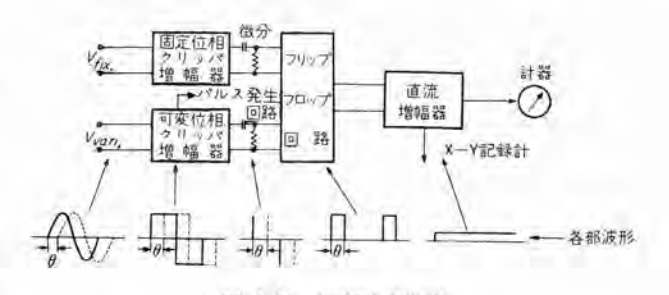


図 4.11 位相計の構成 Fig. 4.11 Block diagram of the phase meter.

(277) 35

録計に供給して Eg, B および H の波形を トレース する ときの時間軸に用いる.

(3) パルス 発生回路

4.4 の波形 トレーサの ゲート を働かせる トリガーパルス は 移相できることが必要なのはもちろんであるが、できる だけっ形波に近いパルスであって、その波形およびパル ス幅が周波数によって不変であることが望ましい。そ れらの諸点を満足するものとして図 4,12 に示した line type の パルス 発生器を用いた.

サイラトロン の格子には十分な負の バイアス を与えて かっ トオフ に保っておく。前述の クリッパ 増幅器の出力を格子 に与えるとこの ク 形波は格子側の C-R で微分されて、 その正パルス が与えられれば サイラトロンは イオン 化する・

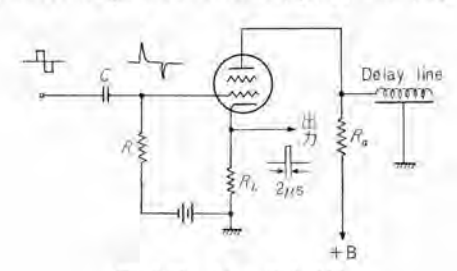


図 4.12 パルス 発生回路

Fig. 4, 12 Circuit diagram of the pulse generator,

こうして サイラトロンが イオン 化すれば、これはきわめて低 抵抗 スイッチ と同様な働きを示し、Delay line を直接負 荷抵抗 Rr. に接続する. このとき流れる電流は Delay line によって規制され、Delay line の特性 インピーダンス と負荷抵抗 Raが等しいときにはただ一つのパルスだけ が R_L 内を流れる。この回路において陽極側抵抗 R_α と Delay line の静電容量による時定数を十分小さく選ん でおけば、高い周波数に至るまで波形の一定な パルスを 得ることができる. この回路の利点は正または負の単一 極性のパルスだけが得られるため、波形トレーサに必要な 正極性の パルス を得るように構成すれば波形 トレーサ に 余計なじょう乱を与えなくてすむ.

以上に述べた移相器および位相計の全回路を 図 4.13 に示した. この回路によって幅が約2 µs のトリガーパルス が 1,500 c/s まではくずれることなく発生でき、ヒステリシス ループおよび磁化曲線を記録させるときの波形の細分化 に用いるのに十分な精度をもっている。この トリがーパルス の波形を図4.14に示した。また、フリップ・フロップ 回路へ の入力波形の立上がり所要時間が現在のものでは約3 µs あり、このため位相計の誤差は0度から1度および359 度から360度までの範囲(すなわち固定位相部からの波

> 形と可変位相部からの波形とが重なり合う範囲) で最大となり、その値は 50 c/s で約 0.05 度, 400

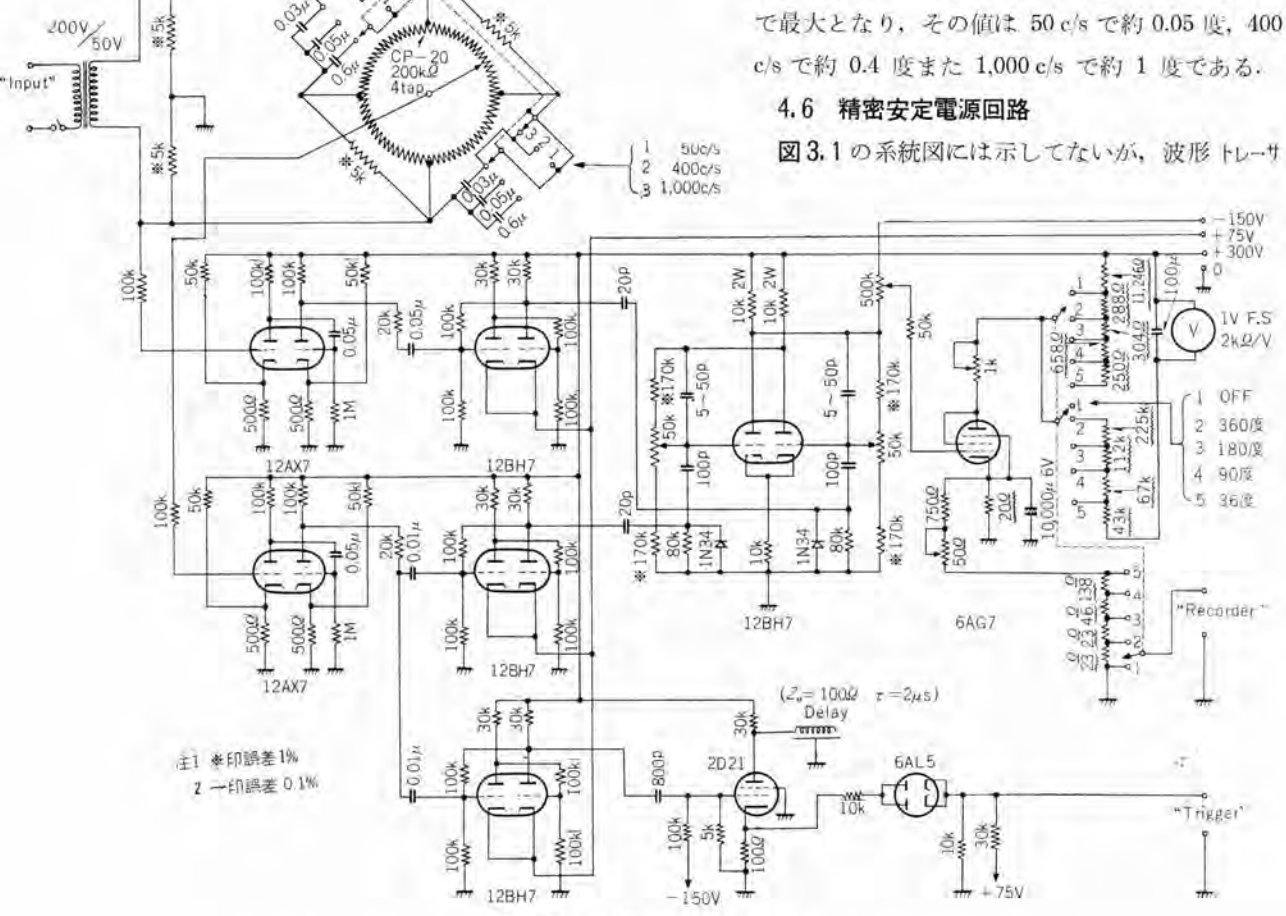


図 4.13 移相器と位相計 Fig. 4.13 Detailed circuit diagram of the phase shifter and phase meter unit.

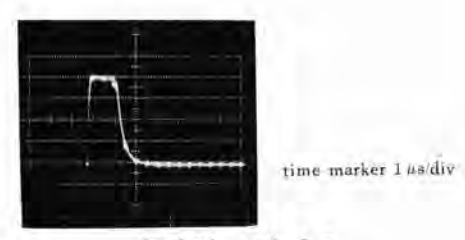


図 4.14 トリガーバルス Fig. 4.14 Trigger pulse.

に供給する直流電源は非常に高安定度のものを必要とする。一般の定電圧装置においては、標準電圧源として定電圧放電管または電圧標準管を用いているが、これには2~3 ポルトの電圧変動が存在し出力電圧を変動させる原因になっている。そこで図3.2の精密安定電源ではこの標準電圧源として電池を用い、出力の軌跡を少なくすることを試みた。

図 4.15 において出力電圧を E_0 照合用として用いた電池の電圧を E とすれば、 E_0 を R_1 、 R_2 によって分圧して E に等しくして初段の格子に加える。 E_0 が所定値より上下すれば、その $R_2/(R_1+R_2)$ だけの電圧が格子に加わり、直列制御管の格子を制御してつねに定電圧に維持するように働く。このとき、E の値が小さいと増幅度を相当必要とすることになるので、「リフトを押えるために F_3 -9パ 安定回路をつけ加えて直流増幅器の安定化を計った。

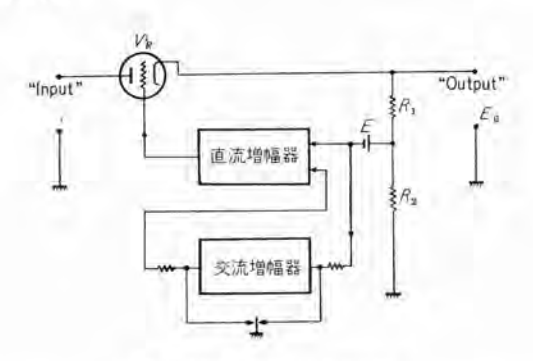


図 4.15 精密電源安定回路

Fig. 4.15 Circuit diagram of the stable power supply unit.

われわれの試作器の場合 E_o を 150 V とし、出力の 軌跡は短時間では (ν --プ を描くには十分な時間) 10^{-5} , また出力の J_{99} J_{10} は 10^{-6} という結果を得た。

なお図3.2の安定電源は各増幅器・積分器・位相計および精密安定電源に所要の直流電圧を供給するもので、 一般に使用されている回路を用いた。

5. 実験結果

以上の各構成回路を測定目的によって適宜組合わせれば、各種波形や ヒステリシスループ が自動記録できる。これら回路のうち、とくに重要な部分である積分器および波

形 トレーサ 部の特性と、実際に Eステリシスルーナ を描かせ た結果について述べる。

5.1 積分器の特性

4.2 項で述べたような広域特性を実現するには、まず 結合 コッデッサ および格子漏洩抵抗を大きくすることによって低域の特性を改善し、また陽極に負荷される浮遊容量を少なくし、かつ陽極負荷抵抗の値を小さくすることによって高域での特性を改善すればよい。

このような点を考慮して改良した \mathbf{Z} 4.6 の回路では積分回路網の開ループ 利得がちょうど 40 db になるように R で調整すれば、積分器としての特性は前掲の \mathbf{Z} 4.4 および \mathbf{Z} 4.5 となる。またこの部分の開ループ 時の周波数特性を \mathbf{Z} 5.1 に示した。

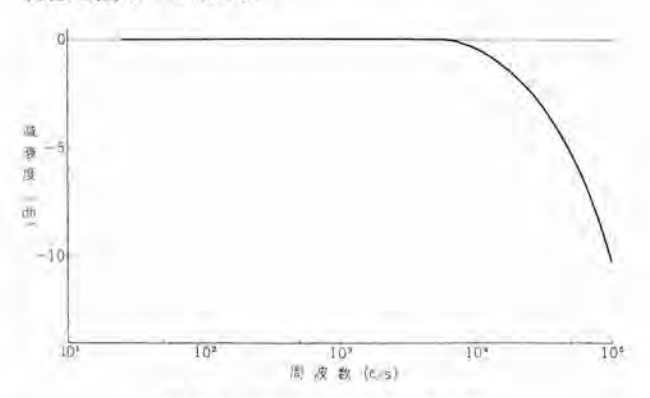


図 5.1 積分増幅器の周波数特性

Fig. 5.1 Frequency characteristic of integrator amplifier.

図4.6の最終段は積分器内での振幅減衰を補うための 回路で、積分後の波形の高調波含有率は積分前に比べて ずっと減少するため、この部分の高域特性はあまり考え なくてよい、結局回路全体を通じての利得は60 c/s、400 c/s および 1,000 c/s でちょうど 20 db となるように回路 を調整した。

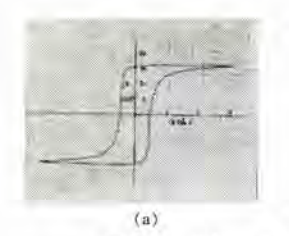
5.2 波形トレーサの特性

波形 トレーサ 部を安定に動作させるために必要なことは、第一に真空管回路が パルス を忠実に伝送するよう、 適当に設計されたものであるのはもちろんであるが、と くに パルストランス の選択が重要である.

われわれは市販の ブロッキングオシレータ 用の トランス を用いて、ほぼ満足すべき結果を得たが、なお オーバーショット がいくぶんあるので、現在最適条件のものを設計中である.

第二は電源の安定化である。 図4.9 に示したように、 記録計に供給される電位は、直流電圧変動の影響を直接 受けるので、これを十分安定化する必要がある。また交 流側に Pulsive な変動があれば、これも直接検出・増幅 されて回路の機能を乱す。

図4.9 の トリガーパルス として図 4.14 に示した波形を 入れたときの周波数特性は、50~1,000 c/s 間は測定誤差



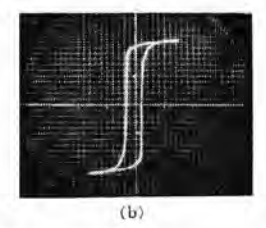


図 5.2 対称 ヒステリシスルーブ (60 c/s)

Fig. 5. 2 Symmetrical hysteresis loop (60 c/s).

(a) recording fluxmeter. (b) cathode-ray B-H tracer.



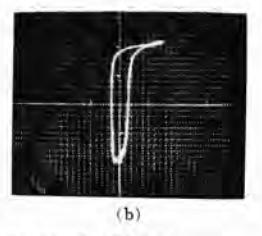
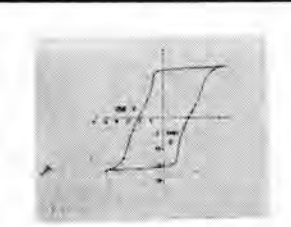


図 5.4 非対称 ヒステリシスルーラ (60 c/s) Fig. 5.4 Unsymetrical hysteresis loop (60 c/s).

(a) recording fluxmeter. (b) cathode-ray B-H tracer.



(a)

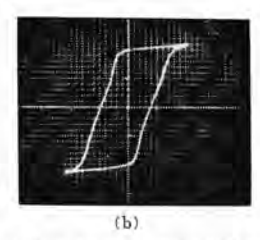




図 5.3 対称 ヒステリシスループ (400 c/s)

Fig. 5.3 Symmetrical hysteresis loop (400 c/s)

(a) recording fluxmeter. (b) cathode-ray B-H tracer.

の範囲内でまったく平たんであり、入力部に直流電圧を 印加して最小レッジでの入・出力間の直線性を調べたが、 ±0.5 V の範囲全域について完全な直線性が得られた.

5.3 ヒステリシスループの記録

手もとにあった ァームコ 社製方向性 ケイ素鋼帯の巻鉄 心(0.35×20×60 φ×100 φ) に、一次側 100 回、二次側 1 回の巻線を施し、励磁用電源に 30 kVA (60 c/s) ならび に 10 kVA (400 c/s) の電動発電機を用いて ヒステリシスル 一プを描かせた.

図 5.2(a) は 60 c/s での対称 ループ で、磁束正弦波の 状態のものである. また図 5.2(b) は同一試験条件で, ブ ラウン 管上に表示させた写真である.

つぎに図5.3(a) は同じ試料を 400 c/s で試験したも ので,このときにはほぼ磁化力正弦波の状態を実現して 描かせた. これも同じく図5.3(b) に ブラウン 管上に表 示した写真を付した. また図5.3(c) は磁化力軸の細部 がわかるように、同軸を拡大して記録をとったものであ

図 5.4(a) は バイアス 磁界を かけた状態で、60 c/s でと った非対称 ループ である. 図 5.4(b) には同じく ブラウン 管上に表示した写真を示した.

なおこの装置の設計にあたって最高測定周波数とした

1,000 c/s での ループ は励磁用電源と して十分な容量のもので, かつ波形 の良いものが手もとになかったので 記録させることができなかった.

6. to t TX

以上述べたように磁気特性の自動 記録装置としては相当満足すべき結

果が得られた. 使用する直流電源用の商用電源の電圧な らびにその波形の変動があまり大きくない場合には、装 置を動作し始めてから約30分たてば、各部はほとんど 無調整のままで長時間測定を続けることができる.

しかし、近くで大電力を間欠的に使用している場合の 商用電源の電圧安定度は悪く, かつ電源波形もかなりひ ずむことが多い. そのために装置の安定な操作を乱され ることがしばしば生ずる.

また試料を励磁するための交流電源に変動があれば、 これはそのまま描かせた結果にあらわれるので、その変 動(電圧、波形とも)率は 0.5% 以下におさえる必要が ある.

測定装置自体の精度は規準とするものがないので、い まただちに正確に評価することができないが、繰り返し てループを描いても正しく同じ個所をトレースしている点 からみて、まず 1% 程度には納まっているものと考え られる. なお今後この装置を利用して各種の動特性測定 を行な 5 予定である. (34-12-3 受付)

参考文献

- (1) E. Kittl: AIEE T. P. 55-454 (1955).
- (2) 野口·須藤: 「三菱電機」 30, 733 (昭 31).

アナログ-ディジタル変換器

無線機製作所 馬場文夫*・渡辺文明**・石田哲爾**

Analog-Digital Converters

Electronics Works Fumio BABA • Fumiaki WATANABE • Tetsuya ISHIDA

Recent rapid progress in electronics has brought an employment of a digital system instead of the analog system in the treatment, storage and transmission of information, making it necessary to provide a converter turning analog quantities into digital ones. At present there are diversified types of analog to digital converters put to practical use. Mitsubishi has developed an A-D converter which operates on the feedback encoding method with ten channels, converting speed 3,000 pieces of information per second and accuracy 0.1%. The converting speed can be raised to any amount theoretically by shortening the period of the clock pulse, this being one of the aim by the company.

1. まえがき

最近情報を処理・貯蔵・伝送するにあたり、アナログ方式に代って ディジタル 方式が盛んに用いられるようになった。その理由は ディジタル 方式が アナログ 方式に比較して、精度を高くできること、ドリフト などの要素がないこと、貯蔵・再現が容易であること、伝送する場合雑音に対して強いことなどが考えられるからである。

以上のすう勢にしたがって アナログ 情報を ディジタル 化する交換装置が必要不可欠なものとなり、この装置の研究が盛んに行なわれ、種々の方式が考えられている.

本稿は種々の方式の A-D 変換器の一般的な特長につきその概要を記し、続いて当社が最近試作した精度ならびに変換速度の点でもっともすぐれていると考えられている Feedback encoding 方式によった A-D 変換器について記述した.

2. 各種 A-D 変換器の概要

A-D 変換器に関しては種々のものが考えられているが、これを分類すると次の3種類に要約できる.

- a. Space encoding type
- b. Time encoding type
- c. Feedback encoding type

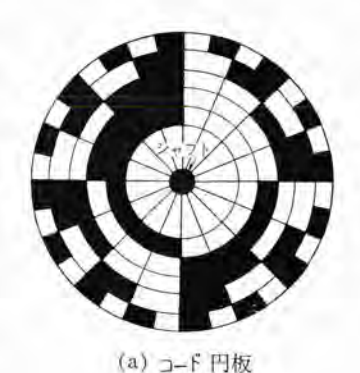
これらはおのおの特長をもっており、その特長をもっと も生かすように使用することが必要である。以下各 type についてその概要を記す。

2.1 Space encoding type A-D 変換器

この方法の変換器はもっとも直接的な方法で、図 2.1 (a)のような Code をきざんだ円板を作り、これを プラシ接触または光学的な方法により読みとる方法である。この場合変位角の アナログ 量が ディジタル 化されることになるが、アナログ 電圧を変換するときはこの円板に サーボモー

タ、ポテンショメータを取付け、図2.1(b)のような回路を作って電圧を変位角に直してディジタル化すればよい。

この方法の特長はきわめて小形であり、かつ機械的強度が強いことである。たとえば米国 Librascope 社で製作している1回転 128 だっトのもので直径 5.08 cm、長さ 7.62 cm程度の大きさである。このものを使用すると1 回転を フルスケールとすれば精度は 1/128 すなわち約 0.8% となる、変換速度は シャフト



ディンタル信号 サーボ モータ コート円板

アナログ入力・調整を

(b) ブロック 図 図 2.1 Space encoding type A-D 変換器の原理

Fig. 2.1 Principle of space encoding type A-D converter.

の回転の慣性などの制約を受けるので最大毎秒 10~30 回程度が限界となる。1回転のビット数を上げるにはギャを使用すればよいことになり、2¹⁹ すなわち約52万ピットのものもあり広い範囲のディジタル化にも使用できる。

このような Code 板を使用する代りに円板周囲に スロット をきざみ ブラシ 接触,または光学的方法で変位角に比例した数の パルス を発生させ,かつその パルス が回転 方向により正負の弁別回路を設け,可逆計数器を使用して変位角をディジタル 化することも可能で,この方法は工作機の数値制御装置の位置検出器として使用されている.

2.2 Time encoding type A-D 変換器

この形の A-D 変換器は入力電圧に比例する時間差を

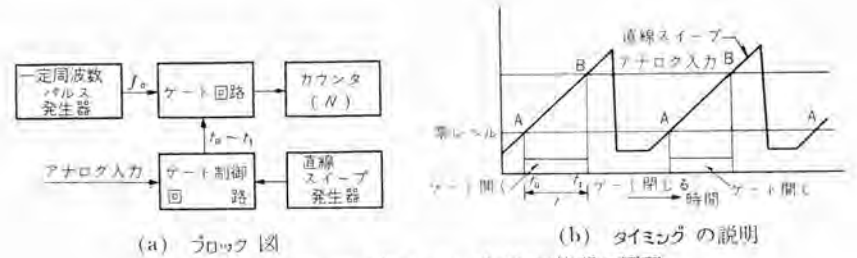


図 2.2 Time encoding type A-D 変換器の原理

Fig. 2.2 Principle of time encoding type A-D converter.

作り、これを一定周波数のパルス数に変換して rtoð 電 圧をディジタル化する方法である.

構成としては図2.2(a) のように一定周波数 f_0 の パ ルス 発振器、ゲート 回路、ゲート 制御回路、カウンタ などか らなる.

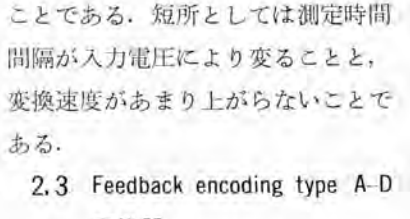
ゲート 制御回路は直線 スイープ 発振器 (一般に使用され る回路は Phantastron 回路) の電圧値と零電位および アナログ 入力電圧とが一致したとき、一致 パルス を発生し、 前のパルスで開いていたゲートを閉じるように制御する. 直線 スイープ の直線性が完全であれば 図 2.2(b) でわか るように入力電圧 Va と ゲート の開いている時間 t は比 例し、 $V_0=\alpha t$ という関係式が得られる.

したがって かつつ に数えられる数 N は次のように なる.

$N=tf=f/\alpha V_0$

α, f は一定であるから アナログ 電圧 Vo は ディジタル 数 N に変換されたことになる。この場合 スイーラ の直線性 が 0.1% 程度が限度であるので、この点で精度が定まり、 N を大きくしても意味がなく、1,000 パルスを フルスケール の程度として使用される。変換速度はNの最大値を N_m とすれば、 N_m/f_0 となり、 f_0 を大にすれば速度が上がる ことになるが カウンタ の速度で制限される。カウンタとし ては 10 Mc まで計数するものもあるが、比較的簡単な 回路で安定性のあるものとしては 1Mc が限度であるの で、 $N_m = 1,000$ のとき変換速度は 1 m sec/conversion 程 度となる.

この方法の特長は比較的簡単な電気回路で測定でき, Space encoding に比して相当早い変換速度が得られる



変換器

この方式は前の二つの方法に比較

して、電気回路は複雑になるが変換速度の点で非常にす ぐれた特長をもっている. この装置の詳細な説明は次節 に記してあるので、その概要だけを記す.

比較電圧発生装置は最大電圧を Vo とすると, 1/2 Vo, $1/2^2V_0$, $1/2^3V_0$, ……と半分になる電圧を順次発生する ようになっている. まず入力 アナログ 電圧 Viは Voと 比較される. もし $V_i > V_o$ ならば比較電圧を $V_o + 1/2$ ×V。に増加させて次の比較をする。もし Vi<V。ならば 判定パルスによって比較電圧 V。を消して次の比較は V。 と 1/2 V。との間でなされる. 以下同様な操作をくりか

図 2,3 (b) はこの変換器の一例として入力電圧 V_i = 59 V のとき, 比較電圧発生装置の電圧が V₀=64 V で 比較し、以下 1/2 Vo=32 V、1/22 Vo=16 V·····と順次 比較する一例を示した。そしてパルスのないとき 1,パ ルス のあるとき 0 とすれば、0111011 は入力電圧 59 V を2 進法で Code 化したものである.

この比較は 10 個の パルス で 210=1,024 の数字が Code 化されるから、前に説明した Time encoding 形に比し て非常に速度が早く変換できる. パルス 周期を 2μ sec と すれば 20μ sec で変換が可能である。

精度は2進数のビット数で定まるが、10ビット以上と っても比較回路の誤差などの問題のため、0.1% が現在 のところ限度と考えられる.

3. Feedback encoding type A-D 変換器

当社が最近試作した Feedback encoding type の A-D 変換器の原理,機能,構造について記す.

3.1 構造ならびにおもなる機能

この装置は高さ 2,350, 幅 650, 奥行 530 の箱体に収容され、その外観を図3.1に示す.

この装置のおもな機能は次のとおりである。

±0.1 V (入力 100 V の 変換精度

とき 0.1%)

±100 V 変換範囲

人力 チャネル 数 10

30 µs/bit 変換速度

360 µs/channel

三菱電機 · Vol. 34 · No. 2

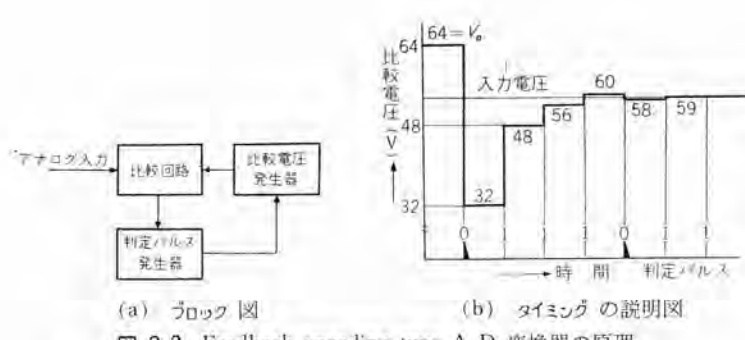


図 2.3 Feedback encoding type A-D 変換器の原理 Fig. 2.3 Principle of feedback encoding type A-D converter.



電源	(3)	定;	以庄良	1 路
1	2		2	2
115	11		(ii)	路
14	シテ	スト	1 Ea	- 4
20		餌		盤
1	A. 3	. 5	生生	00
73	04 to +	- 4 .	標準	t w
f = 3	ヘルティ	スト	リビュ	-9
X.	カ	119	405	200
電源	(2)	幣	캢	W3
電源	(1)	変	Œ	200

(b) パネル 構成図

図 3.1 A-D 変換器外観と構成 Fig. 3.1 Appearance and composition of A-D converter.

(a) 外 観

入力 インピーダンス 1 ΜΩ 以上

出 力 符号と 2 進数 10 ヶヶ 計 11 ヶヶ 標 示 キオン 管の点滅による

3.2 動作の概要

動作を説明するのに必要な パルス をまとめて表 3.1 にのせる。各 パルス は -185 V より正に セン 頭値約 35 V、パルス 幅 0.5μ sec、出力 インピーダンス は負荷によって変るが 100Ω から 300Ω である。表 3.1 の各 パルス を使って動作の説明に移る。

図 3.2は A-D 変換器の $j_{0.02}$ 図であり、入力信号電圧は $V_1, V_2 \cdots V_{10}$ の 10 個が入力増幅器にはいる。これは 10 個ともまったく等しい演算増幅器(加算器)であって定電圧 V_A と 加算する。 入力増幅器出力は $-(V_1+V_4), -(V_2+V_4), \cdots -(V_{10}+V_4)$ で表わさ

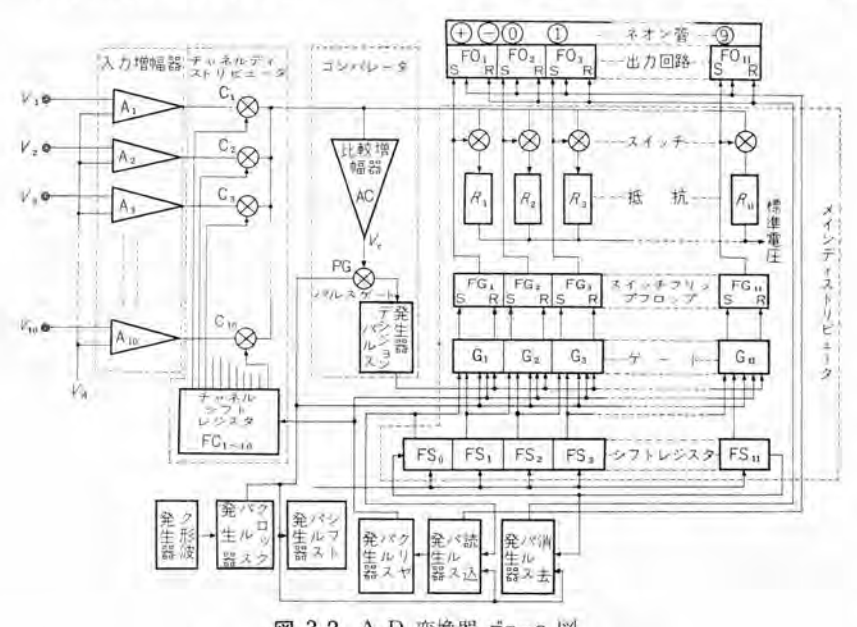


図 3.2 A-D 変換器 ブロック 図 Fig. 3.2 Block diagram of A-D converter.

表 3.1 A-D 変換器で使用される タイミングパルス

パルス名称	駆 動 方 法	周期	用 途
クロックバルス (Clock Pulse)	時間基準 30 μ sec 周期 のク形波	30 μ sec	他のパルス発生タイミング、メインフリップフロ ップのゲート騒動
シフトバルス (Shift Pulse)	クロックパルスを 1μ sec 遅延	30 µ sec	メインシフトレジスタの シフト
起動パルス (Start Pulse)	起動ポタンを手で押す		起動時各シフトレジスタを 変換開始の状態にする
消去バルス (Reset Pulse)	クロックバルスとメイン シフトレジスタ FS11 の論理積	360 μ sec	出力回路のディジタル出力 を消去する
読込バルス (Readin Pulse)	クロックベルスとメイン シフトレジスタ FS ₆ の論理積	360 μ sec	メインディストリビュータ スイッチフリップフロッ プの数値を出力回路に漏 込む
クリヤバルス	読込パルスを 1μ sec	360	スイッチフリップフロッフ の数値を消し変換開始の 状態にする
(Clear Pulse)	避延	# sec	チャネルシフトレジスタを シフトする
デシジョンバルス (Decision Pulse)	コンバレータ比較増幅器 出力とタロックバルス の論理積	-	スイッチフリップフロッフ をリセットするゲートの 駆動

れる. この電圧は入力いかんにかかわらずつねに正にな るよう設計されていて、つぎの チャネルディストリビュータ に はいり、チャネルスイッチ C1、Cg. ·····C10 に達する。この電 子管 スイッチは チャネルシフトレジスタ の操作によりつねに一 つだけ開き、他は必ず閉じられている。 クリヤパルス により シフトレジスタを順々にシフトして行き,開いているスイッチを 変換が終るたびに次に移して行く. いま クリヤパルス が シ フトレジスタ にはいり スイッチ C_L が開いたとする. 入力増 幅器よりはいった信号 $-(V_1+V_4)$ だけ C_1 を通っ て コッパレータ に信号電流 I_i を流す。 この I_i は $-(V_i$ $+V_4$) に比例する電流である。 コンパレータ からは電流 I_m がメインディストリビュータへ流入し、クリトパルスで開いた電子 管スイッチ S₁を通って R₁に一定電流を流す。また S₁以 外のスイッチはやはりクリヤパルスで全部閉じてしまい、電 流は流さない. コンパレータ ではこの流入する電流 If と流 出する電流 I_m の差を補給する回路を持った増幅器 A_e があって、 $I_i > I_m$ なら A_c の出力電圧 V_c は負に、 $I_i <$ I_m なら、 V_c は正になる。この V_c が正ならば パルスゲー

ト PG を開く。開いた状態のとき oロックパルス が PG にはいってくると、ゲート を通過して デシジョンパルス を発生させる。 いい換えれば $I_l > I_m$ なら デシジョンパルス を出し、 $I_l < I_m$ なら出さない。

デシジョンパルス はそのまま メインディストリビュータ の ゲート 回路に加えられる。この ゲート はこのほかに メインシフトレジスタ FS からの条件も加えられる。 クリナパルス が FS_0 セット のとき出たので現在は FS_1 が セット されて、 G_1 が開いている。ここに デシジョンパルス が加われば FG_1 は リセットされ、その結果 S_1 も閉じ、 I_1 は流れを止められる、デシジョンパルス が無

 $I_2=I_1/2$ の関係があり、流入する電流は

$$I_m' = s_1 I_1 + I_2$$

である。ただし s_1 は $= \frac{1}{2} \frac{1}{2}$

この I_m' と I_i を比較して前の I_m と同様の操作を行なっていく。このようにして次は $I_3=I_2/2$, $I_4=I_3/2$, …と順次前の半分の電流の スイッチ を開いては I_i と比較して次第に I_i と同じ I_m にしていく。 最後の スイッチ S_{11} の条件が決まったとき、 I_m は次の式で示される。

$$\begin{split} I_m &= s_1 I_1 + s_2 I_2 + \dots + s_{11} I_{11} \\ &= s_1 2^{10} I_{11} + s_2' 2^9 I_{11} + \dots + s_{11} 2^0 I_{11} \\ &= (2^{10} s_1 + 2^9 s_2 + \dots + 2^0 s_{11}) I_{11} \cong I_4 \end{split}$$

ただし $s_n(n=1,2.....11)$ は S_n が開いたままのものを 1、デョジョンパルス で閉じられたものを 0 とする.

 \bar{S}_n の数値は FG_n の tットの項 0、 りtット 項 1 で表わされ,入力電圧を ディジタル で表示したものである. つぎの 5 チャネル の変換を始める前に FG の内容を出力回路に移さなければならない. FS_{11} のとき 20 ックパルス と同期して消去 パルス を出し出力回路をからにしてあるので, \bar{S}_n の数値を読込み パルス により並列に出力回路に移す. 1μ sec 後に クリナパルス で FG_1 を tっト 他を全部 1t t っと同時に 5 ナネルシフトレジスタ を一つ シフト し. つぎの 5 キネル の変換を前と同様に始める.

3.3 各部の説明

(1) 入力增幅器

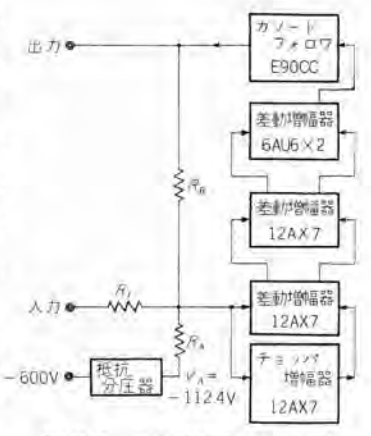
入力増幅器は図3.3 に示す回路を一つのパッケージ に組 込んだもので、まったく同一のもの 10 個を各 チ+ネル に 対応させている.

増幅器の開回路総合利得をGとすれば出力電圧Voutと入力電圧Vinの関係式は

$$Vout = \frac{-R_B/R_IV_{in} + 112.4}{1 - K/G}$$

となる。 ただし K は R_B , R_A , R_A , 抵抗分圧器の インピー ダンス によって定まる定数で、約2である。

したがって R_B , R_I を適当な比に選べば種々の入力電 圧範囲に 分けて 切換えが 可能と なるが、この装置 では R_B , R_I ともに $1\,\mathrm{M}\Omega$ に選んである。 $Vout = -V_{in} + 112.4$ の関係の出力が理想の出力である。これと 入出力電圧関係方式と比べると誤差は R_B , R_I , K/G によって生じる。 R_B , R_I は精密巻線抵抗を使ってさしつかえない範囲に抵抗値をおさえてあるので問題ない。 つぎに K/G を 1/2,000 より小さくすればよい。 増幅器の開回路利得を 4,000 以上 (72 db 以上) にすればよい。 測定によると 90% 増幅器の 利得を を 考えないでも 88 db の 利得があるので誤差は



ヨッバ 増幅器の 利待を 図 3.3 入力増幅器 ブロック図 考えないでも 88 db の Fig. 3.3 Block diagram of input amplifier.

生じない。出力電圧は 10 V から 210 V の範囲にあり、 この範囲で増幅器の利得はほとんど変らないので直線性 も十分である。

周波数特性は後に述べる コッパレータ の動作から忠実に 伝送する必要のある周波数は 2.8 c/s で十分である. これ以上の周波数では コッパレータ の変換精度が低下するので利得が下がってもさしつかえないので問題はない.

(2) チャネルディストリビュータ

入力の チャネル を クリナパルス で切換えて、入力増幅器 の出力を コッパレータ へ順に送る回路である。このため、チャネルディストリビュータ は クリナパルス で シフト する フリップフロップ 10 個を環状に並べた シフトレジスタ と、各 フリップフロップ の セット 側出力により駆動される スイッチ 回路から成る。シフトレジスタ 出力は セット時 $-145\,\mathrm{V}$ 、リセット時 $-185\,\mathrm{V}$ である。特定の $1\,\mathrm{Fr}$ キャル だけ変換を行な $5\,\mathrm{E}$ と には シフトレジスタ を止めることができる。この出力信号は 図 $3.4\,\mathrm{ox}$ 三極管 $T_1\,\mathrm{ox}$ がつねに加えられている。 入力が $-145\,\mathrm{V}$ のとき $T_2\,\mathrm{tx}$ は カットボ の電圧もほぼ $-145\,\mathrm{V}$ となり $T_2\,\mathrm{tx}$ カットボ の電性は正になる。 コッパレータ への出力 B はほぼ F 一久 電位なので入力増幅器からの電流は全部出力へ流れる。

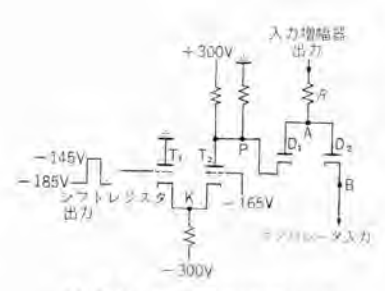


図 3.4 チャネルディストリビュータ スイッチ 回路

Fig. 3.4 Switching circuit in channel distributer.

また シフトレジスタ からの信号が -185 V のときは T₂ が導通 状態となり、陽極電 位は負となり入力電 流は全部 D₁ を流れ、D₂ は カットオフ される. このような スイッチ 機構を通って D₁ を流れる電流は入力

表 3.2 メインディストリビュータスイッチ 電流の測定結果

スイッチ 号	指示ケタ	理論電流値 A (μA)	測 定 電 流 值 Β (μA)	誤 B-A (µA)
Sı	±	4,096	4,096.0	
Sı	20	2,048	2,048.0	-
Sı	2-1	1,024	1,024.9	+0.9
S ₄	2-2	512	513.6	+1.6
Ss	2-3	256	255.4	-0.6
Se	2-4	128	128.2	+0.2
S ₇	2-5	64	62,8	-1.2
Ss	2-6	32	31.3	-0.7
Sı	2-7	16	15.1	-0.9
S10	2-8	8	7.4	-0.6
SII	2-9	4	4.1	+0.1

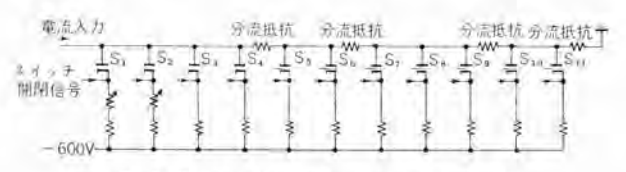


図 3.5 メインディストリビュータスイッチ 回路図

Fig. 3.5 Switching circuits in main distributer.

増幅器出力電圧に完全に比例した電流(偏差 0.1%)でなければならない。このため二極管 D_2 は 5 本の二極管を並列に使って内部抵抗を減らすとともに、真空管のパッツキによる誤差を軽減させた。 入力電圧 $10\,\mathrm{V}$ のとき $0.4\,\mathrm{mA}$, $200\,\mathrm{V}$ のとき $8\,\mathrm{mA}$ の電流が $30\%\mathrm{L}$ ータ に流入する。

(3) メインディストリビュータ と出力回路

メインディストリビュータ は チャネルディストリビュータ と類似している。 フリップフロップ 11 個を環状につないだ シフトレジスタは シフトパルス で シフト する以外まったく等しい。 この シフトレジスタセット の出力信号は スイッチ 回路を駆動する点も等しいが、ここの スイッチ 回路は前節で示したように、デシジョンパルス がなければ変換終了まであけておかなければならないので フリップフロップ を使っている。スイッチ を流れる電流 I_1 , I_2 , I_{11} は入力のいかんにかかわらず一定であるので偏差内に納まるように R_1 , R_2 R_{11} を選べばよい。 表3.2 に示すように最少電流 $4\mu\Lambda$ の半分以

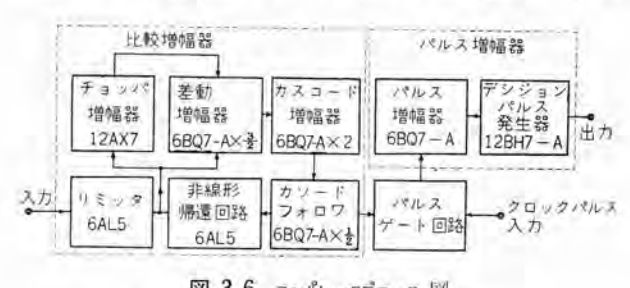
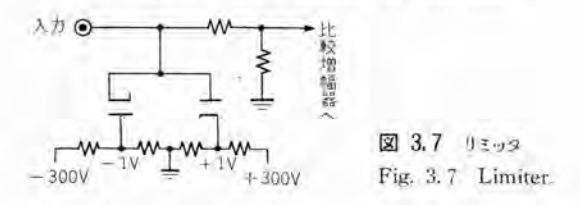


図 3.6 コンパレータラロック 図 Fig. 3.6 Block diagram of comparator.



上の増減が各 スイッチ 電流に生じれば最終 79 に誤差を生じる。このため I_1 , I_2 は非常に精密な調整が要求され 図 3.5 に示すように可変抵抗で二極管の内部抵抗を補償した。 I_3 , I_4 は精密抵抗を使えば二極管の内部抵抗は無視できるので電流を測定し許容範囲にあることを確かめた。 I_5 以下の電流は少ないので抵抗で分流して電流を増したが,入力電流は表 3.1 に示す値に保たれている。

変換が終了して出力回路に読込まれた数値は、現在、 他の装置に接続されないので一応 フリップフロップ の内容が 視察できるよう まれっ 管標示装置が付けられている。普 通は変換の読込み、消去とともに点滅するが、手動のス イッチ を保持に倒したとき、両 パルス を ゲート で阻止して 標示を止めておくことができる。

(4) コッパレータ

三つの部分に分れ、比較増幅器、ゲート回路、パルス 増幅器から成る。この ブロック 図を図3.6 に示す。

比較増幅器入力には チャネルディストリビュータ 出力電流が流入し、メインディストリビュータスイッチ 電流が流出し、その差を リミッタ が供給するとともに、流入、流出の判定を図 3.7 のように バイアス をかけた二極管により行ない、流入するときと流出するときで差動増幅器に加わる電圧は 反転する。入力電流は最大 $4 \, \text{mA}$ になっても リミッタがあるため出力は $3.5 \, \text{V}$ 以下に押えられるが、電流差がほとんどなく判別できる最小値 $4 \, \mu \text{A}$ のときにも カソードフォロワ 出力は $0.3 \, \text{V}$ を必要とする。これは次段の パルスゲート 回路を開閉するためである。このため リミッタは開放し高抵抗を通して信号電流を流し、抵抗による電圧降下を増加させる。比較増幅器の利得は大きくなければな

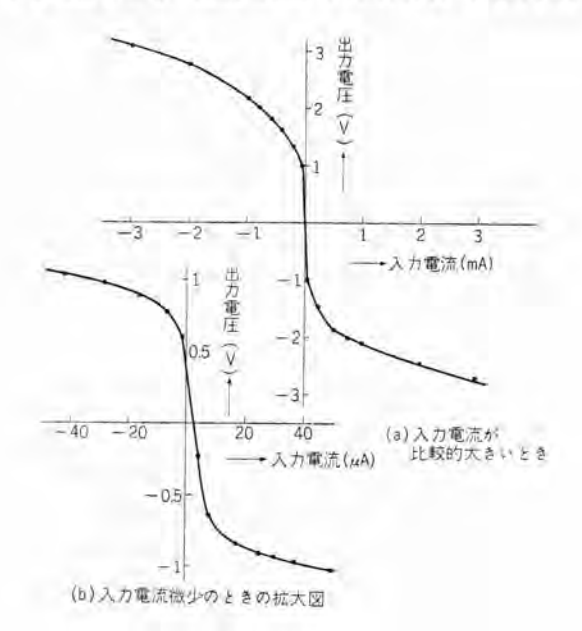


図 3.8 コンパレータ 比較増幅器入出力特性

Fig. 3.8 Input-output characteristics of decision amplifier in comparator.

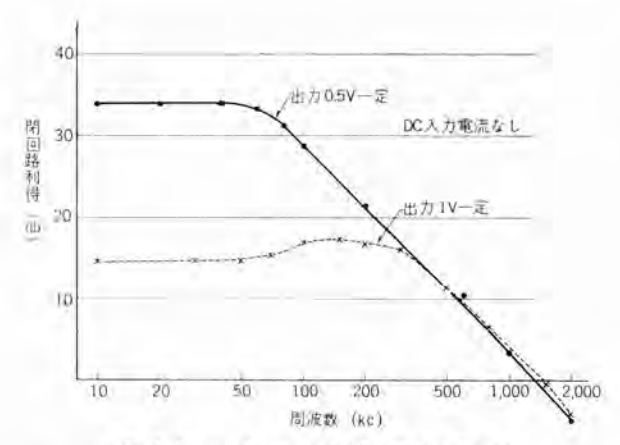
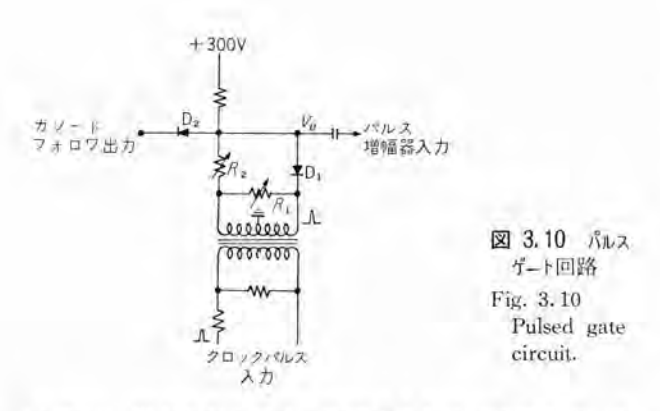


図 3.9 コンパレータ 比較増幅器周波数特性

Fig. 3.9 Frequency characteristics of decision amplifier in comparator



らない。出力をなるべく一定にするため二極管を使った 非線形帰還回路を使ってある。出力電圧が小さく1V以 下のときは帰還を少なく、1V以上になったとき大きな 帰還がかかる。入力電流・出力電圧特性曲線を図3.8に 示す。比較増幅器はパルスゲートにはいる雑音を小さくす るためカスコード増幅器を採用し、ヒータは直流点火にして ある。また メインスイッチ 電流が切換わったとき起る電流 の急変に応動するため広帯域の増幅が要求される。比較 増幅器の周波数特性は図3.9 に示す。

パルスゲート 回路は比較増幅器出力電圧が 0.3 V のとき ゲート する必要があるため、70--のパルス を t-2 頭値 0.3 V におとし、 2 M のように 3.10 の パルス は ゲルマニウムダイオード 3.10 で阻止される。もし 3.10 に電流が流れていれば パルス 電圧だけ 3.10 の電位があがり、それが パルス 増幅器で増幅され デンジョンパルス を発生する。 3.10 に電流が流れるときは比較増幅器出力が正のときで、このとき デンジョンパルス を発生する。 比較増幅器出力が負の際は、3.10 の から電流は 3.10 を経て流れ、3.10 は逆電圧がかかり、パルスがはいっても 3.10 に変態がない。可変抵抗 3.10 のように 3.10 の場別による 誤動作を防いでいる。

パルス 増幅器は雑音を クリップ する回路を持った交流増幅器で セン 頭値 $0.2\,\mathrm{V}$ の パルス を $30\,\mathrm{V}$ まで増幅して、 ブロッキング 発振器を駆動する.

4. む す び

この変換器の変換速度は のロックパルス の周期を短くすれば理論上いくらでも上がる。今後変換速度を上げる努力をするとともに、最近各方面に A-D 変換器が活用され、さらに需要は急激に増加する傾向なので、各用途に応じたいろいろの形式の A-D 変換器を製作し要望に応じたいと思っている。

区别	名 称	特許または 登録日	特許または 登録番号	発 明 考 案 者	所属場所
新 案	電磁継電器	34-7-27	497730	西山賢明	姫 路
"	接触変流機	"	197731	中村幸雄	伊丹
"	起立形電力可溶器	"	497732	岩崎行夫·太田 忍	"
持 許	接触指片	34-8- 7	253408	武藤 正·松尾昭二	福 山
"	埋込機器の取付装置	"	253409	立石俊夫	神戸
"	避雷器用放電間げき装置	"	253444	佐藤五郎	研究所
"	電柱調整器起動用継電器	34-8-17	253739	森 健,天野 恒	神戸
新 案	扇風機保護99	34-8-20	499324	久米富士· 曾我武夫 市岡 洋	中津川
"	世列運転せるグレーツ 結線電気弁装置の失弧 警報表示装置	34-8-26	499550	加藤又彦	伊州
"	回路シャ断器	"	499551	瀬良 務	温 山
"	半導体整流器冷却装置	"	499552	加藤又彦	伊丹
"	回転軸の給油装置	"	499553	柘 植 惠	中津川
"	接触変流器	9	499554	岡 久雄	研究所
"	機関始動装置	"	499555	駒田時寿	姫 路

高速度電磁接点

研究所 岡 久 雄*

High Speed Electromagnetic Contacts

Research Laboratory Hisao OKA

In general the design of electromagnetic devices involves problem on many interrelated factors of magnetic, electric and mechanical systems. Particularly in the magnetic system the flux distribution and magnetic saturation are the problems hard to represent by mathematical formular. This makes the design of the apparatus difficult according to mathematical analysis, only experience and skill on the part of designers being a solution to highly efficient devices. With this difficulty in mind, the writer discusses magnetic contacts of high operating speed based on mathematical analysis as much as possible without resorting to experience only, giving a few examples of manufacture to manifest efficacy of careful consideration on this matter.

1. まえがき

・般に電磁装置の設計は磁気系、電気系および機械系の多数の因子が相互に関連し合う問題であり、とくに磁気系における磁束分布および磁気飽和というものが容易に数式的表現にのりにくいものであるため、この装置の設計を数式的解析によって行なうことはかなり困難なことである。

したがって従来は経験的な手順に基礎をおいた設計に よるものが多く、その装置の効率はおもに設計者の技両 の程度によっていた.

本紙ではとくに作動速度の大きい電磁接点について論 ずるが、できるだけ経験的な要素を排し、数式的解析が 行なわれるように努めた.

なお、ここで求めた解析に従って設計を実施した2,3 の高速度電磁接点の製作例についても簡単に紹介する.

2. 設計の基本問題

高速度電磁装置の設計にあたっては、装置の作動責務 を完全に果しながらもっとも作動速度の大なる構造とし なければならない。接点負荷の場合、作動責務とは可動 接点が接点閉接に必要な距離を移動し、かつ閉接後は所 要接触圧力でもって接点を必要時間以上完全に閉接保持 することである。

このような作動責務を果しながらもっとも作動速度を 大とするためには次の諸点にまず着目しなければならない。

- (1) 作動形式
- (2) 電磁石および接極子の形状
 - (3) 電磁石電源

* 電気第一研究室

(4) 接点閉接時の踊り

2.1 作動形式

電磁装置の作動形式を大別すると便宜上磁化駆動形と 消磁駆動形とに分けられる.

磁化駆動形とは常時は電磁石は磁化されておらず、電磁石コイルになんらかの入力があって初めて電磁石に吸引力を生じ接極子(armature)を駆動するものをいい、消磁駆動形とは常時は永久磁石または保持電流によって電磁石は磁化されており、接極子を吸引して所定の位置にあらしめるが、なんらかの入力があればそれまでの磁束は打消され、電磁石の吸引力が減ずるため、それに反抗する力たとえばパネの反抗力などによって接極子が、電磁石の吸引力と反対方向に駆動されるものをいう。

いま可動部の運動方向をxとし、可動部をx方向に加速する力を f_x (Newton) とすると、

磁化駅動形では

$$f_x = f_m = -\frac{1}{2} \frac{\partial \mathcal{R}_g}{\partial x} \phi_g^2(x, t) \cdots (2.1)$$

ただし ゑ。: 電磁石の磁極と接極子との間の磁気抵抗 (AT/Wb)

> φ_θ: 電磁石の磁極と接極子との間の磁束 (Wb)

また消磁駆動形では

$$f_x = f_s(x) - f_m = f_s(x) + \frac{1}{2} \frac{\partial \mathcal{R}_g}{\partial x} \phi_g^2(x, t) - (2.2)$$

ただし $f_s(x)$: バネ などの反抗力 (Newton)

 $\partial \mathcal{R}_o/\partial x$ は電磁石の磁極と接極子の形状および相対位置によって定まるものであるので作動形式の選定に際してはおもに $\phi_o(x,t)$ について論じなければならない。

$$\phi_{g}(x, t) = \frac{N \cdot i_{m}(t)}{\mathcal{R}'(x)} \cdots \cdots (2.3)$$

ただし 水: 電磁石入力 コイル の巻数

im: 電磁石入力 コイル の励磁電流 (A)

2: 電磁石入力 コイル より見た o。に対する

磁気抵抗 (AT/Wb)

であるから、作動速度のおそいすなわち電流の立上がり を問題としないような電磁装置では ゆ。は x だけの関 数として取扱ってよい. しかし高速度形の電磁装置では $i_m(t)$ がきわめて重要な意味をもつ.

一般に ooolat を大とすることにより電磁装置の作動 速度を大とすることができるが、とくに磁化駆動形では oim/ot を大とすることにより、また消磁駆動形では -∂ズ/∂x を大とすることによって作動速度を高めるこ とが期待できる.

磁化駆動形と消磁駆動形との優劣は一概には論じられ ないが、概して接点間げき(いいかえれば接極子の移動 距離)の大なる場合は消磁駆動形のほうが有利となる. このことについては3章に詳述してある.

2.2 電磁石および接極子の形状

電磁石および接極子の形状でとくに考慮すべき点はお もに漏洩磁束, 磁気飽和およびうず流である.

まず電磁石の磁束分布を巨視的に考えるならば図 2.1 に示すような等価回路で示すことができる.

したがって

$$\mathcal{R} = \mathcal{R}_c + \frac{\mathcal{R}_l(\mathcal{R}_a + \mathcal{R}_g)}{\mathcal{R}_g + \mathcal{R}_a + \mathcal{R}_l} \qquad (2.4)$$

$$\phi_v = NI/\mathcal{Z}$$
(2, 5)

$$\phi_{\theta} = \phi_{c} \frac{\mathcal{R}_{l}}{\mathcal{R}_{l} + \mathcal{R}_{g} + \mathcal{R}_{a}} = \frac{NI\mathcal{R}_{l}}{\mathcal{R}_{c}(\mathcal{R}_{g} + \mathcal{R}_{a} + \mathcal{R}_{l}) + \mathcal{R}_{l}(\mathcal{R}_{a} + \mathcal{R}_{g})}$$

$$= NI/\mathcal{R}' \qquad (2.6)$$

$$\therefore \ \mathcal{R}' = \frac{\mathcal{R}_{c}(\mathcal{R}_{g} + \mathcal{R}_{a} + \mathcal{R}_{l}) + \mathcal{R}_{l}(\mathcal{R}_{a} + \mathcal{R}_{g})}{\mathcal{R}_{l}}$$

$$= \mathcal{R} \frac{\mathcal{R}_{\sigma} + \mathcal{R}_{a} + \mathcal{R}_{t}}{\mathcal{R}_{t}} \dots (2.7)$$

漏洩磁束 ϕ_l に対する磁気抵抗 \mathcal{R}_l を大とし、 ϕ_l をで きるだけ小とするためには、まず電磁石コイルを許され る限り磁極と接極子との間げきに近づけることである. たとえば 図 2.2 の (a) と (b) とでは作動速度にきわ

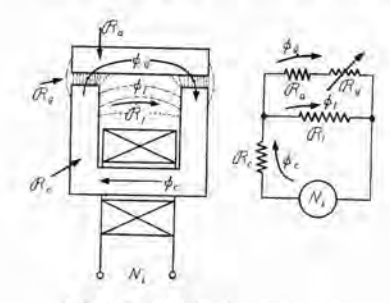


図 2.1 磁束分布の等価回路 Fig. 2.1 Equivalent circuit magnetic flux distribution.

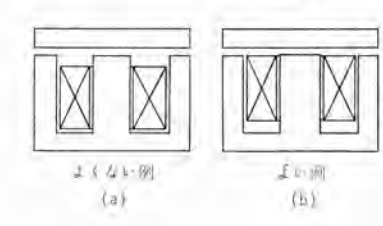


図 2.2 電磁石コイルの位置の良否 Fig. 2.2 Proper or improper position of electromagnetic coil.

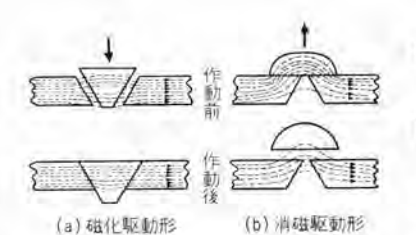
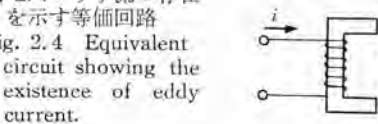


図 2.3 作動形式の差 による接極子の形の Fig. 2.3 Examples of

the shape of contacts depending on the operating method.

図 2.4 うず流の存在 を示す等価回路 Fig. 2.4 Equivalent circuit showing the





めて大きな開きがある。 ある実験においては コイル の位 置を数 mm 移動することによって、作動時間を数倍短 縮することができた.

つぎに作動形式の差による電磁石の構造のちがいとし ては、磁化駆動形では始めから終りまで漏洩磁束が少な く誘起磁束の大部分が有効に磁極間げきに作用すること が好ましいため、図 2.3(a) のような構造とするが、消 磁駆動形では、運動開始前には漏洩磁束はできるだけ少 なくするが、接極子がわずかでも磁極より離れればただ ちに漏洩磁束が増大し磁極間げきの磁束が減ずる構造す なわち前述の - 3.22/ox の大きいものがよく、たとえば 図 2.3 (b) のような構造とする.

直流電磁石ではりず流の影響をあまり問題としない が、作動を高速度化するためにはうず流による影響は決 して無視できない. うず流の存在は電磁石に有効な磁束 を与える励磁電流に分路抵抗をつないだ形となり、 るin/ ot を、したがって ∂φ₀/ot を小さくする。 なお電磁接点 の作動特性に対するうず流の影響については第4章で詳 述するが、結果的な形で示すならば、図 2.4 の等価回 路で示される. Reはうず流を許す等価分路抵抗(または アドミタンス) であり、 i_m が実際 ϕ_a を作るのに有効な電 流成分と考えてよい.

2.3 電磁石電源

高速度電磁接点の電源としてとくに考慮を払うべきこ とは、入力 コイル に流れる励磁電流成分 i_m (または消磁 電流成分 iam) の時間的変化 dim/dt (または diam/dt) を できるだけ大きくとりうるようにすることである. ただ

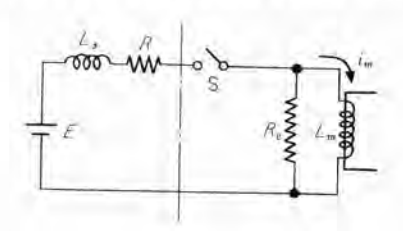


図 2.5 磁化駆動形の電磁石付勢回路 Fig. 2.5 Exciting circuit for electromagnet of magnetizing drive type.

し後にも述べるが、接点閉接時の接点の踊り(chattering) を抑制するためには、接点閉接時より若干おくれて i_m (または i_{tm}) が最高値に達することが望ましい.

いま簡単のため磁気抗抗 \mathcal{R} を一定として考えると、電磁石の等価 インタクタンス L_m は

$$L_m = N^2/\mathcal{R}$$
(2.8)

で表わされる.

したがって図 2.5 の回路において i=0 で 3.7 m S を閉じたときの電磁石の励磁電流 i_m は

$$i_m = \frac{E}{R} \left[1 - \exp \left\{ -\frac{R}{L_s + L_m \left(1 + \frac{R}{R_s} \right)} t \right\} \right] \cdots (2.9)$$

となる。実際には接極子の運動によって $\mathcal R$ が変化し、したがってそのために誘起する反抗起電力が $1 < \nu$ 両端に加わるため i_m はさらに複雑な形となる。さてこの i_m によって誘起される磁束 $\mathbf \phi_o$ は

$$\begin{split} \phi_{g} &= \frac{Ni_{m}}{\mathcal{R}'} = \frac{NE}{\mathcal{R}'R} \left[1 - \exp\left\{ -\frac{R}{L_{s} + L_{m} \left(1 + \frac{R}{R_{e}} \right)} t \right\} \right] \\ &= \Phi_{g} \left[1 - \exp\left\{ -\frac{R}{L_{s} + L_{m} \left(1 + \frac{R}{R_{e}} \right)} t \right\} \right] \cdot \cdot \cdot (2.10) \end{split}$$

ただし $\Phi_n = NE/\mathscr{R}'R$

いま磁束の最終値 Φ_0 および電源電圧 E を一定とすると

$$\frac{\partial (d\phi_0/dt)}{\partial N} = 0$$

より

$$L_s = \frac{N^2}{\mathcal{R}} \left(1 + \frac{2R}{R_e} \right) \quad \cdots \quad (2.11)$$

のとき $d\phi_{o}/dt$ は最大となる。 さらに $2R/R_{e} \! \ll \! 1$ のときは

$$L_{\delta} = N^2/\Re$$
(2.12)

のとき $d\phi_0/dt$ は最大となる。このことは ϕ_0 および E が一定ならば電源側の インダクタンス と電磁石の等価 インダクタンス が整合したとき ϕ_0 の立上がりが最大となること を意味する。

消磁駆動形ではさらに保持電流回路(または永久磁石) の インピーダンス が、電磁石の消磁電流 i_{dm} に対し分路 アドミタンス の形でつながるので $-d\phi_0/dt$ を大とするため にはその インピーダンス をできるだけ大きくとる必要がある。 図 2.6 参照のこと。

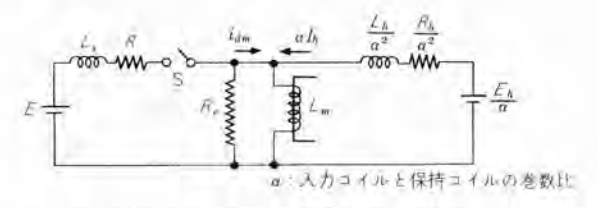


図 2.6 消磁駆動形の電磁石付勢回路 Fig. 2.6 Exciting circuit for electromagnet of demagnetizing drive type.

2.4 接点閉接時の踊り抑制

高速度電磁接点とくに大電流を流す接点では、接点閉接時の踊り(chattering)を抑制することが重要な問題の一つである。いかに大きな力で可動部を加速して急速に接点を閉接しても、接点閉接時に接点が踊って一時的にせよふたたび接点が開くことがあれば、高速度接点の機能を低下させるばかりでなく、接点の寿命をいちじるしく縮めるからである。

まず接点閉接時の接点踊りの力学的考察より次の定理 を得る.

「有限なるパネ常数をもつ弾性壁に力 F を受ける質量が衝突し、壁のおよぼす力 F。のため時間 t=0 で質量の速度 v が 0 となったとする。この質量が chattering を起さないための十分条件は

$$\begin{bmatrix}
(F+F_c)_{t=0}=0 \\
\left(\frac{dF}{dt}\right)_{t\geq 0} \geq 0
\end{bmatrix}$$

ここで F はその第一次微係数まで連続である」

証明、t=0 で v=0 となった後 $F(t) \ge -F_c(0)$ であるから質量は t=0 となった点よりさらに押しこまれるような状態になる. したがって chattering は起らない.

実際の電磁接点でこのような踊りのまったく起らない 状態で閉接を行なわせることは、励磁電流 i_m (または i_{dm})の時間的変化の形を工夫することによって実現する ことができるが、具体的に i_m の時間的変化を複雑な形 とすることは困難であるのでわれわれは $i_m = kt$ という 形のもので上記のようなまたはそれに近いような状態が 得られるかどうかを調べた。

磁化駆動形の接点の運動を P ナコム によって解析した 結果では (解析方法については付録参照のこと)、 $i_m=kt$ ならば k が大であるほど作動時間も速く、接点閉接時の 踊りもわずかである。 しかし i_m が一定値 I_s に達した 後は i_m は一定であるとするならば、接点閉接が i_m の

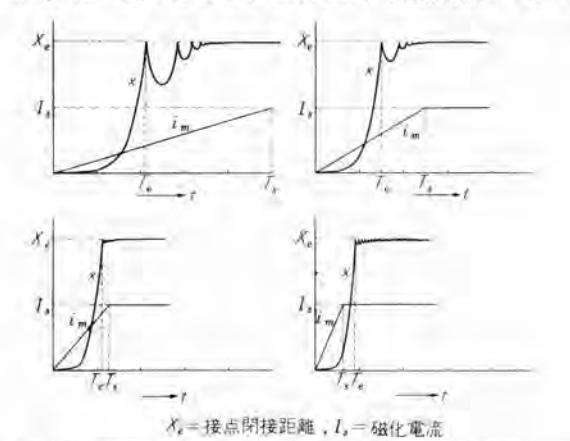


図 2.7 アナコムによる電磁接点閉接時踊りの解析結果 Fig. 2.7 Analysis of chattering of magnetic contacts in

(289) 47

closing by means of analog computer.

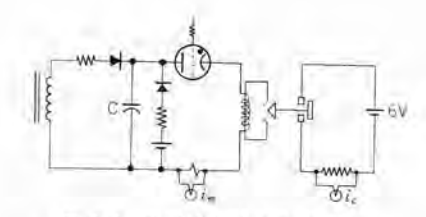


図 2.8 電磁接点踊りの試験回路 Fig. 2.8 Testing circuit of chattering of magnetic contacts.

上昇過程に行なわれれば踊りはすみ やかに減衰されるが $i_m = I_s$ に達した 後に接点が閉接するときは踊りはな かなか減衰しない. このことは先に 述べた定理からもうなづけることで

ある. 図 2.7 は アナコム で得られた im および可動接点 の運動 (x) の時間的変化の一例である.

つぎに実際の電磁接点(連続電流容量約 1,700 A) に ついて図2.8のような付勢回路で電磁石を励磁するとき コンデンサ C の容量だけを変化させて接点閉接の状況を調 べた結果は図2.9のようになった.この結果よりも接点 閉接は電流 im の上昇過程にあることが踊り抑止のため に必要であることがわかる. ただし アナコム の解析およ び上記実験のいずれの場合も ゆ。は飽和していない.

以上の考察および実験結果より高速度電磁接点設計の 条件として、接点閉接は可動部を加速する力が増加する 途中で行なわせることとした。(1)

3. 電磁接点の運動の近似解

いま接極子と可動接点とは固定されともに バネ常数 S なる バネによって支持されているものとする。また接極 子は x 方向にだけ運動するものとすれば、一般に接極 子の運動方程式は次式によって表わされる.

$$\int_{x} = Sx + r \frac{dx}{dt} + m_e \frac{d^2x}{dt^4} \qquad (3.1)$$

ここで S: 接極子を支持するバネのバネ常数

(Newton/m)

r: 気体抗抗 (Newton/m/sec)

m。: 可動部全体の等価質量(kg), バネの質量 の一部がこの等価質量に加わる.

しかし式 (3.1) の第 2 項は一般に小さいからこれを省 略すると

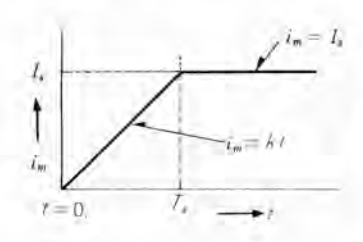


図 3.1 近似計算に用 いた im の形 Fig. 3.1 Form of i_m used in the analogeous

computation.

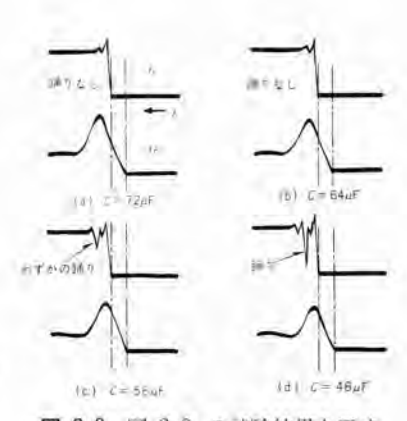


図 2.9 図 2.8 の試験結果を示す オシロ波形

Fig. 2.9 Oscillograms of waveforms showing test results.

$$f_x = Sx + m_e \frac{d^2x}{dt^2} \quad \cdots (3.2)$$

さて近似解の条件として発(x)およ び 元(x) をそれぞれ一定と考え、接 極子運動開始前のものをそれぞれ ゑ, ②、運動完了後のものをそれぞれ %。 え。とする、しかして接極子の運動に 対しては初期加速力がもっとも支配的 であるので、接極子運動中は 死, 死, をもって代表させる。また øg を変化 させる電流成分 im (または idm) を図 3.1 のように二つの折線で考え、t=0

より i_m (または i_{dm}) が飽和値 I_s に達する時刻 $t=T_s$ までは

となる.

$$i_m = kt \ (\pm t \in kt \ i_{dm} = kt) \cdots (3.3)$$

 T_s 以後は $i_m = I_s$ (または $i_{dm} = I_s$) とおいて考える.

3.1 磁化駆動形の運動近似解

式 (2.1) および式 (3.2) より次のようになる。

$$f_x = f_m = -\frac{1}{2} \frac{\partial \mathcal{R}_g}{\partial x} \phi_g^2 = Sx + m_e \frac{d^2x}{dt^2} - \cdots (3.3)$$

また電磁石の構造を図 3.2 のようであるとすると

$$\partial \mathcal{R}_{g}/\partial x = 2 \cdot \frac{1}{\mu_{0} A_{g}}$$

であり、さらに φ。は式 (2.3) によって与えられるか ら式 (3.3) は

$$\frac{1}{\mu_0 A_g} \left(\frac{Nk}{\mathcal{R}_1} \right)^2 t^2 = Sx + m_e \frac{d^2x}{dt^2} - \cdots (3.4)$$

となる、この徴分方程式の一般解は

$$x = C_1 \cos nt + C_2 \sin nt - \frac{1}{m_e} \frac{1}{n} \cos nt \int F(t) \sin nt dt + \frac{1}{m_u} \frac{1}{n} \sin nt \int F(t) \cos nt dt$$

となる.(3) ただし

$$F(t) = \frac{1}{\mu_0 A_q} \left(\frac{Nk}{\mathcal{R}_1}\right)^2 t^2$$

$$n = \sqrt{\frac{S}{m_e}}$$

である. これに t=0 で x=0 および dx/dt=0 なる 初期条件を入れれば

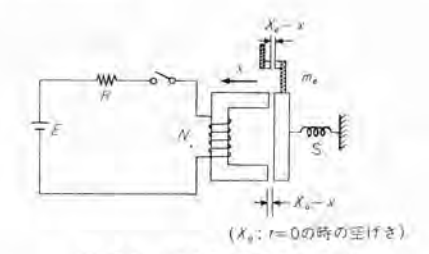


図 3.2 磁化駆動形の基本形 Fig. 3.2 Fundamental form of magnetizing drive type.

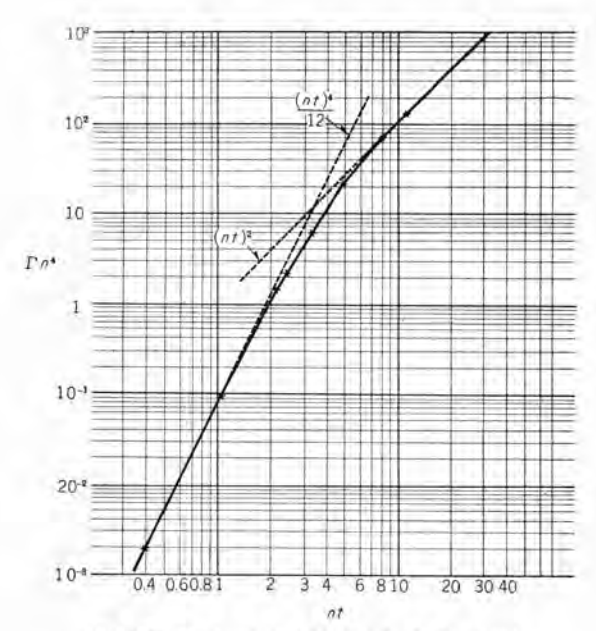


図 3.3 nt と Γ との関係 (式 (3.6) より) Fig. 3.3 Relation between nt and Γ .

$$x = \frac{N^3 k^2}{\mu_0 A_0 \mathcal{Z}_1'^2 m_e} \left\{ \frac{1}{n^4} (n^2 t^2 + 2\cos nt - 2) \right\} \quad \cdots (3.5)$$

が得られる。

$$\Gamma \equiv \frac{1}{n^4} (n^2 t^2 + 2 \cos nt - 2) \cdots (3.6)$$

式 (3.6) において nt≤1 とすれば

$$\Gamma = t^4/12$$

ゆえに

$$x = \frac{N^2 k^2}{12\mu_0 A_a \mathcal{R}_1^{\prime 2} m_e} t^4 \qquad (3.7)$$

もし接極子の作動距離を X_e とすると、その作動時間 T_e は

$$T_e = (12\mu_0 A_g m_e X_e)^{1/4} \cdot \left(\frac{\mathcal{Z}_1'}{Nk}\right)^{1/2} \cdot \dots \cdot (3.8)$$

となり T_e は電流の立上がり係数 k の 1/2 乗に比例することがわかる。 さて式 (2.9) において L_s を 0 とし近似的に

$$k = \gamma \frac{E}{L_m \left(1 + \frac{R}{R_o}\right)} = \frac{\gamma E}{\zeta L_m} = \frac{\gamma \mathcal{R}_1 E}{\zeta N^2} \cdots (3.9)$$

とおくと、(ただし γ は常数、 $\zeta=1+R/R_e$)

$$T_{e} = \left(\frac{12\mu_{0}A_{d}m_{e}\zeta^{2}}{\gamma^{2}}\right)^{1/4} \left(\frac{\mathcal{Z}_{1}}{\mathcal{Z}_{1}}\right)^{1/2} \left(\frac{N}{E}\right)^{1/2} X_{0}^{1/4} \cdots (3.10)$$

となり、Te は N/E の 1/2 乗に比例する.

つぎに 2.4 節で述べた接点閉接時の踊り抑制の条件として $(df_x/dt)_{t=x}>0$ なる条件を加味すると

$$T_e < T_s (\phi_q)_{l=T_s} \leq \phi_{qm}$$
 \tag{3.11}

なる条件が必要となる。 ϕ_{om} は ϕ_o の飽和値で電磁石および接極子の鉄心構造によって決まる。式 (3.11) の条件より i_m は接点閉接時刻 $t=T_e$ よりおくれて $t=T_s$ で一定値 I_s に達し、また ϕ_o は $i_m=I_s$ で飽和するように設計すればよい。したがっていま

$$T_e = \xi T_s \qquad \xi < 1$$

$$(\phi_g)_{t=T_s} = \phi_{gm} = I_s N / \mathcal{R}_2' \qquad (3.12)$$

とおくと

$$T_{e} = \left(\frac{12\mu_{0}A_{g}m_{e}}{\xi^{2}}\right)^{1/2} \frac{1}{\phi_{gm}} \left(\frac{\mathcal{Z}_{1}'}{\mathcal{Z}_{2}'}\right) X_{e}^{1/2} \cdots (3.13)$$

を得る。式(3.13)は電磁接点の作動をもっとも良好に するための諸種の条件、すなわち $nT_e \leq 1$ 、 $T_e < T_s$ およ び $(\phi_o)_{t=\tau_o} \leq \phi_{om}$ を与えたとき得られる作動時間を表わ す近似式であり、 X_e が比較的小さいときには実験結果 とかなりよく一致する。

3.2 消磁駆動形の運動近似解

消磁駆動形において、消磁電流 iam が流れ始める時刻

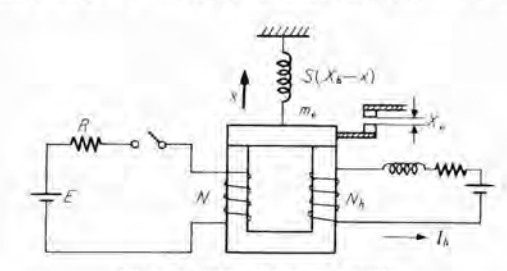


図 3.4 消磁駆動形の基本形

Fig. 3.4 Fundamental form of demagnetizing drive type.

t=0 以前の状態は、電磁石が反抗 パネの引張力に打勝って接極子を所定の位置に吸引している。この初期状態の電磁石の吸引力 F_{mi} は

$$F_{mi} = \frac{N_h^2 I_h^2}{\mu_0 A_g \mathcal{R}_1^{\prime 2}} \cdots \cdots (3.14)$$

である。ただし N_h , I_h はそれぞれ保持電流 \Box \Box の巻数および電流である。

いま接極子が電磁石に吸引されている x=0 の状態で 反抗 パネ の反抗力が SX_b であるとし, さらに t=0 よ り消磁電流 $i_{tm}=kt$ が流れ, $t=T_o$ において電磁石の吸 引力が SX_b と等しくなり接極子の運動が開始されるも のとすると,

$$\frac{1}{\mu_0 A_o \mathcal{R}_1'^2} (N_h I_h - Nk T_o)^2 = SX_b \cdots \cdots (3.15)$$

となり、これより

$$T_{n} = \frac{1}{N_{h}} (N_{h} I_{h} - \mathcal{R}_{2}' \sqrt{SX_{h} \mu_{0} A_{g}}) \qquad (3.16)$$

となる.

 $t \ge T_o$ における運動方程式は

$$f_m = S(X_b - x) - m_v \frac{d^2x}{dt^2} - \cdots (3.17)$$

式 (3.17) に式 (3.15) および式 (3.16) を代入すれば $\frac{1}{\mu_0 A_o \mathcal{R}_1'^2} \{ (N_h I_h - NkT_o)^2 - (N_h I_h - Nkt)^2 \} = Sx + m_e \frac{d^2 x}{dt^2}$ $N_h/N = \alpha$ とおくと

$$\frac{N^2k^2}{\mu_0A_{\theta}\mathcal{R}_1{}'^2}\Big\{\big(\,T_{\theta}{}^2-t^2\big)-2\frac{\alpha}{k}(\,T_{\theta}-t)\,\Big\} = Sx + m_e\frac{d^2x}{dt^2} \\ \cdots \cdots (3.\,18)$$

この微分方程式を $t=T_o$ で x=0, dx/dt=0 なる初期条件を入れてとくと

$$x = \frac{N^2 k^2}{\mu_0 A_g m_e \mathcal{R}_1^{\prime 2}} \cdot \frac{1}{n^4} \left[2 \frac{\alpha}{k} I_h n \{ n(t - T_0) - \sin n(t - T_0) \} - n^2 (t^2 - T_0^2) + 2 \{ 1 - \cos n(t - T_0) + n T_0 \sin n(t - T_0) \} \right]$$
......(3.19)

が得られる。ここで 3.1 節と同じく $n(t-T_{\theta}) \leq 1$ とおくと

$$x = \frac{N^2 k^2}{12\mu_0 A_q \mathcal{R}_1^{'2} m_e} (t - T_0)^3 \left\{ \frac{4}{k} (\alpha I_h - I_0) - (t - T_0) \right\}$$
.....(3.20)

となる. $n(t-T_o) \le 1$ は 3.1 節の場合と同じく運動の能率を高める条件である.

さて接点が開接される以前に消磁電流のrv $^{\prime}$ r $^{\prime}$

なる条件が必要となる. したがって,

$$I_s = \alpha I_h$$

 $T_e = \xi T_s$
 $\cdots (3.22)$

とおき、さらに式 (3.10) で与えられる T_o を

$$T_{\mathfrak{o}} = \eta T_{\mathfrak{s}} \quad \cdots \cdots (3.23)$$

とおくと、接点が接点間げき X_e を運動するに要する時間 T_e は

$$\begin{split} T_{\epsilon} &= (12\mu_0 A_0 m_e X_e)^{1/4} \!\! \left(\frac{\mathcal{R}_1^{\;\prime}}{Nk} \right)^{\!1/9} \\ &\times \! \left[\frac{\xi^4}{(\xi\!-\!\eta)^3 \! \{4(1\!-\!\eta)\!-\!(\xi\!-\!\eta)\}} \right]^{\!1/4} \cdots (3,24) \end{split}$$

となる。3.1 節と同様に ϕ_o の飽和を考慮し

$$\frac{I_h N_h}{\mathcal{R}_1'} = \frac{I_s N}{\mathcal{R}_1'} = \frac{k T_e N}{\xi \mathcal{R}_1'} = \phi_{gm} \quad \cdots \quad (3.25)$$

とおくと

$$\begin{split} T_e &= (12\mu_0 A_q m_e)^{1/2} \frac{1}{\phi_{gm}} X_e^{1/2} \\ &\times \left[\frac{\xi^2}{(\xi - \eta)^3 \{4(1 - \eta) - (\xi - \eta)\}} \right]^{1/2} - (3.26) \end{split}$$

が得られる。

以上で二つの作動形式に対する運動の近似解を与えたが、これらの解の算出にあたっては多くの仮定や条件がはいっているから、実際にこれらを使用するときは十分その意味を理解しなければならない。

4. 電磁接点の作動特性におよぼすうず流の影響

4.1 うず流の存在を表わす等価抵抗

いま \mathbf{Z} 4.1 のようにおおむね磁路全般にわたって一様な円形断面 A を有する鉄心を通る磁束を ϕ とすると、

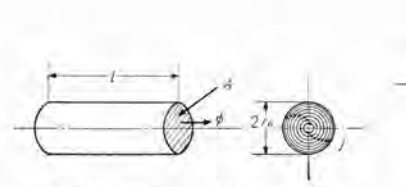


図 4.1 鉄心中の磁束とうず流 Fig. 4.1 Flux and eddy current in the core.

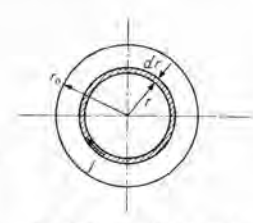


図 4.2 円形断面鉄心 のうず流 Fig. 4.2 Eddy current of core with circular cross sec-

この磁束によって誘起されるうず流は $\mathbf Z$ 4.1 のように磁束 ϕ の方向に垂直に軸 $\mathbf Q$ を中心とする同心円状に分布して流れる。

断面 A を図 4.2 のように微少幅 dr の輪に細分して考えると、中心より r の距離である点の電流密度 j に対する dr の幅の部分の全抗抗は、比抵抗を ρ とすると

$$\frac{\rho \cdot 2\pi r}{l \cdot dr}$$

であるから

したがって,このjによって生ずる磁束 doe は

$$d\phi_e = jldr \frac{1}{\mathcal{R}} \left(\frac{r}{r_0}\right)^2 = \frac{lr^3}{2\pi\rho \mathcal{R} r_0^4} \left(\frac{d\phi}{dt}\right) dr \cdots (4,2)$$

ただし 冤 は磁路全体の磁気抵抗

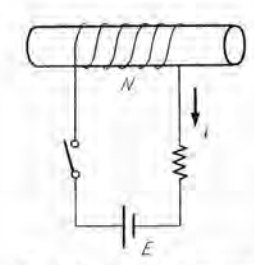
ゆえに全体のうず流による磁束 **φ**e は

$$\phi_e = \int d\phi_e = \frac{l}{8\pi\rho \mathcal{R}} \left(\frac{d\phi}{dt}\right) \cdots (4.3)$$

いま上の鉄心に対する起磁力が Ni であるとすると、磁 東に関するつぎの方程式が成立する

$$\frac{Ni}{\mathcal{R}} - \phi_e = \phi$$
(4.4)

すなわち鉄心を実際に通る磁束 ϕ はうず流が存在しないときの理論的な値より ϕ_e だけ少なくなっている。したがって図 4.3 のような回路で鉄心を磁化したとすると



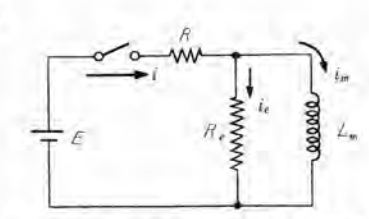


図 4.3 鉄心の励磁回路 Fig. 4.3 Exciting circuit of core.

または

図 4.4 図 4.3 に対する等価回路 Fig. 4.4 Equivalent circuit for Fig. 4.3

 $N\frac{d\phi}{dt} = e_c = E - iR$ $\phi = \frac{1}{N} \int (E - iR) dt$ $\cdots (4.5)$

であるから、式(4.3)、(4.4) および式(4.5) より

$$Ri + \frac{N^2}{\mathcal{R}} \left(1 + \frac{lR}{8\pi\rho N^2} \right) \frac{di}{dt} = E \quad \cdots \cdot \cdot (4.6)$$

N 0 \mathcal{R} は インダクタンス の ディメンジョン を有し、 $8\pi \rho N^{0}/l$ は 抵抗の ディメンジョン を有するから

$$N^2/\mathcal{R} \equiv L_m$$

 $8\pi \rho N^2/l \equiv R_e$ (4.7)

とすれば式 (4.6) は

$$Ri + L_m \left(1 + \frac{R}{R_e}\right) \frac{di}{dt} = E \quad \cdots \quad (4.8)$$

となる。これを等価回路で示せば図 4, 4 のようになる。 L_m はうず流が存在しないときの電磁石 コイル 自身の インダクタンス であり、 i_m は鉄心の磁化に有効な電流成分である。このようにうず流の存在は L_m と並列に R_e なる 抵抗(または $1/R_e$ なる r ドミタンス)として等価的におくことができる。このとき ϕ_e と R_e との関係は

$$R_e = \frac{N^e}{\mathcal{R}} \left(\frac{d\phi}{dt} \right) \frac{1}{\phi_e} \quad \cdots \cdots (4,9)$$

である。

つぎに図 4.5 のように磁束 ϕ がすべて大きさ、形状ともに相等しい断面 A_u を有する n 個の部分に均等に分れている場合について考える。全体および個々の断面 積、磁束および磁気抵抗をそれぞれ A、 ϕ および \mathcal{R} および \mathcal{R}_u とすると

$$A_{u} = A/n
\phi_{u} = \phi/n
\mathcal{R}_{u} = n\mathcal{R}$$

$$\cdots \cdots (4.10)$$

であるから前と同様にして фeu を求めると

$$\phi_{eu} = \frac{l}{8\pi\rho\mathcal{R}n} \frac{d\phi_u}{dt} = \frac{1}{n^2} \frac{l}{8\pi\rho\mathcal{R}} \left(\frac{d\phi}{dt}\right) \cdots (4.11)$$

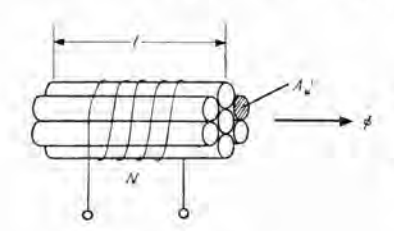


図 4.5 鉄心断面を n 個に相似等分した場合

Fig. 4.5 Similarly dividing core cross section to *n* pieces.

$$\therefore \quad \phi_e = n\phi_{eu} = \frac{l}{8\pi\rho\mathcal{R}n} \left(\frac{d\phi}{dt}\right) \quad \cdots \quad (4.12)$$

$$\therefore \quad R_e = \frac{8\pi\rho N^2}{l} \cdot n \quad \cdots \quad (4.13)$$

となり、断面をn 個に相似分割すれば R_e はn 倍となることがわかる。

4.2 作動特性におよぼすうず流の影響

作動速度をあまり問題としない電磁装置では電磁石コイル電流 i に対してはその定常状態に達した値 I_s をだけ問題としてよくうず流の影響は無視できる。しかしきわめて高速度な作動を要求される電磁装置では第3章および 2.4 節で述べたように励磁電流 i_m の立上がりが問題となる。

いま図 4.4 の回路の im を求めると

$$i_m = \frac{E}{R} \left[1 - \exp\left\{ -\frac{R}{L_m \left(1 + \frac{R}{R_c} \right)} \right\} t \right] \quad \cdots (4.14)$$

となり、 i_m に対する見かけの インダクタンス L は $L=L_m(1+R/R_e)=\zeta L_m$ $\cdots \cdots (4.15)$

となり、うず流がない場合すなわち R_e が無限大の場合より ξ = $(1+R/R_e)$ 倍だけ電流立上がりの時定数を大きくする。したがって式 (3.8) および式 (3.24) の k を小さくすることになり電磁接点の作動をおくらせることになる。式 (3.10), (3.13) および式 (3.26) には k は直接表われていないが、陰関数としての k はやはり電磁接点の効率に関係があり、 ξ が大きく k が小さいときはその効率を低下させる。

つぎに入力電力の立上がりが外部回路のインピーダンスによって決まっている場合,電磁装置の作動に有効な電流成分 i_m は R_e によってどのように影響されるであろうか。 さきに述べた図 4.4 のような場合は電流 i の立上がりは L_m と R_e によって決せられたが,ここでは i は L_m と R_e とに無関係に決まっている場合について考えるわけである。いま図 4.6 において入力電流を $i=k_tt$ とおくと

$$i_m = k_1 t - \frac{L_m}{R_e} k_1 \left\{ 1 - \exp\left(-\frac{R_e}{L_m}\right) \right\}$$
(4. 16)

$$i_e = \frac{L_m}{R_e} k_1 \left\{ 1 - \exp\left(-\frac{R_e}{L_m}\right) \right\}$$
 (4.17)

を得る. しかして

$$(di_m/dt)_{t=0}=0$$

である。これを図示すれば図 4.7 のようになり L_m/R_e の比によって電流の立上がりがおくれることがわかる。したがって入力電流の立上がりがほとんど外部回路によって支配される場合でも、5 ず流の存在はその電磁石の作動に悪影響をおよぼすことがわかる。

4.3 各種形状の鉄心に対する R. の計算例

(1) 図 4.8 のような一様なり形断面に対しては

$$R_e = \frac{16\rho N^2}{l} \frac{1+\gamma^2}{\gamma} \cdots \cdots (4.18)$$

y≫1 の場合は

$$R_e = \frac{16\rho N^2 \gamma}{l} \qquad (4.19)$$

(2) 図 4.9 のように一様なり形断面にして積層鉄心

の場合は、
$$1$$
枚の厚さを δ とすると $16\rho N^2A$ 。

$$R_e = \frac{16\rho N^2 A_e}{l\delta^2} \qquad (4, 20)$$

(3) 断面が一様な中空円筒形の

場合 (図 4.10)

$$R_e = \frac{2\pi\rho N^2}{l}$$



図 4.6 入力電流が外部回 路により決定される場合 Fig. 4.6 Case of input current decided by outside circuit.

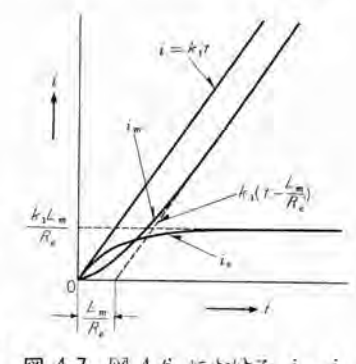


図 4.7 図 4.6 における i_m , i_e の時間的変化 Fig. 4.7 Hourly change of i_m and i_e in Fig. 4.6.

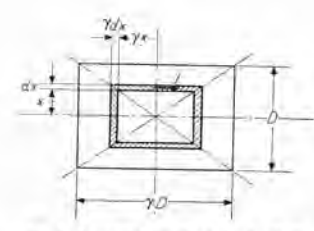


図 4.8 ク形断面鉄心のうず流 Fig. 4.8 Eddy current of rectangular cross section core.

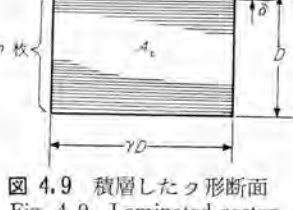


図 4.9 積層したク形断面 Fig. 4.9 Laminated rectangular cross section.

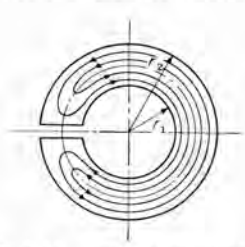


図 4.11 中空円筒断面で円 周上に切れ目がある場合 Fig. 4.11 Case of having a gap on a circumference of hollow cylindrical cross section.

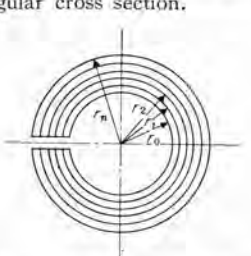


図 4.12 中空円筒断面で円周 上に切れ目がありかつ同心円 的に細分した場合

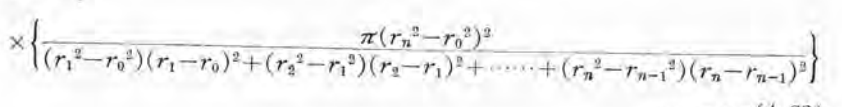
Fig. 4.12 Case of dividing a cross section to concentric circles of circumference of hollow cylinder.

(4) 断面が一様な中空円筒形で、かつ 円周の一部を 切断した場合(図 4.11)

$$R_{e} = \frac{16\rho N^{2}}{l} \left\{ \frac{(r_{2} - r_{1})^{2} + \pi^{2}(r_{2} + r_{1})^{2}}{\pi(r_{2}^{2} - r_{1}^{2})} \right\}$$

$$\frac{16\rho N^{2}}{l} \left\{ \frac{\pi(r_{2} - r_{1})}{r_{2} - r_{1}} \right\} \qquad (4.22)$$

(5) 断面が一様な円筒形で、円周の一部を切断し、かつ同心円的に細分した場合。(図 4.12)



(6) 同一幅の円筒で磁束が円周方向に向かっている 場合(図4.13)

$$R_{\rm e} = \frac{24\pi\rho N^2}{b\log\left(\frac{r_2}{r_1}\right)} \tag{4.24}$$

(7) 磁束が円周方向に向かっているが円筒の幅の変化する場合(図 4.14)

$$R_{e} = \frac{24\pi\rho N^{2}}{b_{1} \left(\log \frac{r_{2}}{r_{1}} \left(1 + \frac{1 - b_{2}/b_{1}}{r_{2}/r_{1} - 1}\right) - \left(1 - \frac{b_{2}}{b_{1}}\right)\right)} \cdots (4.25)$$

(8) 各種断面の鉄心が直列につながれている場合 おのおのの断面の鉄心について求めた R_e をそれぞれ R_{ei} , R_{es} , …… R_{en} とすると全体の R_e は

$$R_e = \frac{1}{\frac{1}{R_{e1}} + \frac{1}{R_{e2}} + \dots + \frac{1}{R_{en}}} \cdots (4.26)$$

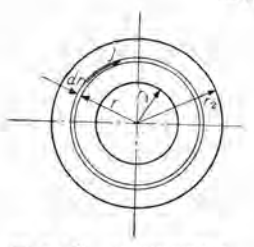


図 4.10 中空円筒断面 鉄心のうず流 Fig. 4.10 Eddy current of core with hollow cylindrical cross section.

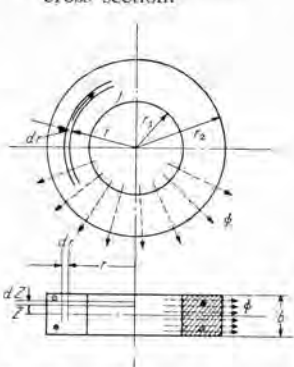


図 4.13 磁東が円周方向に向 かっている場合(幅一定) Fig. 4.13 When flux is directed along circumference (with constant width).

5. 高速度電磁接点製作例

前章までに述べてきた基本 方針に従って設計製作された 高速度電磁接点の実施例につ いて簡単に紹介する.

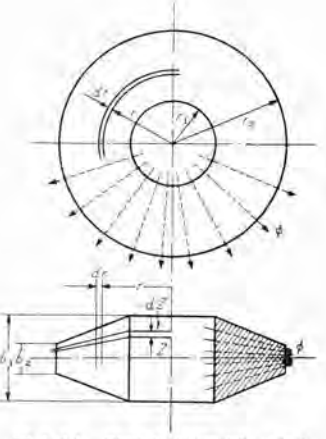


図4.14 磁束が円周方向に向かっている場合 (幅変化) Fig. 4.14 When flux is direct-

ed along circumference (with variable width).

5.1 接触変流機接 点保護用高速度 短絡器⁽³⁾⁽⁴⁾

同期電動機で駆動する カム 式接触変流機は可動部の慣性が大きく、負荷や電源の変動に対し応動性があまりよくないことは周知のとおりである。そのため負荷側短絡、接点の逆弧、停電などの急激な事

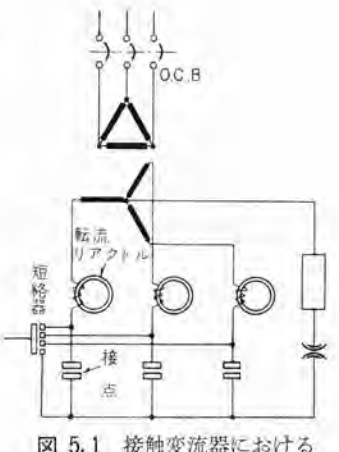


図 5.1 接触変流器における 短絡器

Fig. 5.1 Short circuiter on contact rectifier.

故に際して接点を保護する手段としては、事故が発生した場合できるだけ急速に各相接点の交流側すべてと、場合によってはさらに直流側とを同時に他の短絡装置によって短絡し、各相接点が大電流のまま開閉することを防ぐ、この短絡装置すなわち短絡器にはその作動時にきわめて大なる短絡電流が流れるわけであるが、事故が発生し短絡器が作動してより若干おくれて交流側のシャ断器が開かれることと、電源変圧器二次側の短絡電流は幸い転流リアクトルの存在によってかなり制限されるため、それほど苛酷な責務を負うものでもない、問題は事故発生の瞬間より完全短絡になるまでの作動時間であり、その遅速によって接点保護の効果はいちじるしく異なるものである。

ここで紹介する短絡器は 130 V, 10,000 A 二重星形接 触変流機の接点保護用のもので, 短絡器の責務としては

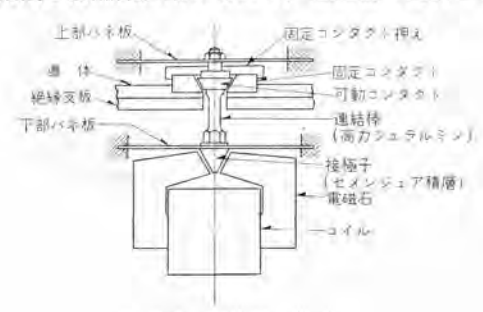


図 5.2 短絡器の構造 Fig. 5.2 Construction of short circuiter.



図 5.3 接点保護 用 短絡器の外観 Fig. 5.3 Appearance of contacts protecting short circuiter.

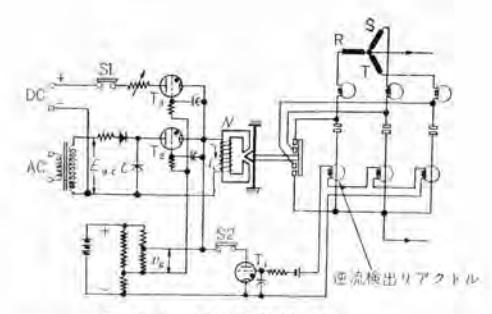


図 5.4 短絡器付勢回路 Fig. 5.4 Exciting circuit with short circuiter.

最大電流 20,000 A, 短絡電流通電期間 15 サイクル, 接点 間電圧最大値 300 V のものである.

この装置は磁化駆動形の電磁接点を用い、その構造、 外観および付勢回路はそれぞれ図 5.2,5.3 および図 5.4 に示すとおりである。

作動時間を小さくするため構造上種々の考慮が払われたが、まず可動部の等価質量(式(3.13)などにおけるme)を小さくするため、可動接点は純銀製のサイ頭直円すい形とし、固定接点はそれと完全にはまり合うすりばち形とした。たたし固定接点はそのすりばち形を4分割し、各端子に密着されてある。また接極子は三角柱状のセメンジュア 積層鉄心を用いた。セメンジュア を用いたのは、この材料の飽和磁束密度が大であって、式(3.13)の φomが大きくとれるためである。また接極子と可動接点とを固定する連結棒 ナット などはすべて高力 ジュラルミン を用いた。電磁石鉄心および接極子はすべて積層鉄心を用いてあるためうず流の影響はほとんどない。

図 5.4 の付勢回路ではあらかじめコンデッサ にたくわ えられてある電気的 エネルギ の放電電流によって電磁接 点の初期加速力を与え、接点閉接後の保持力は別な直流 電源からの直流電流によって与えているため、電磁石電 源は比較的容量の小さいものですむようになっている.



図 5.5 接極子の形 Fig. 5.5 Shape of armature.

さてこのような付勢回路および接極子を用いるときの 電磁接点の運動を3章に与えた近似解にあてはめて考え ると,図 5.5 より

$$\frac{\partial \mathcal{R}_g}{\partial x} = -\sin\theta \frac{1}{\mu_0 A_F} \cdots (5.1)$$

であり、したがってこの場合も3章で述べたように運動

の能率を高めるため nTe≤1 とすると, 式 (3.8) は

$$T_e = \left(\frac{24\mu_0 A_g m_e X_e}{\sin \theta}\right)^{1/4} \left(\frac{\mathcal{R}_1}{Nk}\right)^{1/2} \cdots (5.2)$$

となる。 つぎに コンデンサ の放電電流を t≤1/B で

$$i = \gamma I_0 \beta t$$
(5.3)

とおく。ここで $I_0=E_{01}/\sqrt{L/C}$, $\beta=1/\sqrt{L\cdot C}$ また E_{01} は コッデッサ の放電直前の充電電圧である。 接点の閉接を $t \leq 1/\beta$ で行なわせることは、式 (2.13) または式 (3.11) より接点閉接直後の接点の踊りを抑制するために必要である。この電磁接点では前述のようにうず流の影響は考えなくてよく、式 (4.15) より, $L=N^2/\mathcal{R}_1$ とおくことができるから、式 (5.3) は

$$i = \frac{\gamma E_{o1} \mathcal{R}}{N^2} t = kt \cdots (5, 4)$$

となり、この式の k を式 (5.2) に代入すると

$$T_e = \left(\frac{24\mu_0}{\gamma^2} \frac{A_F \cdot m_e}{\sin \theta} \cdot X_e\right)^{1/4} \left(\frac{N}{E_{o1}} \cdot \frac{\mathcal{R}_1'}{\mathcal{R}_1}\right)^{1/2} \cdots (5.5)$$

となる。さらに磁気飽和を考慮し、接極子最少磁路断面 A_F における磁束密度を B_F とし、それがそこの材質の飽和磁束密度 B_m に対し $i=\gamma I_0$ (電流の最大値) において $B_F=B_m$ であるような条件を入れ、さらに前述の条件より $\beta T_c=1$ とおけば

$$T_e = (24\mu_0)^{1/2} \frac{1}{B_m} \frac{\mathcal{R}_1}{\mathcal{R}_e} \left(\frac{m_e}{A_F \sin \theta} X_e \right)^{1/2} \cdots (5.6)$$

を得る. 式 (5.6) は $n \le 1$, $\beta t \le 1$, $R/R_e \ll 1$, $B_F \le B_m$ の四つの条件をすべて満足した場合の接点閉接に要する作動時間である. これらの条件より付勢回路の各要素は

$$E_{\rm el} = \left(\frac{1}{24\mu_0 \gamma^2}\right)^{1/2} B_m^2 \left(\frac{\sin \theta A_F^3}{m_e}\right)^{1/2} \frac{\mathcal{R}_2^{'2}}{\mathcal{R}_1 \mathcal{R}_1} \left(\frac{1}{X_e}\right)^{1/2} N$$
.....(5,7)

$$C = 24\mu_0 \frac{1}{B_m^2} \left(\frac{m_e}{A_F \sin \theta}\right) \frac{\mathcal{R}_1 \mathcal{R}_1'^2}{\mathcal{R}_2'^2} \cdot X_e \cdot \frac{1}{N^2} \quad (5.8)$$

でなければならない。また放電電流の最高値 I_p は

$$I_p = \gamma I_o = B_m A_F \frac{\mathcal{R}_2'}{N} \quad \cdots \quad (5.9)$$

となる.

式 (5.6) より B_m を大とし、 X_e を小とし、 $\mathcal{R}_1'/\mathcal{R}_2'$ の比を小とすれば T_e が小となることはただちに理解できるが、 $m_e/A_F\sin\theta$ はどうであろうか、 m_e を小さくしようとして接極子を小さくすれば A_F もまた小さくなるからである。 $m_e/A_F\sin\theta=f$ としてこれを解析した結果では、 \mathbf{Z} 5.5 における接極子の幅 b が大であるほど f は小となる。また接極子の質量とその他の等価質量とが等しくなったとき f は最小となる。 θ に関しては $\theta=60$ 度のとき f は最小となることがわかった。

これらの方針に従って設計した結果, m_e =0.33 kg, A_F =1.64×10⁻³(m^2), n=1.02×10³ となった.

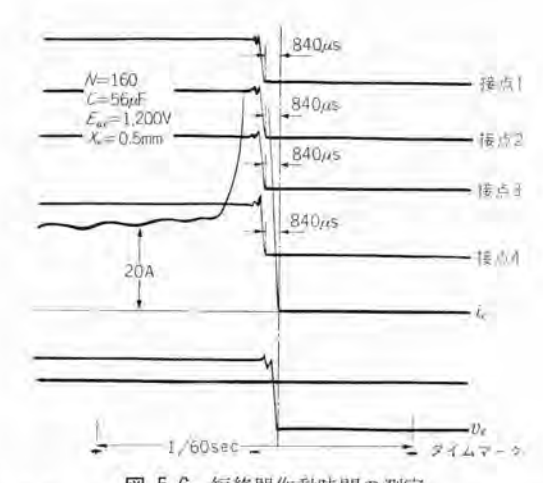


図 5.6 短絡器作動時間の測定 Fig. 5.6 Measurement of operating time of short circuiter

表 5.1 Te などの計算値

X0*(mm)	Xe (mm)	T, (ms)	I»N (AT)	$\frac{E_{01}/N}{(\mathrm{V/T})}$	(Farad T ²)
3.8	0.8	1,23	6.05×10 ³ " "	5.67	2.62
3.7	0.7	1,12		6.4	2.12
3.6	0.6	1,01		7.25	1.7
3.5	0.5	0,895		8.35	1.3

* Xa については図 3.2 参照

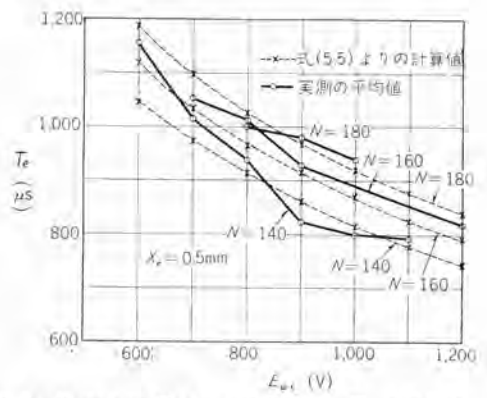


図 5.7 N および $E_{o1}(=\sqrt{2}E_{ac})$ と T_e との関係 Fig. 5.7 Relation between N, $E_{o1}(=\sqrt{2}E_{ac})$ and T_e .

式 (5.6), (5.7), (5.8) および式 (5.9) より T_e , E_{01}/N , CN^2 および I_pN を求めると表 5.1 の計算値が得られる. (ただし $\gamma=1/2$ とした. N は任意に選べるが、それに従って E_{01} , C および I_p も変化するから N の価は他との関連において決せられる.

いま N=160, $C=56\mu$ F, $E_{ot}=1,650$ V, $X_e=0.5$ mm としたときのこの短絡器の作動時間は \mathbf{Z} 5.6 の t5ログラムよりわかるように、いずれの接点も約 840 μ s で閉接しており、しかも閉接直後の踊りもまったくない。この 価は計算で求めた価とほとんど一致している。

つぎに多少の踊りを許すとして C=一定とし、N および E₀₁ を変化した場合の T_e の実験値は \mathbf{Z} 5.7 のようになった。同図中点線で示す式 (5.5) より求めた計算値とはかなりよく一致している。実際に C の価が式 (5.8) の条件よりはずれ、 βT _e が 1 より大きくなり、式 (2.13) の条件が満たされなくなると、接点閉接後の踊りが生じてくる。

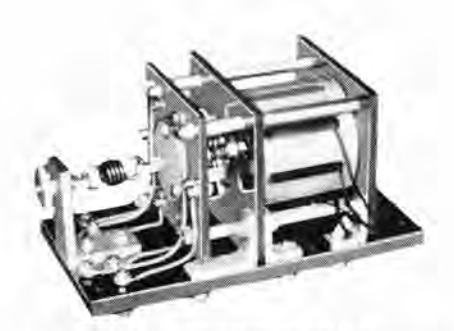


図 5.8 点弧回路用短絡器外観
Fig. 5.8 Appearance of ignitor circuit protecting short circuiter.

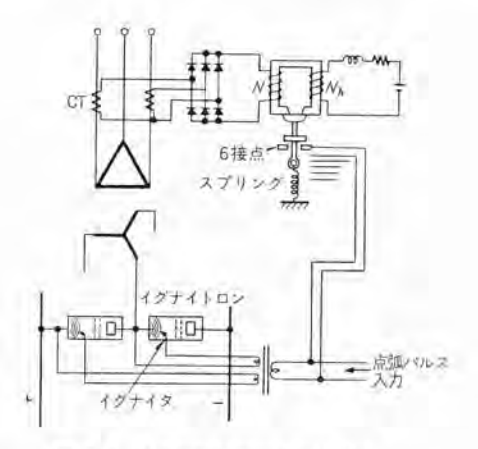


図 5.9 点弧回路用短絡器の接続 Fig. 5.9 Connection of short circuiter for ignitor circuit.

5.2 イグナイトロン点弧回路用短絡器

本器は イグナイトロン 整流装置において負 荷側短絡または タンク の逆弧などの事故発 生時に、点弧回路の出力側を急速に短絡し、 イグナイトロン の点弧を停止させて事故による 被害を最少限度にとどめるための短絡装置 である。事故発生後きわめて急速に点弧回 路を短絡することにより事故電流はおそく とも 1 サイクル 以内に減衰させられる。

点弧回路用短絡器の責務としての短絡電流は セン 頭値 約50Aのセン頭波電流で平均値は約15Aである。

本器は消磁駆動形の電磁接点でその外観および付勢回 路は図 5.8 および図 5.9 に示すとおりである.

電磁石の構造は漏洩磁束を減らすためにつぼ形電磁石 構造としたが、鉄心には一部を除き積層鉄心を用いるこ とができなかったのでうず流の影響を少なくするため、 鉄心の形状には特別な考慮が払われている.

本器の付勢回路は イダナイトロン 整流装置の交流一次電流に結合された 2 個の CT より入力を得ているから、 この CT の限界容量以上の入力は得られない。 またそのため電磁石消磁電流の立上がりはほとんど事故電流の立上がりによって決まり、5 ず流の影響も式 (4.16) あるいは図 4.7 のようになる。

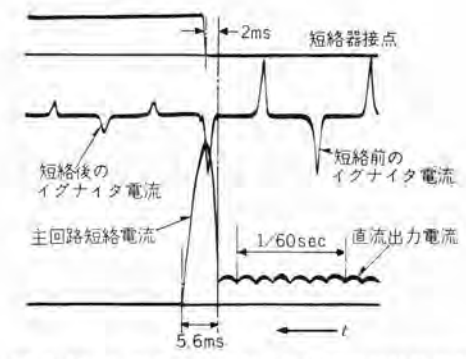


図 5.10 6 相整流回路負荷短絡時の短絡器作動 Fig. 5.10 Operation of short circuiter of load shorting accident in 6 phase rectifier circuit.

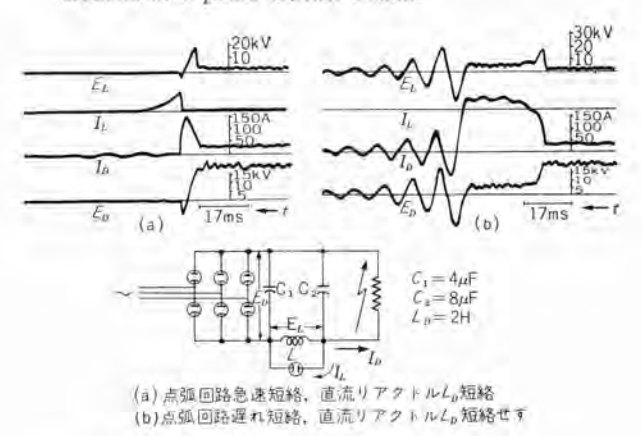


図 5.11 放送用電源の負荷側セン絡 Fig. 5.11 Oscillograms of flash over tests.

図 5.12 半導体整流器過負荷試験装置 Fig. 5.12 Overload testing device of semi-conductor diode.

交流一次電流がその定格値の何倍に達したならば、電 磁接点が作動開始するかを決めるには電磁石 コイル の タップ を切換えて行なうようになっている.

この短絡器の接極子の運動は、入力電流の立上がりが 事故電流の立上がりによって決まっているため、3.2 節 で述べた場合と若干ことなるが、ここでそれらについて 詳述することは避け、実際の作動結果を示すことにする。

図 5.10 は 6 相整流回路の直流側短絡事故に際し、この短絡器により点弧回路を短絡したときの 木の 波形であり、事故発生より約 2 ms で イヴナイタ 電流は短絡され、事故電流は約 1/3 サイクル で完全に減衰している.

本器は現在当研究室で調整試験中の大電力放送局用 2 万 V イヴナイトロン 整流装置の保護装置に設置されてお り(3)、たとえば放送電源の負荷側 セン 絡、高圧 イヴナイト ロン の逆弧などの事故に際し点弧回路出力側を急速に短絡すると同時に、直流 リテクトル を高圧 イヴナイトロン で短絡し、その電磁 エネルギ を分路に放出させ事故による被害を最少に止めるようにしてある。この短絡器の作用効果を示すための模擬実験の オシロ 波形は図 5.11 に示すとおりである。

このほか実施例として図 5.12 に示す半導体整流器過 負荷試験装置などがある。

6. to t 0

大容量機器の制御保護には確実にして高速度に作動する スイッチ を必要とするが、スイッチ としての電磁装置は 電子装置に比し信頼性、寿命、容量を大きくとれる点など ですぐれているにもかかわらず、その作動速度を速くす るには限界があることは否めない. しかし本紙で論じた ようにその設計に対し、十分の考慮を払うならばその限 界はかなり縮められ、ここで紹介した実施例で示したよ うに実用上満足すべき高速度の作動を行なうものである.

本紙で求めた電磁接点の運動の近似解では、接極子の 作動距離が比較的小さく、接極子の運動にともなう磁気

代表的な演算増幅器の出力

增幅器	£69	カ
# 1	$ \frac{-1}{0.1p} \left[-0.072x_1 - \frac{25(x_1 - 1)u(x_1 - 1)}{0.05} - \frac{1}{2p} \left[-1.44x_1 - 10000(x_1 - 1) - \frac{1}{2}px_1 \right] \right] $	$ \frac{-1)}{+} \left(\frac{0.5I}{1 - 0.5x_1} \right)^{20.595} \underbrace{]}_{0.5} \\ -1)u(x_1 - 1) + 23.8 \left(\frac{0.5I}{1 - 0.5x_1} \right)^{2} \underbrace{]}_{0.5} $
# 2	$-\frac{0.2}{0.1}\left(-\frac{1}{2p}px_1\right)=x_1$	
# 4	$-\frac{2.5}{0.1}(x_1-1)u(x_1-1)=-25(x_1-1)$	$-1)u(x_1-1)$
4.5	$\frac{1}{2}I(t_1) + e_0(1 - 0.5x_1) = 0 \uparrow \uparrow \xi \uparrow$	$ab e_0 = -\frac{0.5I(t_1)}{(1-0.5m)}$
\$ 5	6	(1-0,0,21)

図 1 計算機接続 Fig. 1 Connection of analogue computer.

抵抗の変化を少ないものとみなして解いているが、今後 I.B.M. やァナコムなどの電気計算機器を使用し、それら の仮定をできるたけ排除して行けば、さらにすぐれた設 計資料が得られるであろうの。

稿を終えるにあたり、高速度電磁接点の研究に種々ご 指導下された当研究室横須賀前室長、安藤室長、阿部研 完員に、また アナコム による解析にご協力下された真鍋 技師に対し深く謝意を表す. (34-12-5 受付)

参考文献

- (1) 尚:接触変流機用電磁接点の閉接時間および踊りについて,「昭 31 電連大予稿」261 (昭 31,5月).
- (2) 坪井:「振動論」458~467.
- (3) 岡: 接触変流機接点保護用短絡装置について、「昭 32 電連大予稿」354(昭 32, 4月).
- (4) 塚本·岡他: 接触変流機「三菱電機」31,368 (昭 32).
- (5) 阿部・平塚・竹内他: 大電力放送局用 2 万 V 密封形 ペントードイグナイトロン、「三菱電機」 31, No. 7 臨時増刊 (昭 32).
- (6) 岡: 半導体整流器過負荷試験装置,昭 34 電連大予稿 356(昭 34,4 月)。
- (7) M. J. Kelly 他: The Analytical Design & Evaluation of Electromagnets, Trans. A. I. E. E. 56-787 (1956, July).

録

アナコムによる電磁接点運動の解析

いま磁化駆動形の電磁接点が接点閉接に際し弾性衝突をなす ものとすれば式(2,3)および式(3,2)より次の式を得る.

$$m_e \frac{d^e x}{dt^2} + Sx = \frac{1}{\mu_0 A_g} \left(\frac{Ni(t)}{\mathcal{R}'(x)} \right)^2 - K(x - X_e) u(x - X_e)$$
....(1)

ここで K はきわめて大きな パネ 常数で $n(x-X_e)=1$ すなわち $x>X_e$ のときこの力が質量に働く. これで弾性衝突を模擬している.

式 (1) に実際の常数を入れ、これを normalize した一例は 次のようになった。

$$\begin{split} \frac{d^3x_1}{dt_1^2} &= -1.44x_1 + 23.8 \left(\frac{0.5}{1 - 0.5x_1}\right)^2 \left[I(t_1)\right]^2 \\ &- 10,000(x_1 - 1)u(x_1 - 1) & \cdots \cdots (2) \end{split}$$

式 (2) をアナコムにて求めるため図 1 の接続を行なった。また $I(t_1)=kt_1$ としたときの電流波形を得るための接続は図 2 となる。

図 1 および図 2 の接続により求めた運動の解の一例が先に述べた図 2.7 である.

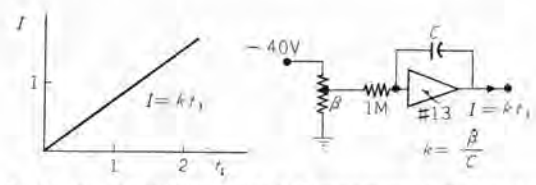


図 2 $I=kt_1$ を得る接続 Fig. 2 Connection to obtain $I=kt_1$.

56 (298)

DL 形 陽 極 シャ 断 器

神戸製作所 岩 垂 邦 昭*

Type DL High Speed Anode Air Circuit Breakers

Kobe Works

Kuniaki IWADARE

With the enlargement of unit capacity and the increase in numbers of units in parallel of late, arc back fault current of ignitron rectifiers tends to augment considerably—especially in the electro-chemical industry. On the other hand, applications of ignitron rectifiers in the steel mill motor driving require continuous operation even though arc back occurs. Under the circumstances, high speed anode circuit breakers for the protection of possible troubles have come to the front with their marked feature of quick interruption of fault current. Mitsubishi has developed type DL high speed anode air circuit breakers rated 750 V 2,000 A having high interrupting capacity, high speed opening, dependable operation and easy maintenance.

1. まえがき

近年 アルミ 精練などの電気化学工業直流変成設備に使 用される水銀整流器は、その単器容量が大きくなるとと もに、その並列容量も増加の一途をたどっている。その 結果整流器が逆弧したときの故障電流を、できるだけす みやかに限流 シャ 断し、回路の関連機器への障害を最小 限に食い止めることが、ますます必要となってきた。ま た最近水銀整流器が、製鉄ミルなどの静止レオナード装置 で、電動機駆動用電源として多く用いられるようになっ てきたが、これらの用途では水銀整流器が逆弧したとき にも圧延電動機を連続運転することが、厳密に要求され ている。これらの設備で逆弧保護に、陽極 シャ 断器を用 いた陽極 シャ 断方式を使用することは、従来の逆弧保護 方式に比べて数多くの利点をもっている. 当社ではこ のため、さきに DL 形陽極 シャ 断器を開発し、すでに 30 数台を納入して好成績で運転しているので、以下陽極 シャ断方式の利点、陽極シャ断器の性格について述べ、あ わせて DL 形陽極シャ断器の構造性能の大要を紹介する.

2. 陽極シャ断方式の利点

大容量水銀整流器変成設備の逆弧保護方式としては、 従来おもに図 2.1(a)の回路が用いられてきた。すなわち 整流器用変圧器の一次側に交流 シャ 断器を置き。整流器 直流側には逆流保護用直流高速度 シャ 断器を置いて、こ れに交流側高速度過電流継電器による格子 シャ 断を併用 する方式である。整流器の逆弧はいうまでもなく逆弧 タ ンク を通しての交流側および直流側の短絡であるから、 上記の方式では逆弧 シャ 断のために、交流側 シャ 断器の

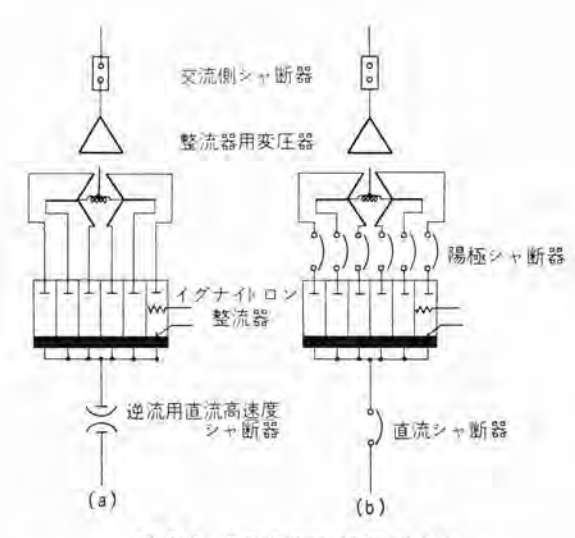


図 2.1 水銀整流器逆弧保護方式

Fig. 2.1 Protective system for mercury arc rectifier arc-back.

開路(これには健全相の格子 シ+ 断が併用される.) による交流側故障電流の シ+ 断と,直流側高速度 シ+ 断器の 開路による直流側故障電流の シ+ 断がかならず必要であった.

これに対して陽極 シャ 断方式では、図 2.1(b)のように整流器用変圧器の二次側と水銀整流器各陽極間に挿入された陽極 シャ 断器が用いられる。この方式では水銀整流器が逆弧したとき、陽極 シャ 断器の逆弧相単位 シャ 断器が シャ 断動作を行なうことにより、交流側および直流側からの故障電流はともに シャ 断されることとなり、交流側および直流側 シャ 断器の開放はかならずしも必要としない。陽極 シャ 断方式は従来の保護方式に比べつぎの特長をもっている。

(1) 陽極 シャ 断器の使用により交流側および直流側か

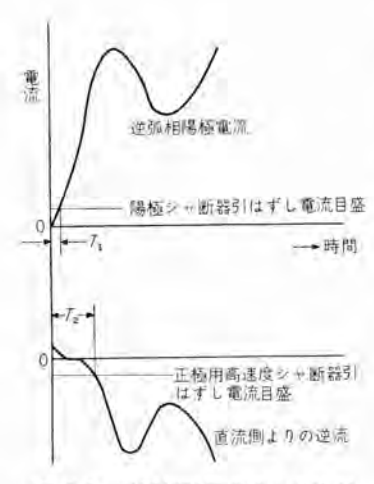


図 2.2 逆弧相陽極電流と直流側 逆流の立上がりの比較

Fig. 2.2 Comparison of wave form of arc back anode current with DC back feed current.

らの逆弧電流はとも に迅速に シ+ 断され、 回路の障害を最小限 に留め、整流器用変 圧器、整流器などの 回路機器の保護を向 上させることができ る、これはつぎの理 由によるものである.

a. 整流器が逆弧 したときの故障電流 の立上がりは一般に 図2.2のようになる。 すなわち逆弧の発生 とともに逆弧陽極回

路ではすみやかに逆電流が立上がり、 T_1 時間後に陽極シ+断器の引はずし電流目盛に到達するが、直流側の逆流の立上がりは遅れて、 T_2 時間後にはじめて正極用直流高速度シ+断器の引はずし電流目盛に到達する。したがってこのことは、陽極シ+ 断器のほうが本質的にシ+断器動作までの死時間が短くなり、早くシ+断動作を開始することを意味している。

b. 陽極 シャ 断器を使用することにより、逆弧相以外 の健全陽極から逆弧 タンク に流入する交流側故障電流も 逆弧相単位 シャ 断器の動作により迅速に シャ 断されるの で、健全他陽極の過負荷による誘発逆弧の発生も最小限 に押えることができる。

c. 整流器単器容量が大きくなると直流側負荷電流も増え、正極用直流高速度 5+ 断器の動作速度を大きくすることは比較的困難になってくる。これに対して同一整流器容量に対する陽極 5+ 断器の単極通電容量は、直流側の数分の $1(たとえば二重星形結線のばあい <math>1/2\sqrt{3})$ となり、5+ 断時の高速開離は比較的容易に行なうことができる。

(2)整流器が逆弧したときにも負荷に対する連続給電が要求されるばあい、陽極 シ+ 断方式では単器整流器で逆弧相だけの欠相により連続給電を行なうことができる。 従来の保護方式では前に述べたように、逆弧の発生とともに交流側および直流側 シ+ 断器の開放がかならず必要であり、逆弧器は系統から完全に切離されてしまい、連続連転を行なうためにはかならず並列器が必要であった。 陽極 シ+ 断方式の使用により単器整流器による欠相連続給電が可能となり、このことは製鉄ミルの静止レオナード装置などのばあい、とくに有利な回路構成を行なうことができることを意味している。

(3) 陽極 シャ 断方式では逆弧のとき逆弧相の単位 シャ 断器だけが シャ 断動作を行なうので、逆弧 タンク の識別 が容易にでき、保守を向上させることができる。

3. 陽極シャ断器の性格

陽極シャ断器はその各単位シャ断器がそれぞれ水銀整流器の各陽極回路に挿入され、常時は一方向に脈動する陽極電流が流れている。また各単位シャ断器は水銀整流器が逆弧したとき、逆弧相に流れる逆流に応動して急速にシャ断動作を開始しなければならない。逆弧のとき逆弧極を流れる電流は、交流側および直流側からの故障電流の合成されたものであり、0点を通過することはない、したがって陽極シャ断器は故障回路にアーク電圧を挿入し、故障電流を強制的に減流してシャ断する形式のシャ断器でなければならない。これらの事情から陽極シャ断器には直流高速度シャ断器と類似の性能が要求されるが、しかしその設計には直流高速度シャ断器に比べ、なお多くの特殊性を考慮する必要がある。以下にこれらの点について述べる。

- (1) 陽極 シ+ 断器各単位極の常規通電電流は 1 サイクル のうちその 1/3 を通流する脈動波形である。このことは 単純な直流に比べ、温度上昇の点で相当苛酷である。
- (2) 水銀整流器の逆弧のもっとも起りやすい時期は、 陽極の通電期間から非通電期間への転移時期である。そ

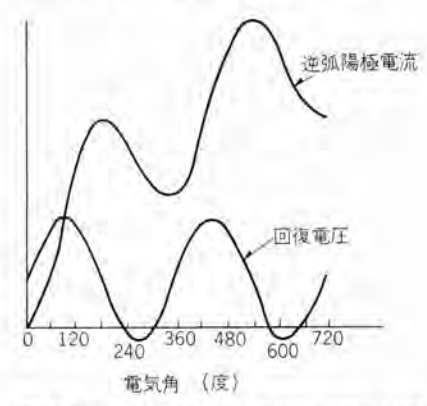


図 3.1 逆弧陽極電流および回復電圧波形 Fig. 3.1 Wave form of arc-back anode current and recovery voltage.

してこの時期に生じた逆弧がその第1波高値がもっとも大きくなり、その電流波形はほぼ図3.1に示すような脈動波形となる。そして逆弧電流波形の第1の谷は逆弧発生後約1サイクル後に現われる。この時期には図に示すように回復電圧も低いが、この時期が過ぎると逆弧電流はふたたびその上昇率が急シュンとなっていっそう増大し、したがってまたシャ断器にとってもシャ断しにくい条件となる。そのため陽極シャ断器は逆弧開始とともに急速に開離動作を開始し故障回路にアーク電圧を挿入し、こ

の時期をとらえて逆弧開始 後 1 サイクル 以内に シ+ 断を 完了することが必要となっ てくる.

(3) 逆弧陽極回路の故障 電流の立上がりは、それが 交流側および直流側故障電 流の合成であるため、その 上昇率はきわめて大きいも のとなり 10~12×10°A/s にも達する。そのため陽極 シャ 断器の引はずし機構は、 この急シュンな逆流の立上

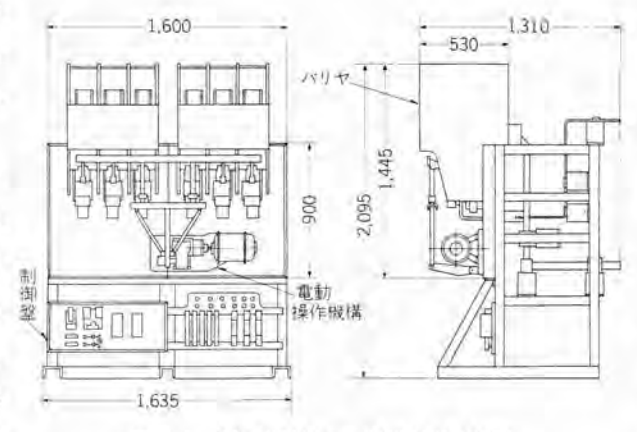


図 4.1 DL 形陽極 シャ 断器外形寸法図 Fig. 4.1 Outline dimensions of Type DL anode circuit breaker.

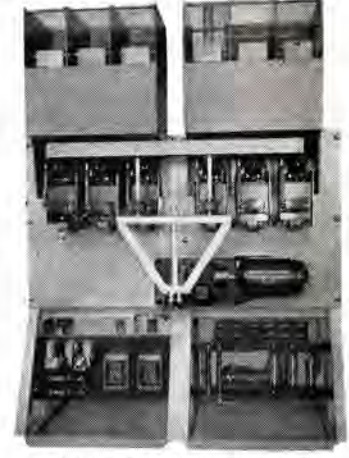


図 4.2 DL形陽極 5+ 断器 DC 750 V 2,000 A

Fig. 4. 2 Type DL anode circuit breaker. DC 750 V 2,000 A

がりに対しても積極的に高速開離を行なうものでなければならない。このことは高速開離を行なうために有極性 保持電磁石機構を使用している シャ 断器のばあい、とく に注意する必要がある。

- (4) 水銀整流器が逆弧したとき、逆弧相を流れる故障 電流のほかに、健全相とくに逆弧極と同一星形結線に含 まれる他陽極には、大きい交流側短絡電流が流れる。陽 極 シャ 断器が逆弧相だけの シャ 断によって健全相で連続 運転を行なうためには、健全相の単位 シャ 断器はこれら 電流の急変によって誤動作をすることのない構造でなけ ればならない。
- (5) 陽極 シャ 断器の使用個所は一般に化学工場など長時間連続運転の要求される所が多い。これらの工場であらかじめ計画された所要の期間連続運転を行なうためには、その機構などはきわめて信頼度の高いものでなければならない。

DL 形陽極 $\mathfrak{d}+$ 断器はこれらの点について十分考慮された構造になっている。以下 DL 形陽極 $\mathfrak{d}+$ 断器の構造性能の大要について述べる.

4. 定格および構造の大要

DL 形陽極 シャ 断器のおもな定格をつぎに示す。陽極 シャ 断器の定格電圧および定格電流の表現については、その使用個所の特殊性からいろいろの方法が考えられるが、NEMA 規格および現在審議中の JEM 工業用直流高速度 シャ 断器規格では、それぞれ整流器直流側電圧および単位 シャ 断器の陽極電流実効値で表わすこととなっている。

定格電圧 DC 750 V

定格電流 2,000 A

操作制御電圧 DC 100 V, 200V

投入操作方式 電動操作

DL 形陽極 シャ 断器は アスペスト 板上に取付けられた 6

DL 形陽極 シャ 断器・岩垂

構および制御盤とからなっている。水銀整流器の各陽極 回路に接続される各単位 シャ 断器は、おのおの独自の有 極性保持電磁石からなる保持機構をもった別個の シャ 断 器である。投入機構は 6 極に共通の操作電動機をもち、 投入操作により開放極だけが閉合極になんら影響を及ぼ すことなく投入される構造になっている。図 4.1 に DL 形陽極 シャ 断器の外形寸法図を、図 4.2 におなじく外観 を示す。

5. 構 造

極の単位シャ断器、6

極に共通の投入操作機

図5.1 に単位 シ+ 断器構造説明図を、図5.2 におなじく、消弧室および保持電磁石 シ+へイ板を取はずした単位シ+ 断器の外観を示す。

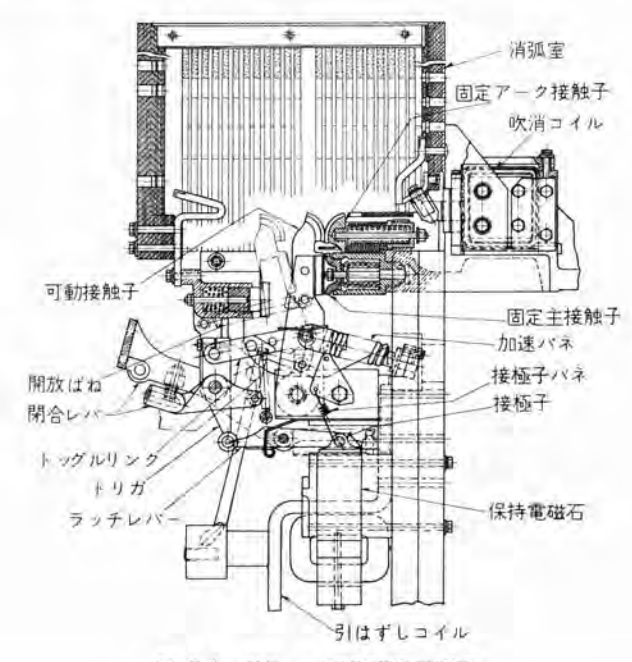


図 5.1 単位 5+ 断器構造説明図 Fig. 5.1 Pole unit construction.

(301) 59



図 5.2 単位 シャ 断器 Fig. 5.2 Pole unit.

5.1 接触部

接触部は主接触子と ァーク 接触子とから構成されてい る. 固定側 アーク 接触子は銀 タングステン 焼結合金の接触 片をもち、その背後に銅 クロム 合金製の円筒状の フィンガ が取付けられている。このアーク接触子はフィッガ部分で 固定 スリーブ に外挿され、その先端で固定 スリーブ の根本 の外径の太い部分と接触し、ここで ァーク 接触子から固 定 スリーブへの通電が行なわれる. 固定 スリーブ はその内 部にバネが装着され、シャ断過程で主接触子からの発弧 を避けるために必要な アーク 接触子の追随動作を与えて いる. 固定主接触子はその周辺にミブを切り フィンガ を構 成した銅 クロム 合金製の円筒状固定部分と、この固定部 分の開放端に内挿されて、可とう フィンガでささえられた 円板状浮動部分とからなっている。 円板状浮動部分には 円輪状の銀特殊合金接触片が ロウ付され、固定円筒体の 内部には通電に必要な接触圧力を与えるためのバネが込 められている。アーク接触子にはその下面に L 字形の シ ュウ 動 グッ があり、その底面は主接触子固定部分に接触 して、シャ断のさい主接触子からアーク接触子へシャ断電 流が移りやすい構造となっている. 可動側の主接触子と アーク接触子は一体の銅クロム合金母材から形成され、可 動部分を軽くするために2枚の銅条をそのまま用いた可 動接触子腕の上端に固定されている. 可動接触子腕から



図 5.3 消 弧 室 Fig. 5.3 Arc chute

固定 ヒッジ への通電は 可とう銅帯によらずに、 その軸部分で軸に沿っ た圧縮パネによって接 触圧力を与えられてい る銀厚 メッキ 対向面で 行なう形式とした. こ の方式は可とう銅帯を 用いる形式に比べ、可 動部分の重量を軽くし また接続部のスペース がきわめて小さくて済 む利点がある.

5.2 消弧装置

消弧装置は消弧室,吹消 コイル および吹消鉄心からな っている。消弧室の外観を図5.3に示す。写真に見られ るように消弧室は ァ→ク の長手方向に適当な間隔をおい て配列された多数枚の消弧板と、その両側方に配置され た積層鉄心の磁極とからなっている。 消弧板は特殊耐熱 磁器形造物で、下部に先細の V 字形の切込があり、そ の断面は両端部に突起をもったコの字形をしている. この消弧板端部の突起は、アークの触れる場所に他の絶 縁物を露出することなく、隣接板との間に必要な間げき を設定するのに使用されるとともに、消弧板自体の機械 的強度と熱容量を増すのに役だっている. この消弧板か ら構成された消弧室は、熱衡撃に強く吸湿性が少なく絶 縁にすぐれ、多数回の シャ 断に耐える能力をもっている。 消弧室の両端にはそれぞれ アークホーン が取付けられてお り, 固定接触子側 アークホーン は吹消 コイルの クリップ に 接続され、可動接触子側 アークホーン は フレーム の上端に 固定される.

つぎに シャ 断過程を説明すると、逆弧のとき ァーク 接触子の開離に伴って生じた ァーク は、ループ 電流による上昇作用によって消弧室内に伸長され、その足が アークホーン に到達する。 固定接触子側 アークホーン への ァーク の到達によって消弧室後方の吹消 コイル が励磁されると、磁極を通して消弧室内に強力な吹消磁界が生成される。 ァークはこの磁界により消弧室内で上方へ駆動され、消弧板の V字形のミジの中へ伸長冷却され、アーク電圧を上昇し故障電流は シャ 断される・

消弧室は3本のポルトをはずすことにより支軸の回り に簡単に回転でき、接触部の点検は容易である。また各極の間には図4.2に見られる相間パリヤが挿入され、逆弧 シャ断のさいにアークが隣接極にセッ絡するのを防いでいる。

5.3 有極性保持電磁石

各単位 シャ 断器は引はずしバネに抗して接触子を閉合 状態に保つために、直流高速度 シャ 断器に一般に用いら れているのとどうようの有極性保持電磁石をもっている。 図 5.4 に保持電磁石の磁路構成を示す。常時主回路を流

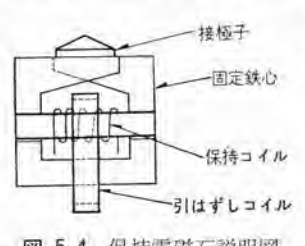


図 5.4 保持電磁石説明図 Fig. 5.4 Holding magnet circuit.

れる陽極電流による磁束は、接極子で保持コイルによる 保持磁束に加わり、接極子 保持力を増している。整流 器の逆弧により主回路に逆 流が流れると、その磁束は 接極子で保持コイルによる 保持磁束を打消し、接極子

三菱電機 · Vol. 34 · No. 2

は引はずし力によって接極面を離れ、シャ 断器は急速にシャ断動作を行なう。接極子の高速開離のために保持電磁石固定鉄心は特殊な積層方法を使用し、引はずし力に対して接極子を小形軽量にしうる構造とした。また各単位シャ 断器は盤面上に近接して配列されているので、その保持電磁石は他極を流れる主回路電流の干渉を比較的受けやすい構造である。逆弧のとき健全相の保持電磁石が、他極を流れる故障電流の干渉を受けて誤動作するのを防ぐため、保持電磁石にはおのおの磁気シャへイを設けて他極からの磁気干渉を防ぐ構造とした。

5.4 単極機構部

このシャ 断器は従来の直流高速度シャ 断器の機構と異なり、機構部にラッチを使用した。強力な引はずしパネに対して保持電磁石の必要とする保持力を減少し、保持電磁石を小形にするためである。機構のレバー類は強靱材料の使用により小形に構成された一対のトッグルリック、トリガ、ラッチレバーからなっている。トッグルリックはその一端が可動接触子腕にあり、他端は常時固定しているトリガの上端にある。トリガ はその下端に針状ころを使って取付けられたトリガピンをもっている。ラッチレバーはその一端にトリガピンに係合するステライト張りのラッチ面をもち、他端に接極子が取付けられている。

つぎにシャ断器の動作を説明すると(図5.1参照),閉 合状態では ラッチレバー の一端にある接極子は保持 コイル の付勢により保持電磁石接極子面に吸着され、トッグルリン クは伸長位置にあって可動接触子を閉合状態に保ってい る. この状態で接極子には, 可動接触子腕に働く開放バ ネ, 加速パネの引はずし力と、接極子に直接かけられた接 極子パネの引はずし力が加わっている。シャ 断器を流れ る逆流により保持電磁石吸引力が減少すると、接極子は この引はずし力により接極子面から開離する。接極子の 開離とともに ラッチレバー はその支軸の回りに反時計方向 に回転しその左端の ラッチ がはずれる. これに伴い開放 バネ、加速バネによって強力な引はずし力を与えられてい る可動接触子腕は、トリガ とともに反時計方向に回転し、 接触部を開き、ストッパに当るまで開放動作を行なう。こ の開放過程の終期に トッグルリック はひねり バネによって 崩壊し、トリガ は原位置に復帰する。同時に引はずし力 を取り去られた ラッチレバー も復帰 バネによって時計方向 に回転し、接極子はふたたび接極子面に復帰して、シャ 断器は開放状態となる.

閉合 レバー はその中間に緩衝 バネをもった二重 レバーからなっている。第1のレバーはその背面で6極共通の絶縁 クロスバーに取付けられ、第2の レバー はその先端に ローラ があり、閉合過程で トッグレリンク を閉合位置にまで移

動させる、閉合 レバー がこのように緩衝 パネをもった二 重 レバー になっているのは、6 極の単位 シャ 断器の投入 にあたって各極間に可調整部分を提供し、また投入のと きの機構の無理を避けるのに有効である。

5.5 投入機構

投入機構は 1.5 kW 直流電動機,ウォームギャ 減速装置 および投入 カム からなり,投入 レバーによって単位 シャ 断器閉合 レバー を結ぶ絶縁 クロスバーに接続されている。この シャ 断器の投入機構は前に述べたように、開放極の単位 シャ 断器だけを閉合極に無関係に再投入することができるようになっている。このため逆弧後の再閉路のときなど1極だけの単位 シャ 断器を投入する機会があるが、このように投入負荷の軽いときにも投入速度をほぼ一定にして機構の停止位置をそろえるために、電動機軸には遠心カブレーキが設けられている。

6. 試験結果

6.1 直流シャ断試験

750 V および 1,500 V直流回路で多数回の シャ 断試験

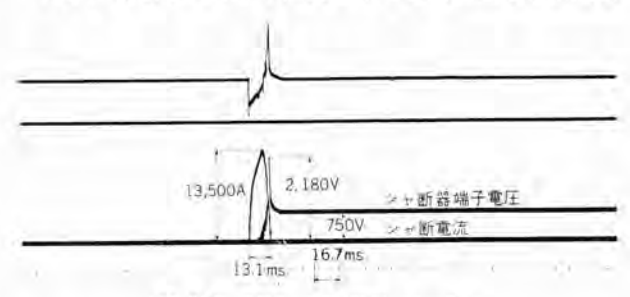


図 6.1 直流 シャ 断試験 オシログラム

Fig. 6.1 Oscillograms of direct current interrupting tests.

を行なった。その おログラム の一例を図 6.1 に示す。シャ 断試験後も シャ 断器主接触子消弧室の荒れは少なく良好な状態であった。

6.2 人工逆弧試験

逆弧回路でのシャ 断器の 特性を調べるために人工逆弧 試験を行なった、試験は並列整流器のあるばあいのほか

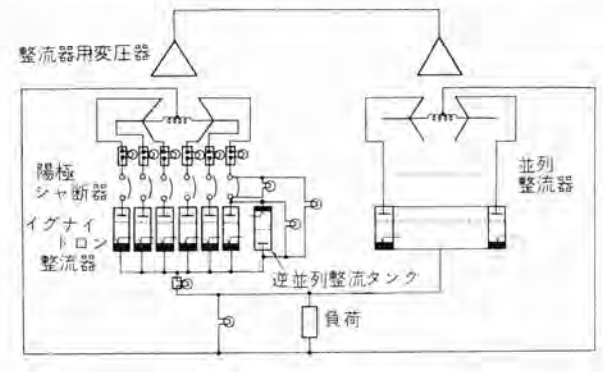


図 6.2 並列整流器のあるばあいの人工逆弧試験回路 Fig. 6.2 Test circuit for simulated arc-back tests with the parallel rectifier.

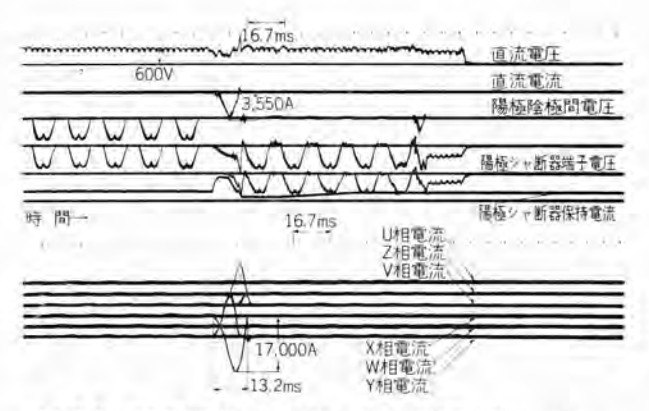


図 6.3 並列整流器のあるばあいの人工逆弧試験 オシログラム Fig. 6.3 Oscillograms of simulated arc-back tests with the parallel rectifier.

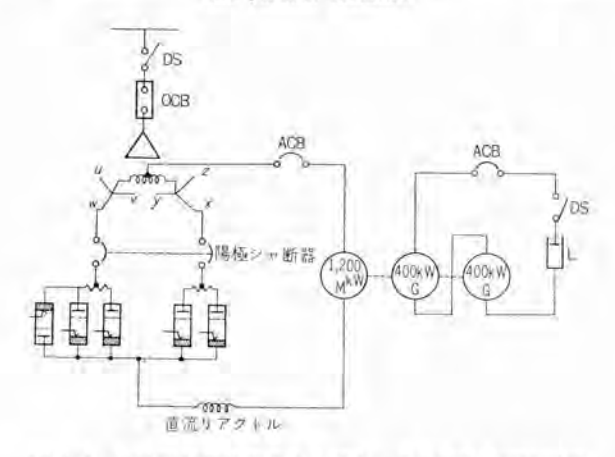


図 6.4 圧延電動機負荷のあるばあいの人工逆弧試験回路 Fig. 6.4 Test circuit for simulated arc-back tests with mill motor load.

に、とくにこの 5+ 断器を停止 レオナード 装置に使用した ばあいの特性を検討するために、整流器に圧延用電動機 を負荷として接続した回路についても実施した。

(1) 並列整流器のあるばあいの人工逆弧試験

試験回路を図 6.2 に示す。図に見られるように整流器に逆並列に整流 820 を接続して等価逆弧回路とした。この試験の 4200 55 の一例を図 6.3 に示す。9+ 断器は 13.2 ms で第 1 波高値 17,000 A の逆弧電流を9+ 断している。

(2) 電動機負荷をもつばあいの人工逆弧試験

試験回路を図 6.4 に、電動機が全負荷運転中に人工逆弧を発生させたばあいの オシログラム を図 6.5 に、電動機が無負荷運転中に人工逆弧を発生させたばあいの オシログラム を図 6.6 に示す、これらの オシログラム から見られるように、陽極シャ 断器はいずれも良好なシャ 断特性を示し、健全相の誤動作もなく、電動機は逆弧時にも連続運転を行ないうることを確認した。

7. む す び

以上 DL 形陽極 シャ 断器についてその構造性能の大要 62 (304)

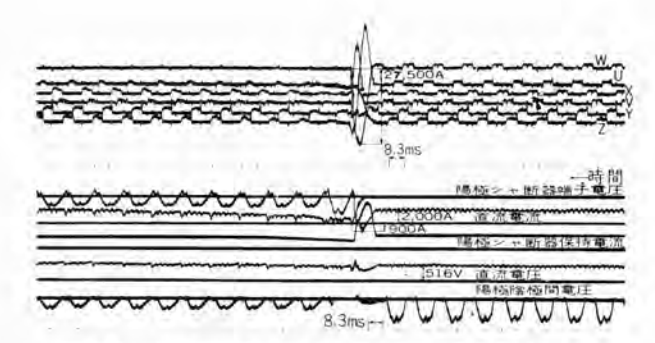


図 6.5 圧延電動機負荷(全負荷運転中)のあるばあいの 人工逆弧試験 オシログラム

Fig. 6. 5 Oscillograms of simulated arc-back tests with the mill motor in full load operation.

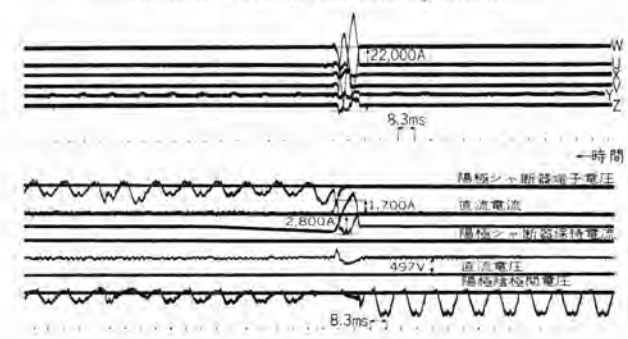


図 6.6 圧延電動機負荷(無負荷運転中)のあるばあいの 人工逆弧試験 オシログラム

Fig. 6. 6 Oscillograms of simulated arc-back tests with the mill motor in no load operation.

を述べたが、その特長を要約すると、

- (1) 適切な構造の消弧室を使用し各極間に相間 パリヤ をもっているので、シャ 断容量が大きい。
- (2) 強力な引はずしパネ、軽量に構成された機構部 をもち シャ 断速度が速い.
- (3) 逆弧のとき健全相の 5+ 断器は誤動作しないよ うとくに考慮された構造となっている。
- (4) 投入機構は閉合極に影響をおよぼすことなく、 開放極だけを再閉合しうる構造である。
- (5) 機構部には不銹鋼を多用し、化学工場など腐食性 生い気中で使用しても信頼度が高い。
- (6) シャ断による接触部消弧室の損耗は少なく保守 が簡単である.

などをあげることができる.

また DL 形陽極 シャ 断器を用いた陽極 シャ 断方式は、

- (1) 逆弧電流を迅速に シャ 断し、逆弧による回路の 関連機器への障害を最小限に留めることができる。
- (2) 逆弧のときにも整流器の連続運転を行なうことができ、圧延用静止 レオナード 装置など連続給電が要求される設備に使用して、きわめて有利な回路構成を行なうことができる.

などの特長をもち、最良の逆弧保護方式ということが できる。

トランジスタ搬送電話端局装置

無線機製作所 北 垣 成 一*・室 田 慎*・篠 原 博*

Transistorized Carrier Telephone Terminal Equipment, Type MX-3T

Electronics Works Seiichi KITAGAKI · Shin MUROTA · Hiroshi SHINOHARA

To transistorize various electronic apparatus is a general trend rapidly growing everywhere. Mitsubishi has been developing transistorized carrier telephone terminal equipment for microwave circuits and has supplied multiplex equipment of the kind with a capacity of 60 channels to the Kanto Regional Construction Board together with 7,000 Mc SS-FM microwave radio communication equipment, the result being very satisfactory. The equipment is provided with transistors instead of electron tubes in active circuits and also printed boards, which features the installation with compact arrangements, reduced floor spaces, increased reliability and high stability yet with small power consumption.

1, まえがき

近時,各種電子機器のトランジスタ 化が急速に進められている。当社もかねてから マイクロ 回線用搬送電話端局のトランジスタ 化の開発を行なってきた。今般,関東地方建設局へ、東京一野田一赤城一相侯回線用として 7,000 Mc 帯 SS-FM 方式 60 通話路容量の多重無線通信装置を製作納入し、昨年5月末以来順調に運転されている。この回線に使用の搬送電話端局装置はトランジスタ ならびに プリント 板を用いた小形実装の当社第1号実用機であるので、ここに、この装置の概要を紹介する。

2. 設計基準

この装置は国際的に採用されている CCITT の勧告する多重搬送電話方式に関する諸規格を基準とし、国際回線と同等の性能を有するよう設計されたものである。 経済的な設計の基準に重大な影響を及ぼすものは雑音であるが、この雑音を装置を構成する各機器に妥当な値に配分することが装置設計の主題である。

- (1) 基本雑音 トランジスタ 雑音,抵抗の熱雑音、および搬送波漏洩による雑音
 - (2) 非直線 ヒズミ 雑音 変調器、増幅器などの非直

線しだによる雑音

- (3) 反転漏話雑音 ロハ器減衰量の不足および不純 搬送波による雑音
- (4) 直線漏話雑音 不純搬送波,搬供回路回り込み 漏話,および架内,架間の布線など の漏話による雑音
- (5) その他の雑音 架間その他局内布線による漏話 および電源などの外来誘導雑音

これらの雑音の種類に対し、合理的に雑音量を割当て 必要な特性規格を満足するように設計された。表2.1は この装置の雑音配分を示すものである。全割当雑音電力

表 2.1 雜 音 配 分

	A.	1	F 0) 和		類		割当量 (PW)
基		*		2	Œ		音	200
非	W	艘	Ł	x	3	雑	W	160
反	125		漏	店		雑	16	100
ME.	88		漏	18	7	雑	YF.	150
2	4)		他	0		雑	育	100
		di			計			710

830 PW の残余 120 PW は余裕として保有するものである.

3. 周波数変換方式

この装置の周波数変換は大別して通話路変換, 前群変換、群変換に分類される. 通話路変換で 0.3~3.4 kc の音声周波帯域 3 個を 12~24 kc の基礎前群 (B-PG) に変換し, 前群変換で4個の基礎前群を 60~108 kc の基礎群 (B-G) に変換する. この基礎群周波数配列は国際的に採用されているものと一致する.

群変換では基礎群 5 個を 60~316 kc の伝送帯域に配

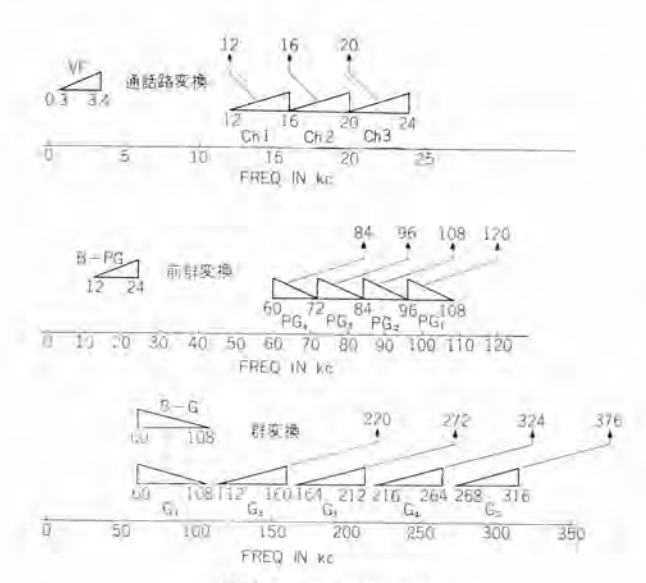


図 3.1 周波数配置図 Fig. 3.1 Frequency allocation.

列して、60 通話路を構成し無線装置に接続する。受信側 では各変換過程で上記と逆の復元が行なわれる。 図3.1 は各変換過程を示したものである.

4. 構 造

この装置の構造は図4.1に示すとおり、当社で新しく 設計開発した箱体構造の GT 形実装方式を採用してい る. 小形実装とするためのもっとも重要なことは装置機 能の安定化であり、回路方式の合理化と部品の安定度の 向上によることはもちろんであるが、とくに実用上の見 地から機器の取扱い、保守の容易なことを主眼とした.

(1) 架構造

この装置に使用される鉄架は高 さ 2,750 mm, 幅 520 mm, 奥行 225 mm の薄鋼板製の箱体構造で ある. 架は保守調整がすべて架の 前面でできる片面実装であるから、 2 架を背中合わせ配置し、両面実 装として,あるいは,施設場所の条 件によっては壁面に密着配置する ことができるなど占有床面積をい ちじるしく節減することができる.

架には標準 フレームを 100 mm 間隔で実装し、その上部に架上端 子板、警報ベル、ランプ、下部には電 源接続端子板および電源盤を取付 ける構造になっている.



図 4.1 MX-3T形 搬送電話端局装置 carrier telephone

Fig. 4.1 Type MX-3T multiplex terminal equipment.

(2) フレーム 構造

架には亜鉛ダイキャスト製のフレー ムをたな状に着装し、各パネルの

挿入 ガイド ならびに取付支持を行なうとともに、後部に 鋼板製の プラグイン 端子保持金具を実装する パネル の位置 によって任意の個所に取付けることができ、パネル の挿 入によって端子接続が行なえるようになっている.

フレームの ガイドレール は単位 パネル (幅が全体の 1/12 で 1 枚幅と呼称する) が 12 枚挿入できる構造になってお り, 2 枚・3 枚……12 枚幅 パネル が任意の組合わせで実 装できる.

(3) パネル 構造

この装置に使用される パネルは パネル 本体, プリット 板 および シールド 板により構造される。パネル 本体は前面 パ ネル と ワク 組とにより組立てられ、ワク 組の下部は前述 の フレームの ガイドレール に沿って挿入できるようにし、ワ ク組の後面には プラグイン 端子を取付ける構造となってい 3.

プリット 配線を施した基板に各回路部品を実装し、これ をパネル本体の側面に取付け、プリント面に シールド 板を 取付けるようになっている.

前面 パネル の高さは 100 mm で,幅は単位幅 37.5 mm の整数倍 (1~12) になっており、ワク組の奥行は 168mm である. 図4.2はパネルの外観である.



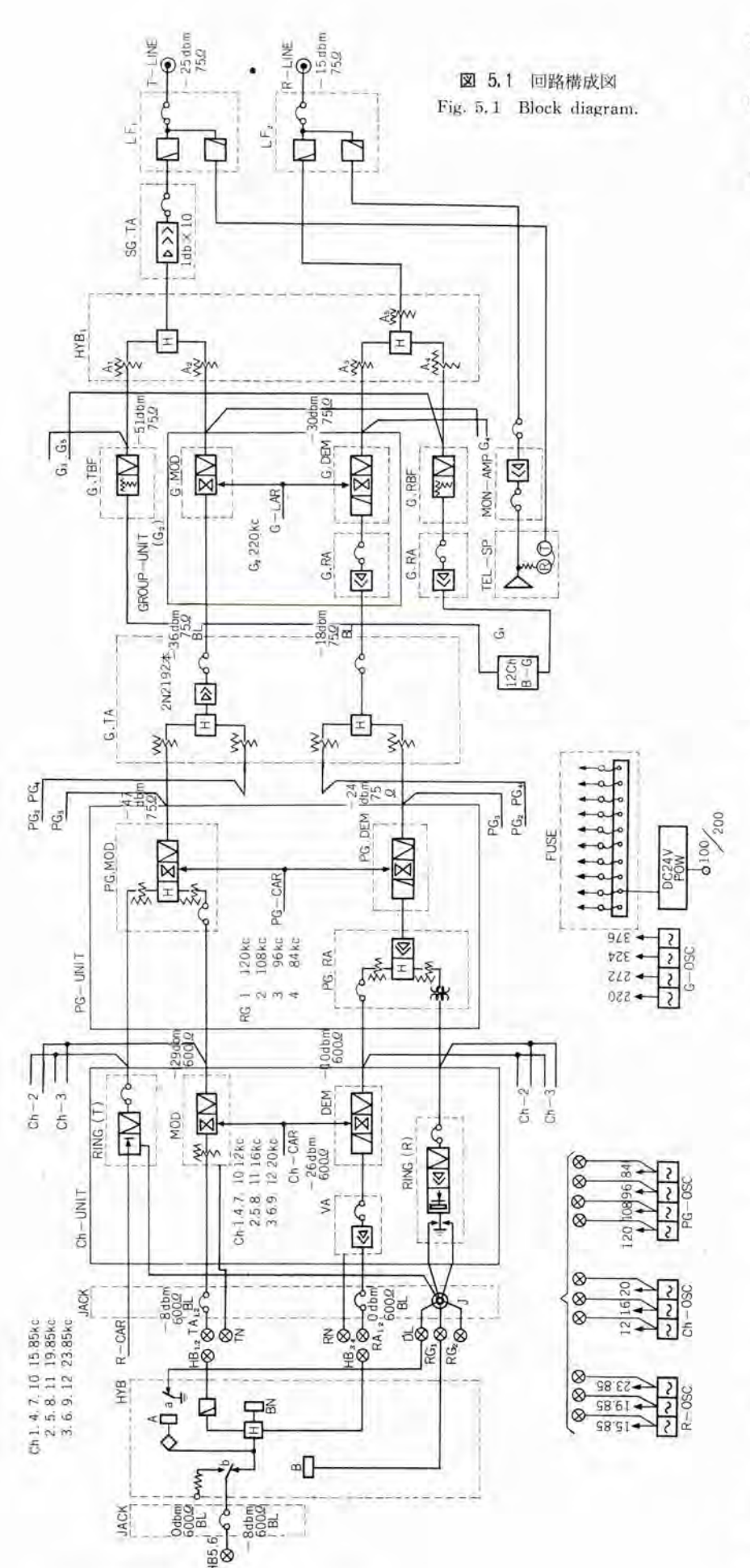
図 4.2 パネル Fig. 4.2 Panel.

各回路部品は小形化をはかり, 点検, 修理が容易なよ うに実装配置を考慮しており、 プリント 面には取付回路部 品の記号が印してある.

この装置の通話路数は最高 60 Ch であるが、24 Ch 以 下の容量であれば全装置を1架に収容することができる. すなわち全 トランジスタ 化によって真空管方式の場合に比 し、同一性能を具備し、実装は約1/4に、消費電力は約 1/10 程度である.

5. 回路構成

この装置の回路構成は図5.1に示すように真空管方式 の MX-3 形⁽¹⁾とほぼ同様であって、通話路変換部、群 変換部、搬送電流供給部、および電源部より構成されて いる. そのおもな相違点は MX-3 形においては、音声増 幅器と受信信号回路を同一の真空管で共用していたが、 この装置においては、トランジスタ 化の第一過程として、信 号動作をより安定ならしめるために受信信号回路を別個



トランジスタ 搬送電話端局装置・北垣・室田・篠原

に分離したことである.

6. 性 能

この装置の主要な電気的性能は 下記のとおりである.

- (1) 伝送方式 搬送波阻止単側帯波伝送方式 (SSB)
- (2) 通話路数 最高 60 通話路数
- (3) 伝送周波数帯域0.3~316 kc (打合電話回線を含む)
- (4) 音声通話路有効伝送帯域 0.3~3.4 kc
- (5) 信号方式

音声帯域外 3,850 c/s 相当問 被数 (3 通話路基礎前群周波数 において 15.85, 19.85, 23.85 kc) の 1 周波方式とし、市外 ダイヤル 方式、16 c/s リングダウン 方式に使 用できる。

(6) 標準 レベル および インピー ダンス

表6.1のとおりである.

- (7) 搬送電流漏洩量 各通話路とも相対 レベル 以下 30 db
- (8) 総合残留損失偏差 CCITT 規格の 2/5 以内
- (9) 装置総合雑音

CCITT 勧告の評価特性を有する雑音測定器で測定した場合、送変信端局対向の各通話路それぞれの総合雑音は音声変信相対レベル 0 db 点において -60 dbm 以下

(10) 過負荷特性

標準 レベル よりの レベル 上昇 3.5 db に対して残留損失の増加 は 0.3 db 以下

(11) 了解性漏話 任意通話路間で了解性漏話減 衰量は 60 db 以上

(12) 通話路 ヒズミ率

表 6.1 標準レベル、インピーダンス

	標準レベ	(dbm)	インピーダンス (Ω)	
	送信側	受信側	(Ω)	
音声二線式回路 (EQPT)	ō	-8	600 平 海	
音声四線式同路 (MOD-IN) (VA-OUT)	-8	0	年 海	
12 通 話 路 基 礎 胖 (GTA-OUT) (PG. DEM-IN)	-36	-18	75 平 衡	
無線装置側超別 (T-LINE) (R-LINE)	-25	-15	75 不平衡	

信号レベルは標準通話路レベル以下 15 db に設定

標準 レベル 800 c/s で 二次 30 db 以上

三次 40 db 以上

(13) 鳴音安定度

送受信端局対向で両端を 2W 式回路とし、それぞれ 400 Ω 純抵抗で終端した場合の鳴音安定度は 12 db 以上

(14) 符号伝送 じだ

スピード 10、メーク 比 33% において、レベル 変動 ±3.5db に対して 5 ms 以内

(15) 打合回線

この装置は打合用として聴話増幅器を含む電話機盤 を備え、任意相手局を スピーカ 呼出を行ない、打合通 話をすることができる。

(16) 使用トランジスタ

低周波增幅用 2N-217, HJ-34A 高周波增幅用 2N-219, HJ-41

(17) 電源

この装置を動作させるために必要な電源はAC100V (または AC200V) 単相 50 c/s (または 60 c/s) であり、それより DC24V および AC24V に変換し各 #に供給する。

この装置の電源別用途は下記のとおりであり、60 通 話路に供給する容量がある.

#1DC24V 各 トランジスタ 電源

#2DC24V トランジスタ 以下のすべての DC24V 電源

AC24V 恒温槽 L-9 電源

この装置の消費電力は約 150 W であり、真空管方式に比して約 1/10 である。

7. 主要回路

(1) 增幅器

音声増幅器盤 (VA), 前群受信増幅器盤 (PG-RA), 群送信増幅器盤 (G-RA) の回路方式はいずれも初段 コレクタ 接地, 出力段 エミッタ 接地とし ハイブリッド 帰還を施し入出力回路 インピーダンス を線路に整合させている。

一例として図7.1に群受信増幅器の回路を示す。この

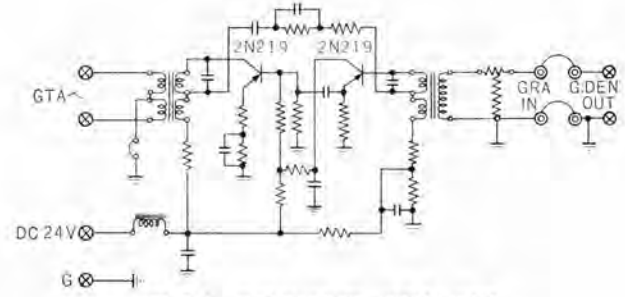


図 7.1 群受信增幅器 (GRA) 回路 Fig. 7.1 Group receiving amplifier circuit.

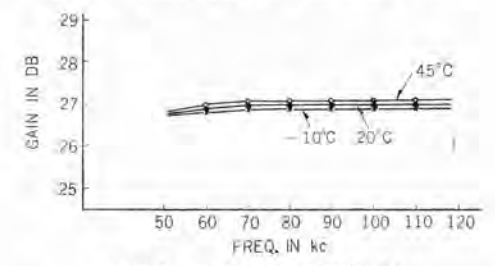


図 7.2 群受信增幅器温度特件

Fig. 7.2 Temperature characteristics of GRA.

増幅器の有効伝送帯域は 60~108 kc, 平たん特性で利得 27 db, ヒズミ 率二次 55 db 以上, 三次 65 db 以上, 利得 偏差は上記周波数帯域で ±0.1 db 以内, 雑音発生量出力 側で -80 dbm 以下である。図7.2 はこの増幅器の温度 特性である.

図7.3 は超群送信増幅器の回路図である。この増幅器は エミッタ 接地三段負帰還増幅器で、ハイブリッド 帰還を施し、入出力回路 インピーダンス を μ 回路に無関係に線路に整合させている。トランジスタ のもつ二つの折線周波数特性を考慮し、利得余裕 10 db、位相余裕 30 度としてμβ 回路の補正を行なった。その特性は、60~316 kc の伝送帯域において利得 32 db、帰還量 20 db 以上、ヒズ

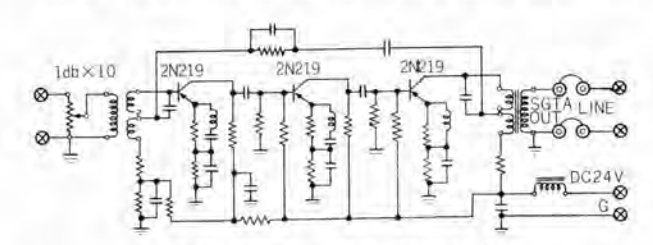


図 7.3 超群送信增幅器 (SGTA) 回路

Fig. 7.3 Super-group transmitting amplifier circuit

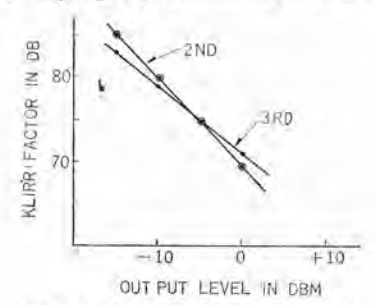


図 7.4 超群送信增幅器 t 次 特性 Fig. 7.4 Klirr factor of SGTA.

ミ 率出力 レベル -10 dbm で二次 75 db 以上,三次 85 db 以上,利得偏差 0.2 db 以内,雑音発生量 -80 dbm 以下である。図 7.4 は ヒズミ 率特性である。

(2) 受信信号回路

この装置の信号伝送回路は、前述のようにレベル変動に対する動作の安定を良くするためにとくに考慮をはらった。図7.5はその回路を示し、図7.6はリミッタ特性の温度特性である。

(3) 搬送電流供給回路

前述のように、この装置の搬送電流はいずれも水晶制 御の発振器によって供給され、前群および群変換用搬送 波発振器は恒温槽を使用している。図7.7は、群変換用

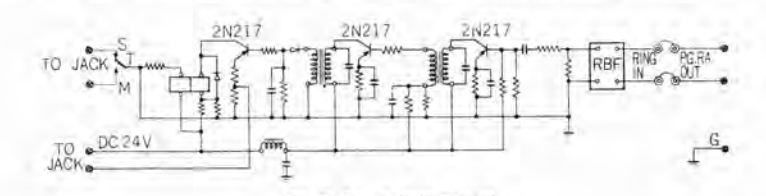


図 7.5 受信信号回路 Fig. 7.5 Receiving ringer circuit

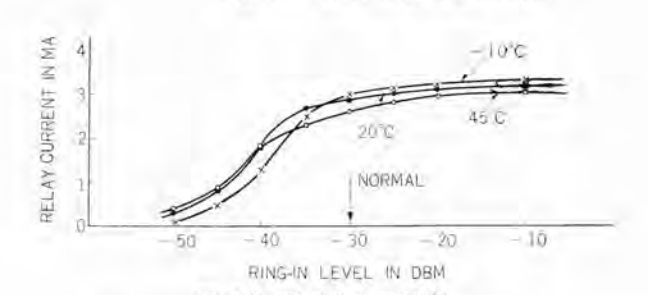


図 7.6 受信信号回路特性 Fig. 7.6 Characteristics of receiving ringer.

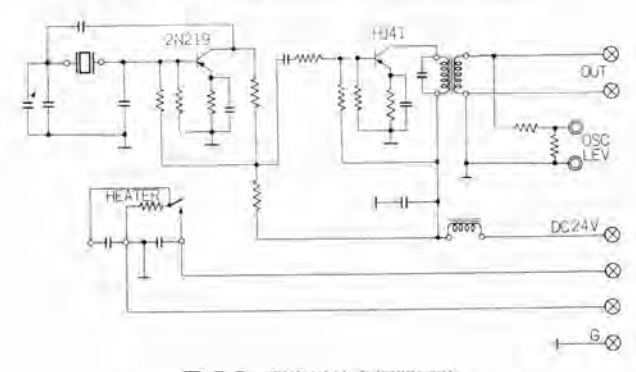


図 7.7 群搬送被発振器回路 Fig. 7.7 Group-carrier oscillator circuit.

搬送電流供給用の発振回路で、P G 接続の ピァース 回路 の真空管を ジャンクショントランジスタ におきかえたものである。電源電圧 $\pm 5\%$ 、周囲温度 $-10^{\circ}\text{C} \sim +40^{\circ}\text{C}$ の変化 に対する周波数安定度は $\pm 2\,\text{c/s}$ 以内である。

8. 試験結果

工場試験および現地すえ付完了後に行なった試験の結

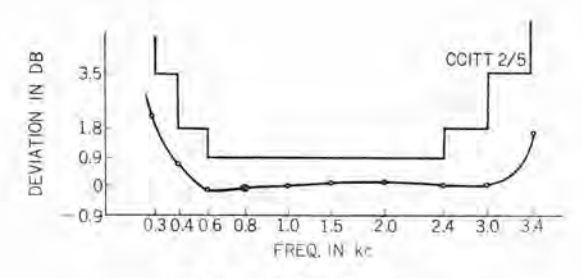


図 8.1 総合周波数特性

Fig. 8.1 Overall voice frequency response.

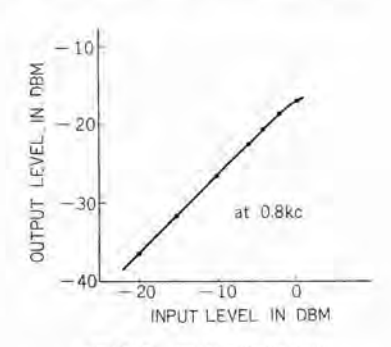


図 8.2 総合過負荷特性

Fig. 8.2 Over load characteristics.

果は十分満足なもので、真空管方式のものに比し、なん らの遜色はなかった。その・部を示すと下記のとおりで ある。

- (1) 通話路総合周波数特性 図 8.1
- (2) 装置雑音 S/N 62.5~67 db
- (3) 了解性漏話減衰量 62.5~67 db
- (4) 雑音負荷試験 S/N 60~65 db
- (5) 音声 ヒズミ 率 二次 38~42 db
 - 三次 45~53 db
- (6) 過負荷特性 図 8.2
- (7) 符号伝送 ヒズミ -3~+3%

9. t t T

以上が今回関東地方建設局に納入したトランジスタ 60Ch 容量搬送電話端局装置の概要であり、現在順調に運転され、トランジスタ 化の幾多の特長を発揮しつつある。しかしながら、トランジスタ 自体現在大きな発展の途上にあり、その性能はますます向上しつつあり、また小形部品の開発も実にめざましいものがある。この装置はその1段階を示すものであって、なおいっそうの小形化と性能の向上を図るべく研究を進めている。

参考文献

(1) 樫本・北垣・他: 「三菱電機」32. No. 10, 91 (昭 33).

水 貇 慗 流 価 試

阿部久康*·山口峯男*·池田和郎* 研究所 伊丹製作所 塚本昭二**

Equivalent Test Method of Mercury Arc Rectifiers

Research Laboratory Hisayasu ABE • Mineo YAMAGUCHI • Kazuo IKEDA

Itami Works

Shōji TSUKAMOTO

Increase in the capacity of the latest mercury arc rectifiers has led to the enlargement of the load test facilities. Even with the employment of inverters for feeding back in actual load tests, power requirements often exceed the limit of receiving capacity. The phenomena of arc back of the rectifier, on the other hand, are hard to observe unless tests are kept on for some period of time. This also results in large power consumption. To overcome this handicap an equivalent test method has been studied and proved very satisfactory from the viewpoint of economy and time saving. In this method the rate of the occurrence of arc back is controllable with ease through a proper selection of a test circuit constant. Then it can well be said that the method is very effective and indispensable for the experiment so as to raise the rectifiers to a higher level of perfection.

1、まえがき

最近における水銀整流器の大容量化に伴い, 負荷試験 設備が非常に大きくなるとともに、その実負荷試験はた とえインバータを用いて電力返還を行なってもなおかつ工 場の受電能力限界を上回る事態を生ずる. また整流器の 逆弧は偶発性であり、短時間の負荷試験では逆弧発生の 機会がきわめて少なくしたがって測定に長時間を要しそ の間の電力消費を免れない。 等価試験はこれらの試験を もっとも経済的かつ迅速に行なうきわめて有利な手段で あり、また逆弧発生率は試験回路の定数により任意に制 御できるから整流器の設計、開発ならびに運転条件の改 善策の研究分野において定量的な諸種の基礎資料を得る ことができる.

上記等価試験法の有する利点は古くから注目され、そ の実現に対して多くの努力が払われたのであるが、ここ 数年前までは ガラス 整流器を対象とする原理的な実験の 範囲にとどまり数 1,000 kW を対象とする大容量等価試 験法は実施された例がなかった. 最近においてかかる大 容量試験装置の要求に対する機運が高まり、すでに AEG(1) および 2連(2)において研究用ならびに製品試験 用として実用されるに至っている。わが国では昭和29年 8 月鉄道電化協会内に国鉄技術研究所を中心とする等価 試験研究委員会が発足し、それ以来関係者において実用 化に対する積極的な研究が進められた.

当社では昭和 20 年ころから小形 ガラス 整流器を使用

した予備研究を行なっていたが、昭和 30 年研究所にお いてわが国最初の大容量整流器を対象とする試験装置が 完成し、各種実用器の等価試験ならびに試験法の研究を 開始した。昭和 32 年には伊丹製作所にも装置が新設さ れ現在研究所、および工場の両設備を使用して整流器の 開発と性能向上に関する試験・研究を進めている.

本文では当社の試験装置、試験方法ならびに現在まで の代表的な実施例について現状を紹介するとともにこの 試験法において重要な問題である等価性について考察し た結果の概要を報告し、関係各位のご批判に供したいと 思.5.

2. 等価試験装置

等価試験は低圧の電流源と高圧電圧源を分離し、整流 器の電流、電圧をそれぞれ別個の電源から供給しようと するのがその原理である. しかしこの等価試験方法の原 理も実際上, 実負荷時の運転波形を試験電流, 電圧の上 に再現する点に関して困難があり、また高圧と低圧源の 相互干渉防止のための多くの技術的問題を解決する必要 があった.

高圧と低圧源の干渉防止に対しては、従来リアクタ、あ るいは機械的な シャ 断器を使用する試みがあったがいず れも難点があり現在では消 イオン 特性の優秀な直列阻止 整流器により両者の分離に成功している. 一方電流, 電 圧条件の模擬方法については原理的に Kingdom & Lawton 氏法(3)ならびに AEG 法("を踏襲するがさらに独特

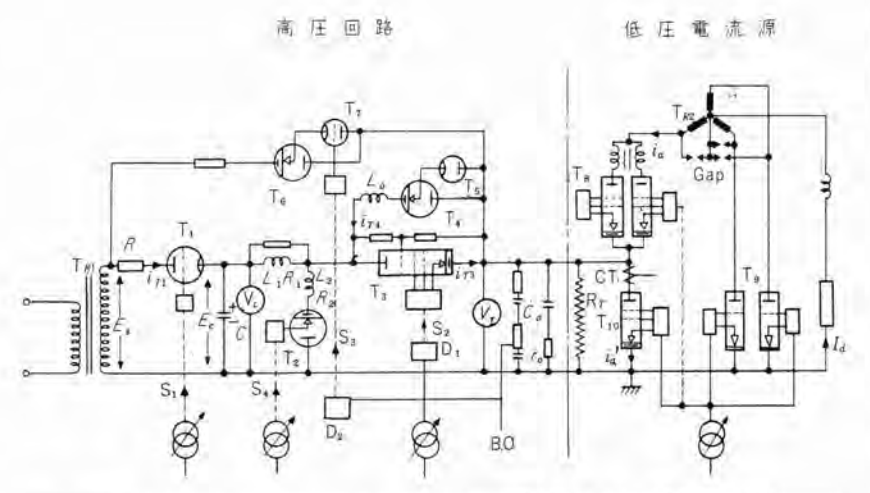




図 2.1 等価試験回路

Fig. 2.1 Equivalent test circuit.

の方法により正弦波逆電圧も印加できるようになっており、ほとんど忠実に実負荷波形を再現し完全な試験を行なうことができる.

図2.1 は試験装置の主要結線図であり、図中鎖線の右側は低圧電流源、左側が高圧電圧源である。供試器 Tio は補助整流器 To とともに三相整流器中の1相として連続負荷しておき、運転中の逆電圧相当の試験電圧は別途高圧電源より毎サイクル、あるいは時間制御装置により1砂までの適宜のインタバルをおいて間欠的に印加する。試験電圧が低圧源へ侵入することを防止するため二重格子形水冷イヴナイトロン To を並列にして直列阻止整流器とする。高圧回路はク形波状逆電圧と正弦波状逆電圧印加用

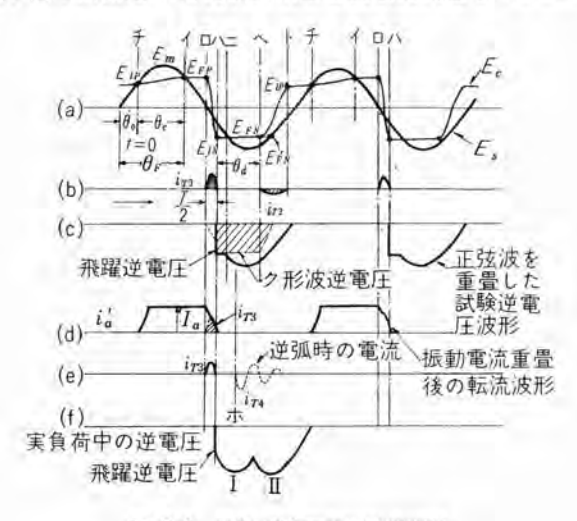


図 2.2 等価試験の電圧電流関係 Fig. 2.2 Relations of voltage with current of equivalent test circuit.

水銀整流器の等価試験・阿部・山口・池田・塚本

回路から構成されるが、それぞれの回路動作は、図2.2を参照して、概略次の要領で行なわれる。

2.1 ク形波状逆電圧印加回路

図2.2位相(イ)-(ロ)間

コンデンサ C は高圧 トランス T_{R1} の二 次電圧 E, により充電管 T_1 を経て図 示極性に充電待機している. (E_{FP})

位相(a)-(n)間

 $-E_{EN}$ を $C \rightarrow T_{10} \rightarrow T_5 \rightarrow T_4 \rightarrow L_0 \rightarrow L_1 \rightarrow C$ の経路を通じて印加する.

位相(へ)-(ト)間

位相 (へ) において反転管 T_2 が点弧し C の電圧 E_{FN} は $J_F O_F N_D L_2$, L_1 を通じて E_{IP} まで正転し、以後位相 (チ) よりふたたび高圧 $I_F O_F O_D O_D$ の二次電圧 $I_F O_D O_D$ の正転操作は次章の解析に示す ように高圧充電回路の所要 $I_F O_D O_D$ は反転管 $I_F O_D O_D$ の電流波高値を低減させ、その管の責務軽減に役だつ.

2.2 正弦波状逆電圧印加回路

2.3 逆電圧ならびに飛躍逆電圧シュン度の調整

高圧回路において $T_{\rm RI}$ は共通であるが、 ρ 形波ならびに正弦波逆電圧はそれぞれ別個の回路を形成する。正弦波逆電圧の最大値は($T_{\rm RI}$)の二次電圧の調整により二次電圧の最大波高値である $25\,{\rm kV}$ まで与えられ、 ρ 形状逆電圧(飛躍逆電圧 $E_{\rm IN}$)は充電管 $T_{\rm I}$ の格子制御によ



イ. 高圧試験回路 TR1: 高圧源トランス Ts: 直列阻止整流器 ロ. 制御盤 C: コンデンサ ハ. 恒温室 Li L2: リアケトル

図 2.3 等価試験装置

Fig. 2.3 View of equivalent testing aquipment.

り $0\sim20\,\mathrm{kV}$ まで制御できる。すなわち当社の方式によれば正弦波逆電圧の最大値 E_m と 飛躍逆電圧 $E_{\ell N}$ の相対比の変更が可能であり、逆電圧波形に対するいちじるしい自由度が与えられる。

なお、後述のように飛躍逆電圧の シュン 度は逆弧率に 顕著な影響を及ぼすので、シュン度調整用として**図 2.1** 中 C_0, r_0 および L_0 の回路を付加し、これら素子の定数調整により逆電圧 シュン 度は $8 \, \mathrm{kV}/\mu\mathrm{s}$ から $10 \, \mathrm{V}/\mu\mathrm{s}$ まで実験的に広範囲に変更できる.

2.4 付属装置

供試器の逆弧は T₁₀ の陽極回路に挿入した検出 コイル C. T により選択的に計数され、逆電圧印加数との比から逆弧率を求める。測定装置、高圧回路構成素子の絶縁 方式、シグナル 伝送回路などについても種々興味ある問題 があるが本文ではその詳細は割愛する。等価試験では低圧源へ高圧が侵入した場合に対処する慎重な保護対策が必要であり、このため低圧源 トランス の二次各相一中性点 間その他回路の随所に、放電 ギャップ、アレスタ、側路 コンデッサ が設けてあり、適当な協調により サージ 侵入の被害

を最少限に抑制するように考慮されている.

図 2.3 は研究所等価試験装置の概観である。試験容量は単管 500 A (三相 1,500 A)、試験飛躍逆電圧 20 kV、(逆電圧波高値 25 kV)まで可能であり、この装置により 3,000 kW 整流器ならびに 20 kV 高圧整流器の等価試験を行なうことができる。

図2.4 は 20 kV 高圧 ペントード、イヴナイトロン の負荷試験中、試験装置各部の波形を示す おシログラム であり、図2.2 の説明図と対照して満足すべき電流、電圧関係を得ている。

3. 試験回路の解析(4)

等価試験は前述のように実負荷に比しいちじるしく経済的な試験を行なうことができる。電力消費は低圧源と高圧回路に分けられるが、低圧回路は既知の多相整流回路理論から容易に計算できるからここには C の電圧電流を中心とする高圧源の消費電力を、反転管を使用し1サイクルに2回の C の電圧を反転させる高能率の電荷利用を行なった回路について解析法を述べる。

図2.1ならびに図2.2の動作図を参照して、充電開始 位相(図2.2位相 チ)を時間の原点にとると、かかる時点 における電圧電流の表現式は

充電電流すなわち高圧電源電圧瞬時値は

$$\frac{i_{T1}}{\omega CE_m} = \sqrt{\frac{1}{1+k^2}} \left\{ \sin(\omega t + \phi + \theta_0) - \sin(\phi + \theta_0) \mathcal{E}^{-\frac{\omega t}{k}} \right\}$$
...(3, 2)

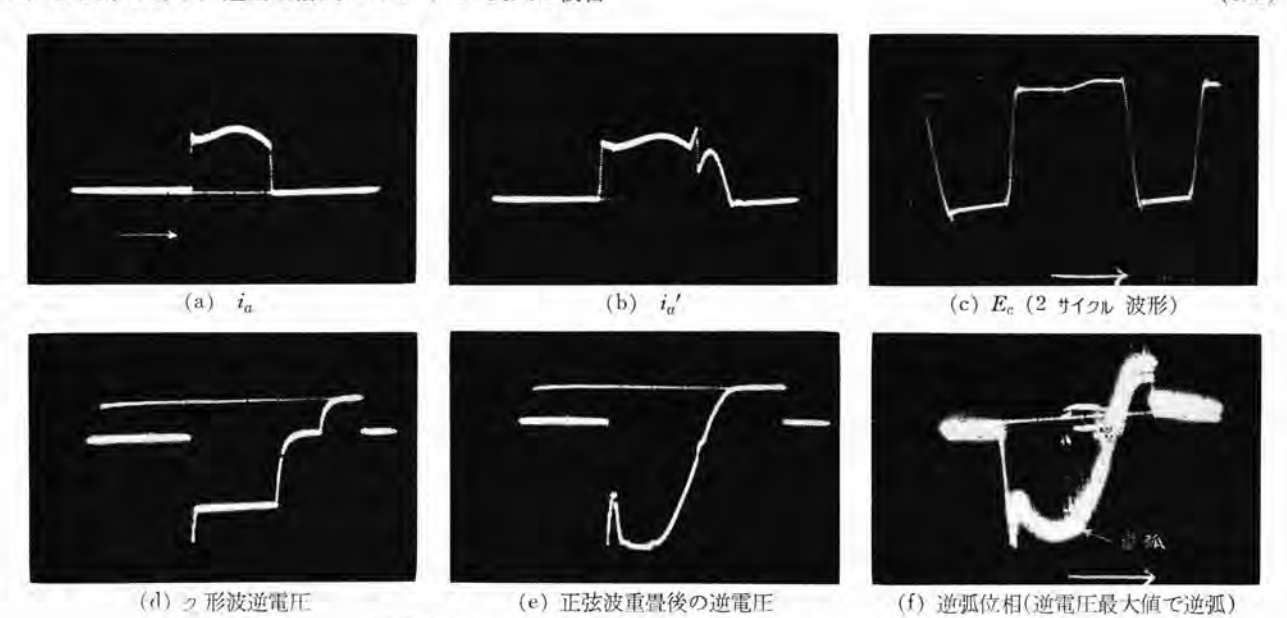


図 2.4 等価試験の電圧電流波形 20 kV 高圧 イグナイトロン Fig. 2.4 Voltage and current oscillograms of equivalent test circuit.

$$\begin{array}{ccc}
\mathbb{Z} & \mathbb{Z} & \mathbb{Z} & \mathbb{Z} & \mathbb{Z} \\
\phi & = \tan^{-1} \frac{1}{k}
\end{array}$$

さらに簡単のため以後 ωt=θ で表わす。 充電完了位相(\mathbf{Z} **2.2**位相 \mathbf{I}) では

$$\theta = \theta_F - \theta_0 = \theta_C$$

で定義されており θ_0 は充電管 T_1 の導電期間を与える。 充電完了位相 (位相 τ) では式 (3.2) で $i_n=0$ であるから。

$$\sin(\phi + \theta_0) \mathcal{E}^{\frac{\theta_F - \theta_0}{k}} = \sin(\theta_F + \phi) \quad \cdots \quad (3.3)$$

充電完了後の C 電圧の final value Eff は

$$\frac{E_{FP}}{E_m} = \sin \theta_F \qquad (3.4)$$

コンデンサ の充電初期値 E_{IP} 、充電完了後の E_{PP} が与えられると式 (3.1)、(3.4) より θ_0 、 θ_P が決定し、式 (3.3) より k、すなわち充電回路定数 C、R が決まる.

 θ_0 、 θ_F 、k がそれぞれ求まると充電回路の電圧電流は 次式により与えられる。

蓄電器電圧瞬時值

$$\begin{split} \frac{e_c}{E_m} &= \frac{1}{\sqrt{1+k^2}} \left(-\cos(\theta + \phi + \theta_0) \right. \\ &\left. + \left\{ \sqrt{1+k^2} \sin\theta_0 + \cos(\phi + \phi_0) \right\} \mathcal{E}^{-\frac{\theta}{k}} \right] \cdots (3.5) \end{split}$$

充電電流平均値 Iri は

$$\frac{\bar{I}_{T_1}}{\omega C E_m} = \frac{1}{2\pi} (\sin \theta_F - \sin \theta_0) \qquad (3.6)$$

同実効値 In は

$$\frac{\tilde{I}_{T1}}{\omega C E_m} = \sqrt{\frac{1}{2\pi}} \int_0^{\theta_F - \theta_0} \left(\frac{i_{T1}}{\omega C E_m}\right)^2 d\theta \qquad (3.7)$$

充電 VA

$$\frac{[VA]}{\omega CE_m^2} = \frac{1}{\sqrt{2}} \frac{I_{TI}}{\omega CE_m}$$
 (3.8)

一方充放電による コンデンサ 電圧 ε。の変化比 S。は

$$S_c = \frac{E_{IP}}{E_{FP}} = \frac{\sin \theta_0}{\sin \theta_F} \qquad (3.9)$$

この比は充放電繰り返し過程における次の諸損失を含んでいる.

リアクトル Li の損失 Sai

$$S_{d1} = \frac{E_{IN}}{E_{FP}} = \exp\left(\frac{-\pi}{\sqrt{Q_1^2 - 1}}\right) \qquad (3.10)$$

$$\uparrow \approx \uparrow \lesssim \bigcup \quad Q_1 = \frac{\omega_{P1}L_1}{R_1}, \quad \omega_{P1} = \frac{1}{\sqrt{L_1C}}$$

供試器 T_{10} の端子間漏洩抵抗 R_T による損失 S_{d2}

$$S_{d2} = \frac{E_{FN}}{E_{IN}} = \exp\left(\frac{-\theta_d}{\omega R_T C}\right) \quad \dots \quad (3.11)$$

反転回路 リアクトル L₂ の損失 S_{d2}

$$S_{d3} = \frac{E_{IP}}{E_{FN}} = \exp\left(\frac{-\pi}{\sqrt{Q_2^2 - 1}}\right) \cdots (3.12)$$

ただし
$$Q_2=rac{\omega_{P2}L_2}{R_2},\;\omega_{P2}=\sqrt{rac{1}{L_2C}}$$

水銀整流器の等価試験・阿部・山口・池田・塚本

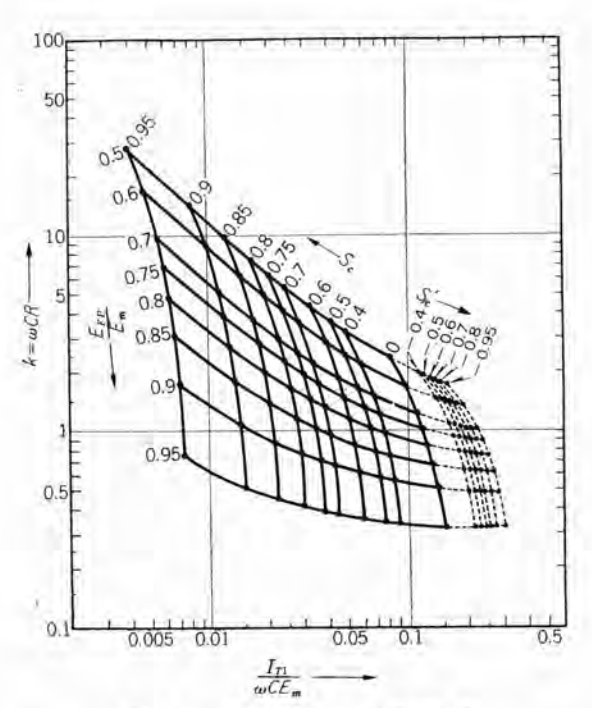


図 3.1 等価試験回路の計算図表 I

Fig. 3.1 Calculated chart on equivalent test circuit I.

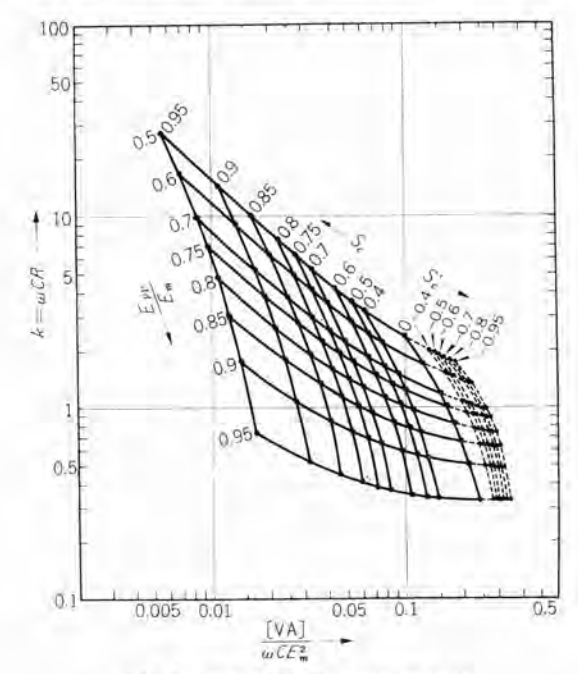


図 3.2 等価試験回路の計算図表 II

Fig. 3.2 Calculated chart on equivalent test circuit II.

Ltch \circ τ $S_a = S_{d1}, S_{d2}, S_{d3} \cdots (3.13)$

高圧回路の計算においてはまず飛躍逆電圧 E_{IN} が設定され、 S_{d1} 、 S_{d2} 、 S_{d3} はそれぞれ既知であるから式(3.10)、(3.4) および式(3.9) より順次 E_{FP} 、 θ_F 、 θ_0 が求まり、ついで式(3.3)から k が決定される。かくて θ_F 、 θ_0 、k が与えられると式(3.6)~(3.8)から充電回路の電流、VA を計算することができる。

図3.1 および図3.2 はそれぞれ S_c と $E_{FP}|E_m$ を パラ

Jータ とした充電回路定数 $k=\omega CR$, 充電電流平均値 I_{rr} および充電所要 VA の計算図表であり、すべて基準化された数値で示されている。図中、

 $S_c>0$ の範囲は反転管 T_c を使用し、コンデンサ 電圧を 1 サイクル に 2 度逆転させた場合

 $S_c=0$ は図 2.1 の R_T が十分小値であり、図 2.2 の位相 (Λ) - (Λ) 間に コンデンサ の電荷が全部消耗される と考えた場合 $(E_{IP}=0)$

 S_c <0 は反転管を使用せず、かつ漏洩抵抗 R_r が十分大で、図 2.2 の θ_a 期間中に電荷の消耗がほとんどない場合。この状態ではg 形波状逆電圧は点線のように E_{FN} まで持続され、g の充電は g より始まる。

 $\frac{E_{FN}'}{E_m} = -S_c' \quad \text{total} \quad S_c' = S_{u1}, \quad S_{u2}$

図表の使用例

3,000 kW イグナイトロン の等価試験を一例にとり高圧試験回路の定数選定ならびに所要 kVA を算出する.

設定値

飛躍逆電圧 Ein=8kV

振動電流 ira の波高値 Im=333 A

振動電流 irs の終期電流変化率 di dt=2 A μs

リアクトル L_1 の損失率 $S_{d1}=0.9$

高圧回路の総合損失率 Se=0.8

高圧 トランス 二次電圧最大値 E_n=10 kV

の毎サイタル充放電下の等価試験では

 $E_{FP} = E_{IP}/S_{a1} = 8.9 \text{ kV}$

 $E_{FP}/E_{m} = 0.89$

C は振動電流の I_m , di/dt, および E_{IN} より 6.9×10^{-6} F である、

したがって充電管 T_1 の平均電流 I_{rr} , 充電抵抗 R, トランス の所要 VA は図 3.1 および図 3.2 の S_c =0.8, E_{FP}/E_m =0.89 に対応する点から

 $k=\omega CR=0.85$

 $I_{T_1}/\omega CE_m = 0.028$

 $VA/\omega CE_{m}^{2} = 0.05$

 $C=6.9~\mu\mathrm{F},~\omega=2~\pi f=377~(60~\mathrm{c/s}),~E_{\mathrm{m}}=10~\mathrm{kV}$ 支人 れると

充電抵抗 R=330 Ω

T₁ の平均電流 I_n=0.75 A

高圧 トランス の kVA=13 kVA

が得られる。上記数値は反転管を使用した場合であるが反転しない場合は $(S_c < 0)$

 $E_{FP}/E_m = 0.89$, $S_c' = -0.8$

したがって図3.1.3.2より

k=0.48 したがって R=185Ω

72 (314)

 $\bar{I}_{T1}/\omega CE_m = 0.27$ $\bar{I}_{T1} = 7 \text{ A}$ $VA/\omega CE_m^2 = 0.31$ kVA = 81

1-記反転の有無の場合の比較から、反転方式が消費電 力低減にいちじるしく有利であることが証明できる.

結局反転回路を使用した等価試験では 3,000 kW、1,500 V 用整流器の飛躍逆電圧 8 kV (6 相で 16,000kW)までの tube の試験が高圧回路 13 kVA, 低圧源 190kW (低圧トランス二次相電圧 167V, 低圧側直流電流 1,000A)のわずかな電力で試験ができ、この数字は等価試験がいちじるしく経済的である根拠を示している。なお消費電力中高圧回路の占める % はわずかであり大部分が低圧源の損失であるが、低圧トランスの相電圧を化成電圧程度に 100 V とすれば全体の所要電力はさらに 140 kW に低減される。

4. 等価試験法

整流器の逆弧は大部分陽極電流の転流終了後、いわゆる飛躍逆電圧域において発生し、この領域の逆弧率は陽極一格子空間の残留イオン密度と飛躍逆電圧Eに関係する通常の転流波形では残留イオン密度は転流終期の電流変化率 di/dt に比例するから逆弧率は di/dt と E の積の関数として現わすことができる。等価試験法ではこの両者は陽極電流に重畳する振動電流の零点における di/dt, ならびに逆転した コンデンサ 電圧 E_{LN} として与えられ、高圧試験回路中の定数 L_1C および コンデンサ 充電電圧 E_c によりそれぞれ別個の変数として任意に調整でき、したがって発生逆弧率を広範囲に制御できる。試験法としては di/dt ならびに飛躍逆電圧のいずれか一方を変数として逆弧率曲線を求め実負荷相当の di/dt あるいは E まで外挿して運転中の逆弧率を推定するのである。

したがって試験法は

- (1) di/dt ならびに振動電流波高値 I_m を一定とし、 飛躍逆電圧 E だけ変数とする逆弧率曲線
- (2) E および I_m を一定、di/dt を変数とする逆弧率曲線

を求めることに帰着する。もちろん両者のそれぞれについて負荷電流,動作温度などを副変数として各使用状態 に対する逆弧耐力の試験、研究を行なう。

し、また変数の調整も容易であるから当社では特別な Case を除き(1)を標準方法として各種整流器の試験に 適用している。

4.1 di/dt および /m 一定, E を変数とする等価試験

等価性の成立のためには、試験電流、電圧の関係が実 負荷波形を忠実に再現し、また振動電流零点の残留イお 密度を実負荷条件に一致させることが必要条件である。 振動電流はこのような見地から波形ならびに陽極電流末 尾への重畳位相関係の最適条件が決定されなければなら ない。

筆者らは経験的に次の方法により実用上満足すべき電 流関係が得られた.

図 4.1 は 2,000 kW, 1,500 V 用整流器の全負荷時の 電流波形模擬の一例である。図において θ は転流開始点 よりの経過時間であり、点線は実負荷時の転流波形、鎖 線は低圧源トランスによる同じ負荷電流下の転流波形であ る。振動電流は斜線のように、両者の転流波形の空げき を埋め、かつ下記条件を充足するように選定される。

- (1) 振動電流重畳後の envelope を可及的実負荷波 形に近似させる。
- (2) 振動電流零点の di/dt は実負荷転流終期のそれ に一致する。
- (3) 図4.1 の δ は直列阻止整流器の消 イお 時間 το に比し十分余裕あるように選択する. (δ>το) この条件が満たされない場合は、振動電流零点における飛躍逆電圧印加の際、直列阻止整流器が再点弧し、高圧試験電圧が低圧源へ侵入する.

経験的に得られた好ましい振動電流の波高値 I_m は、 陽極電流波高値 I_a の約 1/3 であり高圧回路の簡単な過 渡現象の計算から損失分を無視して

$$I_m = \frac{E_c}{\sqrt{L_t}} \frac{I_a}{3} \dots (4.1)$$

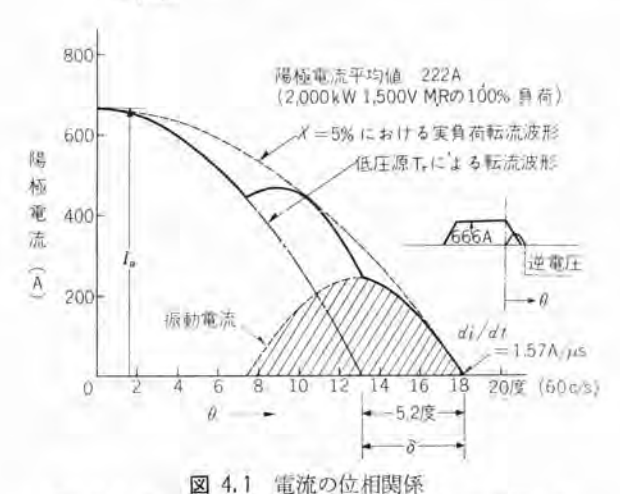


Fig. 4.1 Curves representing current phase relation.

水銀整流器の等価試験・阿部・山口・池田・塚本

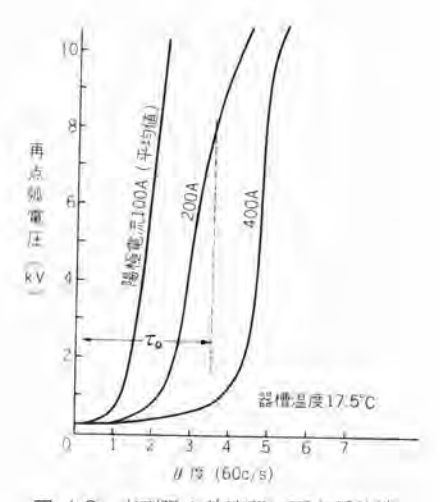


図 4.2 直列阻止整流器の再点弧特性 Fig. 4.2 Reignition voltage characteristics of series valve.

- 方 di/dt は実負荷時の転流率

たたし α : 格子制御角、u: 重畳角 に一致させるように E_c および L_1 を調整し、

$$\frac{di}{dt} = \frac{E_c}{L_1} = \left(\frac{di}{dt}\right)_{t=0} \tag{4.3}$$

として決定される.

式 (4.1), (4.3) より所望の I_m , di/dt に対して決定された L_1 , C の値は上述 (3) の条件から $\delta \approx \frac{\pi}{2} \sqrt{L_1 C} > \tau_0$ の関係を確保することが必要である.

図 4.1 では I_m =222 A= $I_a/3$, di/dt=1.57 A/ μ s の振動電流が重畳されている。多少の凹凸はあるが、実負荷転流波形と良く近似し、また直列阻止整流器の再点弧に対する余裕時間は δ =5.2 (eL) で、図 4.2 の直列整流器の再点弧特性実測値(陽極電流 200A, τ n=3.5°), に比較し十分な余裕を有する。

di/dt, I_m 一定のもとに E ($\stackrel{\cdot}{=}E_c$) を変数として試験を行なうには、各電圧の Step において式 (4.3) から di/dt 一定なるように L_t を変え同時に振動電流の波形一定なるように C を調整するのである。この操作は一見複雑なようであるが実際にはあらかじめ table を作っておけば簡単に行なうことができる。

5. 等価試験の実施例

現在まで、予備実験を含め風冷ならびに液冷形各種 イヴナイトロンの等価試験を行ない、新管種の開発、内部構造と性能の関係、その他設計資料を得るための諸種の基礎研究を行なうとともに、工場の試験の装置では製作される各器種について一連の等価試験を実施し タンク の固有差の比較、裕度の判定に利用し着実な成果を収めている。

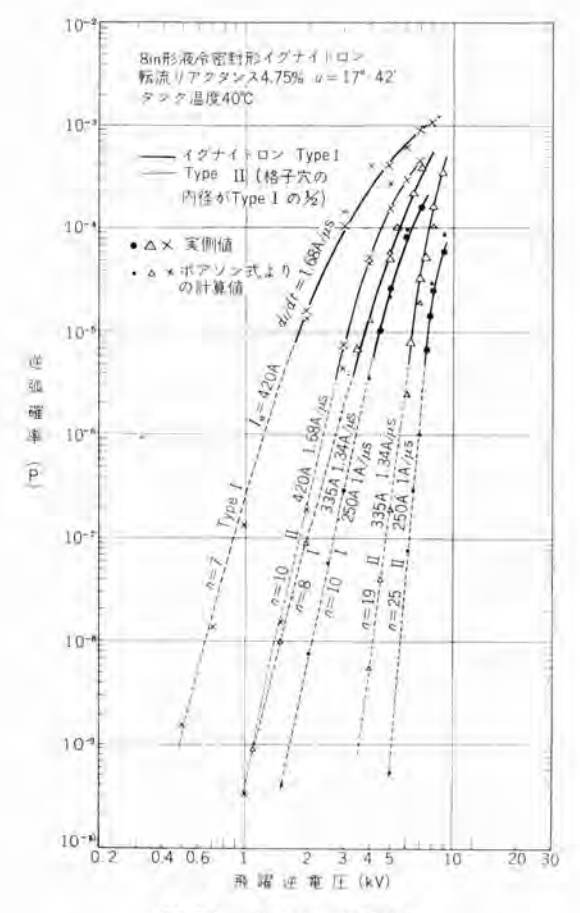


図 5.1 逆電圧と逆弧回数

Fig. 5.1 Frequency of arc-back as a function of inverse voltage.

以下多くの実施例のうち、その代表例について概要を 説明する.

5.1 di/dt 一定、飛躍逆電圧を変数とする等価試験

図 5.1 は イヴナイトロン機関車に使用する液冷 8 in 形密 封イヴナイトロン に対する実施例である. 陽極電流を副変数 とし、各陽極電流において転流リアクタンス は 4.75% で等しく、したがって重畳角は各電流でいずれも 17-42'(α=0) としてある. 振動電流波形および 上電流への重畳位 相は 4.1 の方法に準拠し、 di/dt もそれぞれの陽 極電流に対する リアクタンス 4.75% の実負荷転流率に一致させている. なお イヴナイトロン は電気機関車用として十分な裕度と安定度を有することが必要であり、このため数種の異なる構造のものについて諸特性を比較したが、図 5.1 は格子穴だけが異なる 2 種の タンク について逆弧率の比較を示している. 格子穴の小なるほど逆弧耐力が増加するが、一方 サージ 発生限界電流が低下する傾向があるので、実際には両者の協調点を考えた最適設計のものが製品として採用されている.

5.2 逆弧責務を変数とする逆弧率曲線

図 5.2 は L_1 および C 一定のもとに E を変数として 逆弧率を測定し、これを逆弧責務 $(di/dt \times E)$ の関係に 74 (316)

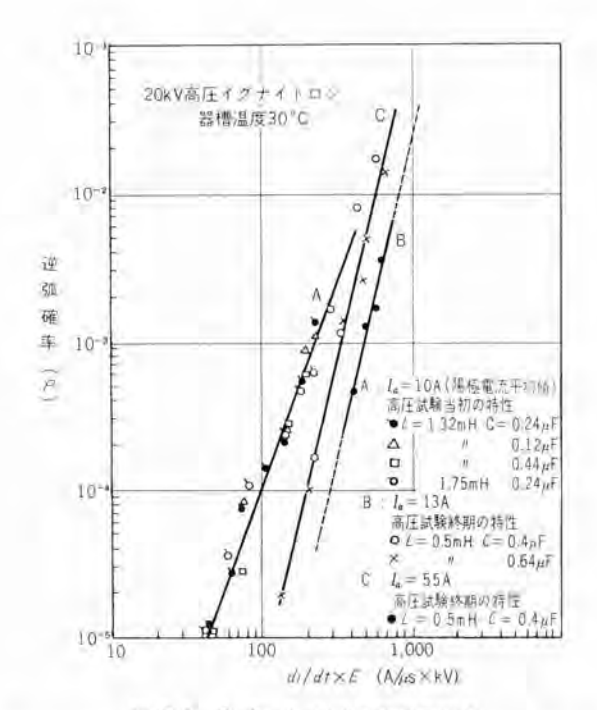


図 5.2 di dt×E と逆弧確率の関係

Fig. 5.2 Relation between arc-back frequency and $di dt \times E$.

まとめたものである。実施例は 20kV 高圧 ペットディジ ナイトロン⁽⁶⁾において、陽極電流をそれぞれ 10 A およびそ の定格値である 50 Aについて等価試験を行なった結果 を示している. とくに 10 A の場合では試験当初(曲線 A) と諸種の試験を実施したのちふたたび同一条件で再 測定した(曲線 B)結果を示しているが、明らかにある 期間高圧負荷をかけ、また試験的に遊弧(そのエネルギは 実際の逆弧に比し格段に小さい) させることにより特性 が顕著に向上することがうかがわれる。なお図5.2では C および L_1 を変更して測定しているが、この実験結果 により次の結果が導かれる. すなわち陽極電流消滅直後 の逆弧確率は前述のように逆弧責務で現わしうることを 述べたが、陽極部の消イお、構造、周囲条件いかんにより 電流消滅直後の残留イオッは単に電流変化率だけでなく 通電中の陽極電流波高値、あるいは等価試験で重畳する 振動電流波形の影響が無視できない場合がある. Cおよ び L, の変化は それにより振動電流の波高値ならびに 通電周期を変え、消弧後の残留イオンに上記波形の影響が 導入されるが測定結果では C. L. をかなり広範囲に変 化しても カーラ は逆弧責務により 一律に決定される結果 を示している。 これは高圧イグナイトロン の陽極が 3 段の 格子で シャペイ され消イオン 時間 τ が十分短く振動電流の 幅の小さい範囲でもなおかつ T/2≫r の関係が成立する ためと思われる.

・般に水冷形で負荷電流が小さく、消イわ特性の良好 な整流器において上述のような結果が得られ、逆弧責務 を変数とする逆弧率曲線の表現により、その整流器の逆 弧特性に関する全般の傾向を把握できる。

5.3 容量限度曲線

図5.1の逆弧率曲線は最終的に図5.3の容量限度曲線に整理することができる。この曲線群では許容逆弧率をパラメータとする整流器耐量の新しい表現法で表わされている。従来までの実負荷試験ではかかる年間逆弧率の推定は不可能でありまた設備の点から試験電流、電圧に個限を受け広範囲な電流、電圧耐量の決定は経済的な面から実施できなかった。図5.3ではその整流器の使用限界が明了であり、また構造による特性の差異が適確に把握できる。単極整流器ではその性格上、真空管と同様。単管としての性能を明示することが望ましいが、図5.3のようなカーラをタンクの使用温度および代表的な転流リテクタンス%をパラメータとして示しておけば連続負荷に対する整流器の性能をほぼ完全に表現することができる。

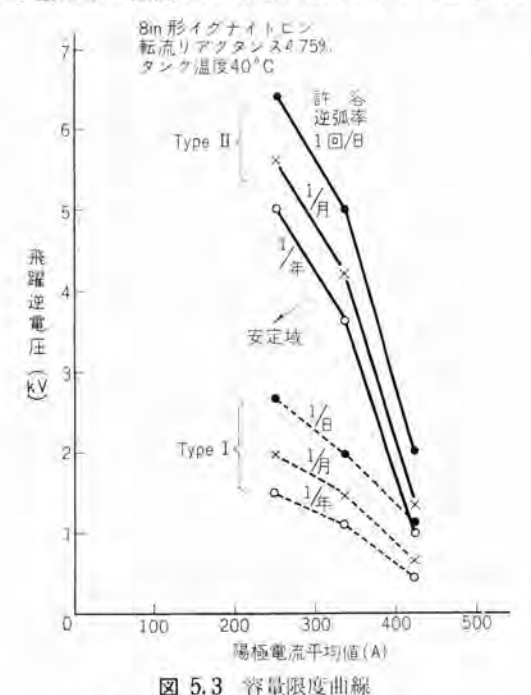


Fig. 5, 3 Load capacity curves.

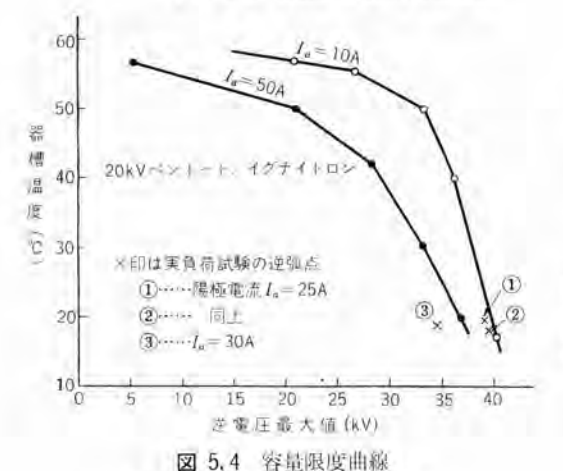


Fig. 5.4 Load capacity curves,

図5.4は20kV ペントード、イヴナイトロンの容量限度曲線の例を示している。この曲線は厳密な意味での等価試験ではないが、等価試験法の応用として十分な成立の根拠を有する。この容量曲線は次のようにして決定することができる。まず図5.2の逆弧責務を変数とした逆弧率曲線から逆弧が di/dx×E により一律に決定されることが示されるが、この曲線を下方に延長して実負荷時の di/dx×E での外揮点を求めると、たとえば C 曲線で 6A/μs×kV (リアクタンス 5% で定格 50A、飛躍逆電圧 20kV の回路責務)において数年間に1回の逆弧率、逆電圧 40kVにおいてすら1回/1年の低逆弧率であり、飛躍逆電圧領域の逆弧発生はほとんど考慮する必要なく、図 2.4 (f)の オシログラム (正弦波電圧を重畳した等価試験法) から逆弧は電圧最大値で発生することが知られる。

この結果等価試験として飛躍逆電圧、di/dtの厳密な模擬は必要なく単に逆電圧さえ供給すれば十分な等価性が得られることがわかる。試験法としては、所定の陽極電流において内部状態が安定した後、供試器を高圧ならびに低圧源のいずれもより切離し、別のさらに高圧の電源より供試器単独に逆電圧だけ印加し、逆孤限界を求めるのである。図5.4では陽極電流をパラメータとして逆弧電圧と器槽温度の関係を示しているが、このペントード、イグナイトロンが定格 20 kV を上回る十分な耐量を有することが示される。なお図中 × 印は実負荷試験の逆弧点であり、三相直流側短格試験により逆電圧 50 kV までの負荷試験を行ない実負荷と等価試験が タンク の固有差の範囲でよく一致することが証明された。

5.4 整流器の性能向上への応用

等価試験は高圧回路の E. L., C の変更により逆弧発生率を任意に制御できるから、前述の容量、裕度判定手段だけでなく、適当な逆弧条件のもとに タンク の構造、運転条件に関する比較研究を行ない設計ならびに運転の最適条件を得るために利用される.

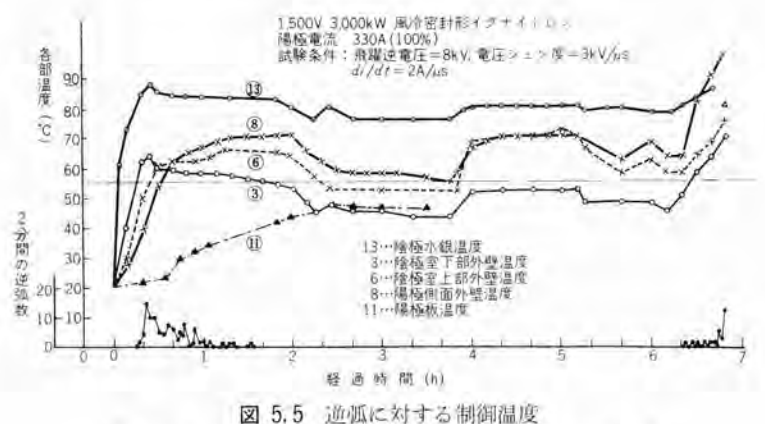


Fig. 5.5 Decision of control temperature on arc-back.

(1) 逆弧に対する制御温度

図 5.5 は 3,000 kW, 1,500 V 風冷密封形 イクナイトロン の温度制御に関する等価試験適用の一例である. 単極整 流器は陽極が陰極の真上にあるため槽内の平均蒸気圧が 高く、適切な設計ならびに冷却対策が性能向上に対する 重要な問題である. このためまず タンク 各部温度中, 内 部蒸気圧ならびに逆弧に対して支配的な影響を有する部 分, すなわち逆弧に対する制御点とその限界温度を知る ことが第1条件である. この問題の究明のため3,000kW 風冷 イヴナイトロン を原形とした研究用 イヴナイトロン を製作 し、タンク の外側 10 数個所、陰極水銀ならびに内部放電 空間に温度計を挿着し内部構造,負荷電流と各部温度,時 定数ならびに逆弧との関係を徹底的に追求した。 図 5.5 はその一部であり等価試験法により 100% 負荷時の転 流率に相当する di/dt (2A/µs) のもとに飛躍逆電圧 8kV (実負荷では 1.5 kV 程度) を 7 時間 毎 サイクル連続に印 加し、この間 ファン の オン、オフ、高速、低速運転によ り各部の温度分布を変更し、いずれの部分の温度が逆弧 に対する制御点であるかを求めたものである、図では代 表的に5ヵ所の温度曲線を示しているか、陰極室下部温 度③ が逆弧ひん度分布と対照して密接な相関があり制 御温度であることがうかかわれる。またこの試験例で は逆弧に対する制御温度の上限は飛躍逆電圧 8kV にお いて 56°C であるが、実負荷ではこの電圧は 1.5 kV 程 度であるからさらに高温まで許容しうる。また内部構造 に関する研究の結果許容温度は大幅に引上げられ、製品 に適用して温度特性をいちじるしく向上させることがで

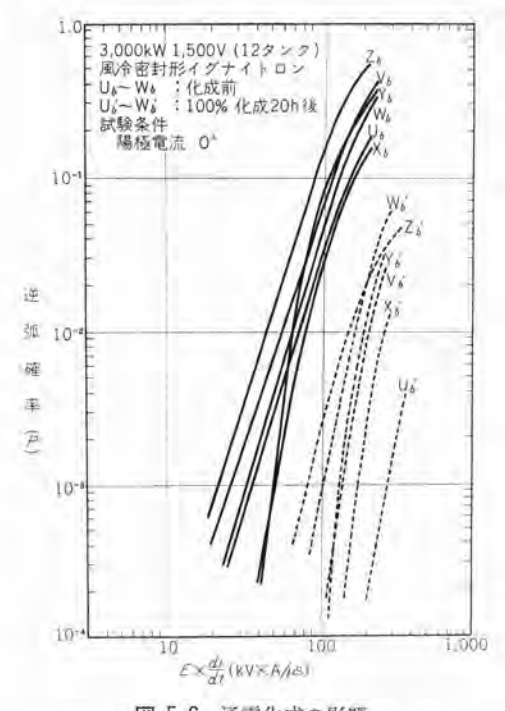


図 5.6 通電化成の影響 Fig. 5.6 Effects of current formation.

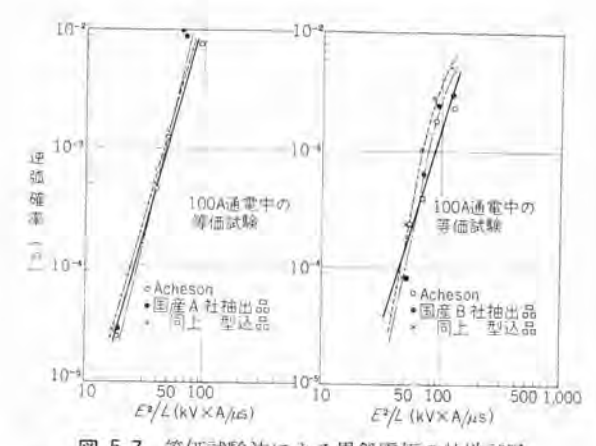


図 5.7 等価試験法による黒鉛電極の特性試験 Fig. 5.7 Comparison test on graphite electrodes by means of equivalent test method.

きた。

(2) 化成効果の比較

陽極材質よりの脱力ス、すなわち化成状態は逆弧成因の重要な要素である。長期間運転後の整流器はいわゆる「枯れ」効果により逆弧耐力がいちじるしく改善されることはしばしば経験されるところであるが、運転初期の整流器では通電化成の追加により性能が向上する場合が認められる。図5.6 は 12 タンク、3,000 kW, 1,500 V 風冷イグナイトロンに対し、すえ付後現地で100% 通電化成20時間実施した前後について同一測定条件で逆弧率を比較したものである。現地試験の関係上、等価試験は無負荷で振動電流だけ毎サイクル 通電し、逆電圧を変数として 12 タンク 全極について逆弧率を比較したが、図5.6 はその半数の6 タンク 分の比較を示している。程度の差があるが全 タンク とも逆弧率は 1/100 程度に改善され、これは結果的に「枯れ」効果を通電化成により早めたものと解釈される。

このほか、密封形整流器で タンク 全体の高温排気処理 後、通電化成の要否が問題となるが、等価試験により通 電処理前後の特性が定量的に比較検討され製造、ならび に品質管理上の有力な結論を得ることができた。

(3) その他

密封形整流器の安定運転上重要な真空度と遊弧耐力の関係が検討され(6)、数種の 300 の実験結果から陽極よりの脱ガスが十分行なわれていれば、300内部真空圧力が数 10 5000 の高い圧力下でも逆弧耐力に顕著な影響がなく十分使用に耐える結果が得られた。

また整流器の使用材料の選択, 処理法など、工作、製造管理面にも等価試験が利用され図5.7 は陽極 グラファイトの選択基準として メーカ および製法差によりどの程度の特性差異があるかを比較したものである。 各試料は試験条件を厳密に合わせるため、同一鉄槽 タンク 内部に幾何学的にまったく対象の位置に3個の試料を陽極として配

置し、電流パランサにより3陽極並列に化成し、かつ同・ 化成履歴のもとに逆弧率を比較したものである。この測 定例の結果では メーカ 別、ならびに グラファイト 製法とし て従来の抽出法と最近の モールド 法によるいずれの製品 でもほとんど大差がなくむしろその後の処理法が重要な 影響を有することが示された。

6. 等価試験法による逆弧率曲線ならびに性能の評価

5 章において飛躍逆電圧ならびに逆弧責務を変数とする逆弧率曲線の測定例を示し、これらの カーブ を外挿して整流器責務の残りの範囲の逆弧率を求めることを示した。この外挿法には統計上よく知られた ポアソン の公式

を適用することができる.

ここに P は平均が μ であるとき n なる値をとる世の確率である。

この公式の適用に関しては Kingdom & Lawton(3) は 逆弧の統計的分布の原因が通電中の陽極前面におけるブ ラズマ中のイオン密度の統計的変動によるものであり、陽 極表面の JA なる面積に At の時間内に平均 μ 個の イ オン が射突するとき、n 個以上の イオン が射突すると必 ず逆弧するという仮定に立脚している。あるいは Wasserrab により陽極表面上平均 μ 個の電子放射が行なわ れている場合、イオン 化または電子放射の過程でこの公式 から得られるn個の電子が放射されると逆弧を発生する という解釈(7)もある、逆弧の機構は非常に複雑であり、 これに関連する個々の問題の研究は進歩しているが、す べての現象を説明できるような総合的な究明は行なわれ ていない. ポアソン の公式は逆弧研究の物理的面を解釈す るのに用いられたが、本質究明に対する根本的意義はさ ほど明了に認められない. しかしいずれにしてもこの公 式は逆弧率曲線に適用して良好な一致を見出すことがで きる. 平均値 μ は逆弧責務すなわち di/dt と逆電圧 E の積に比例し、たとえば図5.1の測定例では di/dt は一 定で逆電圧だけ変数としているから μ の変化は Ε の増 減によってだけ起る. E の変化による µ の相対的変化 とこれに対応する逆弧確率の変化から μ と n を求める ことかできる。図5.1では実測値と計算曲線の対応を示 しており図5.3の負荷容量曲線はこのポアソンのカーラの 外挿により決定された。なお1回/1年程度の点までカー jの全 コース を推定し、かつ相当の精度を有するために は少なくとも1回/1時間程度の逆弧率まで測定点を得て おく必要がある.

n は管の品質度 (Valve Quality) と称することがで 水銀整流器の等価試験・阿部・山口・池田・塚本

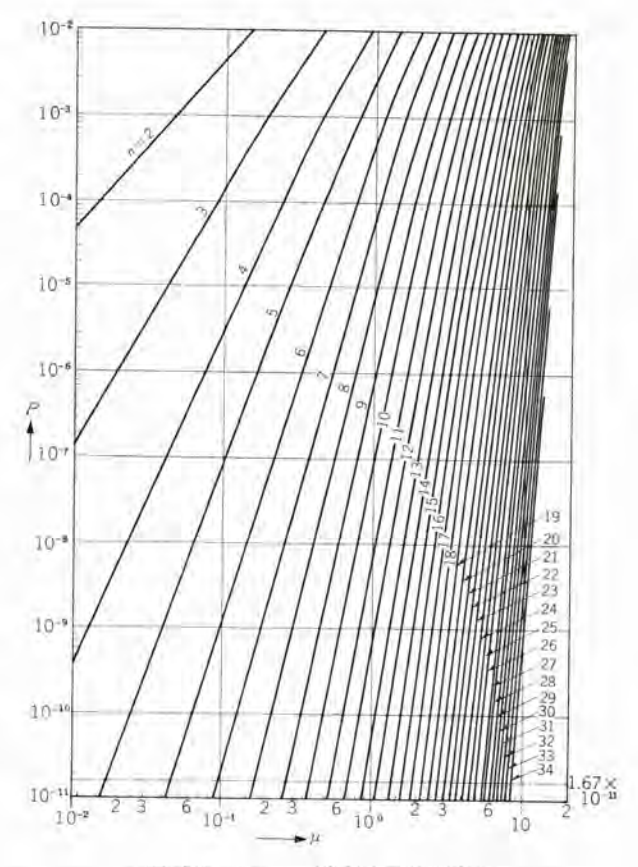


図 6.1 ポアソン の 方程式の計算図表

Fig. 6.1 Poisson's equation represented graphically.

き整流器の設計、材料の質および処理のような不変の要 素と、負荷電流、温度、逆電圧 シュン度など可変の要素の 両方に関係する. n が大なるほどある逆弧率に対して多 くのイおり 射突, あるいは電子の放出が許容される結果と なり管の品質が良好であるとみなされ、実用的な タンク で は逆弧統計上 n≥7 の範囲にある(7)(8). Wasserrab は品 質度 n と整流器の性能(最大許容転流責務)の関係につい て一連の論文(7)(9)(10) から次のような結論を見出してい る. すなわち時間に対して連続な負荷において年間6整 流器あたり1回の逆弧発生率(逆弧率P=1.67×10-11)と なるような責務 $(di/dt \times E)$ を最大許容転流責務 B_m とし、 一方図 6.1 の ポアソン 確率の グラフ (n=34 まで計算) か らそれぞれのnに対応する許容逆弧率 1.67×10^{-11} の μ が決定される。 μ は前述のように転流責務 B と比例関 係にあるから多くの実測例について B と µ の比例定数 がわかれば逆弧率曲線から決定されたりに対して許容逆 弧率に対する μ が図 6.1 から求まり、 μ と B の比例定 数から最大許容転流責務がただちに推定できる. この比 例 定 数は文献(7)から $\mu=3.9\times10^{-11}\,B_m$, $B_m:A/S\times V$ で示されている。しかし著者の実験ではたとえば図 5.1 の一群の カーブ から比例定数は 2×10⁻¹⁰~1.02×10⁻¹¹ の 間に分布し平均 4.9×10-10 となり 1 ケタ 大きい値となっ ている.この数字は小数例であり、早急な結論は下せな

いが、飛躍逆電圧 ション 度が両者の相違に対する有力な原因の一つと考えられる。

この比例定数は管の品質度nと整流器の許容責務を量 的に結びつける点に意義があり、今後逆電圧 シュン 度を パラメータ とする多数の実測結果から決定的な数値を見出 す必要がある。

7. 変動負荷時の逆弧率の推定

前述の限界容量ならびに逆弧率の推定はいずれも連続 負荷に対するものであるが、周期的変動負荷に対して は、時間的に変動する転流責務から予想逆弧率 P(t) を 決め

$$P_{m} = \frac{1}{T} \int P(t)dt \approx \frac{1}{T} \sum P(t) \Delta t, \quad T = \sum \Delta t \cdots \cdots (7.1)$$

から平均逆弧率 Pm を求めることができる.

たとえば周期的変動負荷の代表例として \mathbf{Z} 7.1 のような イグナイトロン の運転曲線(1 駅区間)を想定する。この負荷曲線に対応する \mathbf{D} 3 用変圧器の二次相電圧ならびに飛躍逆電圧、イグナイトロン 陽極電流は時間的に図示のように変化し、この運転責務に対する推定逆弧率曲線P(i)4 は \mathbf{Z} 5.1 から Type I, Type II のそれぞれについて鎖線のような曲線が得られる。北陸線において \mathbf{Z} 6 区間を \mathbf{Z} 7 行往復運転されるとすれば推定平均逆弧率は式(7.1) から Type I について \mathbf{Z} 7 一つの機関車に積載される \mathbf{Z} 8 タンク あたり年間 1 回の逆弧率が \mathbf{Z} 8 × \mathbf{Z} 9 あたり年間 1 回の逆弧率が \mathbf{Z} 8 × \mathbf{Z} 9 から飛躍逆電圧域で生ずる正常逆弧は絶無に近いと考えてさしつかえがない。 Type II ではさらに低い逆弧率である。

上記の推定は連続負荷に対する図 5.1 の カーラ から得られたものであり、したがってその結果は実負荷より若 下 苛酷な数字と考えられる。電鉄用変動負荷に対する整流器の定格決定法は重要な問題となっているが、もちろん上述のような簡単な推定法は、比較的長周期の変動負荷に適用されるのであって一般の電車用負荷にそのまま

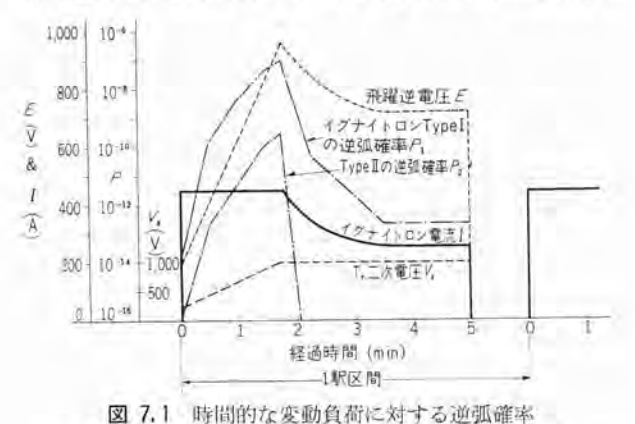


Fig. 7.1 Are-back probability for variable load with respect to time.

適用することは危険である。負荷変動に伴う内部蒸気圧 の過渡現象、変動負荷の統計的取扱法など今後の重要な 研究課題として残された問題は多い。

8. 等価性についての考察

逆弧は転流終了時の陽極一格子間に存在する残留イヤル n と飛躍逆電圧 E の関数として確率的に表わされることは前述のようである。したがって等価性を論ずる上にはまた上記二つの素因が実負荷状態とどの程度に対応するかを検討することが必要である。

8.1 実負荷転流時の残留荷電体(11)

転流期間中、陽極電流の時間的な減少過程に追随する 内部荷電体密度 n の変化については Wasserrab により プラズマ中の イヤン 発生の割合が陽極電流に比例すると仮 定して次式が成立することが示されている。

$$\frac{dn}{dt} = Ai_a(t) - \frac{n}{\tau} \tag{8.1}$$

ここにnは 1 オン 数、 τ は 1 オン の平均寿命、A は比例定数である。陽極電流が転流前平たんな波形であり、 プラズマが定常状態にあるとすると、陽極電流の振幅を I_a として dn/dt=0 から

$$A = n_0/\tau I_d \qquad (8.2)$$

伝流中の陽極電流の変化を余弦関数として

$$i_a = I_a \cos \omega t$$

と仮定すると式(8.1)から

$$\frac{dn}{dt} + \frac{n}{\tau} = AI_0 \cos \omega t \tag{8.3}$$

初期条件として t=0 で dn/dt=0, $n=n_0$ を入れて転流終了時の残留イオン n_{tr} を求めると

$$n_{tc} = n_0 \left[e^{-\frac{tc}{\tau}} + \left\{ 1 + (\omega_T)^2 \right\}^{-\frac{t}{2}} \right]$$

$$\times \left\{ \cos\left(\frac{\pi}{2} - \varphi\right) - \cos\varphi \cdot e^{-\frac{tc}{\tau}} \right\}$$

$$\varphi = \tan^{-1}\omega_T$$
(8.4)

ここに t_r は転流期間 (重畳角 u に相当する)、 n_{to} は 転流終了直後の残留イわ密度である。これ より 求め た n_{to}/n_0 は図8.1 に示されている。 $\left(\omega t_c = \frac{\pi}{2}\right)$

転流期間 t_r が イ t_r の平均寿命 τ に比し十分大きい ときは

$$t_{c} \tau \gg 1$$

$$\cos\left(\frac{\pi}{2} - \varphi\right) = \sin \varphi \approx \tan \varphi = \omega_{T} = \frac{\pi}{2} \frac{\tau}{t_{c}} \ll 1 \quad \left(\omega_{t_{c}} = \frac{\pi}{2}\right)$$

$$1 \text{ Then } t_{c} = \frac{\pi}{2} \text{ Then } t_{$$

$$\frac{u_{tc}}{u_0} = \frac{\pi}{2} \frac{\tau}{t_v}$$
 (8.5)

逆に り≪す のときは

$$\frac{n_{lc}}{n_0} \approx 1 \qquad (8.6)$$

$$j_{ ilde{I}}$$
 $\left(rac{di_a}{dt}
ight)_{tc} = rac{\pi}{2} rac{1}{t_c} I_a$ であるから

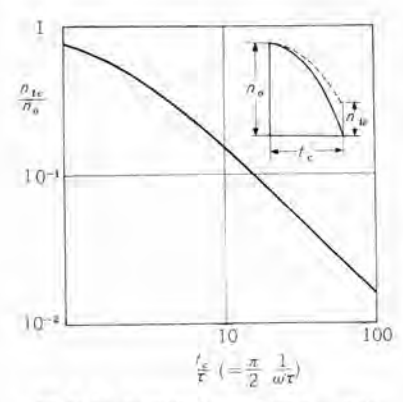


図 8.1 転流波形と残留 イオン 密度 (Wasserrah による)

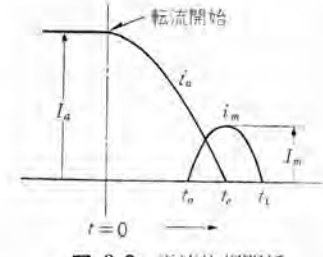
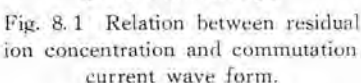


図 8.2 電流位相関係

Fig. 8.2 Current relation.



Le≫τ の場合の式 (8.5) は

$$\frac{n_{tc}}{n_0} = \frac{\tau}{I_a} \left(\frac{di_a}{dt}\right)_{tc} \tag{8.7}$$

電流 I_u のもとでは内部条件が一定で n_0 , τ は変化し ないから式(8.7)は転流直後の残留イお密度が電流変化 率 di dt だけで決定されることを示す。 le と T の関係 は消イた時間の長い風冷式イグナイトロンの場合でも定格負 荷電流下で、 τ=100 μs 前後であり、一方転流期間 to は 1 ms 程度であるから tc/て=10 となり図8.1 から式(8.7) の関係が十分満足される.

8.2 等価試験法による振動電流終了時の残留イオン 密度

8.1 のように実負荷転流波形では転流終了後の残留イ to 量は didt に比例するが次に当社で行なっている図 4.1 のような電流重畳関係では振動電流波形ならびに上 電流への重畳位相により残留イオン はどのように影響さ いるかを検討して見よう.

図8.2を参照して

- (1) 低圧通電時の陽極電流振幅を I。
- (2) 転流開始時を時間の原点にとる
- (3) 転流中の陽極電流を i_a = I_a cos ωt
- (4) 時点 t_0 で $i_m = I_m \sin \beta(t-t_0)$ の高圧通電開始
- (5) 時点 tc で ia の転流が終り、 h で振動電流が 流れ終る

とすると式(8.3)と同様にして

$$0 < t < t_0$$

$$\frac{dn}{dt} - \frac{n}{\tau} = AI_0 \cos \omega t \qquad (8.8)$$

$$t_0 < t < t_s$$

$$\frac{dn}{dt} - \frac{n}{\tau} = AI_0 \cos \omega t + AI_m \sin \beta (t - t_0) \qquad (8.9)$$

$$t_c < t < t_1$$

$$\frac{dn}{dt} - \frac{n}{\tau} = AI_m \sin \beta (t - t_0) \qquad (8.10)$$

(8.10)が成立する. これに対し

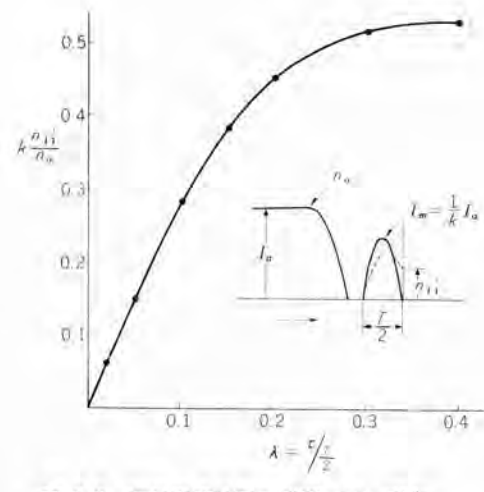


図 8.3 振動電流波形と残留 イオン 密度 Fig. 8.3 Relation between residual ion concentration and pulse current wave form.

$$t=0$$
 で $n=n_0$
 $t=0$ では $\frac{dn}{dt}=0$ したかって $n_0=AI_a au$ $(i_a=I_a {\rm const})$
 n は連続である

の条件で上式を解くと
$$t_r < t < t_1$$
 に対して
$$\frac{n}{n_0} = \left(1 - \frac{1}{1 + \omega^2 \tau^2}\right) e^{-\frac{t}{\tau}} + \frac{\omega \tau}{1 + \omega^2 \tau^2} e^{-\frac{t}{\tau}(t - t_0)}$$

$$+ \frac{\beta \tau}{k(1 + \beta^2 \tau^2)} e^{-\frac{t}{\tau}(t - t_0)}$$

$$+ \frac{1}{k\sqrt{1 + \beta^2 \tau^2}} \sin \left\{\beta(t - t_0) - \varphi'\right\} \qquad (8.11)$$
ただとし $k = I_0 I_m$, $\varphi' = \tan^{-1} \beta \tau$

$$t_{\epsilon}$$
 ≫ とすると近似式として
$$\frac{n}{n_{0}} = \omega \tau e^{-\frac{1}{\tau}(t-t_{0})} + \frac{\beta \tau}{k(1+\beta^{2}\tau^{2})} e^{-\frac{1}{\tau}(t-t_{0})} + \frac{1}{k\sqrt{1+\beta^{2}\tau^{2}}} \sin\left(\beta\left(t-t_{0}\right)-\varphi^{t}\right)$$

$$= (8.12)$$

が得られる.

振動電流 im の通電終了時の残留イオン nu を求めると

$$\beta(t-t_0) = \pi
 n_{t_1} = \omega \tau e^{-\frac{1}{\tau}(t_1-t_c)} + \frac{\beta \tau}{k(1+\beta^2\tau^2)} e^{-\frac{\pi}{\beta\tau}} + \frac{\beta \tau}{k(1+\beta^2\tau^2)}
 \cdots (8.13)$$

とくに振動電流が主電流の転流終了後に通電され(4 >に) 振動電流の点弧時主電流による残留イオンの影響が 存在しないものとすると式 (8.13) の第1項は消え

$$egin{aligned} & \frac{n_1'}{n_0} = \frac{eta au}{k(1+eta^2 au^2)} (1+e^{-\frac{\pi}{eta au}}) \\ & \le \exists \, \& \, eta = 2\pi \frac{1}{T} = \frac{\pi}{2} \frac{T}{2} \quad \hbox{ただし} \quad \frac{T}{2} \quad \hbox{は振動電流} \\ & \qquad \qquad \varnothing \, \Hat{
m B} \, \ddot{ ext{lim}} \, \ddot{ ext$$

また^T/₂ = λ とおくと

$$\frac{n_{t1}'}{n_0} = \frac{\pi \lambda}{k\{1 + (\pi \lambda)^{\frac{q}{2}}\}} (1 + e^{-\frac{1}{\lambda}})$$
(8.14)

となり電試,高橋氏の計算結果(18)と一致する.

図8.3は式(8.14)の関係から λ と k^{nu'} の関係を求

めたものである.

振動電流終期の電流変化率は

$$\left(\frac{di}{dt}\right)_{tt} = -\beta I_{tt} = -I_{tt}\pi / \frac{T}{2} \infty 1 / \frac{T}{2}$$

の関係にあるから、残留イね 密度が振動電流半波の di/dt に比例する範囲は図8.3 の直線部分である。図では $\lambda < 0.15$ の範囲において残留イね の相対比 $k^{R_{ij}}_{n_0}$ は $1/\frac{T}{2}$ したがって $\begin{pmatrix} di \\ dt \end{pmatrix}_{ii}$ に比例するが、イね の平均寿命 τ が長くなり λ がそれ以上になると比例性が失われる。

したがって等価試験では振動電流の幅を、消イわり時間との関係において λ <0.15 の範囲に押える必要があり、4 章で述べたように di/dt を変数とする逆弧試験は、di/dt の大なる試験範囲で L→小、したがって振動半波の幅 $T/2=\pi\sqrt{LC}$ も短くなるから $(\lambda \rightarrow \pm)$ 測定 b- $\bar{\jmath}$ の範囲も制約を受け、また結果的に等価性の成立範囲を再検討する必要ある場合が多い。この理由からわれわれは E を変数とする試験法を採用し振動電流の重畳関係も図 4.1 のような満足すべき条件下で行なっている。

8.3 振動電流の dildt と逆電流

8.2 において振動電流波形と残留イお密度の関係式が得られたが次に実験例をあげこの関係が成立することを証明する。電流消弧後の残留イお量は間接的に陽極へ流入する逆電流として測定できるので、著者らは図8.4 (d) の回路で振動電流の di/dt と陽極逆電流の関係を測定した。図において等価試験回路中、供試器 T10 にさらに補助整流器 T11 を直列に接続し主電流を T11 に流し逆電圧印加時に供試器に流れる陽極逆電流は補助整流器の並列分路中、i、として測定できる。この方法では di/dt, 逆電圧, 逆電圧 シュン 度を変数とする逆電流の広範囲な研究が可能である。図8.4(a)(b)(c) は3,000 kW、風冷式密封形イグナイトロンにおける逆電圧シュン 度と逆電

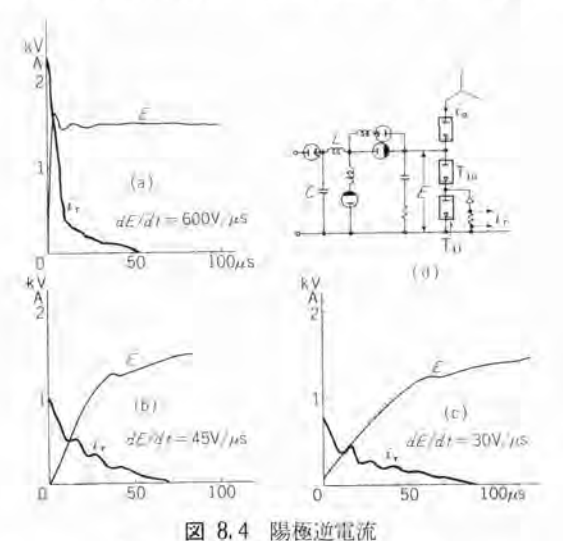


Fig. 8.4 Anode reverse current.

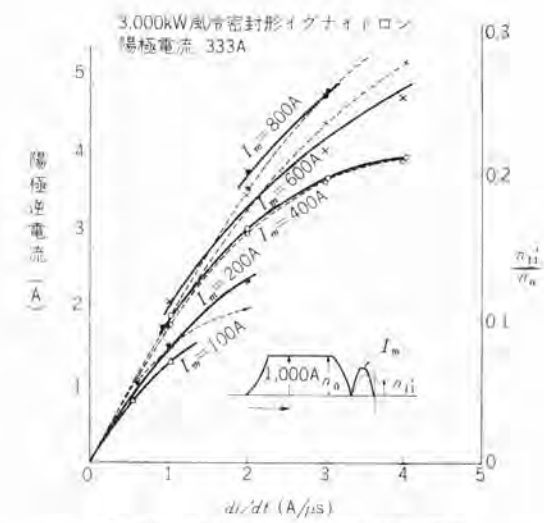


図 8.5 陽極逆電流と相対 イおン 密度

Fig. 8.5 Anode reverse current and relative ion concentration.

流波形の測定例である。これらの波形では逆電流の積分量はほぼ一定であり、逆電圧 シュン 度が大なるほど逆電流は加速され セン 頭値が大きく、存続期間の減少することが示される。ここにはそれらの詳細について述べられないが、逆電圧印加下の陽極逆電流波形、時定数は陽極一格子空間の幾何学的寸法と ガス圧だけで決まる前述の消 イヤン 波形、消 イオン 時間 τ と異なったものであり、電圧が零の場合に両者の波形は対応するものと考えられる。

図 8.5 は 3,000 kW 風冷形 イグナイトロン において、高 圧回路の L_1 , C, E を変え I_m , di/dt を変数として陽極逆 電流 セン 頭値を測定した結果であり逆電圧 E=1.5 kV, シュン 度 dE/dt=600 V/ μ s で行なわれている。

 I_m を パラメータ とする カーラ 上各点の振動電流半周期 $\frac{T}{2}(=\pi\sqrt{L_1C})$ は $\frac{T}{2}=\pi I_m$ $\frac{di}{dt}$ の関係から横軸の $\frac{di}{dt}$ に対して容易に決定することができ、したががって消イ $\frac{T}{2}$ がわかり式(8.14)から $I_m=I_a/k$ の各曲線に対する $\frac{T}{2}$ がわかり式(8.14)から $I_m=I_a/k$ の各曲線に対する $\frac{di}{dt}$ と $\frac{di}{dt}$ に対する実測値、点線は $\frac{T}{2}$ をした場合の $\frac{di}{dt}$ に対する実測値、点線は $\frac{T}{2}$ に対けるの $\frac{di}{dt}$ に対する実測値、点線は $\frac{T}{2}$ に対けるの $\frac{T}{2}$ に対けるの $\frac{T}{2}$ に対けるの $\frac{T}{2}$ に対ける $\frac{T$

逆電圧印加下の逆電圧測定値であるにかかわらず両者の カーブ は対 I_m 比および飽和の傾向ともかなり良い一致を示し、8.2 における推論の結果を裏づけている。

8.4 逆電圧シュン度の影響

逆弧の重要な要素である飛躍逆電圧については従来, その絶対値だけが取扱われ、シュン度の影響は多分に関心 が払われたのにかかわらず,これに関する報告はきわめ て小数である⁽²⁾. 事実,現在までの等価試験の報告では いずれも暗黙のうちにク形波状逆電圧を想定しているが、 高圧回路のLの分布容量ならびに配線の漂遊溶量のため

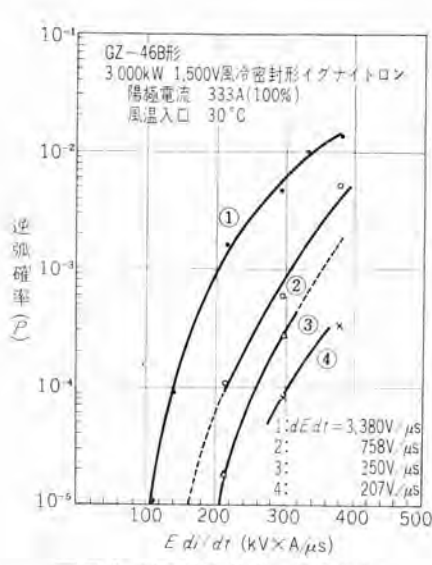


図 8.6 逆電圧上昇率と逆弧確率 Fig. 8.6 Relation between arc-back probability and dE dt.

逆電圧 シュン 度は有限の値をもち、 LC など定数の調整により程度は少ないけれども変化して測定の誤差を 生ずることがある。また等価試験により実負荷を代行し、あるいはその 試験結果から整流器納入後の逆弧率 を推定しようとする試みに対して当 然実負荷に近い逆電圧 シュン 度で等 価試験を行なう必要がある。

図 8.6 は逆電圧 シュン度と逆弧率の関係を電鉄用 3,000 kW 1,500 V 風冷イヴナイトロン で測定した一例である。 逆弧率は dE/dt により大きな影響を受け、たとえば dE/dt=3.38 kV/ μ s から 207 V/ μ s に下げることにより 1/100 程度に減少させることができる.

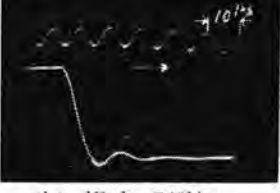
図8.7は試験逆電圧波形であり シュン度は図2.1 中 r_0 , C_0 , L_0 により変更した。図8.7(a) は ρ 形波逆電圧印加中 カメラ の長時間露出により逆弧位相を捕捉したものであり、逆電圧印加後約 $10 \mu s$ で逆弧を発生している。この逆電圧波形に対応する陽極逆電流波形は図8.4(a) のようなものであり、逆弧位相は逆電流最大値と一致せず、逆弧機構に関して逆電流、逆電圧それぞれの瞬時値の積を考えることは正しくないことが示された。このような傾向は最近の文献(s_0)とも一致しており逆弧理論の完明に新しい方向を与えるものと考えられる。

図 8.8 は逆電圧 シュン 度の実際例として 3,000 kW, 1,500 V イグナイトロン 電鉄用変電所における現地運転中の 実測波形であり、60% 負荷において飛躍逆電圧 シュン度 は 42 V/µs の低い値である.

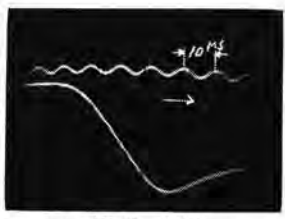
また図8.9は当社工場試験中の波形で実験的に サージ、 アブソーバ (陽極・陰極間に挿入) の有無についての比較が 示されている。サージアブソーバ の挿入により初期の寄生振



(a) dE dt = 8kV μs 10 μs 後逆弧発生



(b) $dE dt = 720 \text{V } \mu \text{s}$



(c) dE dt = 230V μs

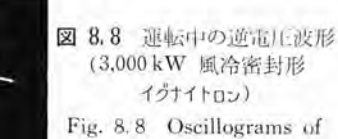
図 8.7 飛躍逆電圧波形 Fig. 8.7 Oscillograms of initial inverse voltage.

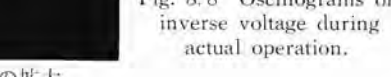


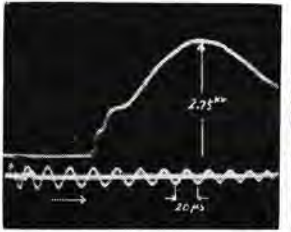
(a) 逆電圧1 サイクル 波形



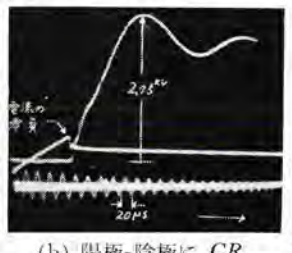
(b) 飛躍逆電圧の拡大 dE/dt=42V µs I_d=1,200A (60% load)



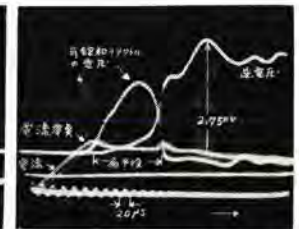




(a) Surge absorberがない 場合 dE/dt=142 V/μs



(b) 陽極-陰極に CR アラソーバ を挿入 (C=0.5 μF R=160 Ω) dE dt=56 V/μs



c) 陽極回路に可飽和 リァ クトル を挿入した場合 の逆電圧扁平段

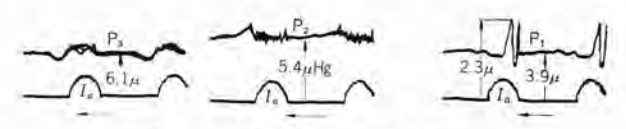
図 8.9 工場実負荷試験中の飛躍逆電圧波形 3,000 kW 1.500 V イラナイトロン (100% 負荷) Fig. 8.9 Oscillograms of initial inverse voltage during factory load test.

動部分が除去され シュン 度は 142 V/μs から 56 V/μs に 低減できる結果が得られたが、いずれにしても実負荷中 の逆電圧 シュン 度は非常にゆるやかである。したがって 等価試験法の逆電圧波形は、タンク 固有差、構造、運転条 件の比較など逆弧のかなり多い範囲での比較研究には高 い シュン 度が望まれるが、製品の裕度判定、実負荷中の 逆弧率推定などに対しては実状に合った電圧 シュン 度で 試験を行なう必要があり、今後多数の現地実測から等価 試験法の逆電圧波形を規定する必要がある。

図8.9 (c) は逆電圧 シュン 度の積極的な低減策として 陽極回路に可飽和リアクトル を挿入し、飛躍逆電圧初期に 接触変流器と同様な電圧扁平段を設けた場合の オシロ 波 形である。この逆電圧無電圧期間を陽極逆電流の存続期 間に対し十分余裕あるように選定すれば飛躍逆電圧域で 発生する逆弧は原理的に絶無であり、回路上の性能向上 策としてもっとも有効な手段と思われる. (14)

8.5 陽極電流終期におけるタンク内部蒸気流(15)

等価性に関する上述の考察はいずれも電気的回路で決まる振動電流と逆電圧波形についてその影響が考察された、逆弧の成因になる残留イわは電気的要素である はし だけでなく、陽極一格子室間の水銀蒸気圧によって影響を受ける、整流器内部では局部的な圧力分布の相違



(a) 陽極電流 Ia=100A 中の各部蒸気圧波形

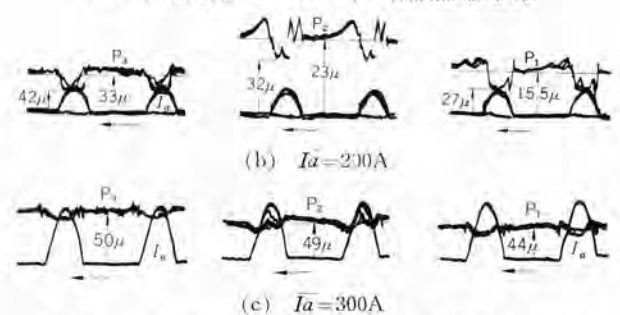


図 8.10 蒸気圧 おログラム (3,000 kW 風冷 イグナイトロン) Fig. 8.10 Oscillograms of mercury-vapour pressure. により蒸気流が生じ、また 1 周期間の アーク の点滅によって蒸気圧は周期的に変化し呼吸作用が現われる.

蒸気の流動が転流終了時まで継続し、陽極電流値によ りその様相が変化するならば、蒸気流は転流後の逆電流 に影響を与え、現象の解析を不可能にするような不規則 の要素が導入される.

図 8.10 はこのような蒸気流の挙動を知るため、放電形蒸気圧計により 3,000 kW、風冷式 イヴナイトロン の内部蒸気圧を測定した オシロ 波形である。 蒸気圧計は タンクの軸方向、格子下部 (P₁)、陰極室中間 (P₂)、陰極室下部 (P₃)、に相当する タンク 内側 3 カ所に設け、負荷電流、負荷の変動、冷却条件の変更など、各種条件下で蒸気圧波形を測定した。その結果いずれの波形も通流期間中は顕著な呼吸作用を生ずるが、転流終期において蒸気の移動は終了しており、消弧後の残留 イオン 状態にほとんど影響を有しないことを示している。

8.6 結 論

等価性に影響する諸要素を分析し、その成立条件について考察した、要約すると

- (1) 転流後の残留イわに対する蒸気流の影響は少な く, 逆弧は電気的要素である振動電流, 逆電圧波形によ り決定される。
- (3) di/dt を変数とする等価試験では、di/dt がある程度大きくなると振動電流の通流期間が短くなり (τ $\frac{T}{2}$ が大) となり等価性が失われる.
- (4) di/di を実負荷条件に合わせ、E を変数とする試験では十分な等価性が得られ、大部分の単極形整流器はこの方法により適当な逆弧率曲線が得られる。試験電圧の範囲で所望の逆弧ひん度が得られない場合はさらに大きな di/dt で試験しなくてはならないが、このように電

圧に強い整流器では消イz/時間が短いので di/dt を大きくしても(2)の必要条件が成立する.

- (5) 逆電圧 シュン 度は逆弧に顕著な影響を与えるので、電圧条件として飛躍逆電圧最大値だけではなく、逆電圧 シュン 度を忠実に再現させる必要がある。このため逆電圧波形に関する多数の実測からその シュン 度を規定することが望ましい、
- (6) 逆弧位相は逆電流のピークに一致せず、かなり遅れた位相で発生する。したがって残留イわ密度と飛躍逆電圧の積で表わされる逆弧責務の定義は今後新しい見地からその物理的意義を再検討する必要がある。なおこの内容は逆弧本質究明に関する基礎的な問題であり、今後研究の発展にともない、振動電流波形と残留イわ密度の関係と同様、等価性の成立に関する逆電圧波形の制限条件が問題となるであろう。

9. to t 75

大容量整流器を対象とする等価試験法はすでに研究過程を終り、装置、試験法、に関する多くの技術的問題が大半解決された。この方法は製品の性能判定手段としてのほか、設計ならびに運転条件の改善策の研究に全面的に利用し、当社整流器の進歩の上に重要な成果を収めつつある。また等価試験装置は単に逆弧の比較試験だけでなく、逆電流、再点弧阻止能その他整流器の内部現象に関する多目的な基礎研究に利用しており、今後これら一連の基礎研究により整流器の性能を飛躍的に向上させることが期待される。

擱筆にあたり、研究所電気第一研究室、安藤室長の不断のご激励、ならびに種々有益なご助言とご協力をいただいた伊丹製作所技術部、己斐副課長始め工作部関係各位に深く謝意を表するとともに、研究の初期から設備、試験全般に尽力された研究所、山田飯彦、高島惇の両氏の労に対し厚く御礼申し上げる。 (34-10-12 受付)

参考文献

- (1) G. Dobke: A.E.G. Mitt, 41, S-171 (1950).
- (2) M.M. AKOAUC. 他 Эпектриуество No. 7 CTP, 52~56 (1954). (電鉄用水銀整流器研究委員会資料 No. 58).
- (3) K.H. Kingdon, E.J. Lawton: G.E. Rev 42, No. 11 (1939).
- (4) 河合: 連大 251, (昭 30).
- 阿部·池田: 電鉄用水銀整流器研究委員会資料 No. 84.
- (5) 阿部・竹内・平塚・山口・池田:「三菱電機」31, No. 7, (昭32).
- (6) 阿部·山口: 連大 254, (昭 30).
- (7) T. Wasserrab; B.B. Rev. 42, 133~143 (1955).
- (8) Max. Danders: A.E.G. Mitt, 11 12 S. 588~598, (1958).
- (9) T. Wasserrab: B.B. Rev. 43, No. 3/4 92~101 (1956).
- (10) T. Wasserrab: B.B. Mitt. Nov. S. 467~475, (1956).
- (11) T. Wasserrab: Z. Angew. Phys. VII 176 (1955).
- (12) 高橋: 連大 397, (昭 34).
- (13) 亀谷·飯塚·黒田: 電鉄用水銀整流器研究委員会資料 No. 83.
- (14) 阿部: 連大 398, (昭 33).
- (15) 阿部·山口·池田; 関西支部連大 89, (昭 34).

技_術_解_説

自動制御(2)

研究所 真鍋舜治

8. 設計法

以上自動制御系の解析に関して主として述べてきて、あわせて系のループゲインをかえてよい応答を求めるという簡単な設計を行なった。しかし与えられた仕様をもとにして、まったく自由に設計を行なう場合には、最初からはっきり目標を定めて、全体として協調がとれるようにすることが大切である。

8.1 方法の概要

設計の方法はBode 線図とアナコムの組合わせを用いると便利がよい。その順序はつぎのとおりである。

- a. 仕様と拘束条件の記述
- b. 数学的 モデル の作製 仕様と拘束条件をみたす伝達関数を求める
- c. 実際の系の設計 求められた伝達関数を実現する系を設計する。
- d. 系の解析

アナコムによる計算

このうち d. はすでに述べたから、それまでの段階につき以下説明を加えよう。

8.2 仕様と拘束条件の記述

自動制御系設計の第1段階は、その仕様と拘束条件を記述することである。一般の仕様として、つぎの2種類がある。

- a. 出力信号の理想出力に対する近似度
- b. じょう乱に対する変数の偏差の限界

これらのうち、前者は n-3 の伝達関数を規定するのに反し、後者は、n-3 の中で個々の要素のもつべき伝達関数を規定することが多い、

拘束条件としては

- a. 機器の周波数特性
- b. 機器の信号対維音比
- c. 機器の人出力の最大値

があるが、設計の初期においては a. がいちばん大切で、b. c. は設計のさらに進んだ段階で改めて考慮し直すことにする。

設計の例として、前述の DCM 速度制御系で、つぎのような 仕様と拘束条件が与えられた場合を考えよう。

化 樣

a. 設定速度の変更にあたって、速度は振動的になることな く追従すること。

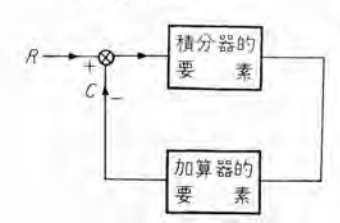


図 8.1 自動制御系

積分器的要素 積分器,時定数の大き な時間遅れ 加算器的要素 時間遅れ,むだ時間, 比例要素 b. 10% の トルク の外乱に対し、速度の定常偏差は 0.1% 以 内であること。

拘束条件

- a. 惯性能率 J=10 sec
- b. 速度検出器の時定数 0.1 sec
- c. DCM 電機子回路時定数 0.025 sec

8.3 数学的モデルの作製

仕様と拘束条件が与えられたら、これを満足するような、数学的 モデル を作ることができる。すなわち制御系を構成する要素およびそれが形成する ループの伝達関数を得ることができる

$$\frac{C}{R} = \frac{K/S}{1 + K/S} = \frac{1}{S/K + 1} \dots (8, 1)$$

ゆえに R(t)=u(t) に対する応答は、

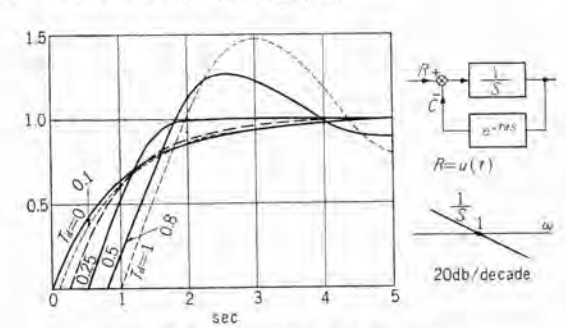


図 8.2 むだ時間を含む系の応動

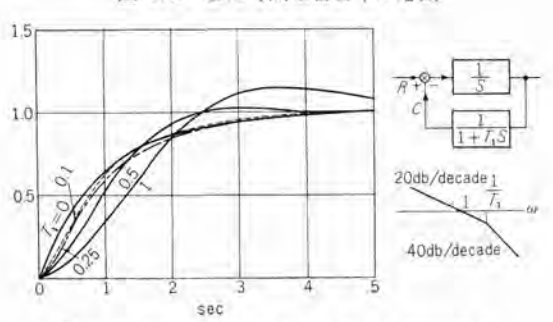


図 8.3 時定数を含む系の応動(1 個の場合)

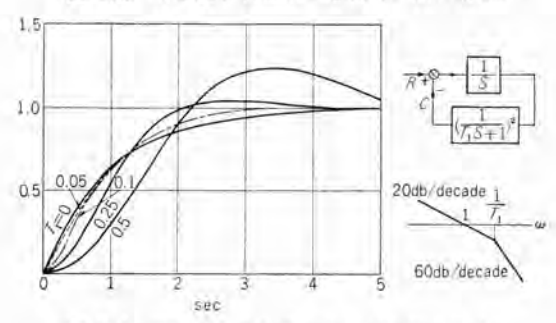


図 8.4 時定数を含む系の応動(2個の場合)

$$C(t)=1-e^{-kt}$$
(8.2)

となり、時定数 1/K なる時間遅れの系の応答を示す、いま K を 1 とおいたとき、加算器的要素をいろいろかえた場合の過渡 応答を図 8.2~8.7 に示す。

これらの図をもとにして設計を進めよう。

この系について加算器的要素は、速度検出器と DCM 電機子 回路であって、その時定数はそれぞれ 0.1 sec および 0.025 sec であるから、等価的に 0.125 sec の遅れと考えてよい。

なお念のため 0.1 sec と 0.08 sec のようなときは、0.09 sec なる値の等しい二つの時定数を考えること、また二次要素のときも適当な時間遅れ要素で模擬できることをつけ加えておく。したがって積分器的要素の振幅特性が 0 db をきる周波数を ω。とすれば、図 8.3 を用い、応答が振動的にならないためには、

$$\omega_0 T \le 0.25$$
 $\omega_0 \le \frac{0.25}{0.125} = 2 \text{ rad sec}$ (8.3)

つぎに 10% の トルク 外乱に対し、速度偏差を 0.1% 以下に しなければならない、 定常状態では次の式が成立する。

$$0 = T - T_L$$
(8.4)

A はnよりT に至る利得

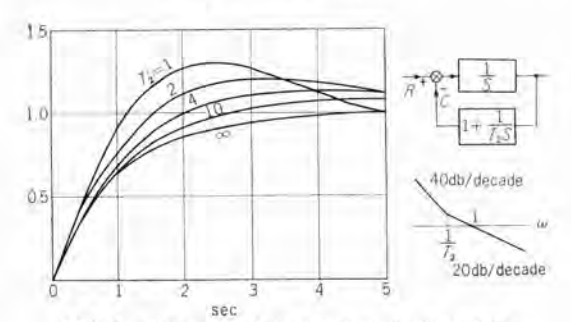


図8.5 積分要素を含む系の応動(1 個の場合)

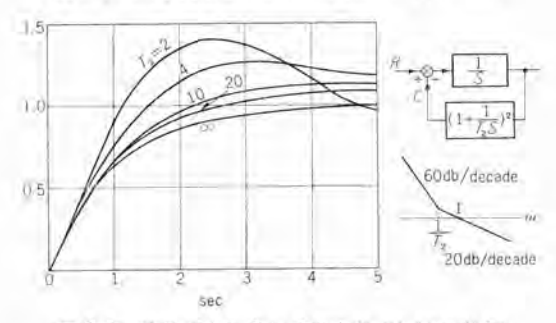


図8.6 積分要素を含む系の応動(2個の場合)

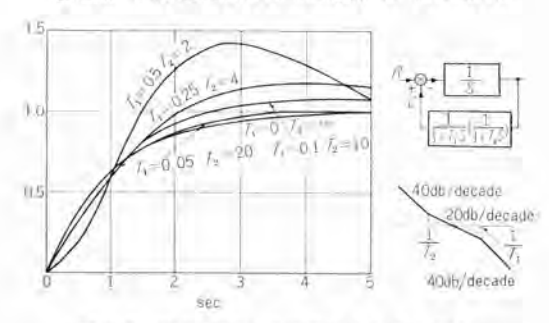


図8.7 積分要素と時定数を含む系の応動

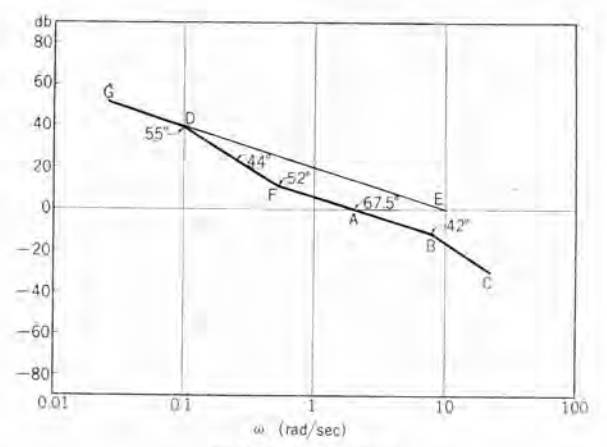


図 8.8 Bode 線図

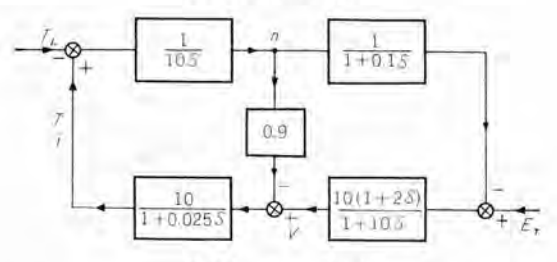


図 8.9 ブロック 線図

したがって

$$A = \frac{T_L}{n} = \frac{0.1}{0.001} = 100$$
(8, 6)

すなわち、低い周波数に関しては、開路伝達関数は

$$\frac{A}{JS} = \frac{100}{10S} = \frac{10}{S}$$
 (8.7)

また $\omega_0=2$ rad sec とすれば $\omega>\omega_0$ の特性はすでに得られているから、これらより Bode 線図をかけば、図 8,8 のようになる。高周波の特性 ABC と低周波の特性 GDE はかなりへだたっているから、どこかで接続しなければならない。そのためには図 8.7 を参照して $\omega=0.5$ 以下で、40 db decade の傾斜をもたせるとよい。その結果 GDFABC なる Bode 線図がえられる。なお簡易法によって計算した位相余裕も記入した。

このようにして得られた開路伝達関数はつぎのようになる.

$$G(S) = \frac{2}{S} \frac{1}{1 + 0.125S} \left(\frac{5 + 10S}{1 + 10S} \right) - \dots (8.8)$$

8.4 実際の系の設計

数学的 モデル ができたならば、これをもとにして、実際の系を作るが、制御系のどの要素に積分器的動作をさせ、どの要素に加算器的動作をさせるかを適確に定めなければならない。とくに現在の例のように、積分器的要素が自然に定まっている場合はよいが、位置 サーボ のように、系の中に積分器が本質的に2 個あるものについては、そのいずれに積分器的動作をさせるかについて十分注意を払わなければならない。

式(8.8)に示された数学的 モデル を実現する方法はいろいろあるが、一例としては図8.9に示されたものが考えられる。すなわち速度検出器より、水銀整流器に至る回路に適当な要素を入れて、全体として式(8.8)を満足させたわけである。

このようにして設計された系は、まだおおよそのものであり、 つぎに アナコム を用いて系を解析し、さらに改良の余地がある か否かを検討する必要があることはいうまでもない。

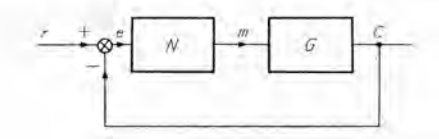


図 9.1 制御系の例

9. 記述関数法

一般の自動制御系は、少数の例を除き、ほとんど非線形要素を ルーラ の構成要素としてもつものである。これはとくに電動機などのように電気量より機械量への変換のようにディメンションの変換を行なう機器でいちじるしい、非線形要素を含む系では、解析の正確さは一にそれをいかに現実的に模擬するかにかかっている。

非線形 サーボ を解析する方法には、記述関数法と位相面による解析の二つがあるが、ここではまず前者について述べよう、 記述関数法は、非線形微分方程式の解法に古くから用いられている Harmonic Balance の方法を自制動御系に適用したもので考え方自身は決して新しいものではない。

9.1 方法の概要

いま非線形要素をふくむ制御系として、図9.1 のようなものを考えよう。一般に制御 ν -ブ を構成する要素に、非線形要素が多数ある場合でも、問題になる非線形性はその一つであることが普通であるので、非線形要素 N1 個だけを考えることは、必ずしも一般性を失わない、系を構成する他の要素は線形要素 G で代表される。

われわれが自動制御系における非線形要素の影響を論じる場合には、一般の非線形理論と異なり、割合安定な系について考慮する。すなわち N 以外の系でほぼ安定な応答がえられているときに、非線形要素 N の導入が系にどのような影響を与えるかが問題である。したがって G の特性は簡単に考えれば ω の増加につれてほぼ 20 db/decade で減衰するものとしてよい、いま非線形要素に正弦波入力がはいったとき、その出力は、かなりの高調波分をふくむものであるが、それらは Gによって減衰して一巡しないので、その基本波分だけを考慮すればよい、このように非線形要素の入・出力の基本波分だけを考え、その間の振幅の比と位相の差を比較すれば、一つの等価な伝達関数を得る。

一般にこの伝達関数 (記述関数) Nは入力eと周波数 ωの関数である。Nは非線形である以上必ず入力eに関係する。もしNが エネルギ 蓄積要素をふくむ場合は、N は ω にも関係する。また N は実数である場合と、位相遅れをもつ場合がある。飽和のように出力が入力の一個関数のときは、N は実数であるが、ヒステリシス や、エネルギ 蓄積部をもつときのように出力が入力の現在値だけでなく、過去の値にもよる場合は、位相遅れをもつ。

このように記述関数 N が求められたならば、N を線形要素のように考えて、系の安定度の目安をたてることができる。たとえば $\mathbf{29.1}$ の系では、開路特性は

$$\frac{C}{R} = \frac{NG}{1 + NG} \quad \dots \quad (9.1)$$

なるゆえ、系が安定なるためには $S=j\omega$ とおいて、 ω を変化させた場合

$$1 + N(\omega, E)G(\omega) = 0 - \cdots (9, 2)$$

式 (9.2) を満足させる ω 、E (入力eの振幅) が存在すること が必要である。安定度を調べる方法として、一般につぎの 2 法 が用いられる。

- (1) 複素面上に N (ω, E) と 1 G (ω) をえがき、いかなる ω, E の組合わせでも 2 曲線が交わらないことを確かめる。
- (2) デイシー位相図で $1N(\omega,E)$ と $G(\omega)$ をえがき、いかなる ω,E の組合わせでも 2 曲線が交わらないことを確かめる。

なお N=N(E) なるときは、N は 1 本かけばよいが、 $N=N(\omega,E)$ なるときは ω を n カメータ にして数本えがかなければならない。また N と 1 G の交点が存在すれば、そのときの E、 ω が持続振動(リミットサイクル と呼ばれる)の入力信号の振幅および周波数を示す。

9.2 記述関数の計算法

記述関数の計算はつぎの順序で行なう.

(1) 入力の設定

入力としては $e=E\sin\omega t$ を考えるのが普通であるが、場合によっては $e=E\sin(\omega t+v)$ なる入力を用いると便利がよい場合がある。

(2) 非線形関数の記述

非線形関数は条件のいかんによって種々の異なった関数形に かかれるものである。この条件と関数形を明記する。

(3) 出力波形

設定された入力が非線形要素を通ったとき、出てきた波形を グラフ および式の形にかく。式の形は、時間の区間に応じて、い るいろ異なっているので、時間の区間と式とを併記しなければ ならない。たとえば

$$f(t) = \begin{cases} f_1(t) & 0 < t < t_1 \\ f_2(t) & t_1 < t < \frac{2\pi}{\omega} \end{cases}$$

(4) 基本波分の計算

出力波形 f(t) が求められたら、その基本波分を求める。一般の非線形要素では、 $f(t) = -f\left(t + \frac{\pi}{\omega}\right)$ であるので、正弦波分 A、余弦波分 B は、

$$A = \frac{2}{\pi} \int_0^{\pi} \sin \omega t \cdot f(t) \cdot \omega dt \qquad (9.3)$$

$$B = \frac{2}{\pi} \int_{0}^{\infty} \frac{\pi}{\omega \cos \omega t} \cdot f(t) \cdot \omega dt \qquad (9,4)$$

(5) 記述関数

記述関数は式 (9.3), (9.4) よりつぎのように求められる。

$$N = N_1 + jN_2 = \frac{A + jB}{E}$$
(9, 5)

ただし入力として $e=E\sin(\omega t+\varphi)$ を用いているときは、E の代りに $Ee^{i\varphi}$ を用いる。

つぎに 2, 3 の例を示そう.

a. 飽和 線形域なし (図 9.2(a))

$$e = E \sin \omega t$$

$$f(t) = \begin{cases} 1 & 0 < t < \frac{\pi}{\omega} & (\boxtimes 9, 2(b)) \\ -1 & \frac{\pi}{\omega} < t < \frac{2\pi}{\omega} \end{cases}$$

$$A = \frac{2}{\pi} \int_0^{\frac{\pi}{\omega}} 1 \sin \omega t \, d\omega t = \frac{2}{\pi} \left[-\cos \omega t \right]_0^{\frac{\pi}{\omega}} = \frac{4}{\pi}$$

$$\therefore \quad N = \frac{A}{E} = \frac{4}{\pi E} \qquad (9.6)$$

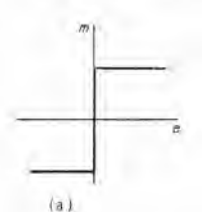
b. 飽和と tステリシス 線形形域なし (図 9,3(a)) e=E sin ωt ただし E>α

$$f(t) = \begin{cases} 1 & t_1 < t < \frac{\pi}{\omega} + t_1 \\ -1 & \frac{\pi}{\omega} + t_1 < t < \frac{2\pi}{\omega} + t_1 \end{cases} \quad (\boxtimes 9, 3(b))$$

 $t-t_1=\tau$

tetel E sin wt1 = a

計算を簡単にするため、つぎの変換を行なう。



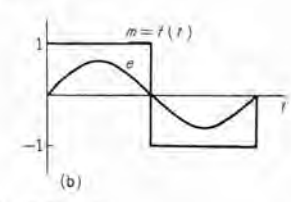
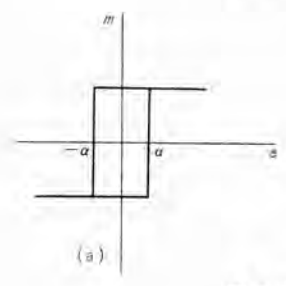


図 9.2 飽和要素



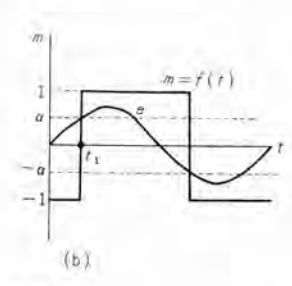


図 9.3 ヒステリシス 表 9.1 記述関数の表

要素	划数形	記述 上述 11周 数
飽和	1 -1	$\frac{4}{\pi E}$
線形領域 のある 飽和	$-\frac{1}{2}$	$ \begin{array}{c c} \frac{2}{\alpha\pi} & \theta + \frac{1}{2} \sin 2\theta \end{array} \right] E > \alpha \text{for } E \\ \frac{1}{\alpha} & E < \alpha \theta = \sin^{-1} \frac{\alpha}{E} \end{array} $
不感域 をもつ 飽和	a 1 1	$\begin{array}{cccccccccccccccccccccccccccccccccccc$
ヒセテリングス	-a in in in in in in in i	$\begin{array}{cccccccccccccccccccccccccccccccccccc$
不感域	-a 145°	$1 = \frac{2}{\pi} \left[\theta + \frac{1}{2} \sin 2\theta \right] E > \alpha \text{for } E$ $0 \qquad E < \alpha \theta = \sin^{-1} \frac{\alpha}{E}$
バッケ ラッシュ	-a 45°	$\begin{bmatrix} 1 - \frac{\omega \ell_2}{\pi} + \frac{1}{2\pi} \sin 2\omega t_2 \\ -j \frac{1}{\pi} \sin^2 \omega t_2 \end{bmatrix} - j \frac{1}{\pi} \sin^2 \omega_{\ell^2}$ $\not t \mathcal{E} \cup \sin \frac{\omega t_2}{2} = \sqrt{\frac{\alpha}{E}} \alpha < E$
飽和をも つ積分器	T/S LTR	$\frac{\frac{2}{\pi E}(1 + \cos \omega_{I1}) - j\frac{1}{\pi}\left(t_1 - \frac{\sin 2\omega_{I1}}{2\omega}\right)}{\sin \frac{\omega_{I1}}{2} = \sqrt{\frac{\omega}{E}}}$

したがって

$$e = E \sin \omega (\tau + t_1)$$

$$f(t) = \begin{cases} 1 & 0 < \tau < \frac{\pi}{\omega} \\ -1 & \frac{\pi}{\omega} < \tau < \frac{2\pi}{\omega} \end{cases}$$

$$A = \frac{4}{\pi}$$

$$\omega t_1 = \sin^{-1} \frac{\alpha}{E}$$

$$\therefore N = \frac{A}{E} \angle - \omega t_1 = \frac{4}{\pi} \angle - \sin^{-1} \frac{\alpha}{E} \qquad (9.7)$$

 $E<\alpha$ では出力は1または-1 で一定であるから、基本波分はなく、N=0 となる。

さらに一般に用いられる記述関数を表 9.1 にまとめた。またその数値例を図 9.5 に示す。

9.3 安定判别

記述関数が求められたならば、系の安定について日安をたてることができ、したがってどのような非線形要素なら系にはいってよいかについて概略をつかむことができる。いま一例として図9.4の系を考える。線形要素の伝達関数は

$$G(S) = \frac{10}{S(1+0.1S)(1+0.025S)} \cdots (9,8)$$

であって、非線形要素 N として線形域のない飽和要素がはいった場合である。N の記述関数は式 (9.6) より、

$$N = \frac{4}{\pi E}$$
(9.9)

安定判別は ディッー位相図を用いることにする。いま式(9.9) の ディッ 位相図をかけば、 \mathbf{Z} 9.6 のようになる。この上に -1 N の軌跡をかく。これは位相が -180 度で振幅は

$$20 \left[\log_{10} \frac{\pi E}{4} \right] = 20 \log_{10} \frac{\pi}{4} + 20 \log_{10} E$$
$$= -2.1 \text{ db} + 20 \log_{10} E \text{ db} \cdots (9, 10)$$

この二つの曲線は ω =20 rad/sec, -14 db, $E=\frac{4}{\pi}\times\frac{1}{5}$ =0.255 において交わるから系は E=0.0255, ω =20 rad/sec で持続振

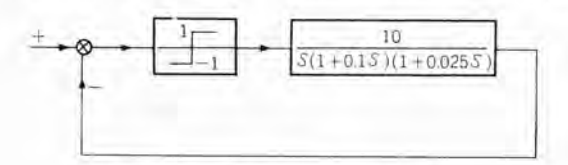
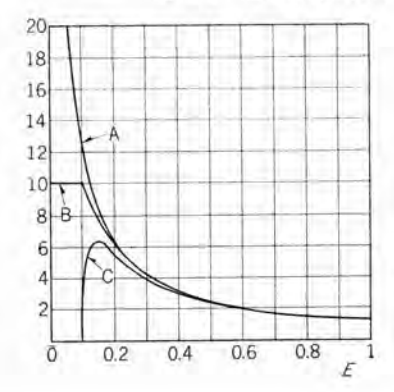


図 9.4 飽和要素を含む制御系



A: 飽和

B: 線形領域のある 飽和

C: 不感域のある飽 和

図 9.5 記述関数 α=0.1

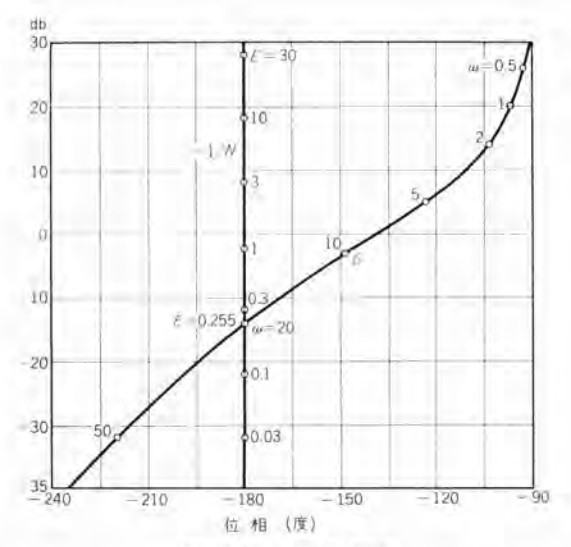


図 9.6 ゲイン 位相図

動をおこす。すなわち E>0.255 では安定領域にあるから振動は減衰し、また E<0.255 では不安定であるから振動は増大するので結局 E=0.255、 $\omega=20$ rad/sec で落着くわけである。

いま非線形要素として線形域をもつ飽和要素を入れれば、**表** 9.1 より

$$N = \begin{cases} \frac{2}{\alpha \pi} \left[\theta + \frac{1}{2} \sin 2\theta \right] & E > \alpha \\ \frac{1}{\alpha} & E < \alpha \end{cases}$$

すなわち N の最大値が $1/\alpha$ であるから、1/N>-14 db, $\alpha>-14$ db=0.2 とえらべば、安定な系が得られることになる。

10. 位相面による法

前述の記述関数法は、正弦被入力に対する定常振動に関する もので、階段関数に対する過渡特性に関しては、ほとんど目安 さえたてることができない。このような問題に関しては、ここ に述べる位相面を用いる方法が適していて、過渡特性だけでな く、系の安定性についても正確な予想がたてられる。

自動制御に関する理論で、今まで述べたものは、すべて S-平面において特性を論じてきたのと異なり、位相面による解析では、変数を横軸に、その微分値を縦軸にとった面、すなわち 位相面で問題を論じる。

10.1 方法の概要

位相面を用いる方法は、つぎの形の微分方程式をとくのに用いられる。

$$\ddot{x} + a(x, \dot{x})\dot{x} + b(x, \dot{x})x = 0$$
 (10.1)

位相面とは横軸に x を、縦軸に \dot{x} をとり、時間の経過とともにかわる。点 (x,\dot{x}) の軌跡をえがいたものである。式(10.1) の形の微分方程式を時間についてとくことがむずかしい場合でも、位相面における軌跡は、割合簡単に(少なくとも図式解法で)求められる場合が多いので、この方法が用いられる。初期条件 x(0), $\dot{x}(0)$ より出発する応答は、x(0), $\dot{x}(0)$ をとおる軌跡をたとることによって知ることができる。この軌跡が無限

に広かる場合には系は不安定であり、これが原点に落着くときは、系は安定と考えてよい。以上のことより位相面による方法 にはつぎのような制限が加わっていることがわかる。

- a. 位相面による法は、2 階の系だけに用いられる。
- b. 外力の加わらない系で与えられた初期条件に対する過渡 応答をとくのにだけ用いられる。
- c: 係数は x と x の関数で時間 t の陽関数の形ではない。 計算はつぎのような段階で行なうとよい・
- a. 与えられた微分方程式を式(10.1)の形に変換する.
- b. 変換された式につき, 位相面軌跡をかく.
- c. 系の特性を論じる.
- d. 要すれば位相面より t 領域にかき直す.

10.2 微分方程式の変換

一例として図 10.1 のような線形の項の前に飽和要素のとりつけられた系について考えてみよう。微分方程式はつぎのようになる。

$$\frac{1}{10}(0.125)\frac{d^3C}{dt^2} + \frac{1}{10}\frac{dC}{dt} = N(E) \cdots (10.2)$$

$$E = R - C$$
(10.3)

$$t=0$$
) $t \neq 0$, $t \neq 0$, $t = 0$;

 $\pm tz$ R=u(t)(10.4)

いま $10t=\tau$ とおき、C=R-E $(R=1,\ t>0)$ なる条件を入れると、

$$1.25\frac{d^2E}{d\tau^2} + \frac{dE}{d\tau} = -N(E) \cdot \cdots \cdot (10, 5)$$

$$\tau=0$$
 において $E=1$, $\frac{dE}{d\tau}=0$

すなわち C に関する式を偏差 E の式にかきかえると式(10.1) の形の微分方程式が得られる。

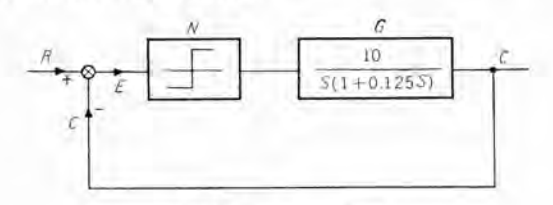


図 10.1 ブロック線図

10.3 位相面軌跡の作図法

位相面軌跡の作図法には、つぎの3法がある.

- a. 微分方程式を直接解いて軌跡を求める.
- b. 微分方程式の独立変数をτよりxにかえて、微分方程式 を変換し、これについて解を求める。
- c. 等傾度法を用いる.

上記のうち a.b. は計算による方法で、微分方程式の形が少し複雑になると使えない。c. は図式によって、軌跡を求める方法で、これについて次に説明を試みよう。

いま式 (10.5) に E=x, dE $d\tau=y$ なる関係を用い、かつ

$$\frac{d^2E}{d\tau^2} = \frac{dx}{d\tau} \frac{dy}{dx} = y \frac{dy}{dx} \cdots (10, 6)$$

を用いれば、つぎのようになる。

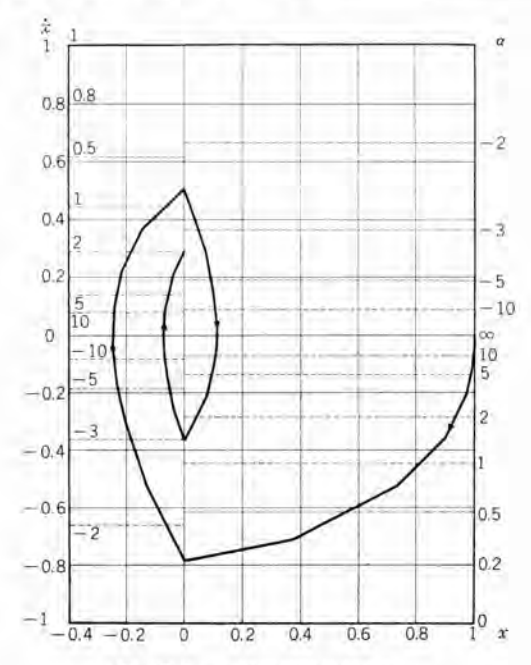


図 10.2 位相面軌跡等傾度法

1.25
$$y\frac{dy}{dx}$$
 + y = $-N(x)$ $N(x)$ =
$$\begin{cases} 1 & x > 0 \\ -1 & x < 0 \end{cases}$$
 (10.7) ここで dy/dx $= x$ とおけば

$$y = \frac{\pm 1}{1 + 1.25\alpha}$$
(10.8)

いま α にいろいろな値を入れて、式(10.8) を満足する軌跡(これを等傾度線と呼ぶ)をかく、この場合は軌跡はx軸に平行な直線となり、 $\alpha=0$ なら $y=\mp1$ 、 $\alpha=\infty$ ならば y=0 となる、これを用いれば、つぎのようにして位相面軌跡を求めることができる。

- a. 初期条件 (x_0, y_0) をとおる等傾度線より、その点において dy/dx のもつべき値すなわち、軌跡の傾斜をえて、その方向に直線をひく、
- b. この直線をつぎの等傾度線との中間までひき、ここで折まげて、つぎの等傾度線の指定する傾斜で直線をひく。
- c. つぎの等傾度線について同様の操作を行なう。 このようにして求めた位相面軌跡を図10,2に示す。

10.4 位相面軌跡の解釈

位相面軌跡を解釈するにあたって重要な点は特異点と りょっト サイクル の位置および性質であるから、このことについて説明を 加える.一般に微分方程式

$$\frac{dx}{dt} = P(x, y) \cdots (10.9)$$

$$\frac{dy}{dt} = Q(x, y) \quad \cdots \quad (10.10)$$

において特異点は、つぎの2式を連立して解いて得られる.

$$P(x, y) = 0 \cdots (10, 11)$$

$$Q(x, y) = 0$$
(10, 12)

いま式 (10.9), (10.10) をある初期条件のもとに解いた場合、この応答が時間とともにある値に収れんし、落着くものとしよう。しかるときは、エ.y の微係数は当然0となるから、式(10.

11)、(10.12)が成立し、この点は特異点である。しかし特異点はすべて安定なわけではなく、その性質を調べれば、その近傍での位相面軌跡の形によって、つぎの6種にわかれる。

- (a) stable node
- (b) stable focus
- (c) center
- (d) unstable node
- (e) unstable focus
- (f) saddle point

これらの概略図を図 10,3(a)(b)(c)(d)(e)(f) に示す。stable node の場合は、特異点は一様に収れんするが、stable focus のときは特異点のまわりをぐるぐるまわりながら収れんする。center のときは円またはダ円をえがいて収れんしない。unstable node、focus は stable node、focus と逆向きの経過をたどって発散する。saddle point ではある軌跡だけ収れんし、他では発散する。

特異点は、非線形系の基本的性質をよく示すものであるが、 これだけでは系の重要な特性を知るのに十分とはいえない、非 線形系には リミットサイフル と呼ばれる特異な現象がある、これの 性質と位置も知らなければ、系の特性を正しく把握することは できない、線形の系では、ある初期条件に対する応答は、徐々

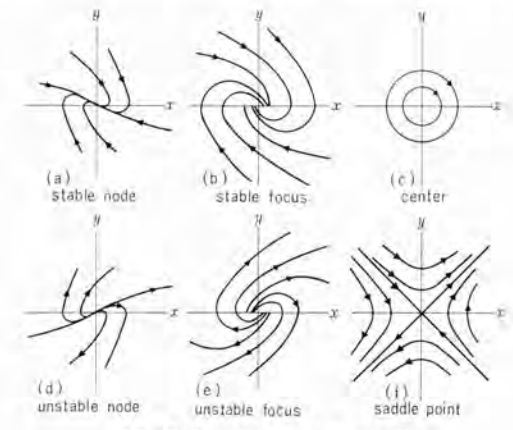


図 10.3 特異点のまわりの軌跡

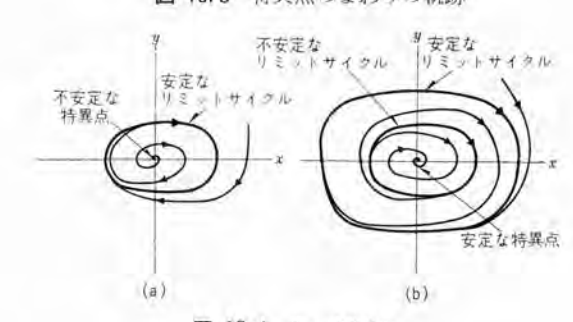


図 10.4 リミットサイクル

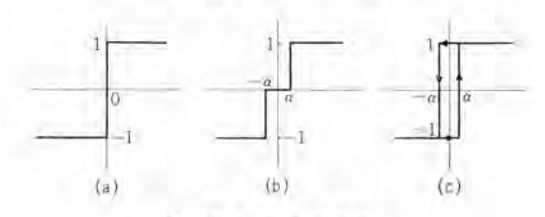
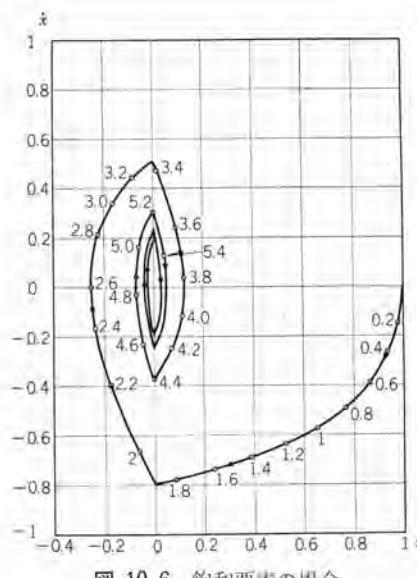
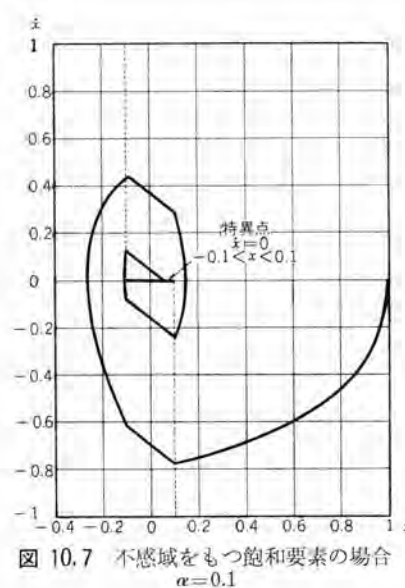


図 10.5 非線形要素





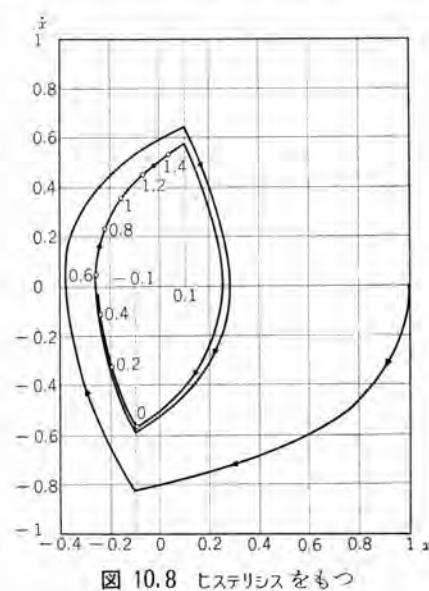


図 10.6 飽和要素の場合 時間の記入は簡易法による

飽和要素の場合 $\alpha = 0.1$

に減衰してある値に落着くか、徐々に発散してしまうものであ るが、非線形の場合徐々に減衰(増大)してある周期的な変化に 落着いてしまうことがある。この現象をリミットサイクルと呼び、 式 (10.9), (10.10) にはこのような周期的な定常解が特異点以 外にあることが多い。

リミットサイクル は位相面では図 10.4 (a)(b) のように、閉曲線 で示され、特異点と同じく安定なものと、不安定なものがある. (a) では安定な リミットサイクル の内部に不安定特異点のある場合 で、このリミットサイクルの外側から出発しても内側から出発して も, この リミットサイクル に落着く. (b) は安定な特異点を不安定 な リミットサイクル がかこみ、それをさらに安定な リミットサイクル が かこんでいる場合で、不安定なリミットサイクルの内部から出発す ると、特異点に落着いてしまうが、外側から出発すると外側の 安定な リミットサイクル に落着く.

いま式 (10.7) の例について、特異点と リミットサイクル を調べ てみよう. 式 (10.7) より

$$\frac{dx}{d\tau} = y$$

$$\frac{dy}{d\tau} = -0.8[y + N(x)]$$
(10.13)

N(x) としては現在図 10.5(a) のようなものを考えている. x=0 において N(x)=0 と解釈すれば x=0, y=0 が特異点 となるが、+1 か -1 と解釈すれば、特異点がなく系は発散す ることになる。この軌跡は図 10.6 に示されるように振動は徐 々に減衰しているが、その度合は時間のたつにつれて弱まって おり、完全に減衰するには、無限大の時間が必要であろう。こ のときは、安定な特異点と リミットサイクル の限界にある. いま非 線形の形をかえて図 10.5 (b) のようにすると特異点は

$$-\alpha < x < \alpha \quad y = 0 \quad \cdots \quad (10.14)$$

なる線分上のすべての点になる. この特異点は、実際安定なも ので、応動を求めれば、図 10.7 のように最終的には、この線 分上に落着く、この線分上のどの点にくるかは、初期条件いか んによる. つぎに非線形要素として図 10.5 (c) の形を選ぶと N(x) は必ず +1 か -1 のいずれかをとり、特異点はなくな

る. そして安定な リミットサイクル が生じ、初期条件がその内部に あっても、外部にあっても、すべてこの振動に落着く。 $\alpha=0.1$ とした場合の軌跡を図10.8に示す.

10.5 時間の求め方

位相面軌跡を、独立変数を変換して求めたり、等傾度法を用 いて求めたりすると、時間の目盛が軌跡にはいっていない。位 相面軌跡だけで、大体の系の特性はわかるものであるが、これ をさらに時間領域に変換する必要のある場合、位相面軌跡に時 間目盛を記入するための、簡単な方法をつぎに記す. 位相面軌 跡上の点 1,2間に要する時間は、つぎのようにして求められる。

$$t_2 - t_1 = \int_1^2 dt = \int_1^2 \frac{dx}{dx} = \int_1^2 \frac{dx}{y} \cdots (10.15)$$

いま位相面軌跡を図10.9に示すように、エ軸上に中心を有す る円弧と仮定する. 中心を (a,0) 半径を r, x 軸となす角を θ とすれば、

$$x = a + r \cos \theta \qquad y = r \sin \theta$$
$$dx = -r \sin \theta \ d\theta$$

ゆえに

$$t_2 - t_1 = \int_1^2 \frac{-r \sin \theta}{r \sin \theta} d\theta = -\int_1^2 d\theta = \theta_1 - \theta_2$$
.....(10. 16)

すなわち時間は、円弧が円の中心になる角となる。つぎにこの 角を求めてみよう. 図110.10 において BFE と AC は x 軸に

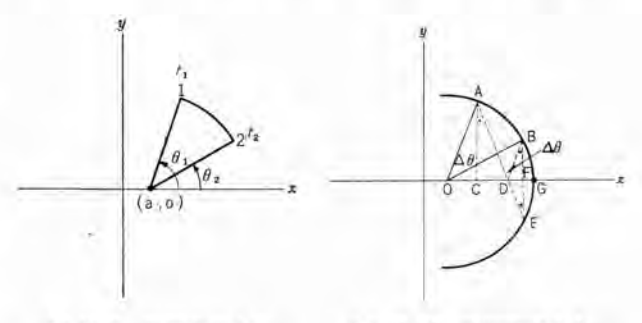
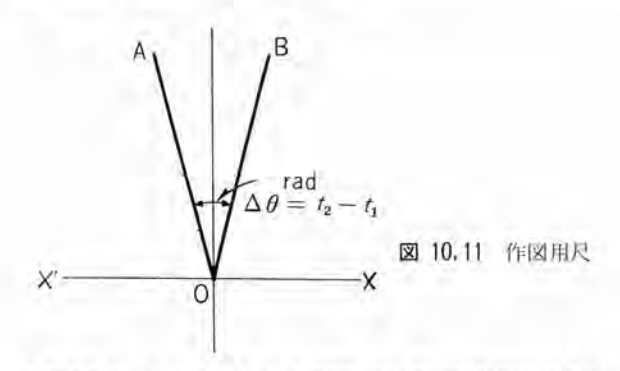


図 10.9 時間の求め方

図 10.10 時間の求め方



垂直である。しかるときは \triangle DEB が二等辺三角形なるゆえ。 \angle ADB= $2\angle$ BED= $2\angle$ BEA= \angle BOA= $\varDelta\theta=\theta_1-\theta_2$(10.17)

点 D を求めるには ∠CAD=∠DBF の関係を用いれば、この 円弧をかかなくてよい。なお、この作図を容易にするため、図 10.11 のような作図用尺を用いる。使い方は次のとおりである。

- a. X'OX を x 軸上ですべらせ OA を軌跡の初期条件の点に合わせる。
- b. OB と軌跡の交わった点にΔt (Δθ rad) の目盛をつける.
- c. つぎに R の X'OX を x 軸上にすべらせ OA を軌跡上の 4t と合わせる。
- d. OB と軌跡の交わった点に 24t の目盛をうつ.
- e. 以上の操作を繰り返す.

この方法で図 10.6 の軌跡に時間を入れたが正確な値に比べて、5% 以内の誤差に収まっている.

11. 非線形要素の影響

非線形要素が自動制御系のなかにはいると、線形の系のときには見られない種々の現象が起り、またその特性について適確に予測することは困難である。しかし実際の系において線形を固執することは、各要素に必要以上の特性を要求することになり、不経済である。また わわりーボ のように、非線形を用いて系を簡単にできるものもある。したがってここでは、非線形要素を用いる場合に起る種々の問題について考察し、設計の一助とする。

11.1 非線形要素の導入による系の改善

いま一例として図 11.1 のような位置 t-x を考えよう。いま入力信号 R(t) が与えられると、それと出力 C(t) の差が検出され、増幅されて Motor を駆動し、C(t) をかえて R(t) に等しくする。Motor の速度は増幅器出力 E に比例するものであるが、ある値で飽和するものとする。いま単位法を用い、Motor速度は 1 で飽和するとする。また C(t)、R(t) の最大値を 1 とし、Motor の飽和速度で、C(t) が 0 より 1 まで動く時間を時間の単位とする、増幅器の時間遅れば、きわめて小さいとし、かつ単位法を用いた増幅度を K とする。このときはつぎのような方程式を得る。

$$C(S) = \frac{1}{S}n(S) \quad \cdots \qquad (11.1)$$

$$n(S) = K[R(S) - C(S)] \cdots (11.2)$$

あるいは

$$\frac{C(S)}{R(S)} = \frac{\frac{K}{S}}{\frac{K}{S}+1} = \frac{1}{\frac{S}{K}+1}$$
 (11.3)

$$\frac{n(S)}{R(S)} = \frac{S}{\frac{S}{K} + 1} \tag{11.4}$$

したがって R(t)=u(t) および 0.1~u(t) とした場合の応答 および速度nの最高値はつぎのようになる.

$$C(t) = 1 - e^{-Kt}$$
 $n_{\text{max}} = K$ (11.5)

$$C(t) = 0.1(1 - e^{-Kt})$$
 $n_{\text{max}} = 0.1K - \cdots (11.6)$

いまこのいずれの応答でも速度が飽和しないためには K=1 と とらなければならない。また式 (11.6) で飽和するようにする と K=10 となる.

K=1 および K=10 について、飽和のないものとして応答を示せば、図 11.2 (a)(b) のようになる。この二つを比べてみると、K=1 では u(t) の応答には最高速度を得ているが、 $0.1\,u(t)$ に対しては最高速度の 1/10 しか用いていない、K=10 とすると $0.1\,u(t)$ に対しては、ちょうど最高速度を得ているが、u(t) に対しては、系に許している最高速度の 10 倍を要する。このように線形を固執すると、信号の v でににて系に対する要求が異なり、系のもつ能力を完全に発揮させることはできない。

このように速度に飽和のある系で、もっとも速い応動を示すのは、図 11.3 に示すように、R(t)>C(t) なるとき、ただちに最高速度をだし、R(t)< C(t) で逆向きに最高速度をだすものである。すなわち

$$C(S) = \frac{1}{S} N(E)$$

$$N(E) = \begin{cases} +1 & E > 0 \\ 0 & E = 0 \\ 1 & E < 0 \end{cases}$$
(11.7)

このとき R(t)=u(t) および $0.1\,u(t)$ に対する応答を図 11.4 に示す. いずれの場合も傾斜 1 で増大し、目標値にそれぞれ 1 sec および 0.1 sec で到達する.

線形の形の系で目標値の 95% に到達するのは、時定数の 3 倍の時間である。いま 制御系の良さの判別の 規準として 95% に到達する時間を用いれば、以下三つの系につき、表 11.1 のような結果がえられる。

表 11.1 一次系での線形・非線形 サーボ の比較

a. 95% に到達する時間

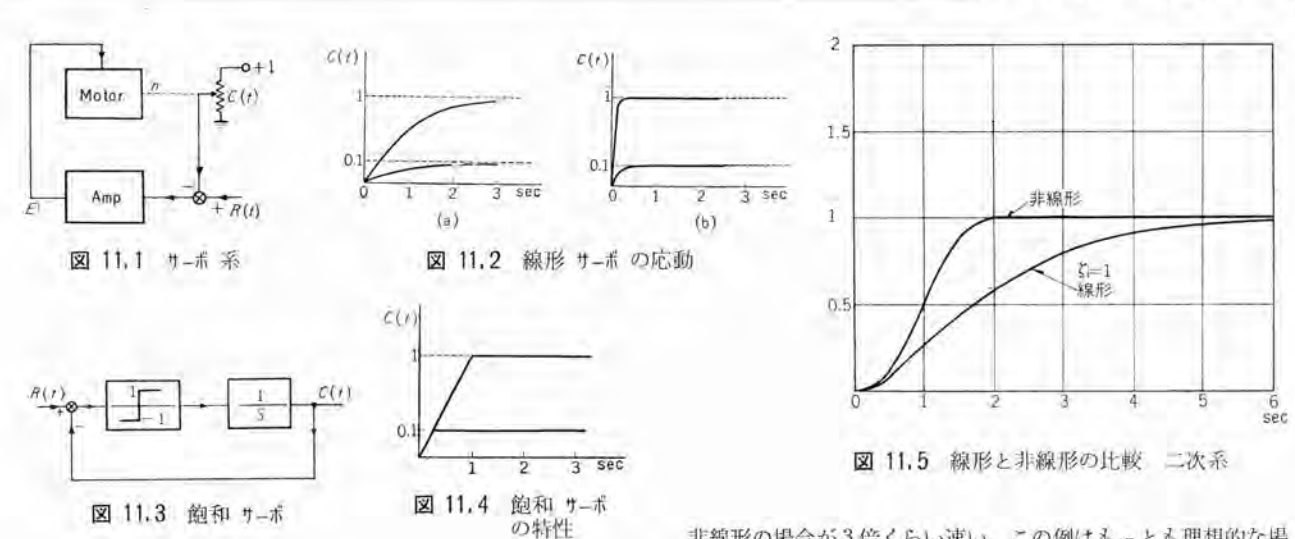
R(t)	10	TP:	非線形
IC(I)	K=1	K=10	非線形
n(1)	3 sec	0.3 sec	1 sec
0.1u(t)	3 sec	0.3 sec	0.1 sec

b. 最高速度 1/sec

R(t)	線	形	10 Mg 16
A(I)	K=1	K=10	非線形
u(t) = 0.1u(t)	1	10	1
0.1u(t)	0.1	1	1

非線形 サーボ は、最高速度が $1^{1}/\sec$ に制限されているにもかかわらず、線形 サーボ K=10 に匹敵する応答を示しており、このほうがすぐれている。以上は一次の系について論じたが、高次の系についても C(t) の一次微係数の最高値に制限があり、応答が割合振動的でないサーボ系では大体いえることである。

つぎに二次系で加速度に制限のある場合を考えよう。前述の場合と同じく C(t), R(t) の最大値を1とする。 また最高加速度の値を1とする。加速度を A で表わすと、



$$A = \frac{d^2C}{dt^2}$$

$$\frac{A}{A_{\text{max}}} = \frac{C_{\text{max}}}{A_{\text{max}}} \cdot \frac{d^2 \frac{C}{C_{\text{max}}}}{dt^2}$$

いま、 $t = \sqrt{C_{\text{max}}/A_{\text{max}}}$ 、 τ なる時間変換を行なえば。

$$\bar{A} = \frac{d_2\bar{C}}{d\tau^n} - \dots - (11.8)$$

tetel
$$A = \frac{A}{A_{\text{max}}}$$
 $C = \frac{C}{C_{\text{max}}}$

混乱のおこらないかぎり"ー"を除き、τの代りに t を用いる. いま二次系が線形と仮定すると、加速度の飽和が起らない 条件より、閉路特性はつぎのようになる.

$$\frac{C(S)}{R(S)} = \frac{1}{S^2 + 2\zeta S + 1} - \dots - (11.9)$$

$$\frac{A(S)}{R(S)} = S^{2} \frac{C(S)}{R(S)} = \frac{S^{2}}{S^{2} + 2\zeta S + 1} \quad \cdots \quad (11.10)$$

式 (11.8) より $A(S)=S^2C(S)$ なるゆえ式 (11.9) の分母の第 1 項の係数が 1 以下になると、式 (11.10) より R(t)=u(t) のとき、加速度が 1 以上になる。またそれが 1 以上になると最高加速度が得られないので、応答は必ずおそくなる。したがってこれを 1 ととった。分母の第 3 項は、定常状態で R=C なる条件より求められる。いま階段入力に対する応答で、目標値の 95% に達する時間が短いことが、系のよさを示す尺度とすれば、系は 2 になり、 $\xi=1$ となる。

したがって、
$$u(t)=u(t)$$
 に対して
$$C(t)=1-(1+t)e^{-t} \quad \cdots \cdots (11.11)$$

つぎに非線形要素を入れた場合を考えてみよう、もっとも理想的な制御は R(t)=u(t) の場合を考えれば、C(t)=0.5 まで+1 の加速度を与え、C(t) が、+0.5 をこすと-1 に切りかえるものである。このような系の実現の可能性いかんは別問題として、その R(t)=u(t) に対する応答は、次式で示される。

$$C(t) = \begin{cases} \frac{1}{2}t^2 & 0 < C(t) < 0.5 \\ 1 - \frac{1}{2}(t-2)^2 & 0.5 < C(t) < 1 \end{cases} \cdots (11.12)$$

式 (11.11) と式 (11.12) の応答を図 11.5 に示す. すなわち

非線形の場合が 3 倍くらい速い。この例はもっとも理想的な場合での現界を示すものとして意義がある。いま $R(t)=0.1\,u(t)$ なるとき目標値に到達する時間は式(11.12)より求められ、これらをまとめれば、表 11.2 に示されたものになる。

表 11.2 95% に達する時間

R(t)	線	1B	非	線形
u(t) = 0.1u(t)	5 s 5 s	ec ec		sec 7 sec

以上の結果をまとめると、線形に固執しないで、もっともよい特性を作ると、線形の場合に比べ、応答の速さはつぎのよう になる。

a. R(t)=u(t) ではほぼ3倍

b. R(t)=0.1 u(t) ではほぼ 10 倍

したがって、非線形性の導入によって系の改善を行なう場合、 このあたりに限度のあることを心にとめなければならない。

11.2 飽和要素の系の安定に及ぼす影響

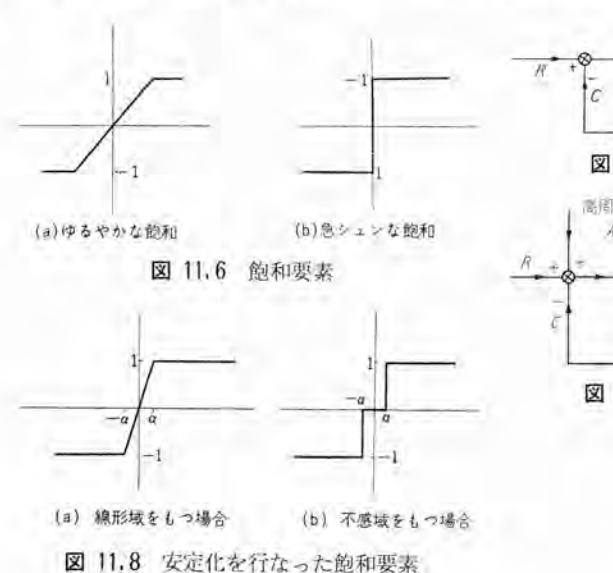
飽和要素には図 11.6 (a) に示すようなゆるやかな飽和と、(b) のような急シュンな飽和がある。前者は一般に線形の場合の延長と考え、ただ利得が少し下がったと考えればよいので、いまは問題にしない。ここで扱うのは (b) の場合である。

この形の飽和が図 11.7 のような二次の線形系の前にはいったとき、リミットサイクル 的なもの (非常に収れんのおそい振動) が現われることはすでに述べた。これは記述関数法的な考え方によれば

$$N(E) = \frac{4}{\pi E} \cdots (11.13)$$

なるゆえ、振動がおさまり Eが 0 近くなると、利得が非常にますためである。したがってこのような飽和要素がはいっても、系を安定にするには、 $\mathbf{2}$ 11.8 (a) のように、 $-\alpha < E < \alpha$ なる範囲で線形域を作って利得の限度を $1/\alpha$ とするか (b) のように $-\alpha < E < \alpha$ で不感域を作ることが考えられる。そして α をどれだけ小さくとりうるかは、線形要素の性質による。これが安定なほど、 α が小さくとれ、したがってよい制御系となるわけである。

この(a) の形は、いわゆる dual mode operation と呼ばれるもので、普通の サーボ 機構はもちろん、現実に存在する自動



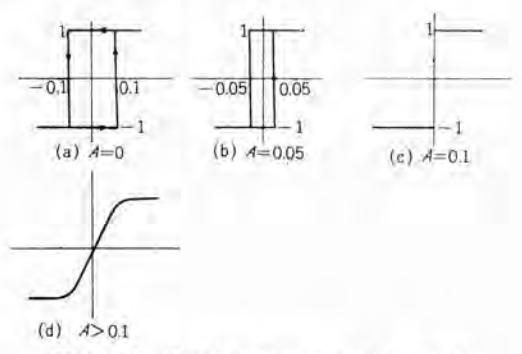


図 11.10 高周波バイアスの振幅の影響による 非線形性の変化 ヒステリシス -0.1 - +0.1高周波バイアス A sin wt

制御系は多少ともこの動作をする。(b) の形は ON-OFF 形制 御系に用いられるもので、この形のものは必ず不感域が必要な ことがわかる.

11.3 ヒステリシス要素の影響

記述関数法を用いれば、ヒステリシス 要素は、必ず位相遅れを伴 うものであり、その結果系を不安定にする。
図 10,4,10,8 に示 したように、 ヒステリシス を導入すればその位相遅れによって リ ミットサイクルが生じる。しかもこの位相遅れは、入力の値が小さ くなるにつれて増大し、ついに -90 度まで達するものである。

このような系を安定させるには、 もちろん不感域とか線形域 を導入して等価的に ヒステリシス をなくしてしまうことが考えら れるが、そのほかに図11.9に示すように ヒステリシス 要素の前に 高周波 バイアス をかける方法がある. このようなときは高周波 パイアスと ヒステリシス とをふくめて、一つの非線形要素を考えれ ばよく、バイアスをだんだん増大していくと、図11.10に示すよ うに、等価的に ヒステリシス の幅がせまくなり、ついに飽和要素 に等しくなり、さらに0における傾斜がだんだんゆるくなる. 非線形要素のうち、ヒステリシスは系の安定に悪影響をおよぼすか ら、十分に注意しなければならない、

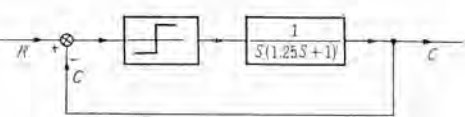


図 11.7 飽和要素を含む制御系

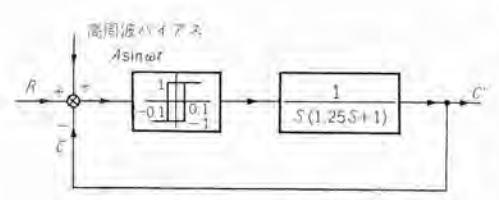


図 11.9 ヒステリシス を含む制御系

12. む す び

以上自動制御理論につい て応用に重点をおいて説明 を試みた. 最後に自動制御 の現状と将来の問題に言及 してむすびの言葉にかえた いと思う.

現在の自動制御を理論面 から大別すると、線形制御, 非線形制御、サンプル 値制御 となる。線形制御の理論は

古くから研究され、現在まったく完成したものと考えてよい。ま た サンブル 値制御に関しても、その特性や設計法について、過 去数年の間に非常な努力が払われて研究された結果、理論面で は大体完成したようである. 非線形制御に関しては、過去に非 線形振動論につき数多の研究があるにもかかわらず、まだ満足 すべき状態ではない、とくに、現実の制御系での理論と実際と の不一致は、大部分系の非線形性によることが多いことにかん がみ、今後この方面での研究が期待される。

さらに自動制御について重要な問題は、新しい制御要素の開 発であろう. 近年 フランス で、プリンテッドモータ という新しい形の 制御用 モータ が開発され、これを現在の位置制御形の要素とし て用いれば、ほぼ 10 倍の速応性が期待される。このような画 期的な進歩は、理論面からではまったく不可能で、この意味で は、理論は、新要素の出現に、追従している感が深い、今後の 問題として、制御装置の小形化、高速化のため、トランジスタの応 用がさらに進められ、質・量ともにまったく面目を新たにする ものと思われる。

また現在まで扱ってきた制御系では制御対象は、微分方程式 で表わされるものである。しかしこのほかに代数方程式のよう に、変数の微分積分は含まないが、非常に複雑な、多変数の非 線形方程式になる場合がある。たとえば従来の方法で 設計さ れた制御系の数個よりなる集団で、その目標値や系の パラメータ を種々にかえて、所望の特性を得ようとする場合、あるいは変 圧器などの設計計算を計数形計算機でやらせる場合、設計常数 をいろいろかえて、最適条件をさがすなどである. このような 制御は計数形の制御が適しており、今後はこの方向に、理論・ 制御要素に関し、開発の努力が必要であろう。 (34-9-16 受付)

- Chestnut and Mayer, Servomechanisms and Regulating System Design. 1, 2. John Wiley and Sons, New York (1951).
- (2) Brown and Camplell, Principles of Servomechanisms, John Wiley and Sons, New York (1958).
- James, Nichols and Phillips, Theory of Servomechanisms McGraw-Hill Book Co., New York (1947).
- Korn and Korn, Electronic Analog Computers. McGraw-Hill Book Co., New York (1956).
- Truxal, Automatic Feedback Control System Synthesis,
- McGraw-Hill Book Co, New York (1955). Newton, Gould and Kaiser Analytical Design of Linear Feedback Controls. John Wiley and Sons, New York (1957).

テレビ

― 工業用テレビジョン―

1,まえがき

諸産業の設備や、運転系統は、最近いちじるしい進歩をとげ、 作業の安全化、集中化、企業の自動化、合理化などが進められ ているが、火力発電所においても、諸産業にさきがけて、着々 と新しい方式が採り入れられつつある。とくに、プラントの熱効 率の向上のための、高温、高圧、大容量化に伴って、その運転 はますます複雑となり、今までのようないわゆる、熟練した技ご 術者の"感"にたよるような運転では、満足な効率が上げられ ないだけか、危険をさえ伴うような場合も生じ、高度の科学性 が要求されるようになり、運転の安全化、合理化、集中化など が大きな問題になってきている。

これら工業の要求とあいまって、最近の電子工学の発達はめざましいものがあり、これら重工業の運転、計測、制御への電子工学の利用が盛んに考えられてきている。ここでは、このうち最近とくに問題となり、一般産業にも逐次利用の途がひらけてきた工業用 テレビジョン について、火力発電所の付帯設備の立場から考えて見る。

火力発電所として工業用 テレビジョン (以下 ITV と略す) の 利用面を考えると、直接監視による作業の安全化、集中監理に よる人員の削減などがあげられるが、これを、直接利用の面か ら考えると、下記の4項に大別される。

- a. 炉内燃烧状况贴视用
- b. 缶胴水面計監視用
- c. 煤煙濃度監視用
- d. その他

2. 装置概要

前記個々の応用について述べる前に、ITV の装置としての特性を若干説明する。

2.1 ITV としての特長

ITVといっても、原理は、テレビジョン方式という点からすれば、普通の放送用テレビジョンとなんら変りなく、同様に考えてよいのであるが、実際の製品としては、工業用であるがための要求もあり、形態的には大分異なったものとなっている。 ITVとして、とくに要求される特長のうちおもなものを拾って見ると、

(1) 撮像機(カメラ)側には原則的に、操作者(カメラマン)が いない

このために、撮像するのに必要な操作、調整はすべて、遠隔 操作により監視機側から行ない、撮像機側では、すえ付時の調 整のほか、人為的な調整をしなくても良いようにする必要があ る。

(2) 方式,構造がすべて単純であること 機器の取扱者は、ほとんどの場合、完全な テレビジョン 方面の 電気的知識、および技術をもっているとはかぎらないので、取扱いが簡単で、故障の少ないことが大切であり、このため実用に支障のない範囲では、少々画面の質を犠牲にしても、回路および取扱いの簡易化を計り、いわゆる フールブルーフ にする必要がある。

(3) 機器の構造が堅ろうであること

機器の設置場所は、いわゆる弱電関係の機器としてはきわめて悪い場合が多く、高温、多 5つ、有害 がなどにさらされ、振動も激しく、供給される電源の質もあまり良くないことが多いので、このような条件の場所で使用する機器としては保守の問題も見のがすことはできず、構造の堅ろうなこと、信頼度の高いことがとくに要求される。

(4) 安価であること

いかなる場合でも価格の低廉ということは必要なことであるが、テレビジョン 放送では、テレビジョン そのものが主目的であるのに比し、工業用に用いる場合は、テレビジョンは、手段または、パックアップ 機器となるので、これだけに経費を投ずることはできない。また元来ある程度の危険や、不便の下に直接目で監視してきた場所に、その代りとして使用したり、またその他の用途においても人件費の節減を考慮して利用することが多く、この点からも、人件費を下回る価格であることが普及の絶対条件となる。このためにも映像その他、装置の性能を落すことなく、できうるかぎりの簡略化を行なうことが望まれる。

(5) 原則的に閉回路方式が用いられる

ITV では原則的に撮像機と監視機とは、ケーブルで接続され、いわゆる閉回路 テレビジョン を形成しているが、上記 4 項目を満足させるためには、簡易で安定度の高い、閉回路方式が有利であり、普通、ITV では、電波を発射する方式をとらず、ケーブルで信号を伝送する閉回路方式が用いられている。ただし工業用に用いる場合でも被監視物と、監視者とが非常に隔たった距離にあるような場合には、信号を電波にのせて発射するような手段が用いられることもある。

2.2 方 式

(1) 撮像管

ITV 用の撮像管として知られている物に、ビジコン、アイコノスコープ、イメージディセクタなどがありそれぞれいろいろな形名のものが発表されており、これらの撮像管についてはそれぞれ一長一短の特性をもっている。このうち初期には ITV 用として作られたアイコノスコープ 5527 も若干用いられたが、最近は一部に使用されている イメージディセクタ を除いてはすべて1インチ ビジコン 6198 が用いられている。これらの撮像管を比較すると 表 2.1 のようになる。

イメージディ セクタ は古くから発達した非蓄積形の撮像管であるが、感度が悪く、感色特性も赤または青に寄っており形状も大きいので一般の ITV 用としては適さないが、 熱陰極を有しな

表 2.1 テレビジョン 撮像管性能比較表

和報 項目	イ メージ ディセクタ D (30) TR	ビジコン 6198	アイコノ スコープ 5527	イメージ オルション 5820	侧考
必要照度 (lx)	約 200	約 30	¥3 100	0.02	光電面上
解像力	250 本以上	350 本以上	250 本以上	500 本以上	
加速電圧 (V)	2,000	300	800	1,250	
偏向方式	惟磁	雅 磁	育 電	電磁	
平均寿命(時間)	8,000 以上	2,000 ~3,000	3,000	500	ゼジョンに ついては推 定値
使用レンズ	6×6 判用 以上	16ミリ用 以上	35ミリ判用 以上	35ミリ判用 以上	
感色特性	赤に答って いる	視感に近い	若下赤に寄 る	視感に近い	
価格比	約 4	1	% 1/4	約 5	
光電面許容 温度 (°C)	−20 ∼+65	-20 ~+60	40	35~45	
形 (mm)	約 115¢ ×340 L	彩 25¢ ×150 L	∦9 50φ ×228L	約 75¢ ×386L	
操作	容易	容易	容易	困難	

いため寿命が長いこと、光域、許容温度範囲が広いこと、出力 が大きいことなどのため、炉内用などの高輝度の被写体を写す 場合に一部に使用されている。

ビジコン は光導電効果を利用した蓄積形撮像管で、現在のITV は、ほとんどのものがこれを用いており、放送用にも一部に使用されている。この撮像管は、直径、約25 mm、長さ、約150 mm で、現在実用になっている撮像管としては、いちばん小形で、残像は若干あるが、感度や、解像度も高く、寿命も長く、さらに取扱いがきわめて容易で、加速電圧も300 V 程度で良いなど利点が多い。

現在もっとも多く使用されているビジョン6198の主要規格およ

表 2.2 ビジョン 6198 の定格および動作例

	一般	定	# %	
ヒータ電流	0.6A	光電	面最大有効面積	9mm×12mm
ヒータ電圧	6.3V ±10%	1	東方式	磁界および世界
信号電極入力容量	4.5 pF	(64)	向方式	既 补
最大	定格および動作例	(9m	m×12mm 走查.	
			最大定格	動作例
信号電極電圧			125 V max	10~125V
第3および第4ケリ	9. F電圧		350 V max	200~300 V
第2グリッド電圧			350 V max	300 V
第1グリッド電圧		0 min~ -125 V max	-45~-100V	
プランキングバルス 第1グリッドに印 カソードに印加)		30 V 10 V
フォーカスコイル中	心磁場			40 ガウス
アライメント中心磁				0~4 ガウス
ヒータ。カソード問 ヒータがガソード ヒータがカソード	より 負		125 V max 10 V max	
光電面許容温度		60°C max		
信号出力電流 (ハイ 暗電流 信号電流 0.1~0.2μz 信号電流 0.2~0.02μ	A に対する照度			0.1~0.2µA 0.02µA 30~1001x

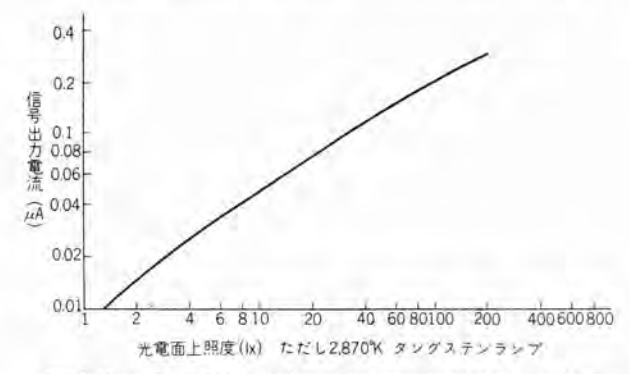


図 2.1 ビジコン 6198 の光電面上照度対信号電流出力特性

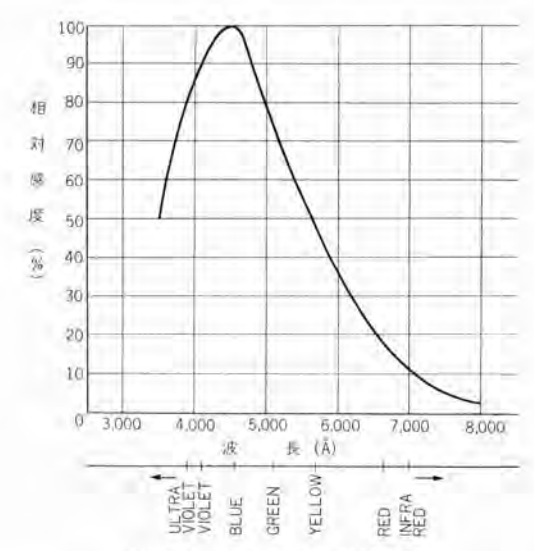


図 2.2 ビジョン 6198 感色特性

び性能を表2.2. 図2.1. 2.2に示す.

最近、各国で直径、13.5 mm、長さ90 mm という小形の ビジコン が開発されており、これが実用化すれば、回路のトランラスタ 化とあいまって、きわめて小形の撮像機が作られ、ますます利用範囲が広くなるであろう。

(2) 走查方式

走査方式としては、放送用 テレビジョン の方式のほかにもとく に ITV 用として、低速走査、円形走査、斜方向走査などが提唱 されているが、実際に使用されているのは、放送用に準拠した 標準方式と、これに類似した Random Interlace 方式の2種で

表 2.3 走查方式

項目	7	i it	標準方式	Random Interlace ガス
垂旗	建	推	60 c/s	60 c/s (50 c/s)
水平	走	査	15.75 kc	走查 線数 約 200~350
進 査	級	数	525 本	本になる範囲で任意の 値に選定
毎秒	() 問波表	数	30	23.140.00
毎 秒 (フィール	駒に	数 数 数	60	垂直走査に同じ

ある。これらの方式は**表2.3**に示すとおり走査基準が異なってはいるが、その他原理的な部分ではまったく同一である。

a. 標準方式

放送用 テレビジョン の標準方式と比較して走査基準の点から表面上はまったく同一であるが実際には随所に簡略化がほどこされている.

- (a) 同期信号波形中に等化 バルス を含んでいない.
- (b) 同期 パルス の立上がり、パルス幅などは放送用規格にはいっていない。
- (c) 垂直同期 パルス の期間に水平同期を維持するための処置 が講じられていない。

等々、でこのため、飛越走査の安定度が悪い、とか垂直同期 パルスの期間にくずれた水平同期が回復するまでの、数本分の走 査線を ブランキング で消すか、または有効影像面外に出すかなど の問題が起ってくる。理論的にはこのような欠点を生ずるが、 ITV という観点からすればこの程度の影響はさして問題とするにあたらない。さきに述べたとおり、ITV は通常有線で伝送され、撮像部と受像部が一つの閉回路を形成しているため、標準方式以外の走査線基準を任意に選定できるが、補助監視機として放送 TV の受像機をそのまま使用できるという点から、このような要求のあった場合に採用されている。

b. Random Interlace 方式

飛越走査をさせるときは簡単な同期信号発生回路が用いられるが、装置の簡易、ならびに安定性という観点からは、これを 省略した Random Interlace 方式が ITV としてすぐれている。

標準方式では垂直走査周波数と水平走査周波数が特定の整数 比 2:525 なる値を常時維持しているのに対し、この方式では この両者がおのおの独立した無関係の値に選定されている。

水平走査周波数は解像度および ビデオ 周波帯域幅に関係して 決められ一般に実用式として次式で表わされている。

$$f_m = \frac{1}{2} K \cdot n^2 \cdot c \cdot f_p \frac{y}{z}$$
 (2.1)

ただし ƒm: ビデオ 周波帯域幅

n; 走查線数

c; 画面縦横比=43

 f_n ; コレーム 周波数

x: 走査線長の有効率

y; 走査線数の有効率 K; 定数=0.64~0.9

また水平解像度を R_{II} 垂直解像度を R_{V} とすると

$$R_H=2 \frac{1}{c} \cdot \frac{f_m x}{f_h} \cdots (2,2)$$

$$R_V = 0.72 \times 2 \frac{f_h}{f_s} y$$
(2.3)

ただし f_h ; 水平周波数、 f_v ; 垂直周波数 ゆえに $n=f_h|f_v$

となり解像度はとくに要求のない限り総合解像度($\sqrt{R_H}$ R_V)として 300 本程度に選ばれる。 ランダムインターレース 方式の場合同一の水平および垂直周波数を用いると走査線数は半分になるが、垂直、水平の各周波数は同期関係にないので刻々微少変化をするために、走査線は絶えず縦方向にちらちら移動する。このため垂直方向の解像度は 1/2 とはならず、約70%に低下することになる。このような理由で、ランダムインターレース 方式を用いるときは、水平周波数を上げ(15.76 kc から 19.2 kc にする) て垂直方向の解像度の低下を補う場合がある。

この方式による場合は、標準方式のように放送用 テレビジョンの方式を考慮に入れる必要がないので垂直走査周波数も任意に 選定できることになり、50 c/s の地域においても簡単に次項に 述べる電源同期の方式を採用することができる。

(3) 電源同期

米国をはじめ諸外国の テレビジョン 標準方式は、すべて垂直走 査周波数を電源の商用周波に同期させており、わが国の標準方 式だけ 50 c/s 地域と 60 c/s 地域が共存する関係から電源非同 期方式を採用している。

垂直走査周波数を電源周波数に同期させることは、 ハム の混

入による障害の程度を軽減し装置を**簡**易化するためにかくべか らざる手段である。

とくに火力発電所においては、発電機、変圧器などの主機のほかに、プロフ 用 モータ、ミルモータ、などの補機としての大容量交流機が多く、機器の配置の関係から ITV などのいわゆる弱電機器の配線が、これら大容量機器の配線と平行する機会が多いので、きわめて Nム を引きやすい条件にあり、電源同期は絶対必要である。

50 c/s の地域で ITV を使用し、電源同期とすると垂直の周波数も 50 c/s となるので、受像画面で つりっカ を感ずる臨界輝度は低下し、60 c/s のときのそれの約1/3~1/5 となり 20 つートランパート くらいとなるが、実用上問題はない。

(4) 伝送方式

映像信号の伝送には、ビデオ 周波数のままで送る方式と、高周波による搬送方式とがある。前者は回路が簡単で画質も良いが、 伝送距離が長くなるにつれて伝送周波数帯域内におけるケーブルの減衰特性の不均一による位相 ヒズミ が増大しあまり長距離には用いられず約 300 m 前後までとなる。後者の方式は遠距離の場合および近距離でも放送用受像機を補助受像機として使用する場合に用いられる。この場合は ケーブル 特性の均一な部分を利用できるのでなるべく高い搬送波を用いるほうが画の質が良くなるが、一方周波数が高くなると減衰量も多くなるので両者および ケーブル のコスト をにらみ合わせて使用する搬送周波数が決定される。

他に ケーブル によらず無線で伝送する方式も考えられるが、 この場合は ケーブルと無線機との経済比較や周波数割当 (900 Me 帯) の問題を十分検討しなければならない。

2.3 性能

(1) 被写体の明るさ

撮像に必要な被写体の明るさは、他の条件が決まれば映像の 品位、S/N 比から決まる。必要な S/N 比を決定すれば式 (2.4) により ビジコンの ピーム 電流 i。が決まり \mathbf{Z} 2.1 から光電 面上の必要照度 I_P を求めることができる。

$$S/N \simeq \frac{r_P i_s}{2\pi f C \sqrt{KT} f_m r_l/3} \cdots (2.4)$$

ただし rr; ビシコン の負荷抵抗 (≫1/wc)

 f_m ; 増幅器の帯域幅 C_1 ; r_P の全並列容量

K; ポルツマン 定数 T; 絶対温度

ri; 初段の等価雑音抵抗

撮像に必要な被写体の照度 I_s は必要な光電面上の照度 I_r が決まれば大略式 (2.5) により決定される.

$$I_8 = \frac{4F^2I_P(m+1)^2}{T_tR} \; (\text{WJA}) \cdots (2.5)$$

ただし T_l ; 使用 レンズ の透過率

R; 被写体の最明部の反射係数

F; 使用 レンズ の絞り値

m; レンズ の横倍率 (通常 m≪1)

ビジコン 6198 において、普通 F=1:2 の レンズ を用いた場合、被写体面上 500 lx 以上の明るさがあれば 30 db 程度の

S|N で良好な画像が得られるが、工業用という用途の面から考えると画像の品位は低下するが約 $50 \ln 2$ 程度でも実用になる場合がある.

(2) 主要性能および構成

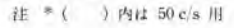
放送用の テレビジョン と異なり規格や性能はそれぞれ使用目的 に合致したものに選びうるが、規格および性能の一例を示すと、 表2.4のようである.

また機器の構成についてもそれぞれ用途に応じて考えられて おりまちまちであるが、撮像機、制御監視機電源装置および付 属品から構成される例が多い。

代表例として系統図を図2.3に、外観の一例を図2.4に示す。

表 2.4 IT 形工業用 テレビジョン 装置主要規格および性能

411		形	IT-I ®	IT-II 形
25, 11	名	称	Random Interlace 方式	標準方式
	垂直	走在	60c/s (50c/s)	60 c/s
	水平	走能	19.2kc または 15.75kc フリーランニング	15.75 kc
方 式	走 在 1	腺数	約320本(380本) また は約260本(315本)*	525 本
	每秒	象数		30 枚
		走 在	Random 走在	飛越走查
	電源	可期	同期または非同期	同期または非同期
	同期信号	混人	とくに高周波使用の 場合 同右	ブラッカーザンブラッ 方式
	棚	20	ビジコ	> 6198
撮像管	h	命	問推定	. ITV としての実用時 (値)
受像管	背 通	用	14H P4	14H P 4
文庫官	遊距り	雌 用		14HP4 # 1 U 5UP
V	÷	X	フィルム用 f 1.5 2 遠広角取換可能	可能 または 16 mm 5 mm 焦点レンズ 望
映像增加	器総合周波數			-4.5 Mc
		展 直	約 250 本 (290 本)*	約 350 本
解像度		水平	約 350 本 (350 本)*	約 350 本
111		垂 直	約 300 本 (350 本)*	
	11011000	水平直	約 300 本 (300 本)*	of totals
走查香	垂水	平		岩 以内
	撮像	機		%以内 C以内
許容周囲	侧御號			C以内
温度		提 曜		C以内
許容電源	76	H.		L AVR 付加により
変 動	周波	数	60 c/s (50	c/s) + 5 % -10 %
電源	消费電	1 11	₩ 500 V A	₩ 500 V A
高周波	75Ω Ja			約 0.2V
出力電圧	300Ω =			約 0.5V
账 视	可能舞	26	300 m 以内	300 m 以内 とくに遠距離用の場合 5 km 以内
, e.c.	像面	(0)	280 × 200	(36 cm 角形)



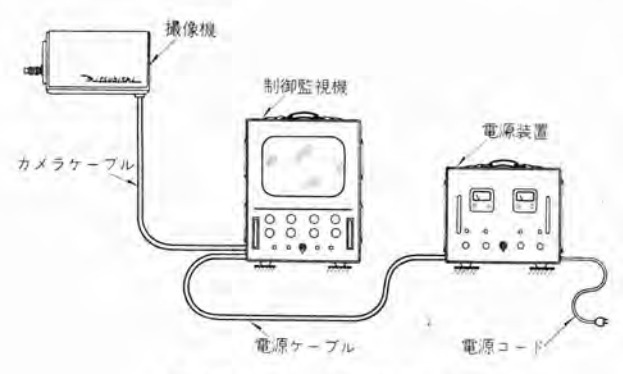


図 2.3 IT-1 形 ITV 系統図



図 2.4 IT-1A 形 ITV 左から撮像機、電源装置、制御監視機

3. 火力発電所での ITV の応用

3.1 炉内燃焼状況監視

これは、火力発電所として、第一に考えられる用途でとくに 近年微粉炭および重油の パーナ 燃焼による corner firing の方 式を採用した ポイラ が多くなるにつれて、とくに重要な問題と なってきた、すなわち、一方の側壁に全 パーナ がある形式のポ イラ では、その逆側の側壁にあるのぞき窓から 1 人の監視員が 監視することによって、監視目的が達せられるが、corner firing のように四すみに パーナ が配置されている場合には、4 個所ののぞき窓から 4 人の監視員が同時に監視するか、また 1 人でこれを行なう場合には、ポイラ 操作室から遠く離れた ポイラ 天井部にのぞき窓を設け、この不便で危険な位置から監視する ことになる。さらに、ポイラの燃焼が パーナによるため、点火、 休止のひん度が多くこのためにも ITV による監視は常識となっている。

(1) 設置場所

実際に炉内監視用として ITV を設置する場合、種々の問題が生ずる。

制御監視機はこの画面を見ながら炉の運転をするのであるか



図 3.1 ポイラ 制御盤に装着された制御監視機 中国電力小野田火力発 電所(受像画面は重油 点火時を示す)

ら、設置場所は必然的に ポイラ 制御盤に決まる.制 御監視機を ボイラ 制御盤 に装着した状態を、図3.1 に示す.この場合 ITV を 組み込む盤の照明は、な るべく ブラウン 管の表面 が暗くなり、天井の ケイ 光灯などが ブラウン 管面 に写ったりしないよう設 計する必要がある. 撮像 機をポイラ壁に設置する 場合は、撮像機からの視 角,許容温度および冷却, 振動、フライアッシュ、取扱 いの難易, ボイラの構造上 の要求. ケーブルルートなど、

表 3.1 ビジコン 6198 使用時の レンズ:包含視角表

レンズ焦点距離 (mm)	垂直角	水 平 角	対 角	備ぎ
13	38°10′	49°22′	59°58′	16 mm 用
15	33°24′	43°36′	53°08′	#
17	29°38′	38°50′	47°36′	"
20	25°22′	33°24′	41°06′	特殊品
25	20°24'	27°00′	33°24′	16 mm 用
28	18°16′	24°14′	30°00′	35 mm 用
35	14"38'	19°28′	24°10′	11
50	10"18'	13°42'	17°04′	16 mm 用
70	7°21′	9°48′	12°14′	特殊用
75	6"52"	9°10′	11"23"	16 mm 用
80	6°27′	8°36′	10°43′	特殊品
85	6°00′	8°05′	9°47'	35 mm 用
100	5°10′	6°52′	8"36"	"
105	5°05′	6°32′	8°11′	#
120	4°18′	5°44′	7°10′	特殊品
135	3°48′	5°04'	6°22′	35 mm #
150	3°26′	4°36′	5°44′	特殊品
250	2°04'	2°46′	3°23'	35 mm 用
800	44'	52'	1°05′	11

上記の表は操像管の走査面積を 9×12 mm としたときの値であり、またレンズの 焦点距離は公称値であるので実物においては公称焦点距離と異なる場合がある。し たがって視角はこの表より若干少なめに考える必要がある。

考慮しなければならないことが多々ある. なお参考までに ビジ コン 6198 を使用した場合の レンズ 焦点距離と視角との関係を 表 3.1 に示す.

普通 corner firing 形の ボイラ では上記の諸点を考慮して、図3.2のA点に撮像機を設置する。これは、視角が適当に選びやすい、温度があまり高くない、冷却用空気などの配管が通しやすい、などの利点があるためで、現在用いられているほとんどがA点に装着している。

A点は炉の天井部で、パーナロから遠く途中のフライアッシュの影響が大きいので、パーナロに比較的近い部分、たとえば、図3.2 のB点にのぞき窓を設け、とくに冷却に留意して設置すれば、監視の目的にも非常に好都合であるが、炉内外の温度が非常に高く、撮像機およびのぞき窓の冷却も困難で、保守上にも問題がある。現在B点の設置例として、中国電力新宇部火力発電所で採用されているものがある。

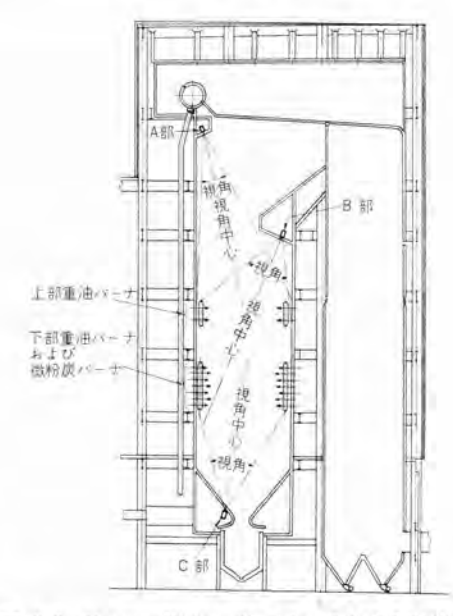


図 3.2 Corner Firing 形 ポイラ に対する撮像機 設置場所の関係

図3.3にA点に設置された一例として、東北電力八戸火力発電所における設置状況図を、また図3.4にB点に設置された一例として中国電力新字部火力発電所における設置状況図を、また図3.5に同所における重油専焼時の受像画面を示す。

(2) 撮像機の冷却

炉壁に撮像機を設置する場合、いかに温度の低い場所を選んだとしても、光電面の許容温度である 60℃ 以下に保つことは困難である。また ホコリ の多い火力発電所の中で、撮像機を ホコリ から シャ 断しなければならない。 撮像機の防熱と冷却のため、いろいろな方法が用いられるが、普通は撮像機を ケース の中に納め、冷風、または冷水を送って、炉よりの輻射などによ

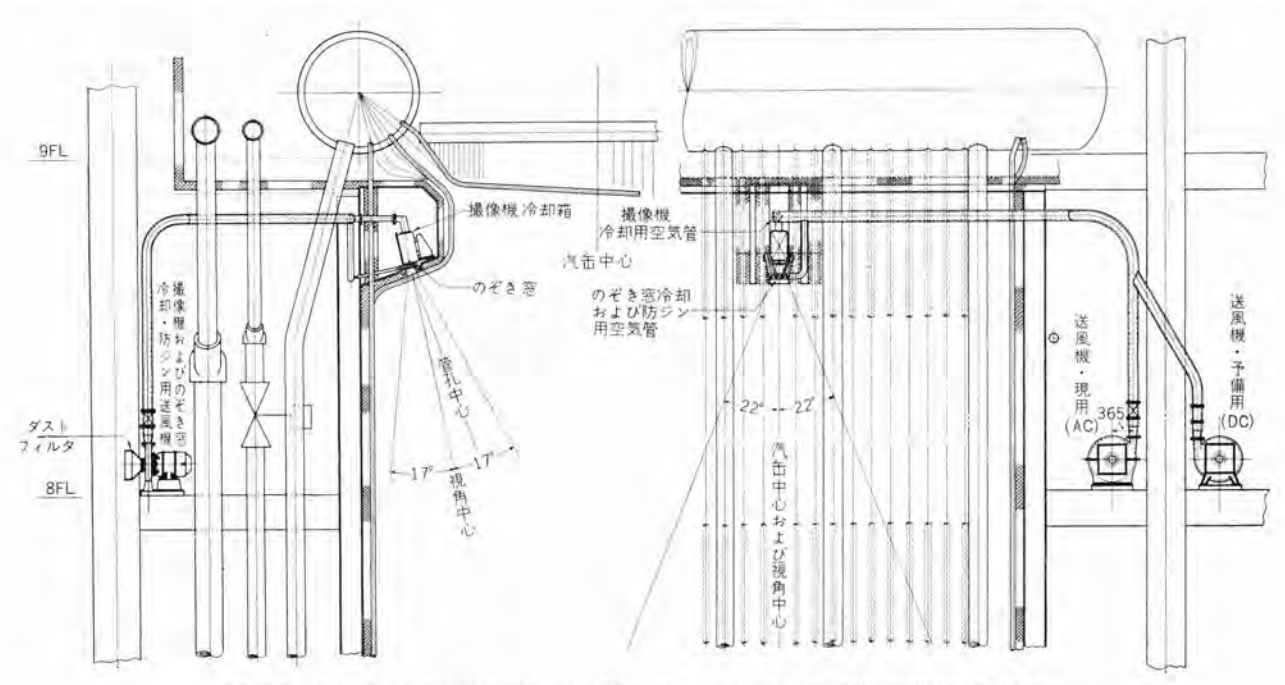


図 3.3 東北電力八戸火力発電所における炉内燃焼状況監視用 ITV 撮像機設置状況図

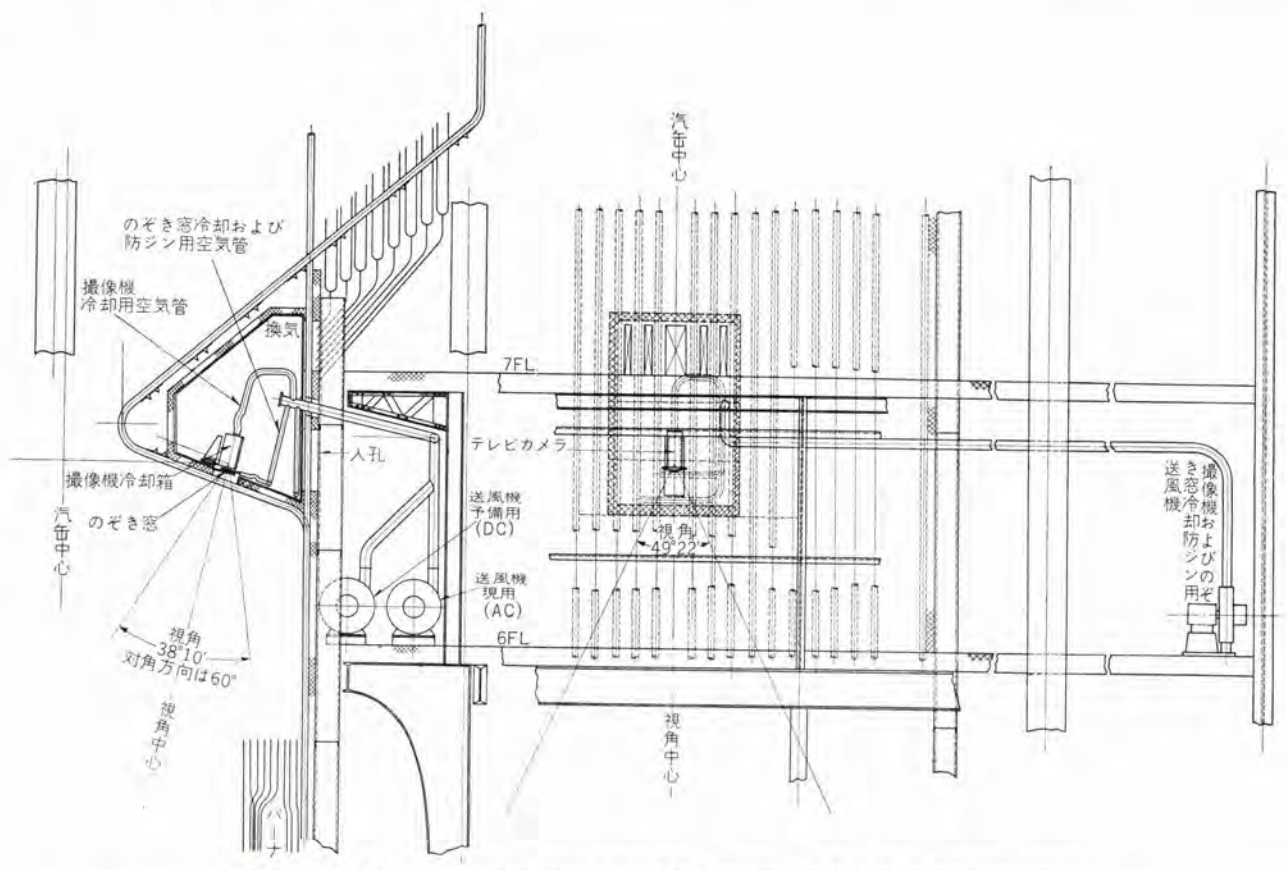


図 3.4 中国電力新字部火力発電所における炉内燃焼状況監視用 ITV 撮像機設置状況図



図 3.5 中国電力新字部火力発電所における炉内燃焼状況 監視の状況 画面は重油専焼時

り撮像機の温度が上昇するのを規定値以下におさえている。この ケース は、万一冷却用の送風機または、冷却水の系統などに 故障を起したなどのとき、外部からの熱が内部の撮像機に伝わ りにくく、しかも撮像機の取はずし操作が容易におこなえる構 造であることが必要となる。

冷却方法としては普通、空冷と水冷が考えられるがこのうち水冷は、(a) 空気と異なり若干でも漏洩は許せないので、工事などが複雑である。(b) 水 ポンラの故障率のほうが送風 ラロワのそれより大である。(c) 撮像機の防 ジン には、たとえ冷却に水を用いても空気を必要とする。などの点で、一部のものを除いてはほとんど空冷方式が用いられている。空冷、水冷、いずれの方法によっても撮像機の冷却は、ポイラ 停缶後、ITV の使用を止めた後も、ポイラ が冷えるまで続ける必要がある。



図 3.6 関西電力大阪発電所における炉内燃焼状況監視用 ITV 撮像機装着状況

さらに撮像機から制御監視機への カメラケーブル は、内部に同軸形ケーブルを含んでいるが、この絶縁には ポリェチレンを用いるので、ケーブル 周囲温度および輻射による ケーブル の温度上昇ともに約 80°C 以下におさえる必要があり、場合によってはケーブルダクト内に送風して ケーブル の冷却を考える必要も生ずる.

図3.6 に撮像機冷却 ケース を炉壁に取付けた状況を示す。図中上方の太い(直径 75 mm) ラ 旋管は、撮像機冷却用空気のもので細い(直径 50 mm) ラ 旋管 3 本のうち、上方のものは カメラケーブル が内部に通っており、撮像機冷却用の空気の排気の一部をこれに通して ケーブル の炉壁近くの高温部を冷却している例である。なお下部の2本のラ旋管は後述するのぞき窓用の送

風管である.

撮像機冷却ケースおよびその支持機構の、構造は、使用ポイラの種類、構造、および炉壁への取付位置などの要求により、それぞれもっとも都合の良いように設計されるべきであるが、温度の高い所で操作するものであるから、撮像機のすえ付位置の調整、撮像機の着脱および点検などが容易におこないうるように設計、製作される必要がある。

(3) のぞき窓

火力発電所の ボイラ の炉内燃焼状況監視用の ITV としてい ちばん問題となるのがのぞき窓である。のぞき窓は高温の炉内 と低温の必要な撮像機との間を完全に隔離し、しかも光学的に は損失や ヒズミ のないことが必要で、さらにのぞき窓自身炉壁 の高温に十分耐えられる必要があるので次のような性能を要求 される。

a. 内部の状況が完全に見えること。

このためには、窓には マイカ 板のようなものは使用できず、 ガラス を使用しなければならない。

b. 高温に耐えること.

撮像機を装着するような ポイラ 上部の炉壁は通常 500℃ 以上にもなることが考えられ、さらに ポイラ 内 数 10 cm の所では 900℃ 程度の高温になる、このため ガラス には石英 ガラス・パイガラス などの耐熱 ガラス を使用し、取はずしなどをひんばんに行なう ネジ類などは焼けつくのを防ぐような考慮をはらい材質も ステンレススチール を用いるなどの必要があり、さらに強制冷却を行なう必要がある。

c. 防ジン

ポイラ 内部には煤煙、灰分、重油蒸気などが充満しているが、 これらが飛来しのぞき窓 ガラス 面に付着するのを防止しなけれ ばならない。このためには送風機によって、常時 ガラス 面とく に ポイラ 内部に面する部分に、圧力の高い空気を送り、防 ジン を行ない同時に冷却に役だてるような方法、または水を用いて 常時 ガラス 面を清掃するような方法が取られている。

ガラス 面に吹付ける空気は、ポイラ 内部から吹上げる媒煙、灰などが通常は ガラス 面に到達しないように十分強力なもので、また、いったん付着した オコリ に対しては清掃効果の点から、とくに、吹付気流の死点ができないようにとくに注意が必要である。

防 5つ に水を使用する場合は、水の流れに留意して ガラス 面 に水の筋ができないようにする必要がある。また水質はとくに 水あかができないよう良質のものを用いる必要がある。

d. 熱線吸収

ポイラ 内部が非常に高温となり相当量の熱輻射がある。この場合のぞき窓を通して輻射してくる熱線が、撮像管光電面に悪影響を与えないためには、熱線吸収 ガラス を併用するか、または水フィルタのような手段を講じなければならない。この場合 ガラスを用いるときは、ガラス 自身が熱線を吸収し温度が上昇するので、この冷却やガラスの質、形による耐熱を考慮しなければならない。また水を用いるときは熱線による温度上昇にともなう水中の気体成分の気泡化、および水あかの付着に留意し、また

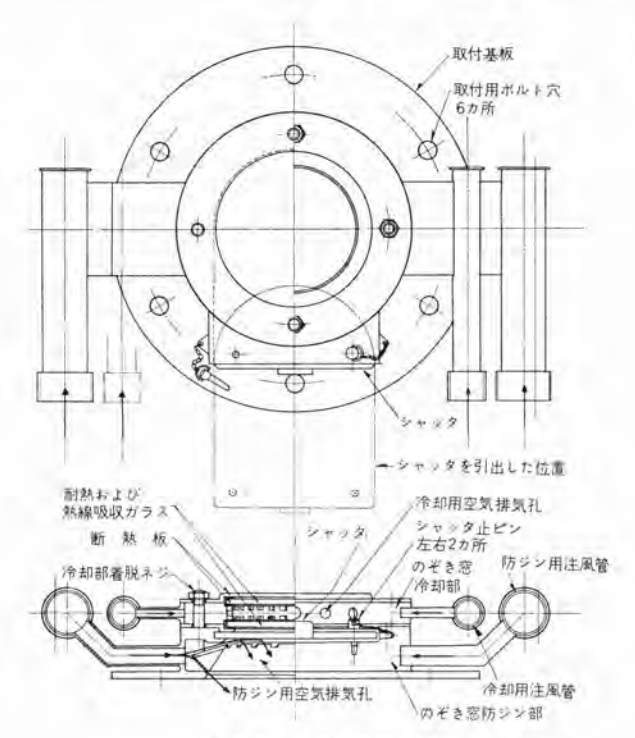


図 3.7 のぞき窓構造図





図 3.9 関西電力大阪 発電所における炉内 燃焼状況監視用のぞ き窓

100 C になることも十分考えられるので、水の強制循環を行な わなければならない。

e. 保守の便宜

のぞき窓としては上記のように耐熱、防 5つ に努めているが、 長期間の使用により損傷を受けた場合。または、比較的大きな パックファイヤにより、 ガラス 面に重油 タール などが多量に付着した 場合などには、 ガラス 部分を簡単に取はずして点検できる構造の 必要がある.

そのためのぞき窓 ガラス 部分は簡単に着脱できるほか、耐熱 性シャッタを設けて点検時に炉の内部と隔離できる構造が望まれ 3.

一例として、図3.7.3.8 に、東北電力八戸火力、中部電力三 重火力、中国電力小野田火力、同新宇部火力、四国電力松山火 力などの各発電所で、使用されているのぞき窓の構造および写 真を、また、図3.9 に関西電力大阪火力において使用されているのぞき窓の写真を示す。

従来米国において使用されてきたのぞき窓は防ジン用の噴出空気は、下面の耐熱が5スに吹付けられた後、ポイラ内部に向かって噴出するが、実際には吹付けの際ポイラ内のホコリを巻き込む形になり、ホコリを一度が5ス面に吹付けることになる。この種の構造のものでは、石炭燃焼がほとんど大部分であるような運転時は灰分が十分乾燥しているので十分効果を現わすが、運転開始の重油パーナ点火時のように缶の温度が低く、生の重油の細粒と媒煙、および灰分の混ざったホコリの存在する場合には、ガラス面に吹付けられたホコリが粘着するので、かえって悪い効果を示している。

図示してあるのぞき窓はこの点をとくに考慮して設計してある。すなわち、図3.7 においてのぞき窓の下部の防 ジン 部にはまれる 内部に向かって二重の空気噴出口をもっており一方はガラスに吹付けて除 ジン と冷却を行なうが、下部噴出口からの空気は コーン 状の エアカーテン を形成してのぞき窓に ホコリ の到達するのを防いでおり、ほとんど完全な防 ジン 効果を発揮している。図3.8 において上方の箱の部分は撮像機の防熱および冷却のための ケース で、下方黒色の部分がのぞき窓であり、写真では シャッタ が開いた状態を示している。また、図3.9 に示したのぞき窓は、構造は図3.7 とほとんど同じであるが、ポイラ 側の構造から空気注入管がのぞき窓冷却用と防 ジン 用と同一管を用いたものの例である。

(4) ITV 本体

炉内燃焼状況監視用の ITV としては、他の一般用途に用いるものと異なった性能が要求される。 すなわち、高い解像度とか、画像の高度の品位より、むしろ安定度と操作の簡便さが要求される。

監視対象が炎であるから、とくに高い感度は必要なく運転開始時の、重油パーナ点火時のようなときには、イメージディセクタのような低感度の撮像管でも実用になる。しかし微粉炭をたいての運転中の炉内の炎の分布などを知るためには、微細な明るさの差や変化を炉上部に充満する ホコリ や灰分などを通して観察す



図 3.10 中国電力小野田火力発電所における炉内燃焼状況 監視受像画面 重油 パーナ 点火時



図 3.11 受像画面石炭專焼時



図 3.12 受像画面 石炭専焼 時 スートブロー を用いた場合

る必要があり、さらに炉の一部に作られた狭い カメラ 室に設置し、しかも多量の断熱を行なわなければならない関係から小形が望まれるので、ほとんどの場合感度が高く小形な、ビジコンが用いられる。また安定度の点から、ランダムインターレース 方式を使用し、機器の耐熱、防ジンはとくに留意して設計、製作されなければならない。一例として点火時および、運転中の受像画面を、図3,10~3,12 に示す。

火力発電所内の電源は、ミルモータ、各種 ブロワ などの重機器の 運転、停止にともなう電圧変動が大きいので、とくに変動に強い安定化電源装置を必要とするのが普通である。通常電圧変動が、±10% 以内ならば ITV の電源装置に自蔵の安定回路で、またそれ以上の時は自動電圧調整器を付加して安定化している。

(5) 冷却, 防 ジン 用送風設備

前述のとおり炉内燃焼状況監視用として炉壁に ITV 撮像機を装着する場合, 撮像機およびのぞき窓の冷却, 防 50 には普通空気が用いられるが,この場合次のような注意が必要である.

a. 清浄な空気を送ること

これはいうまでもないが、このためには取入口に注意する必要があり、さらに効果的な フィルタ を用いることが考えられる.

b. 冷風を送ること

このためには、空気取入口に注意するのはもちろんであるが 送風機で気体が圧縮されるための温度上昇、送風管が炉の近く を通ることによる温度上昇などを留意する必要がある。このた めには送風管の経路を適当に選び、炉壁部分を通る個所には管 に断熱を施すなどを行なう。

c. 送風機の予備を置くこと

これには二とおりの考え方がある。一つは送風機自身の故障と他は、電気系統の故障である。前者に対しては送風機の故障と ダストフィルタ のつまりがあるが、ブロワ 使用の場合 ブロワ 自身の故障はほとんどなく、また フィルタ のほうも、風圧計、風量計、または経験などにより大事に至る前に防ぎうる。これに反し後者はしばしば起ることであり予測もできないので別系統のブロワを予備として置くか、所内用圧縮空気の一部を流用して対処することが望ましい。別系統としては普通、直流が用いられる。圧縮空気を利用する場合は、そのまま減圧して用いると、ITVとして相当量の空気を消費するので、エアエゼクタのようなものを用いて、風量をうることも考えられる。一例として、関西電力大阪発電所の空気系統を図3.13に示す。この例ではITV2台に対しそれぞれ別のブロワを使用し、非常用にはエアエゼクタを用いており、ブロワの定格は 570 mm 水柱、15 m³/min のものを使用している。

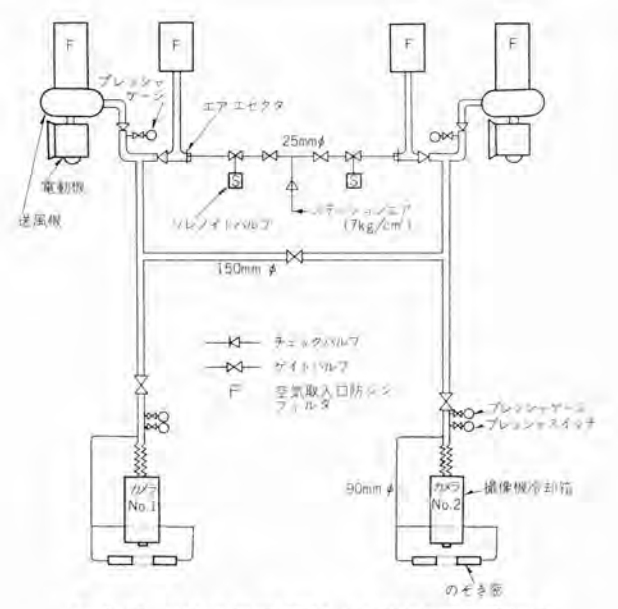


図 3.13 炉内監視用 ITV 冷却用空気配管系統図 (関西電力大阪発電所)

(6) その他

撮像機を炉壁に装着する場合、その撮像 レンズ の光学的中心より、全 パーナ 口が見渡せるだけの寸法、構造ののぞき穴を設けておく必要がある。その位置は全 パーナ 口を見渡すに適当な位置であることはもちろんであるが、燃焼にあたってなるべく温度上昇が低く、また、ホコリの到着が少ないような部分であることが望ましい、たとえば図 3.2 のA部が多く用いられるがこのほか B部に適当なのぞき窓を設け、とくに冷却に留意して設置するとか、また、ポイラ 底部の C部に、とくに強力な防 ジン装置を施したのぞき穴を設けて、この部分から監視するのも一方法である。

これらの方法は、すべて一長一短があり、いずれがすぐれて いるとも断定できないが、さらに ボイラ 自身の断熱処置や、構 造にも一考が払われることが望まれる。

いずれの場合も、撮像機の設置場所は、小区画を設けて、ITV 専用位置とするとともに、通風、排気の便宜よく、加熱される ことが比較的少ないように、注意されることが望ましい。

3.2 缶胴水面計監視

最近の ポイラ の進歩により保有缶水量が蒸発量の割に少なくなり、とくに強制循環式の大容量 ポイラ が採用されつつあるに及んで、保有缶水量もさらに少なくなり、ドラム 容積も小さくなってきた。このため缶胴水面位置の監視はますます重要となり、各種 テレメータシステム による方法が考案され実用に供されている。しかしいかに テレメータ が進歩しても、誤動作の点を考えると肉限の監視は絶対に欠くことはできないのは周知のとおりである。

缶胴水位の直接監視は普通2色または無着色の透視形水面計が用いられ。この水面計を輻射熱のはげしい場所に監視員をおくか、いちいち監視員が下(通常3階)の運転室から監察に行くか、またいちばん多くは反射鏡を何枚か置いて運転室からのぞく方法が用いられていた。これらの方法はいずれも望ましい

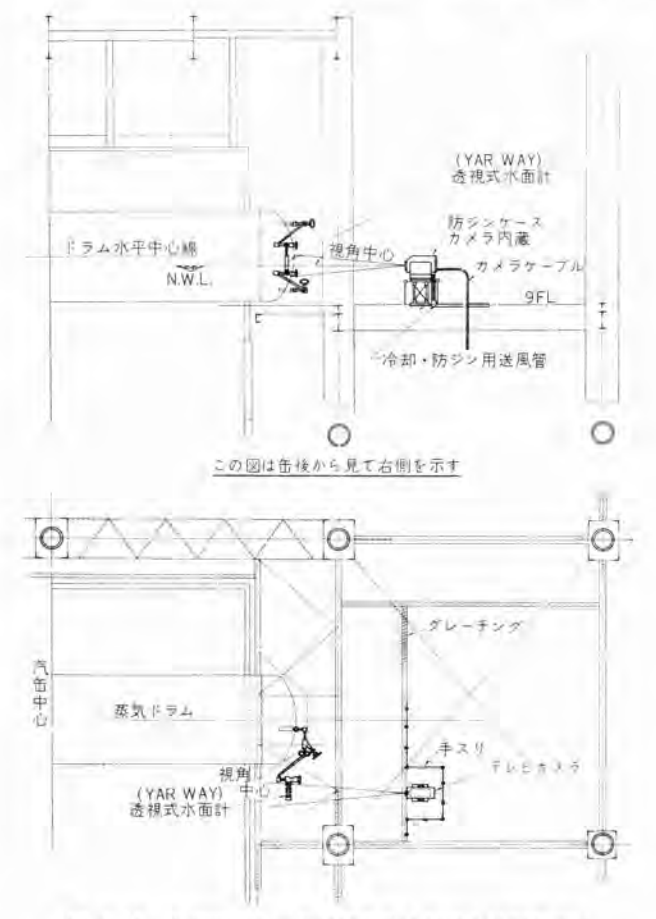


図 3.14 東北電力八戸火力発電所における缶胴水面計 監視用 ITV 撮像機設置図

方法ではなく、とくに大容量化に伴って ボイラ の高さが高くなり、また ボイラ の屋外化や、制御の自動化に伴う制御系の集中により、運転室から水面計までの距離が遠くなってきたので、直接監視が困難になった。

最近 ITV による水面計の監視が多く用いられて、炉の安全 運転に効果を上げつつある。

ITV で水面計を監視する場合、水面計としては、二色水面計が適当である。撮像機の設置場所は水面計を正面から見通せる場所ならば、輻射熱の関係でなるべく、ドラムから遠いほうが望ましい。この場合撮像機に使用する レンズは、水面計とその周囲がある程度見える視角を有するものを選ぶ。撮像管にゼジコン 6198 を用いた場合の レンズ の焦点距離は、表3.1 から選べば良い。 レンズ の明るさは透視形水面計で、後から照明する場合は光源を見るのであるから、あまり明るい必要はないが、コントラストの比較のため水面計以外に尺度その他のものを同時に撮像したほうが好ましいので、だいたい f2.5 以上の明るさの レンズ が使用される。配置の一例として、図3.14 に東北電力八戸火力発電所の設置図を示す。

照明としては、水面計裏面から ガラス の部分だけ すイ 光灯な どで照明し、透過光により観察するが、万一境界の部分が水面 計の ガラス の部分からはずれた場合、水面計の明るさ、すなわ ち画面で コントラスト 差は、2 部分に別れないのでそれが蒸気か、

水かの絶対判別がつきにくいことが起る。この誤認を避けるため、水面計の横に赤および緑の、2 色の比較光源をおいて、これを一括撮像し、水面計の コントラスト と比較して水の有無の判定の基準とする。

通常は色フィルタ の併用により赤、緑の色に対しかなりのコントラストをつけることができるから、水面計周辺の明るさと比較するだけで十分に正しい判断を下しうる。

水面監視用 1TV の設置にあたってとくに注意すべき点を下 にあげると.

- (b) 撮像機の光学中心は水面計の ガラス 面と直角になるよう に置くこと.

これは二色水面計は斜方向から監視すると、赤もしくは緑の どちらか一色になり監視不可能のためである。

(c) 撮像機は防 50 の処置を施すこと

このためには適当な ケース の中に入れ。清浄な冷風を送って、ケース 内の圧力を若干 プラス にし ホコリ のはいるのを防ぐ方法が用いられる。この方法によると、撮像機の冷却も兼ねられる利点がある。防 ジンケース の一例を図3.15 に、また中国電力新字部火力発電所における受像画面の例を図3.16 に示す。

(d) 水面計表面には余分の光が照射しないようにすること。 とくに太陽の直射光のようなものは絶対に避けるべきで、で きうれば夜昼などで水面計表面の明るさが変らないよう、外部 の光を >+ 光しさらに別に表面を 一定光で照明するのが望ましい。



図 3.15 水面計監視用 撮像機防 ジンケース



図 3.16 中国電力新字部火力発電所における ITV による 缶胴水面計監視受像画面

3.3 煤煙の監視

火力発電所において煙突から出る煤煙の量・色を知ることは 炉の燃焼効率を高め、煙害を防止するため、重要な手段の一つ である。とくに炉の運転制御室から直接これを監視できれば、 ただちに炉の運転調整に応用できるが、このためには ITV に よる遠隔監視が最適である。2 缶以上の ポイラ を使用する発電 所では、ITV 画面に同時にそれぞれの煙突を受像すれば、各炉 の燃焼状況を直接に比較することができる。

(1) 撮像機の設置

撮像機は煙突全部を適当な視角で見渡せる位置に設置するが、その位置はなるべく太陽を背にするような位置で、時刻、季節のいかんにかかわらず、太陽が レンズ の視角内にはいらないよう設置する必要がある。また火力発電所は、河または海辺に建設されることが多いが、この場合太陽の水面による反射も十分考慮の要がある。このような条件で設置位置を決定するが、多くの場合屋外となるので、その場合には、全天候形の カメラハウス 内に撮像機を収容する必要がある。さらに条件が許せば、撮像機はなるべく、制御室の近くに設置するのはいうまでもないことである。

(2) 機器の方式

媒煙監視に用いる ITV としては、運転制御室と撮像機間はケーブルにより接続し、撮像機のレンズ 紋調節、撮像管感度調節などを常時受像側で調整できるよう遠隔操作式にすることが望ましい。戸外に設けられた撮像機と受像機の間のケーブルは普通 200~500m 程度の長さが必要である。したがって普通は遠距離用として、映像信号は同期信号とともに、40~100 Mc 程度の搬送波に乗せて送る方式が用いられるが、この方式は、同期の安定性、画像の質および保守、価格の点より問題が多いので、映像を直接送る形式のものに、特殊な遅延回路を付して非搬送式の中距離用として使用する場合がある。この方法によると比較的簡単な装置ですぐれた画像が得られる。

この方式により行なった、関西電力尼崎第一発電所における 排煙監視実験時の受像画面を、図 3.17 に示す。

(3) その他

排煙監視用 ITV のもっとも特殊な点は、照度が天候、時刻などによって変り、光源の位置も時刻、季節により変りまた背景すなわち雲の有無、雲の色などもつねに変化しており、ここ



図 3.17 関西電力尼崎第一火力発電所における排煙監視 実験時の受像画面 (天候薄曇)

で監視したいものは煙そのものの絶対的な色、および濃度であるという点である。

機器としては、多数の煙突を同時に観察して、十分な視覚的 効果があるよう。相当した解像度が要求され、また煙の受像画 面が、肉眼で見た色調、量、濃度と異ならないようなものでな れけばならない。

煙の量は、たとえ画像が環境に対して相対的なものでも、肉 眼の場合と似たような視感覚を与える良好な ITV によれば、 その量感は忠実に伝えられるものである。問題は比較的白い煙 でも、その量が多い場合、黒く映像されたり、照度および背景 の具合によっては黒い煙が比較的白く感じられたりする恐れが あることである。

煙の量が色感覚に影響する恐れは、煙を完全な反射光で観察する場合には起らない、照明光が煙の後方または斜後方からあるようなときにはその透過光線の影響で混同する場合が考えられる。この対策としては1日中煙を反射光線だけで観察できる位置に撮像機を設置することにより、ほぼその目的が達せられるが、不可能な場合は、撮像機を2個所に設置し切換えて使用することも考えられる。照度や背景が変化した場合、そのままで正確な色感覚を5ることははなばた困難である。

色感覚の誤認を防ぐ実際的な方法としては、煙突や建物の色調を基準としてそれらが実物の視感覚に近い色合に感じられるように ITV を調整することである程度防げる.

これをさらに進めて、煙突の付近に煙の色の判断の基準になるような、数色の パターン を設け、それが肉眼で見たときに近いような画像となるように ITV の感度、コントラスト を調整する 方法がある.

実際には煙突の付近に、パターンを置くと、その大きさが巨大となり、汚染した場合の清掃、収換えが問題になり風圧などの 考慮も要するので、レンズの焦点深度以内の撮像機に比較的近い 所に設置し、寸法の縮小を計るのが良い。

照度の変化に対しては、照度計を被写体近辺に置き、照度計の指示に従って、撮像管の、各電極電圧、レンス絞りなどの値を一定の関係で調整する方法、さらには照度計と連動で自動的に、上記の値を変えて、つねに最適撤像条件の値に保持する方法などが考えられている。

3.4 その他の用途

火力発電所においては、上記のほかにも他の一般重工業などと同じく、ITV の利用によって能率を高め、作業の安全性を増し、合理化を計ることができる個所が多い、ITV 本体としてはこのような用途から、それぞれいろいろな要求があるので、用途に応じて設計、製作された機器を選定して使用することになる。

これら用途のうち一例を列挙すると,



図 3.18 ベルトコンペヤ 輸送の ITV による監視、受像画面

(1) 運搬系統の遠方操作ならびに集中運転

これには石炭の荷おろし、コンベヤ 輸送の遠方操作、などが考えられる。図3.18 に、ベルトコンベヤ 輸送の、ITV による監視の 受像画面の一例を示す。

(2) 計器類の監視

各種の計器類は、テレメータ 機器により集中化されているがこれらの Back up として ITV が使用される。すなわち、水面計の監視などはその一例である。

このように ITV は目の延長としての認識方法として、とく に重要な遠隔操作が果して正確に動作しているか、また テレメー タ 指示に誤りがないか、などの不安を一掃する手段として考え られ、各種 オートメーション 機器の信頼性を増加する方法として使 用される。

(3) 屋外機器の監視

上記 メータ の監視に準ずるが、断路器、シャ 断器などの遠隔 操作の確認用として、直接監視のできる ITV が、Buck up と して使用される。

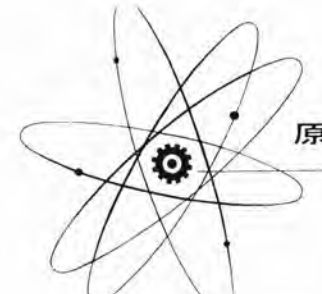
このような用途に用いる場合には、機器の配置の関係で、撮像機は上下、左右に首振り、または直線上の移動などを行なわせるが、ITVで監視する場合は建設当初から機器の配置や建家の構造をある程度 ITV 監視に適するように用意されることが望ましい。

4. む す び

以上、火力発電所に急速に採り入れられ、その運転、計測に 有用な役割を演じつつある工業用 テレピション について、装置の 概要ならびにおもな用途を述べたが、これら新しい分野である 電子機器などを火力発電所に導入するにあたっては、ブラントの 設計当初から、これら機器が、効率よく使用できるような計画 を立てることが望ましい。

上記に述べた用途以外に種々な川途が考えられるが、視覚の 延長としての ITV などの利用により、さらに火力発電の安全 および効率の向上が望まれる。

(無線機製作所 道家昭彦)



原子力情報

JRR-2 原子炉(1)

三菱原子力工業株式会社 莊 田 勝 彦*

1. JRR-2 とは

日本原子力研究所が東海村に建設を開始しほとんど完成の域に達した第2号研究炉(Japan Research Reactor-2)JRR-2は、一名CP-5形原子炉とも呼ばれている。これはアメリカ、シカゴ郊外にあるアルゴンス国立研究所で5番目に設計された原子炉、シカゴ、パイル、5の頭文字をとってCP-5とした原子炉と、濃縮ウラン、重水を減速冷却に用いた点で似たものである。実際にはかなりの相違点はもってはいるがアルゴンス研究所で幾多の成果を収め著名となったCP-5原子炉と類似点が多いのでこのように呼ばれている。しかし現在ではJRR-2の名も世界的に通りつつある。

2. JRR-2 の契約

JRR-2 の主契約は原子力研究所とアメリカ AMF 社 (American Machine and Foundry Co) が契約を結び、三菱 ヴレーラ すなわち三菱原子力工業・三菱電機・三菱日本重工・新三菱重工・三菱造船および三菱化工機が AMF 社と下請契約を結んだ。さらに原子力研究所と三菱商事との間に輸入代行の契約がある。これらの三つの契約の間の条項が少しずつ違っている。ために一つの問題が生じると契約によって二重性格的立場をとらざるを得ない場合も起ってくる。といって AMF 社と三菱との間の契約に関しては当時関係者一同努力して少しでも良い契約にという線にもっていったものであるが実際に仕事を実施してみると種々の難点がある。すなわち原子炉のようにまだ試作の段階にあり、しかも対外契約という性格のもので非常にむずかしいものではあるが JRR-2 で多くの経験を得たことは将来に益するところが多いと思う。

契約に関してはこれくらいにして、これから JRR-2 の設計・

仕様などについて順を追って述べてゆくことにしよう.

3. JRR-2 の設計

JRR-2 の設計は米国 AMF 社が実施したものであり最終的の設計を決定するまでにはう余曲折があった。この経過は設計の面でははなはだ興味はあるが現在実施している JRR-2 工事には直接関係がないのでここでは割愛し別の機会にゆずることにする。しかし JRR-2 工事の最終期近くまで細部の訂正が見られこのために担当会社が余計な苦労をした。すなわちわれわれは原子炉の設計とくに研究炉の設計は他の機器類のように確立しているように考えがちであるが実際にはまだ原子炉工業は黎明期にあり、とくに設計は確立しておらずしかも新たに原子炉を建設する場合、設計者も購入者も既存のものをそのまま写すことなく、何か特長をもったもの、よりすぐれたものと考えるので設計の条件の幅が非常に広く、そのために数多くの訂正が生ずる結果となる。

米国で設計する場合、設計者の常としてまず材料を選ぶ場合にも規格を満足する材料のうちでもっとも入手が容易であり、かつ安価なものを選ぶわけであるが、これをわが国で製作する場合には必ずしも米国の条件と一致しない、すなわち米国では容易に安価に入手できるものでもわが国では入手できにくいものが多い。ことに価格の点では非常に異なり米国と日本とでは逆の場合すらある。たとえば、リウムガスは米国では安価で容易に入手できるがわが国ではむしろ アルゴンガス のほうが入手が簡単であるなどこのような例は数え上げるときりがないほどある。さらに炉の中心部に用いられる材料は中性子の吸収断面積放射線損傷など材料の核的性質に影響があり、これらの材料の含むごく微量の不純物の影響が問題となる。



図 1.1 原子炉建家全景

よって原子炉の設計はそれを製作する国によって変ってこなければならないはずであり、またその国で得られる材料の核的性質も十分データをそろえなければならないが前にも述べたように原子炉の設計はまだ一歩を踏み出したに過ぎずこれから他の機器類と同様に工学的に製作の面からも大きな変更と進歩とが見られることと思う、このような過渡期に今回のJRR-2の部品をわが国で多数製作しなければならなかったので製作の面から見ると非常にむずかしいもの、工数のかかるものなど多くありこれらに関してはAMF社と折衝し改訂してもらったものもあるが大部分のものは時間的にもそのまま、製作せざるを得ないことになった、よって各部品も製作という面から見ると大きく改訂してもらいたいものも出てきたがその改訂によって原子炉の核的性質に影響を与えることもあるので簡単に変更をすることはできないこともあった。

とにかく原子炉が1基また1基と増えていって次から次へとより良き設計が実施されてゆく現状なので近き将来には設計上 相当大きな改訂が起るものと期待している。

またわが国でも数基の研究炉が動き出し材料の核的性質も測定できるようになり多くの Nuclear Engineer が出てくればわが国独自の設計もどしどし開発されることと思う。

原子炉は他の機器類と比べると回転部分が少なくむしろ機構 的には簡単であるが、設計する場合、核設計という全然新しい 分野がある。この核設計の裏づけとして核計算がなされるので あるがこれらについて順を追って述べ次に格部部品の概要を述 べよう。

4. JRR-2 の核計算

JRR-2 のコアは重水減速、濃縮ウランを燃料とする非均質で構造材料としてはアルミニウムを用いている。円柱形のコアは約18 in 厚の重水の反射体によって周囲をおおわれている。直径5ft のアルミニウム製 タシク にコア および反射体がいれられている。直径5ft のアルミニウム製 タシク にコア および反射体がいれられている。この タンク のまわりには軽水と不銹鋼の層があり、二次反射体と熱 シャヘイ の役目をしている。燃料要素は17枚の八橋状のアルミニウムでクラッド した ウラン・アルミニウム 合金でできている。この ウラン は ウラン 235、20% 濃縮で一つ燃料要素には 179gのウラン 235 が含まれている。減速兼冷却機に用いられている重水は99.75 mol % のものである。JRR-2 の熱出力は 10 MW で高速ならびに熱中性子束は 1011 n cm² sec の オーダである。この高い中性子束は重水の反射体の内部に種々の深さに飛出している11本の水平実験孔および9本の垂直実験孔によって利用される。





図 5.1 燃料要素

5. 燃料要素

燃料要素はいわゆる MTR 形で17 枚の八橋状の板が 0.125 in 厚の側板によってたばねられている。この大略の形は 図 5.1 のようで燃料の厚みは 0.030 in, クラッド の厚みは 0.015 in である。ただし外側の 2 枚は合金の厚みが 0.015 in で クラッド の厚みは 0.0225 in である。燃料は 20% の濃縮 ウラン 重量 5.45%の アルミニウム・ウラン 合金である。内部 15 枚は ウラン 235 を 11.2 g, 外側 2 枚は 5.6 g 含んでおり、一つの燃料要素では 179 g になる。燃料要素の配列は、内部の 6 本は 5.25 in 半径上に次の 6 本が 10.5 in 半径上にもっとも外側の 12 本が 13.89 in の半径上に配列されている。おのおのの燃料要素の周囲は重水でおおわれている。

6. 核的性質

JRR-2 は数多くの実験孔があり、この実験孔のうち、コアに近いものは大きなポイドとして働く、たとえば燃料が 12 本すなわち半分の loading の場合でも実験孔の Reactivityは 次のようになる。よって最後の項に記してあるように initial start up は Center thimble には重水を 11 in 02 本の実験孔および 6 in の Grazing tube には 95771 を入れて運転することになろう。

実験孔の種類	数	直径 (in)	Air の場合 % Jk k	要望する loading
水平	2	11	-1.25	グラファイト
	2	7.5	-0.64	-0.64 (air)
u	3	6	-0.66	-0.66 (air)
	4	4	-0.48	-0.48 (air)
"(姓通)	2	6	-1.74	クラファイト
垂 直	8	4.25	-	-
" Center thimble	1	4	-2.28	重水
		-	-7.05	-1.78

もし燃料を 24 本人れると % Jkk はそれぞれ -8.52 と-2.33 になる.

全出力運転時における コア の reactionaly effect は

		% Ak k
(a)	Xe 135 等価 poison	+3.56
(b)	Sa 149 " "	+0.83
(c)	温度係数 JT=62 F	+0.79
(4)	燃料の barn up および low cross section	
	分裂生成物の build in	+3.5
	Total +8	3.68 % 4k/k
制御	棒等価	-27.9
制	御棒による Control safety margin	-19.22
燃料	の有効長上部 3 in までの reflecter の	
da	ump による reactivity	-4.7
制御	棒ならびに重水 damp による Safety margin	-23.92
toz		

ここに上げている重水 damp による上部重水液面を下げる

ことは制御方法として用いるのではなく スクラム の方法として実施される.

Cold, clean の Critical mass は Center thimble に重水。6 in の Grazing tube に クラファイト をつめたとして計算すると U^{235} で 1.270g すなわち 7.1 燃料要素になるといわれている。この数値は通常の 2 group の Deffusion theory で解いても似た値が得られた。

これに追加の 8.68 % Ak/k に相当する U²³⁵ の量を加えると U²³⁶ で 2,070g すなわち 11.6 燃料要素となる。これが運転に 必要な最小の燃料要素の数となるが、実際に必要な数はこの計算に用いられた仮定を満足しなかったり熱除去の点でもこれより多くの燃料要素が必要と思われる。 さらに実験のために必要な reactivity などを考慮するとさらに多くの燃料要素が必要と なろう。実際には燃料要素を 24 本挿入することができる。

全出力運転時の核的、熱的の数値は次のようになる.

全熱出力	10 MW
比出力	4.7 MW/kg U ⁹³⁵
コア 平均熱中性子束	$1.3\times10^{14}~n/em^2/sec$
温度係数	-2.3×10^{-4} ⊿k k °C
中性子寿命	2.8×10^{-4} sec
Infinite Multiplication Const	1.8
Fermi Age	146 cm ²
Thermal Diffusion Area	$63 \mathrm{cm}^2$
Buckling	3.3×10 ⁻³ cm ⁻²

この JRR-2 はいわゆる燃料と減速機の配列された コアのまわりに重水および軽水の反射体がとりまいておりこれの厚さは 半径方向では大体等しいが上下方向ではかなり異なったものである.

われわれが種々の近似計算を実施した結果は、AMF 社から送られてきた計算値とかなりの一致が見られた。しかし計算に使用される種々の常数はわれわれは各種の公表された文献によって得たものであるがこれは今米国で得られる数値に比べて占いものと思われ違った値のものもあったが全般の計算に大きくひびかなかった。とにかくこれらの計算値が実際とどれくらいの相違があるかは今後炉の運転をみて初めて判明することになるう。

炉の制御にもっとも重要な制御棒は 3 in 径の6本のカトミウム棒である。この制御棒のうち1本は Regulating safety rod として用いるので運転はそれぞれ異なっている。もちろんスクラム(緊急停止)時においてはこの6本の制御棒とも炉心の中に落込むようになっている。制御棒は管状で内部に重水がはいり込むように設計されこのために制御棒に吸収できる熱中性子を増すようにしている。制御棒の動きうる範囲は燃料要素上部7 in 上から底部から33 in まで27.62 in である。1本あたりの Reactivity は4.6% ムk/k と計算されている。この制御棒は Original の CP-5とは全然形式の異なったものである。

JRR-2 の設計の基本になる核計算はこのほか非常に広範囲に実施されているがあまりに専門的になるのでここでは割愛することとし有名な アルゴシス 研究所の CP-5 との比較を表にしてみよう。

47	0 +		
		JRR-2	CP-5
(1	1) 田 カ	10 MW	$1\mathrm{MW}$
(2	 燃料要素あたりの U335 の ううム数 		95 あるいは 155
(3	3) 燃料要素あたりの	の燃料片 17	10
(4	1) 燃料要素 Al Date	0.64	0.40
(5	i) コア中の Al/D ₂ O	0.108	0.087
(6	i) 最大燃料数	24	17
(7) 濃縮度	20^{α}	90%以上
(8	3) 反射体	D ₂ O 18 in + H ₂ O 10 in	D₂O 24 in クラファイト 24 in
(5) 単位 セル 面積	230 cm ²	232 cm ²
(1	(a) 燃料領域容積 減速材領域容積	0.337	0.356
(1	1) ₩ moderator/¥ for	uel 1.388	1.180
(1	2) \sum_{α} cold clean	0.0148 cm ⁻¹	$0.0122 \mathrm{cm}^{-1}$
(1	3) $\sum t_{\tau}$ cold clean	0.3556 cm^{-1}	0.3565 cm ⁻¹
(1	4) τ	146.4 cm ³	$142.5~\mathrm{cm}^2$
(1)	 L² 	$63.2~\mathrm{cm}^2$	76.8 cm ²
(1	6) f	0.9359	0.9206
(1	7) p	0.935	1.00
(1	8) k=	1.798	1.925
(1	9) B_m^2 cold, clean	$0.00332~\mathrm{cm}^{-2}$	$0.00348~\mathrm{cm}^{-3}$
(2	0) Hot dirty critica	l mass 2.07 kg	$1.672~\mathrm{kg}$
(2	1) 制御棒形式	垂直 Cd	Signalarm Cd
(2	2) 制御棒本数	6	4
(23	3) 制御棒 reactivity	y 1本あたり -4.6% dk k	-10% ak k

7. JRR-2 の熱設計

JRR-2 は熱的に考えるとかなり余裕のあるものである。 すなわち燃料要素は14本から24本までの間どの場合にでも全力運転ができるようになっている。計算は出力11.5 MW としウラニウム235の濃度の不均一、中性子束分布の計算との相違、燃料板間の チャップ の不均一、熱伝達係数の相違、流れの不均一などの相違を考慮して種々な計算がなされているかここでは割愛したい、たた一部の計算値をあげれば次のようになる。

燃料	要素 14 本	24 本
運転出力	10 MW	10 MW
出力最大	11.5 MW	11.5 MW
熱伝達面積	176 ft ²	301 ft ²
平均 Heat flux (BTU/h/ft²)	223,000	130,000
Peak heat flux (Hot spot factor を除く)	504,000	294,000
Peak heat flux	600,000	350,000
流量	5,000 gpm	5,100 gpm

Hot spot temp

242°F

229°F

8. シャヘイ

シャペイ は施行上用いる材料は熱シャペイでは不銹鋼・生体シャペイでは重コンクリート・ボラール・鉛などで通常の機械類と異なった料を多く用い、どちらかといえば構築物にはいるものである。しかし設計上は非常にやっかいなもので種々の仮定をもうけてめんどうな計算を実施して初めて得られるものである。シャペイを大別すると一つは熱シャペイと呼ばれるもので炉心の周囲をおおう重コンクリートが放射線の吸収によって温度が上昇するのを防ぐために用いられるものである。他の一つはいわゆる生体シャペイと呼ばれるもので炉の運転中人間が炉壁に近づいても放射線の傷害を受けないように守るものである。JRR-2 のシャペイは炉の構造上次の五つの方向を別々に考慮している。

- (1) 重水 タンク の側面から炉の外板までの垂直方向の シャヘイ
- (2) 炉の上部の シャヘイ
- (3) 炉の下部の シャヘイ
- (4) 炉の側面の熱中性子柱の シャヘイ
- (5) 各実験孔の シャヘイ

設計は熱 シャヘイ では コンタリート 中の温度上昇は 50°F 以下 におさえており、生体 シャヘイ は許容量より 2 ケタ ないし 3 ケタ も低い値、中性子では 1 $n/cm^2/sec$ 、 γ 線では 10 γ photon/cm²/sec にとっている。

8.1 熱シャヘイ

JRR-2 の熱 シャヘイ は他の炉と比べて特長をもったものである。 すなわち重水 タンク のまわりに軽水の中に不銹鋼の厚さ 1 m の板 6 枚からなっている。この軽水の一部は二次的の反射体の役目をも兼ねている。計画によればこの熱 シャヘイ のために 生体 シャヘイコンクリート の温度上昇は、 γ 線で 21° C、中性子で 4° C 計 25° C すなわち 45° F となる。熱 シャヘイ は炉心部の γ 線・

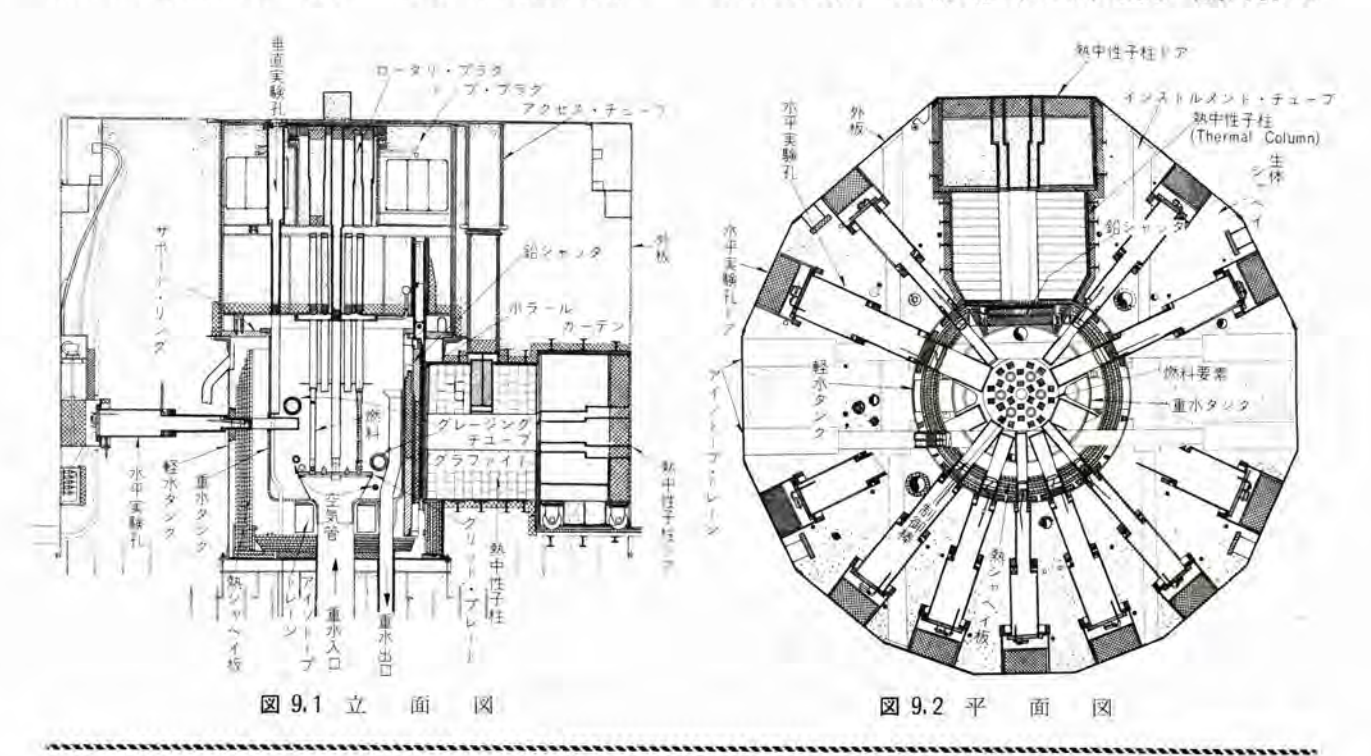
中性子の強い部分をおおっているが他の部分も同様に計算されているが、どこでも コンクリート の温度上昇は 50°F 以下におさえるようにしている.

8.2 生体シャヘイ

生体 シャヘイ は熱 シャヘイ の外側すなわち コンクリート 内部の γ 線、中性子の強さをもとにして計算される。使用された コンクリート は比重 $3.5\,\mathrm{g/cm^3}$ のものであるが、ポイド の多い ララグ 類には比重 $5\,\mathrm{g/cm^3}$ の コンクリート を用いている。 さらに計算によって シャヘイ がたりないと思われる場所には γ 線に対しては鉛を中性子に対しては ボラール を用いて炉壁のどこでも十分な シャヘイ を実施している。

9. 原子炉仕様の概要

図 9.1 および 図 9.2 には JRR-2 原子炉の立面図および平 面図が示してある。 炉心は 2½ ft 径 2ft の高さで燃料要素は 24 本挿入することができる. 制御棒は棒状の カドミウム 粗調整 安全棒が5本、微調整棒 (Regulating rod) が1本ある。炉心 は径 5ft 高さ 6ft 31/2 in 厚さ 1/2 in の アルミニウム 製重水 タン 2 の中におかれ、重水は タン2 の底部から オリフィス のついた各 燃料棒の下部から燃料板の表面を冷却して燃料棒の上部にある 穴から タンク にはいり、タンク から熱交換器を経て タンク にもど る. 炉心で熱せられた重水は熱交換器の中で二次の軽水により 冷却される. 重水の表面は 21/2 in 水柱圧の ヘリウム・ガス でおお われている. これは重水の純度を保たせまた放射線によって発 生する重水素,酸素などを炉外に取去るように循環させている. 重水 タンク の外側には高さ 97 in, 直径 96 in の アルミニウム 製 怪水 タンク がある. この中には軽水が入れられ、また厚さ 1 in の不銹鋼製の熱 シャヘイ 板 6 枚が入れられている。これは放射 線によって外側の コンクリート が過度に温度が上がらないように するためであることは前に述べたとおりである。軽水 タンク の



外側には比重 3.5 g/cm³ の重晶石を入れた約 6 ft 厚の重 コンクリートの生体 シャヘイ がある。その外側に アルミニウム 製の外板がある。結局炉の外径は 20 ft 7 in 高さ 14 ft 3 in の 14 角形をなしている。外板から炉心に、またトップ・プラグ から炉心に向かって多くの実験孔が設けられ、また グラファイト の ブロック を積んだ熱中性子柱が設けられている。このほか アイソトープ を生産する アイソトープ・トレーン が2本、1 in および2 in 径の気送管があるなど種々の実験ができるようになっている。以上で炉の概要を述べたが以下各部品について少し詳しく述べよう。

9.1 重水タンク

重水 タンク は内径 60 in 深さ 76 in の アルミニウム 製である。タンク は写真で見られるとおり上部には フランジ があり、底部には重水の入口管 1 本、出口管 2 本、タンプ・ライン 1 本、オーバ・フロー 1 本がついている。内部の底には プレナム・チェンパ がつきその上には燃料および制御棒がおかれる プリッド・ブレート がある。タンクの中央部には 11 本の水平実験孔の thimble や 2 本の グレージング・チューブ、2 本の気送管が貫通している。材料は 5052,6061,28の3 種類を用いた溶接構造である。設計としてはたとえば水平実験孔の thimble は溶接で取付けてあり、その位置ぎめは非常にむずかしいものである。しかも タンク 全体に多くの穴があいているようなもので板厚は 1/2 in あるが剛性は弱く容易にひずみやすい。そのために製作に細心の注意を払ったばかりでなく、完成後の気密、水密試験なども変形を用心し、長崎より現地まで



図 9.3 重水タンク 重水 タンク をすえ付けるところ



図 9.4 重水タンク内部 内部に数多くの実験孔の thimble が見られる。 真中の穴が重水入口、左右に出口が見られる。

の輸送には梱包箱、その抑にも神経をつかい輸送方法も衝撃の 多い陸上輸送を極力さけて横浜まで海上輸送をしたほどである。

この重水 タンク は原子炉の心臓部である炉心を入れ、高価な 重水を入れる大切な容器であるのでその検査も厳格をきわめた. 検査は AMF 社の規格によって実施されたのであるが、たとえ ば溶接部は ダイテェック 検査の後、X 線検査を実施した. この場 合 AMF の規格は ASME 規格なので タングステン・スポット に関 してはなんら規定されておらないがわれわればブロー・ホールの JIS 2級と同等に取扱った。 タンク 完成後水圧 テスト と へりウム・ リーク・テスト を実施した. 水圧 テスト は各種機器類でよく実施す るものであるが、リーク・テスト は真空装置・真空機器では実施し ているが一般機器では実施していない テスト である。 さらにこ の タンク のように ヒズミ を受けやすい構造だと普通 ヘリウム・リー ク・テスト で用いている真空法が実施できず スニィファ 法か エンベロ - う 法で検査をすることになった. これは タンク 内に ヘリウム・ガ ス をつめ外部から ヘリウム・テテ₂シタ の プローブ で溶接部をかいで まわり ヘリウム の漏洩を検知するかあるいはあらかじめ溶接部 をビニールの袋でおおい数時間放置後 プローラ を入れて検知する 方法である. このようにして 10-6 cc std/sec 程度の微量の漏洩 を検知し補修しこの程度の感度では感知できない程度に製作す ることができた。この ヘリウム・リーク・テスト は感度は良く取扱い は比較的簡単で非常に便利なものではあるがなにぶんまだ製作 されてから日が浅く、工業的の検査機器としては確立していな いので担当者は非常な苦心をした。しかしこのような微少な漏 洩量を検知できる ヘリウム・リーク・テスト は将来原子力工業におい て大きな進歩をすることと思う.

アルミニウム の溶接も アルミニウム が 2S, 5052, 6061 と異なるの で母材の種類によって溶接棒も異なり目に見えないところにも 苦心が払われた. この重水 タンク は全体を サポート・リング によってつり下げられるように組立てられる.



図 9.5 軽水タンク 現地ですえ付けるところ

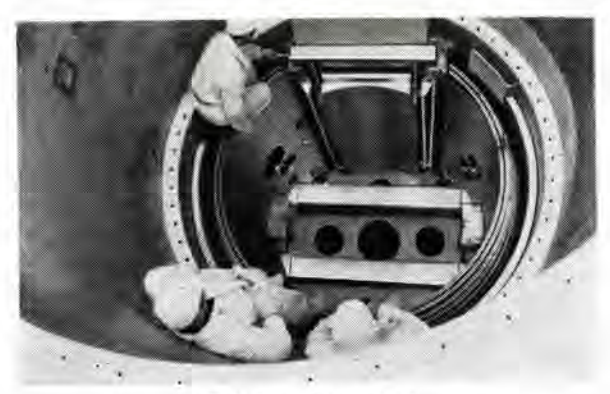


図 9,6 軽水タンク内部 6 枚の熱 シャヘイ 板、底に2本通っているのか アイントーラ・トレーン、上部に鉛 シャッタ が見える

9.2 軽水タンク

軽水 $g_{0,0}$ は写真に見られるような直径 96 in 高さ 97 in の rルミニウム 製の $g_{0,0}$ である。これには軽水が入れられその中には不銹鋼製の熱 9+4 付板 6 枚が入れられる。この $g_{0,0}$ は JRR-2のすえ付工事の鉦になるためにいちばん最初に製作されすえ付けられた。

この 929 の大きさは梱包を入れると輸送限界をこえてしま うので長崎造船所から陸送はできず、これも横浜まで海上輸送 をした。横浜からも ガード の高さが低いために由づりをするな ど輸送にも苦心が払われた。また材料が アルミニウム なので梱包 に対しても特別の注意を払わないと傷はつきやすくまた容易に 変形しやすい。またこの 929 には補強の I ビーム はついては いるが、熱中性子柱の底部にあたる大きな平面があり全体に剛 性に乏しい溶接構造なので現地で下部 パイラ を溶接したり、熱 中性子柱を溶接するとき、水平実験孔 ライナ を溶接するとき。 さらに生体 シャヘイ の重 コンクリートを グラウト するときまでつね に変形を心配しなければならなかった。

9.3 熱シャヘイ板

軽水 タンク 内におかれる 304 ステンレス・スティール 製の熱 シャヘイ 板は最初の設計では 1 in, 2 in, 3 in 厚のもの各 1 枚であったが 日本では 1 in 厚以上の 304 の ステンレススティール 板が容易に入手できないので 1 in 厚 6 枚に変更してもらった。この熱 シャヘイ 板は側板が二つの部分に分れ、底板は別になっており、水平実験孔や気送管などが通る沢山の穴があいている。またこれは軽水 タンク 内に置かれるのでこれを製作した神戸造船所と長崎造船所との密接な連絡によってまちがいなく組立てられた。しかしこの熱 シャヘイ 板を定位置にすえ付ける場合に熱中性子柱に干渉する問題が生じた。これは設計のミスで熱 シャヘイ 板は定位置にはいれば干渉は起らないがそれを入れる途中干渉してしまった。

9.4 制 御 棒

シム 安全棒も Regulating rod も 3 in 外径の中空の 「li in 厚の Pルミニウム 管の中に 0.020 in の カドミウム を サンドイッチ したものである。 アルミニウム と カドミウム とは直接接触しているので熱伝導は非常に良好である。カドミウム の長さは 26 in ± 1/4 in である.

この制御棒は図で見られるように燃料棒の第1列と第2列の間にありつねに重水の中につかっている。制御棒の上部には適当な穴があいているので スクラム (緊急停止) の場合の時間を短くするし、炉の停止後に自然循環とすることができる。

制御棒は駆動装置とも AMF 製である.

9.5 生体シャヘイ

生体 シャヘイ は パライト (重晶石) を含んだ下記の規格の比重 3.5 g/cm³ の重 コンクリート である.

Coarse Aggregate 1 1/2 in	3,110 lbs/Cu Yd
Fine Aggregate	$2,250~\mathrm{lbs/Cu~Yd}$
Cement Content	486 lbs/Cu Yd
Water Cement Ratio by Weight	0.58
Admixtures percent Weight of Cemer	1.00
Sed h let	93.5 % BaSO.

コンクリート の厚みは約 6 ft 3 in である。種々の装置を入れるために コンクリート がこの厚み以下の場合には、これに相当する量の鉛を追加している。たとえば コンクリート 中を径 4 in の パイラ が通過していると炉中心上下 30 cm の範囲には 1 in 厚の鉛の 5 + 4 ft にまきつけ外部での放射線の 1 によくに高いところがないよう注意をしている。

この コンクリート の打設はいわゆる プレパクト 法でまず骨材をおき、後から コンクリート を グラウト する方法である。よって施行 上にも種々の苦心が払われた。コンクリート に埋込まれる アルミニウム 部品は パレット YB-34-B という タール 状の塗料をぬったり ポリケン・テープ をまいたりして腐食に対して十分考慮をほどこした。

トップ・プラグ や実験孔の プラグ に入れられる生体 \mathfrak{b} +ヘイ の コ \mathfrak{b} は比重が \mathfrak{b} \mathfrak{g} /em³ のもので規格は下記のものである.

Steel	6,145 lbs
Barytes	986 lbs
Cement	667 lbs
Frits	308 lbs
Water	325 lbs

この Frits はいわゆる Boron Frits で成分は次のようなものである。

SiO ₂	31.00	n _o
Al_2O_3	1,70	96
B_2O_3	27,40	90
CaO	5.20	00
BaO	12.90	00
ZnO	6.70	96
Na _e O	12.20	06
K_2O	1.00	06
F	1.90	90

これらの コンクリート の打設にあたっては ブラヴ の構造が複雑 なために変形を心配し各方向の変形量を測定してみたが変形は 思ったより少ないものであった.

W社文献抄訳

トランジスタを応用した同期電動機制御装置

Dean J. MacGregor and Richard M. Hayford: Improvement in Synchronous Motor Control with Transistor Logic (Westinghouse Engineer, Vol. 19, No. 4, July, 1959, p. 119)

同期電動機の制御装置としては

- (1) 適切な回転数に達した後最適な位相で界磁を励磁する こと。
- (2) 脱調を検出し、界磁を切り離すこと、
- (3) 制動巻線の過熱保護を行なうこと。

などが要求される。従来これらは電磁継電器によって行なわれていたが、新しく トランジスタ を応用した制御装置が開発された。トランジスタ には周知のように、小形で信頼性があり、動作時間が短いという特長があるが、新形制御装置は、つぎの利点をもっている。

- (1) 界磁投入が正確, 円滑に行なわれる.
 - (2) 脱調検出が確実で、過渡的な外乱で誤動作することが ない。
- (3) 各要素が小形軽量であるため、制御装置は小形となり、 また所要電力もきわめて小さい。

動作の概要

(1) 起動

電動機の速度検出回路と回転子の位相検出回路よりの両信 号が得られたとき、界磁接触器を励磁して同期化させる.

(2) 脱調保護

脱調したときは界磁回路に交流分が誘起されるのでそれを 検出し、パルス計測を行なってあらかじめ設定されたパルス数 で、電動機の保護を行なう。同期化時などに出る過渡パルス では動作しない。

(3) 制動巻線の保護

制動巻線保護回路はスペリ 周波数を一定幅の パルス に変換し、その積算値が制動巻線で消費された全 エネルギ を表わすよう、構成されている。したがって電動機の設計によって定まる一定値で、シ+ 断器を トリップ させ完全に制動巻線の保護ができる。 (神戸製作所 新谷保次訳)

多数組合わせの減速機構

A Versatile System of Gears (Westinghouse Engineer, Vol. 19, No. 4, July, 1959, p. 108)

W 社では新しい減速装置の シリース を開発したが、これは



図 1 歯車箱



図 2 低速歯車ワクおよび 変速歯車(右端の歯車)



図 3 减速電動機



図 4 減速機

"モジュラインシステム"と呼ぶもので、数少ない部品集団を適当に組合わすことによって、数多くの減速装置を構成するものである。 すなわち 15 組の ブロック と 7 種類の サイズ で 0.75 kW から 30 kW までで少なくとも 4 万種の減速電動機、変速機あるいは減速機を構成することが可能であって、これは減速装置の用途の 3/4 を占めるものである。

この減速装置の構成要素は歯車箱 (図 1), 低速歯車 92 および変速歯車 (図 2) であり、これに種々の部品を取付けて上記のような数多くのものを作り出すのであるが、減速段数は2段から4段まであり減速比は2段減速で 4.17 から 25. 3 段減速で 20.7 から 125. 4 段減速では 103.7 から 625 までである.

容量的にはもっとも小さい (サイズ 1) 2 段減速の減速機 (図 4) の重量は 54 kg で、減速比 4.17 のとき 7.5 kW、減速比 25 のときは 0.75 kW、もっとも大きな (サイズ 7) 4 段減速の減速機の重量は 740 kg で減速比 103.7 のとき 6.7 kW、625 のとき 1.1 kW の容量を有す.

以上をまとめると、この"モジュラインシステム"の減速装置は減速比は 4.17 から 625 まで、容量は $0.2\,\mathrm{kW}$ から $75\,\mathrm{kW}$ までである。

また、これら数多くの交換組合わせを可能とするためには高い工作精度と高度の工作管理が必要で、このため工作はすべて自動機によりなされる。従来 W 社の減速装置の歯車とその軸との締しろは非常に大きな数値 (JIS H716 相当) であったが、この減速装置の変速歯車の ハメァァ イは容易に取換えができるよう非常に小さい締しる (0.005~0.017) である。またここは スララテ マ ハメァァ イ になっており、穴のほうは ブローチ で加工するが軸のほうは冷間圧延加工により スブライン を形成し軸の強度を上げている。

歯車はすべて荒歯切し熱処理(肌焼入)ののち創成研摩盤に よって高精度に歯面研摩を行なう.

減速装置全体の機械損失は1ないし 1.5% 程度でほとんど考

慮する必要がないくらいである。騒音も高精度の研摩歯車を使用しているので普通の減速装置より約5 デシベル 低い値である。

"モジュラインシステム"の滅速装置は壁取付、天井取付あるいは 直角軸、垂直軸なども標準として考えられている。

(福岡工場 中野大典訳)

ホール増幅器の原理とこれが設計上の考慮

T. Barabutes and W. J. Schmidt: Principles and Considerations in the Design of a Hall Multiplier (conference paper 59-875)

従来電力測定には3種類の基本的増幅装置が使われていたが、 今回新しく発達した半導体 ホール 発電器を利用した第4番目の 増幅装置が出現した。これは ホール 発電器とよばれる半導体の ホール 効果を利用したものでその増幅特性は式(1)で示される。

$$V_H$$
=ホール 電圧 (ポルト)= $\frac{R \cdot i_c \cdot b \times 10^{-8}}{d}$ (1)

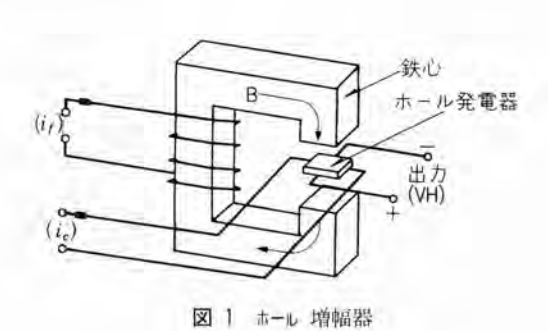
このうち R: ホール 常数 Ω-cm³ coul i_e: 制御電流 (A) b: 磁東密度(ガウス) d: ホール発電器の厚さ(cm)

図 1 に示すように t_n 発電器を磁界中におき、 i_r 電流によって鉄心の間げきに電磁界を生ぜしめ、制御電流 i_c をながせば式 (2) がえられる。

$$V_H = K_1 \cdot i_r \cdot i_r$$
 (2)

これは π - π 電圧 (V_N) は入力 i_f と i_e の積に比例することを意味する。かかる装置からえられる最大出力は i_e =0.5A、10.000 がつス で約 30 ミリワット である。 さらに設計上の課題には温度補正、零電圧の補正などあるが、これらは容易に補正されるかまたは補正の必要のないときもある。

図 2 は単相交流電力の測定に使われる ホール 増幅器 (ホール ワット トランスデューサ) の原理図である. ホール 発電器への磁界は 線路電流に、制御電流は線路電圧に比例するから トランスデューサ の総合出力は交流回路の消費電力に比例することになる.



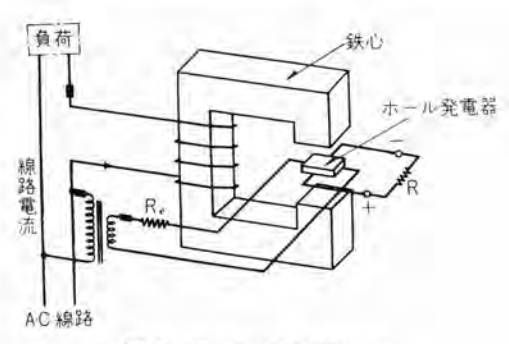


図 2 ホールワットトランスデューサ

多相交流回路では2個以上を使用し、直列接続で利用される。本文には多相 ワットメータ の製品写真がのっており、これは ワットメータ 端子にかかる電圧、電流による電力に正比例した直流電圧で指示されるものである。 そして ホール 増幅器はかかる ワットメータ の製作に非常に適したものであることが設計的見地からのべてある。 最後にこの ホール 増幅器の固有の利点ともいうべきものは二つの電気量の積に比例した出力を必要とするいかなる装置にも一般に応用できることである。と結んである。

(伊丹製作所 加藤又彦訳)

シリコン・スイッチ

What's New in Engineering: Silicon Switch (Westinghouse Engineer Vol. 19, No. 4, July, 1959; p.128)

新しい。シリコン 半導体装置が開発された。すなわち 3 端子 PNPN 形多層接合による トリニスタ であって、その ブレークオーバ 電圧 (通電状態にはいる電圧)は ベース 電流によって制御できるものである。

ベース 端子に信号がない状態では、順方向に定格いっぱいの 電圧がかからなければ電流が流れない。しかし ベース に 2~3V の信号電圧が加えられると、それ以下の順方向電圧においても 通電状態にはいることができる。通電状態における電圧降下は 通常の シリコンダイオード の特性に近い、ベース 信号による電流は 25~150 mA 程度である。逆方向では定格電圧にまで電流が流れない。

トリニスタ は電圧 400 V 電流 50 A までの回路に適している。 また 1.0 マイクD 秒で通電状態にはいり、 $15 \sim 20 \text{ マイクD}$ 秒で電流が切れる。これらの時間は負荷電流によってかわる。

トリニスタは放電管に代って用いることができる。しかも順方 向電圧降下は低く、フィラメント も必要とせず、回復時間も短く、 信頼度も高い、トリニスタはこのほか、変換器、インパータ、周波 数変換器、可変周波数変換器、モータ制御、電圧制御に用いる ことができ、ときには磁器増幅器や高電力変調器にもおきかえ ることができる。 (研究所 清水潤治訳)

NEWS ILASH!

■ 医学用テレメータ実験に成功 名大医学部ならびに環境医学研究所と協同実験

名占屋大学医学部ならびに環境医学研究所と協力して心電圧などの生体電圧を無線遠隔測定する テレメータ 装置を試作し、昨年の 11 月 14,15 両日、名古屋大学医学部(昭和区鶴舞町)と同工学部(千種区不老町)間約 4.5 km で公開実験を行なった。

この装置は今後実用化し、無重力、大加速度、あるいは運動中など特殊環境下にある人体や動物の各種生体反応の変化を遠隔診断して、適応性や疲労を分析し、各条件下の適切な健康管理方式を発明しようとするもので、将来の スポーツ 医学や・宇宙医学につながる意義は大きい。

用途から考えて テレメータ 方式は多重化できるものでなければ ならず、また送信側はなるべく小形軽量にしうる方式でなければならない。

生体電圧としては心電圧 $(1 \,\mathrm{mV}\,\, \, \mathrm{UF})$, 脳波 $(10 \,\mathrm{\mu V}\,\, \, \, \mathrm{UF})$ や G. S. R. $(皮膚電気反応、約0.5 \,\mathrm{mV})$, その他トランスジューサを通して得た脈波などがあるがいずれにしてもきわめて微小な信号であり、また 伝送周波数は 相当低いところまで 要求 される。

これらの点より医学的信号を遠隔測定するに適した テレメータ 装置を試作した。

実験に使ったのは バラックセット で 1 チャネル だけであったが、順次心電圧、脳波、G. S. R.、脈波を送り、送信側 モニタ で直接記録したものとまったく同じ受信記録を得て、十分診断に使えることがわかり成功奥に終了した・



送信側の状況



心電図の送信側 モニタ 記録 (上) と 受信記録 (下)

実験用装置の概要はつぎのとおりである.

方 式 FM-FM 方式

サブキャリヤ 3 kc

メインキャリナ 151.89 Mc (実験局)

出 力 50 W

伝送周波数 0.1~150 c/s (-1 db)

(ペンレコーダ以外)

サブキャリヤ 変調回路 マルチバイブレータ 方式

サブキャリヤ 復調回路 ファンタストロン 積分方式

この実験の次の段階として目下送信側を全 トランジスタ 化しポータブルラジオ 程度の寸法重量にして、マラソン 選手の心電圧などをテレメータ する装置を製作中である.

■ 中部電力株式会社川口発電所向け 32,000 kVA 水車発電機完成

かねてより、鋭意製作中であった中部電力株式会社川口発電 所向け、32,000kVA 水車発電機が工場で完成し、無拘束速度 試験を含めての各種の立会工場試験を好成績で終了した。

川口発電所は、大井川水系に属する調整式の発電所で、この発電機は、30,300 kW 水車と直結し、磁気増幅器式自動電圧調整器および、電気 ガバナ などにより制御され、発電所としてはワンマンコントロール 方式である。

発電機の定格

形式 立⁻ 輔回転界磁、閉鎖風道循環形、空気冷却器付出力 32,000 kVA 電圧 11,000 V 力率 90 % 回転数 257 rpm 周波数 60 c s



川口発電所向け 32,000 kVA 水車発電機

■ 半導体整流器保護用

FL形低圧速動ヒューズ 生産開始 FL形低圧表示ヒューズ

半導体製ダイオード は過負荷耐量が低いので、保護用ヒューズに

は故障電流をできる限り急速確実に シャ 断指示することが望まれる。しかも最近の整流器は容量が非常に大きく、ヒューズの シャ 断容量も 100,000 A 以上の大きいものが要求されるようになった。

この要望に答えるため数年前より当社 50 MVA 大電力 5+ 断試験設備を使用して、高性能 ヒューズ の開発に努力していた が最近

FL 形 AC 130 V 100 A 400 A 600 A

FL 形 AC 250 V 300 A 400 A

FT 形 AC 250 V 1A

の開発試験が完了し、生産を始め、その第1号品は江戸川化学 山北工場に納入された、引続き今後の当社製 シリコン 整流器に はすべてこの FL、FT 形 ヒューズ が使用される予定である。

本品の特長は

- 1. 小形で, 大シャ 断容量 (AC 100,000 A 以上) を有する.
- 2. 非常に速く精確な動作性能を有する.
- 温度上昇が低く JIS C 8352 の温度試験 (定格電流の 1.15% 通電で溶断せず温度上昇 65°C) に合格する.
- 4. シ+ 断性能が確実で、大、小電流とも、異状電圧の発生 なくシ+ 断する・

なお本品は半導体整流器用に限らず、低圧大容量回路の短絡 保護用として広く応用できるものである。その方面で多数使用 されることを期待している。



FL-13×400 形 FL-13×600 形 FL-25×400 形 I 130 V 400 A 130 V 600 A 250 V 300 A

FT 形 2PT 250 V 1 A

■ 避雷器現場試験器

発変電所ならびに送電線の絶縁協調は避雷器の保護特性が基 準となっており、発変電所に現用中の避雷器の特性の良否を判 定することはすこぶる重要なことである。現在のところではま だ他の機器と同様、現場における適確な試験および判定方法が 確立されていない実状である。

このたび開発された避雷器現場試験器は避雷器の最重要特性である サージの放電開始電圧を衝撃電圧発生器、高速度 ブラウン管 オシログラフ などを使用せず測定するものであり、パルス の発生には空心 パルス 変圧器を用い、放電開始電圧の測定には瞬時波高電圧計を用いて直読できるようにした小形で移動容易な現場試験器である。これによって避雷器のサージ 放電開始電圧をそのすえ付位置において測定し、保護特性の良否を判定することができる。

この試験器の主回路は 主蓄電器, パルス変圧器お よび放電抵抗からなる CLR の減衰振動回路で ある. この回路の常数に よりきまる第1波の高い 波高値の電圧を避雷器に 印加する. このときの電 圧を分圧して整流し、 善 電器を充電させ、その端 子電圧を波高電圧計で測 定する. この電圧は発生 電圧に比例するゆえ、目 盛を発生電圧に目盛るこ とにより直読できるよう になっている.



避雷器現場試験器 (発生電圧 350 kV)

避雷器の放電の有無は電圧計の読みが放電により急変することにより知ることができる.

写真はこの試験器の外観である。2本の直立円筒の右側の太いほうがパルス変圧器であり、左の細いほうは分圧器である。 分圧器は運搬時には取はずして横箱できる。

現在製作している機種は、定格電圧 70kV までの避雷器が 試験できる発生電圧 350kV のものと、定格電圧 30kV まで の避雷器が試験できる発生電圧 180kV のものの 2 種である。

発生電圧 350 kV のものの概略寸法および重量はつぎのとおりであり、小形四輪車に積載して容易に運搬できる。

幅 1,400 mm 奥行 1,600 mm

高さ 使用時 3,250 mm 運搬時 1,710 mm

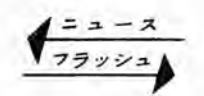
重量 約 800 kg

この試験器を実際現場に使用し、各種の避雷器を試験して有用なデータを得ている。

■ 中山製鋼向け 40 t (最大 50 t) アーク炉 および山陽特殊製鋼向け 30 t アーク炉受注

当社は アーク 炉用電機品 1 式はもちろん、炉体をも製作し、 わが国では唯一の アーク 炉総合 メーカ であるが、今回上記の大 形 アーク 炉を受注した。炉の形式は、炉に材料を装入する方法 によって大別されるが、今回のものは炉 ヴタ つり上旋回式で、 輸入品を除いてはわが国で初めての方式である。材料の装入、 傾動などの操作は全部電動式で、完全な インタロック により誤操 作のための事故を防止している。40 t 炉の炉殻径は 5,200 mm で現在わが国で使用されている最大のものである。

ア-ク 炉用変圧器は 30t 炉用としては 13,000 kVA 40t 炉用 としては 15.000 kVA でいずれも負荷時 タップ 切換器付である。 現在わが国の ア-ク 炉用変圧器の最大のものは、当社が昨年三 菱製鋼(長崎) に納入した 50t 炉 (炉殻径は 5,200 mm で中 山製鍋から受注の 40t 炉と同じ) 用で 18,750 kVA である。



5+ 断器は 20-CF-50 形空気 5+ 断器で、これは開閉ひん度のはげしい r-2 炉用に設計されたもので、電源の開閉と大電流の 5+ 断をこれ 1 台で行ない、すでに 10 万回以上の 5+ 断を 1 回の補修もせずに行なった実績をもっている。

電極の自動電流調整装置は ロートトロール 式で、これもすでに 数多く アーク 炉に使用され、優秀な成績をおさめている。

以上のような、当社の優秀な アーク 炉用電機品とともに、製作する、外観、設計ともに斬新な大形炉は、必ずや製鋼業界の要望に沿いうると信ずる。

■ 三菱銀行向け 900 Mc 帯バンカービジョン受注 銀行事務のスピードアップ

このほど、三菱銀行本店(東京丸の内)と同銀行研修所(都下北多摩郡保谷町)間の テレビ 回線用として、 900 Mc 帯の間 波数を使用する テレビ 送受信装置 1 式を受注した。

この テレビ 送受信裝置は、当社がこれまで納入してきた火力 発電所の炉内監視、水力発電所の水面計監視、製鉄ストリップミル 監視用などの有線を使用した工業 テレビジョン に対して、900 Mc 帯 (被長約 30 cm) を パラボラ 空中線によって送受信する本格 的な超短波使用の工業用 テレビ 送受信装置である。

この装置は

金融市場・為替相場の伝達

事故手形・偽造紙幣のいっせい連絡

帳票の集中保管による預金残高の伝送

その他 スピード を要する各種事務の通達

行員教育(法令解釈・事務処理方式の変更・指導など) などにより、事務能率の向上、事務の スピードアップ を図り、顧客への サービス の向上を期する、いわゆる パンカービジョン の一環をなすものである。

仕 様

- 1. 送信装置(本店設置)
 - a. 送信機 1 台

田 力 10 W

周波数 840~940 Mc のうちの 1 波 (申請中)

形 式 ME-21 形 900 Mc 帯 1TV 伝送用送信機

- b. 調整装置 映像監視装置 1 台
- c. ITV 送像装置 ITV 撮像装置 (白黒方式) 1 台
- d. 送話装置 送話装置 1 台 通話路 1 台
- e. 電源設備 自動電圧調整器など
- 2. 空中線(本店設置)

形 式 放物面鏡 1 基 (将来は無指向性空中線となる)

構 成 水平偏波

長 さ 直径 1.8 m

海抜高さ 57 m

- 3. 受信装置(研修所設置)
 - a. 受信機 1 台

形 式 ME-21 形 900 Mc 帯 ITV 伝送用受信機

b. 空中線 放物面鏡 1 基

海抜高さ 86 m

なお受信装置は、将来各支店に設置するものと同じである.

■ 関西電力交流計算盤第2期増設工事受注

当社は関西電力に昭和 32 年7月に発電機単位 12 単位、全単位数 320 単位の大規模な交流計算盤を設置したが、この交流計算盤は同社超高圧系統新設や系統運用上の諸問題の検討に連日使用され、その高精度 アナログ 計算機であることが立証された。その後計算速度の向上のために発電機の出力を自動的に一定に保つ Watt-Regulator units 12 単位、負荷一定または電圧一定に自動的に保つ Automatic voltage regulator units 24 単位を増設したが、なおいっそうの活用を期すために新しく第 2 期増設工事を行なうことになり、つぎの規模のものを受注し昭和 35 年3月に納入する予定である。この増設工事が完了すれば、電子管式のものにくらべてはるかに高精度で、保守不用、過渡現象の解析可能、および故障計算時に三相四線法の適用可能な全自動化された大規模な General purpose analog computer となる。

規模

発電機単位 6 名電機 リアクタ 単位 6 線路単位 30 位相変圧器単位 2 相互結合単位 4 ララグボード 1 過渡安定度自動計算機 18 単位分

■ 電通研向け中性子デフラクトメータ受注

当社ではかねて、日本原子力研究所向け中性子回折装置 (ニュートロン・スペクトロメータ) を受注、目下、研究所と伊丹製作所で製作中であるが、今回さらに、電電公社電気通信研究所から 2 号機を受注した。

いずれも JRR-2 原子炉にすえ付けられるものである。1号機にくらべ、この2号機の特長は試料は粉末でなく単結晶を主として使用することである。したがって測定はあらかじめ セン孔 \mathfrak{F} - \mathfrak{I} に \mathfrak{K} 2 \mathfrak{I} 5 された測定 \mathfrak{I} 1 \mathfrak{I} 5 にしたがってすべて自動的に行なわれ、かつまた記録される。

このため トランジスタ を用いた プログラムコントロール 回路が付属している。

また本機は一つの実験孔から将来2組の実験ができるよう双 子形になっていることも特筆できよう。

このほか中性子の スピン の向きをそろえて磁性体の研究をするために用いる スピンフリッパ などかずかずの特長をもっている.

本機は1号機についで昭和35年10月ごろJRR-2原子炉にともに並んで設置される予定である。



器円盤素体 弁 形

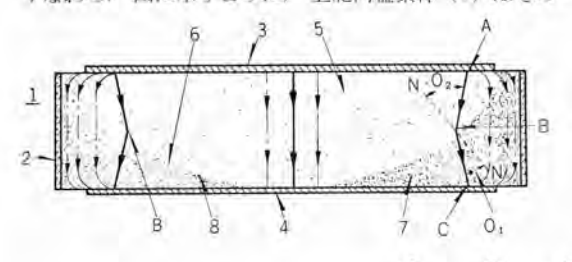
発明者 鎌 田 隆 好

従来炭化ケイ素の結晶粒子によって構成されたこの種弁形 避雷器円盤素体においては、衝撃波電流の表皮効果、あるい は電極の沿面効果などにより、その円盤素体の周辺部に電流 が集中し、周辺部の貫通破壊を生じやすい欠点があった。し たがって、これを防止する対策として、上記円盤素体を中心 から外周に向かうに従って、制限電圧の高い炭化 ケイ 素粒子 を、多重円筒形状に順次段階的に配列すること、あるいはま た、中心より外周に向かい、円盤の厚さを大とし、円盤素体 周辺部への電流集中を防止する方法などが講ぜられていた.

しかしながら、上記前者のものにおいては、それぞれ制限 電圧の異なる炭化ケイ素粒子より成る筒体を、同心的に順 次配列しているので、その組立後の最終成形作業に手数を要 するばかりでなく、各箇体間の接合境界面に電流が集中しや すく、また後者においては、円盤素体の中心部の厚さか薄い ので、商用周波の印加の場合には、円盤素体の電流耐量を減 少する欠点があった.

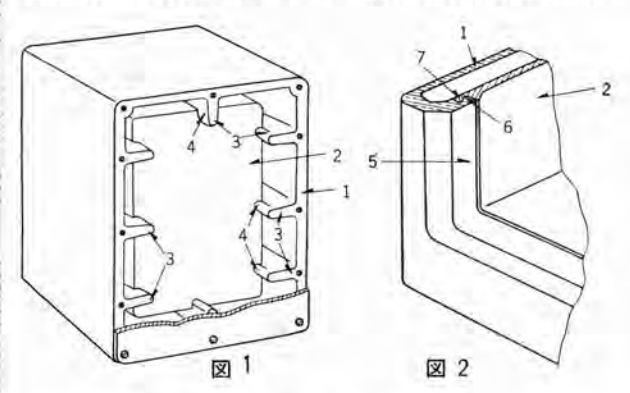
この発明は、以上のような欠点をなくして、その工作を簡 易化させると同時に、その特性を改良したものである.

すなわち、図に示すように、上記円盤素体(1)はその一



冷 蔵 庫

この発明は、合成樹脂の塑造により構成された冷蔵庫の箱 体に関するもので、前面ならびに後面に開口を有する外箱(1) と、この外箱内に挿入され前面に開口する内箱 (2) とは、 図 1 の背面図に示すように、外箱の内周面に突出する複数条 の板状の突壁(3)と、内箱の外周面に設けられ上記突壁(3) と対応する凹 ミグ(4) との係合により、所定の関係位置を保 持するようになされているので、外箱内への内箱の挿入がき わめて容易であるばかりでなく、上記突壁(3)は上述した内



面が凸面(6)をなす低抵抗炭化 ケイ 素材より成る円盤素子 (5) と、一面が上記円盤素子 (5) の凸面 (6) に密接に適合 する凹面(8)をなす高抵抗炭化ケイ素材より成る円盤素子(7) を重合し、その上下両面に電極(3)(4)を設け、外間には 水ガラス(2) を塗布して構成したもので、このように構成 することによって、上記各素子の成形あるいは重合が容易に なるばかりでなく, 各素子の抵抗値をそれぞれ適宜選定組合 わせることにより、種々の特性を有する円盤素体がきわめて 簡単に得られ、また上記円盤素子 (7) は円盤の中心部にお いて、その抵抗値が最少にして外周に向かい円盤の厚さが大 となっているので、これによって円盤素体の周辺部への電流 集中を阻止することができ、反対に他方の円盤素子(5)は、 中心部において、その厚さが最大になっているので、商用間 波数の印加時においても、円盤素体の電流耐量が減少するこ となく、さらに両素子(5)(7)の重合境界面においてはそ の法線 N-N に対し、図中 A-B-C 線で示すように電流流線の 屈折を生じ、これが上記表皮効果によって円盤素体の周辺部 に集中しようとする電流の傾向を減殺緩和し、この作用が上 記両素子(5)(7)のそれぞれの作用とあいまって、さらに円 盤素体における電流分布の均一化を助成するように作用する ものである.

たお。上記両素子(5)(7)の重合境界面の形状を適宜に変 化することにより、上記電流流線の屈折を変化させ、表皮効 果による電流集中作用の減殺緩和効果を適宜に選定すること (特許第 250761 号) (長谷川記) もできる.

0 箱

発明者 石川嘉孝

箱の凹 ミジ(4) とのかん合とあいまって、内外二重箱体の補 強用の力骨として作用し、運搬時の衝撃にも十分にこれを保 護し得られるものである.

また, 外箱 (1) の前面における内箱 (2) との結合は、内 箱を外箱の後部開口より挿入したとき。図2に示すように外 箱の前縁より内方に反転屈曲する縁部(5)の内側に設けられ た降起部(6)と、内箱の開口内間縁に設けられた隆起部(7) とが互に衝合し、両者がかみ合わさることにより結合される.

この両者の結合は、上記隆起部のかみ合に限られたもので なく、これを突起と凹窩のかみ合とするか、あるいは段部の かみ合としてもよい、

この発明は、要するに、互に間隔をおいてかん合する内外 の箱体に、かん合時に互に衝合してかみ合わさる凹凸を設け、 この凹凸のかみ合により両者の結合を確実にしようとしたも ので、従来の冷蔵庫の箱体に見られるように、鉄板の溶接よ りなるものと比較して、その製作はきわめて容易で均一な製 品の量産に適するとともに、組立を簡易迅速に行ない5る効 (特許第 246767 号) (土居記) 果を有するものである.

本社 営業所 製作所 工場 研究所 所在地

本 京 商 業 営 大阪営業所 名古屋営業所 福岡営業所 札幌営業所 仙台営業所 富山営業所 広島営業所 高松営業所 小倉出張所 静岡駐在員 岡山駐在員 金沢駐在員 神戸製作所 伊丹製作所 長崎製作所 無線機製作所 名古屋製作所 岡工場 静 中津川工場 和歌山工場 福岡工場 福 111 II. 場 姫 路 I. 場 大船工場 世田谷工場 郡山工場 77 究 所 無線機製作所 東 札幌修理工場

東京都千代田区丸の内 2 丁目 3 番地(東京ビル内) (電) 和 田 倉 (201) 代 表 $1631 \cdot 2231 \cdot 2331$ 東 京 都 千 代 田 区 丸 の 内 2 丁 目 20 番 地 (三菱商事ビル 3 階) (電) 東京 (211) 代表 2511 大阪市北区堂島北町8番地1 (電)大阪(34)代表5251 名古屋市中区広小路通り(電)本局(23)代表 6231 福岡市渡辺通り2丁目(電)福岡(2) (電気ビル内)表 6031 15 富山市安住町23番地2(電)富山(2)0151 広島市八丁堀 63 番地 (昭和ビル内) (電)中(2)2211 高 松 市 寿 町 1 丁 目 4 番 地 (第一生命ビル) (電) 高松 (2) 代表 4416 ビル直通 5021 小倉市京町10丁目(五十鈴ビル)(電)小倉(5)8234 **静岡市呉服町2丁目1番地(電)静岡(2)2595(3)2962** 岡山市浜田町20番地 (電) 岡山(3) 2948 金 沢 市 田 丸 町 55 番 地 1 (電) 金沢 (3) 6213 神戸市兵庫区和田崎町 (電) 兵庫 (6) 代表 5041 兵庫県尼崎市南清水字中野 (電) 大阪 (48) 8021 長崎市平戸小屋町 (電)長崎(3) 代表 3101 兵庫県尼崎市南清水字中野 (電) 大阪 (48) 8021 名古屋市東区矢田町 (電) 名古屋 (73) 静岡市小鹿 1 1 0 番地 (電) 静岡 (3) 0141~0145 岐阜県中津川市駒場 (電)中津川 10,54,226 和 歌 山 市 岡 町 (電) 和歌山 (3) 代表 1275 福 岡 市 今 宿 青 木 (電) 福岡 (4) 代表 1568 福山市沖野上町(電)福山代表 2800 兵庫県姫路市千代田町 (電) 姫路代表 6900 神奈川県鎌倉市大船 (電) 大船 (067) 代表 2121 東京都世田谷区池尻町 (電)東京(414)代表 8111 福島県郡山市境橋町 (電)郡山 1220~1223 兵庫県尼崎市南清水字中野 (電) 大阪 (48) 8021 東京都世田谷区池尻町 (電)東京 (414)代表 8111 札幌市北二条東12丁目 (電) 札幌 (2) 3976

次号予定

三菱電機 Vol. 34 No. 3

- ○ホイラ 用大形通風機
- ○2,000 kW 全閉外扇形誘導電動機
- ○SP-R 形新形単相 モートル
- ○連続 メッキ 用亜鉛溶解炉
- ○工作機数值装置
- ○新形直流高速度 シャ 断器
- ○コンデンサ 形計器用変圧器
- ○電力系統問題への計数形計算機の応用
- ○MELCOM 繰返形 ptログコンピュータ (EA-100 形)
- ○新形 ノーヒューズシャ 断器
- ○S バンド 2kW 進行波管
- ○MELCOM 精密低速度形 アナログコンピュータ (?)
- ○技術解説: 火力発電 シリーズ

再熱式蒸気 タービン の調速制御機構

○原子力情報: JRR-2 原子炉 (2)

雑誌「三菱電機」編集委員会

吉村誠一郎 委員長 常任委員 村 平 宗 浅井德次郎 常任委員 (1) H 荒 井 11 器 員 新 # IF. 元 安 账 126 屋 明 क्त 村 宗 進 藤 和 小堀富次雄 " 内 竹 真 高井得 即 准 村 中 野 * 摊 豐 進 H 馬 場 文 夫 松 尾 又 船 橋 IE. 信 事 井 1 郎 松 H 新 Thi (以上 50 佐朝)

昭和35年2月8日印刷 昭和35年2月10日発行「禁無断転載」 定価1部 金100円(送料別)

編集兼発行人

東京都千代田区丸の内2丁目3番地 吉 村 誠 一 郎

印 刷 所

東京都新宿区市谷加賀町1丁目 大日本印刷株式会社

印刷者

東京都新宿区市谷加賀町1丁目 高 橋 武 夫

発行所 三菱電機株式会社内「三菱電機」編集部 電話和田倉 (201) 1631 日本出版協会会員番号 213013

発 売 元

東京福千代田区神田麓町3の1 株式会社オーム社書店 電話(291)0915・0916 振音東京 20018